



ΕΘΝΙΚΟ ΜΕΤΣΟΒΙΟ ΠΟΛΥΤΕΧΝΕΙΟ
ΣΧΟΛΗ ΠΟΛΙΤΙΚΩΝ ΜΗΧΑΝΙΚΩΝ
ΤΟΜΕΑΣ ΓΕΩΤΕΧΝΙΚΗΣ

Διπλωματική Εργασία

**“Μακροστοιχείο για την μη γραμμική σεισμική αλληλεπίδραση
εδάφους-θεμελίου-ανωδομής. Σύγκριση με τρισδιάστατες αναλύσεις
πεπερασμένων στοιχείων.”**

Ντελής Ταξιάρχης

Επιβλέπων: Νικόλαος Γερόλυμος, Αναπληρωτής Καθηγητής ΕΜΠ

Diploma Thesis

**“Macroelement for the no Linear dynamic response of soil-
foundation-structure. Comparison with three-dimensional finite
elements”**

ΑΘΗΝΑ ΝΟΕΜΒΡΙΟΣ 2022

ΕΥΧΑΡΙΣΤΙΕΣ

Η παρούσα εργασία αποτελεί διπλωματική εργασία στα πλαίσια της περάτωσης των προπτυχιακών μου σπουδών ως Πολιτικός Μηχανικός.Πριν την παρουσίαση των αποτελεσμάτων αισθάνομαι την ανάγκη να ευχαριστήσω ορισμένους από τους ανθρώπους που γνώρισα,συνεργάστηκα μαζί τους και έπαιξαν σημαντικό ρόλο στην πραγματοποίηση της άμεσα και έμμεσα.

Πρώτο από όλους θέλω να ευχαριστήσω θερμά τον επιβλέποντα καθηγητή της διπλωματικής εργασίας κ.Νίκο Γερόλυμο για την καθοδήγηση του,τις επισημάνσεις του και την συνεχή βοήθεια του καθόλη την διάρκεια ολοκλήρωσης της.Καθώς και την βοήθεια του με τις άδειες λογισμικού PLAXIS.

Επιπλέον θέλω να ευχαριστήσω τους γονείς μου Κώστα και Ρεγγίνα για την οικονομική και κυρίως για την ηθική υποστήριξη τους όλα αυτά τα χρόνια, χωρίς την οποία τίποτα από όσα έχω καταφέρει μέχρι σήμερα δεν θα ήταν πραγματικότητα.

Ντελής Ταξιάρχης

Αθήνα 2022

ΠΕΡΙΛΗΨΗ

Αντικείμενο της εργασίας αυτής αποτελεί η κατασκευή μακροστοιχείων για την διερεύνηση της σεισμικής απόκρισης μονοβάθμιων ταλαντωτών, καθένας από τους οποίους αντιπροσωπεύει ένα βάθρο γέφυρας, συνυπολογίζοντας την επιρροή του φαινομένου της αλληλεπίδρασης εδάφους-θεμελίωσης-ανωδομής, με θεώρηση αβαθούς θεμελίωσης. Τα μακροστοιχεία αυτά θα χρησιμοποιηθούν ως εναλλακτική μέθοδος έναντι των χρονοβόρων αναλύσεων με πεπερασμένα στοιχεία. Η κατασκευή των αλγορίθμων θα γίνει με χρήση του προγράμματος Mathcad ενώ θα ακολουθήσει επιβεβαίωση και διερεύνηση τους με τα προγράμματα Plaxis, Seismostruct. Για την ανάλυση των συστημάτων χρησιμοποιήθηκαν 7 σεισμικές καταγραφές.

Αρχικά γίνεται μόνωση των αλγορίθμων για την περίπτωση της πλήρης πάκτωσης του ταλαντωτή (συνθήκες βράχου). Η προσομοίωση του βάθρου της γέφυρας γίνεται μέσω ενός μονοβάθμιου ταλαντωτή, με τα χαρακτηριστικά της γέφυρας Fukae, ύψους 12m, κυκλικής διατομής διαμέτρου 3m και μάζας 1000tn. Μελετάται η ελαστική και ανελαστική απόκριση του. Η υστερητική συμπεριφορά του δίνεται μέσω του προσομοιώματος bouc-wen με μηδενική κράτυνση και η απόσβεση του λαμβάνεται 5% κατά Rayleigh. Με την χρήση των μακροστοιχείων που παράγονται γίνεται εύρεση της μετακίνησης και της επιτάχυνσης της μάζας του βάθρου. Τα αποτελέσματα αυτά επαληθεύονται με τα προγράμματα Seismostruct, Plaxis και έπειτα κατασκευάζονται τα μακροστοιχεία για την κατασκευή των ελαστικών και ανελαστικών φασμάτων απόκρισης. Τα φάσματα αυτά συγκρίνονται με αυτά του Seismosignal το οποίο είναι το μόνο με αυτή την δυνατότητα. Έπειτα γίνεται μια διερεύνηση της μεθόδου N2 καθώς και των σχέσεων του Fajfar που χρησιμοποιούνται στον EC-8.

Ακολουθεί η τροποποίηση των παραπάνω αλγορίθμων για να συμπεριληφθεί η αλληλεπίδραση ταλαντωτή, θεμελίωσης και γραμμικώς ελαστικά εδάφους. Αρχικά επιλέγεται μια επιφανειακή θεμελίωση τετραγωνικής κάτοψης 10x10m, και ένα μονοστρωματικό εδαφικό προφίλ επί βραχώδους υπόβαθρου πάχους 20m. Το μέτρο διάτμησης του εδάφους και συνεπώς η ταχύτητα των διατμητικών κυμάτων λαμβάνει δύο τιμές $V_s=160\text{m/s}$ και $V_s=320\text{m/s}$. Το έδαφος στο μακροστοιχείο θα εισαχθεί μέσω ελατηριών δυσκαμψίας και απόσβεσης που αντιπροσωπεύονται από τους δείκτες εμπέδησης της θεμελίωσης και δίνονται από την βιβλιογραφία. Το μακροστοιχείο που προκύπτει συγκρίνεται με το φορέα που κατασκευάζεται στο Seismostruct αναμένοντας το ίδιο αποτέλεσμα.

Για την ανάλυση του φαινομένου με πεπερασμένα στοιχεία (Plaxis 3D), η σεισμική διέγερση επιβάλλεται στην βάση του βραχώδους υποβάθρου. Επομένως γίνεται η αποσυνέλιξη του σήματος (deconvolution) με απόσβεση κατά Rayleigh 5% ώστε στην επιφάνεια της εδαφικής στρώσης να λαμβάνουμε την υπό μελέτη σεισμική διέγερση. Για κάθε σεισμική διέγερση διερευνάται η επιρροή της κινηματικής αλληλεπίδρασης του επιφανειακού θεμελίου (FIM) και συγκρίνεται με το FFM. Τα αποτελέσματα του Plaxis συγκρίνονται με αυτά των αλγορίθμων.

Με επιβεβαιωμένα τα μακροστοιχεία κατασκευάζονται τα ελαστικά και ανελαστικά φάσματα απόκρισης του ταλαντωτή για κάθε σεισμική διέγερση, βρίσκονται οι νέες καμπύλες αντίστασης του συστήματος και ακολούθως το σημείο επιτελεστικότητας του βάθρου με συνυπολογισμό της εδαφικής ενδοσιμότητας.

Τέλος γίνονται παραμετρικές διερευνήσεις για τον υπολογισμό των τιμών της πλαστιμότητας και του συντελεστή συμπεριφοράς συναρτήσει των αδιάστατων συντελεστών της σχετικής λυγηρότητας, της σχετικής δυσκαμψίας ταλαντωτή εδάφους και της σχετικής μάζας ταλαντωτή-εδάφους θεμελίωσης.

ΠΕΡΙΕΧΟΜΕΝΑ

ΚΕΦΑΛΑΙΟ 1-ΕΙΣΑΓΩΓΗ

1.1 Εισαγωγή.....	6
-------------------	---

ΚΕΦΑΛΑΙΟ 2-ΒΙΒΛΙΟΓΡΑΦΙΚΗ ΑΝΑΣΚΟΠΗΣΗ.....7

2.1 Το φαινόμενο της δυναμικής αλληλεπίδρασης εδάφους-θεμελίωσης-κατασκευής.....	7
2.2 Μέθοδοι αντιμετώπισης του φαινομένου.....	10
2.3 Δυναμικοί δείκτες εμπέδησης.....	13
2.4 Μη γραμμική αλληλεπίδραση εδάφους-κατασκευής.....	23
2.4.1 Ελαστικό έδαφος.....	25
2.4.2 Ανελαστικό έδαφος.....	27
2.5 Αντιμετώπιση φαινομένου σε επίπεδο κανονισμών.....	28

ΚΕΦΑΛΑΙΟ 3-ΕΛΑΣΤΙΚΗ ΚΑΙ ΑΝΕΛΑΣΤΙΚΗ ΣΕΙΣΜΙΚΗ ΑΠΟΚΡΙΣΗ ΜΟΝΟΒΑΘΜΙΩΝ ΤΑΛΑΝΤΩΤΩΝ ΕΠΙ ΑΚΑΜΠΤΟΥ ΕΛΑΦΟΥΣ.....30

3.1 Ελαστική σεισμική απόκριση μονοβάθμιων ταλαντωτών επί άκαμπτου εδάφους.....	31
3.1.1 Εξίσωση κίνησης.....	31
3.1.2 Επίλυση εξίσωση κίνησης με την χρήση αλγορίθμου-Μέθοδος κεντρικών διαφορών.....	33
3.1.3 Επιβεβαίωση του αλγορίθμου με τα προγράμματα Seismosignal,Seismostruct,Plaxis.....	35
3.1.4 Ελαστικά φάσματα απόκρισης	50
3.2 Ανελαστική σεισμική απόκριση μονοβάθμιων ταλαντωτών επί άκαμπτου εδάφους.....	54
3.2.1 Ανάπτυξη αλγορίθμου για την ανελαστική συμπεριφορά του ταλαντωτή.....	55
3.2.2 Επικύρωση του αλγορίθμου και μόρφωση των μονοβάθμιων ταλαντωτών με το Seimosignal,Plaxis,Seismostruct.....	57
3.2.3 Σχέση συντελεστή συμπεριφοράς-πλαστιμότητας($q_y-\mu$).....	70
3.2.4 Ανελαστικά φάσματα απόκρισης.....	74
3.2.5 Σημείο λειτουργίας κατασκευής (Perfomance Point)-Μέθοδος N2.....	79

ΚΕΦΑΛΑΙΟ 4-ΔΙΕΡΕΥΝΗΣΗ ΤΗΣ ΔΥΝΑΜΙΚΗΣ ΕΠΙΡΡΟΗΣ ΤΗΣ ΑΛΛΗΛΕΠΙΔΡΑΣΗΣ ΕΛΑΣΤΙΚΟΥ ΕΔΑΦΟΥΣ-ΘΕΜΕΛΙΟΥ-ΤΑΛΑΝΤΩΤΗ ΜΕ ΤΗΝ ΧΡΗΣΗ ΜΑΚΡΟΣΤΟΙΧΕΙΩΝ ΚΑΙ ΑΡΙΘΜΗΤΙΚΩΝ ΑΝΑΛΥΣΕΩΝ.....84

<u>4.1 Ανάπτυξη μακροστοιχείου για την συμπεριφορά του μονοβάθμιου ταλαντωτή επί ελαστικού εδάφους υπό σεισμική διέγερση.....</u>	<u>85</u>
4.1.1 Μητρώο στιβαρότητας και αποσβέσεως θεμελίου-εδάφους.....	86
4.1.2 Διατύπωση και επίλυση της εξίσωσης κίνησης του συστήματος.....	92
4.1.3 Μόρφωση του μακροστοιχείου στο Mathcad.....	96
4.1.4 Διατύπωση και επίλυση της εξίσωσης κίνησης του συστήματος εδάφους-θεμελίωσης-ανελαστικού ταλαντωτή.....	97
4.1.5 Μόρφωση του μακροστοιχείου για την συμπεριφορά του ανελαστικού ταλαντωτή επί ελαστικού εδάφους.....	98
<u>4.2 Αριθμητική διερεύνηση του φαινομένου της αλληλεπίδρασης ελαστικού εδάφους-θεμελίωσης-ελαστικής κατασκευής με χρήση του προγράμματος ΠΣ Plaxis 3d.....</u>	<u>100</u>
4.2.1 Προσωμοίωμα της εδαφικής στρώσης επί βράχου.....	101
4.2.2 Συνάρτηση μεταφοράς σεισμικής διέγερσης μονοστρωματικής εδαφικής στρώσης επί βραχώδους υποβάθρου-Κινηματική αλληλεπίδραση.....	106
4.2.3 Διερεύνηση της ορθότητας των δυναμικών συντελεστών της δυσκαμψίας και της απόσβεσης ακτινοβολίας.....	111
4.2.4 Επιβεβαίωση του μακροστοιχείου για την δυναμική συμπεριφορά του ελαστικού ταλαντωτή επί ελαστικού εδάφους.....	116
4.2.5 Επιβεβαίωση του μακροστοιχείου για την δυναμική συμπεριφορά του ανελαστικού ταλαντωτή επί ελαστικού εδάφους.....	134
<u>4.3 Επιβεβαίωση των μακροστοιχείων για την συμπεριφορά του ελαστικού και ανελαστικού ταλαντωτή επί ελαστικού εδάφους με το Seismostruct.....</u>	<u>148</u>
4.3.1 Ελαστικός Ταλαντωτής.....	153
4.3.2 Ανελαστικός Ταλαντωτής.....	156
<u>4.4 Κατασκευή μακροστοιχείου για τον υπολογισμό του ελαστικού φάσματος απόκρισης με συνυπολογισμό της εδαφικής ενδοσιμότητας.....</u>	<u>158</u>
4.4.1 Ελαστικά φάσματα απόκρισης για διάφορες σεισμικές διεγέρσεις.....	160
<u>4.5 Κατασκευή μακροστοιχείου για την εύρεση της πλαστιμότητας του συστήματος συναρτήσει της πακτωμένης ιδιοπεριόδου για δεδομένο συντελεστή συμπεριφοράς.....</u>	<u>165</u>
4.5.1 Γραφήματα πλαστιμοτήτων συστήματος για σταθερό συντελεστή συμπεριφοράς....	168

4.5.2 Γραφήματα πλαστιμοτήτων βάθρου για σταθερό συντελεστή συμπεριφοράς.....	174
<u>4.6 Ανάπτυξη μακροστοιχείου για την κατασκευή των ανελαστικών φασμάτων απόκρισης σταθερής πλαστιμότητας.....</u>	<u>186</u>
4.6.1 Επαλήθευση του μακροστοιχείου μέσω της σεισμικής απαίτησης του βάθρου.....	189
<u>5. Σύγκριση Πακτωμένου-Ελαστικού συστήματος.....</u>	<u>194</u>
<u>6. Διερεύνηση της δυναμικής αλληλεπίδρασης μη γραμμικού εδάφους-ελαστικού ταλαντωτή με την χρήση πεπερασμένων στοιχείων και του μακροστοιχείου του Seismostruct.....</u>	<u>198</u>
6.1 Γενικά.....	198
6.2 Σημείο λειτουργίας ελαστικού ταλαντωτή επί μη γραμμικού εδάφους.....	202
6.3 Σεισμική αλληλεπίδραση ταλαντωτή επί μη γραμμικού εδάφους.....	207
6.4 Σύγκριση ταλαντωτή επί μη γραμμικού εδάφους-πακτωμένου ταλαντωτή.....	217
<u>BIBΛΙΟΓΡΑΦΙΑ.....</u>	<u>221</u>

ΚΕΦΑΛΑΙΟ 1

1.1 ΕΙΣΑΓΩΓΗ

Η μελέτη της δυναμικής απόκρισης μιας κατασκευής απαιτεί πολύ καλή γνώση του συστήματος εδάφους θεμελίωσης. Σύμφωνα με τον συμβατικό τρόπο προσδιορισμού της απόκρισης των κατασκευών σε δυναμικά φορτία, υποθέτουμε ότι το έδαφος παραμένει απαμόρφωτο (συνθήκες πλήρους πάκτωσης). Αυτό συμβαδίζει στην περίπτωση που η κατασκευή είναι θεμελιωμένη σε βράχο. Στην περίπτωση όμως ενδόσιμου εδάφους τα φαινόμενα της αλληλεπίδρασης εδάφους-θεμελίωσης-κατασκευής είναι αρκετά έντονα, τόσο έντονα σε σημείο που η σεισμική επάρκεια της κατασκευής να εξαρτάται από αυτά.

Γενικά η αλληλεπίδραση εδάφους-κατασκευής (SSI) θεωρείται επωφελής, αφού ουσιαστικά εισάγει μια ακόμα απόσβεση μειώνοντας τα εντατικά μεγέθη που παραλαμβάνει η κατασκευή λόγω του διεγείροντος κραδασμού. Κάτι το οποίο υιοθετείται έμμεσα και στους κανονισμούς (ΕΚ8).

Ωστόσο το συμπέρασμα αυτό είναι παραπλανητικό καθώς αναλύσεις που έχουν γίνει σε ιστορικά περιστατικά αστοχίας (Kobe 1995, Northridge 1994) αποδεικνύουν ότι η αγνόηση του φαινομένου οδηγεί σε μη ασφαλή σχεδιασμό ειδικά για κατασκευές εδραζόμενες σε μαλακά εδάφη.

Οι αναλύσεις του φαινομένου της αλληλεπίδρασης πραγματοποιούνται στις περισσότερες έρευνες υπο την θεώρηση γραμμικής ελαστικής συμπεριφοράς του εδάφους. Αυτό οφείλεται στο γεγονός της ευκολίας κατασκευής προσομοιωμάτων, μαθηματικών μοντέλων καθώς και την χρησιμοποίηση των ήδη υπάρχοντων κλειστών αναλυτικών σχέσεων που υπάρχουν στην βιβλιογραφία. Παρόλα αυτά πλήθος θεωρητικών και πειραματικών διερευνήσεων έχουν αποδείξει ότι κατά την διάρκεια μιας ισχυρής εδαφικής κίνησης η απόκριση του εδάφους είναι εντόνως μη γραμμική. Έτσι όλο και πληθαίνουν οι εργασίες που αναδεικνύουν ότι η μελέτη του φαινομένου είναι όχι μόνο σημαντική αλλά και ευεργετική για την ανωδομή. (Gazetas et al 2003, Mylonakis 2007).

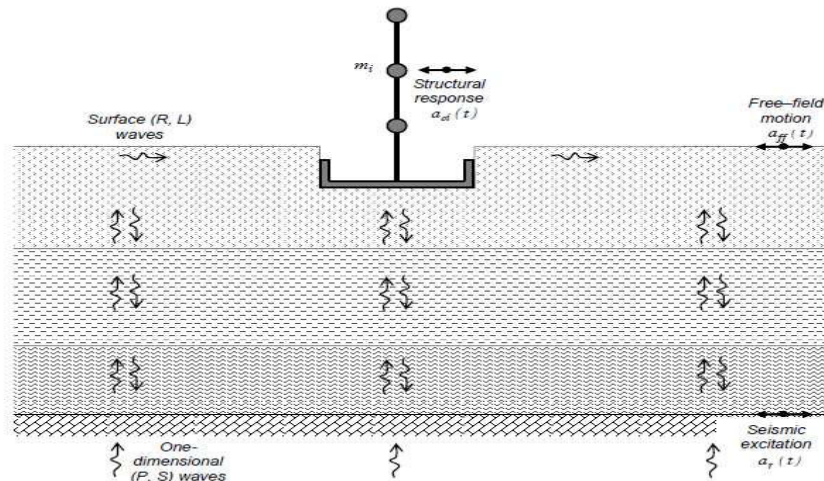
ΚΕΦΑΛΑΙΟ 2

2.ΒΙΒΛΙΟΓΡΑΦΙΚΗ ΑΝΑΣΚΟΠΗΣΗ

2.1 Το φαινόμενο της δυναμικής αλληλεπίδρασης εδάφους-θεμελίωσης-κατασκευής

Η σεισμική απόκριση μιας κατασκευής που είναι θεμελιωμένη σε ένα πολύ δύσκαμπτο εδαφικό υλικό είναι ίδια με την κίνηση στον ελεύθερο πεδίο και δεν επηρεάζεται ουσιαστικά από την παρουσία της θεμελίωσης.

Στην περίπτωση όμως που η ανωδομή εδράζεται σε ένα ενδόσιμο έδαφος, η κατασκευή αναγκάζεται να ακολουθήσει την κίνηση των εδαφικών σημείων επαφής. Με την σειρά της η κίνηση της κατασκευής γεννάει αδρανειακές δυνάμεις και ροπές, που οφείλονται στην μάζα της ανωδομής αλλά και της θεμελίωσης, και οι οποίες επιβάλλουν πρόσθετη φόρτιση στο έδαφος. Με αποτέλεσμα η ιδιοπερίοδος του συστήματος να αυξάνεται και η κατασκευή να οδηγείται σε θέση προς τα δεξιά του φάσματος επιταχύνσεων. Ακόμα η απόσβεση του συστήματος αυξάνεται, καθώς εισάγεται μια επιπλέον απόσβεση καθώς ένα μέρος της ενέργειας ταλάντωσης διάχεται στο περιβάλλον μέσω των κυμάτων που προκαλεί η κίνηση της θεμελίωσης.

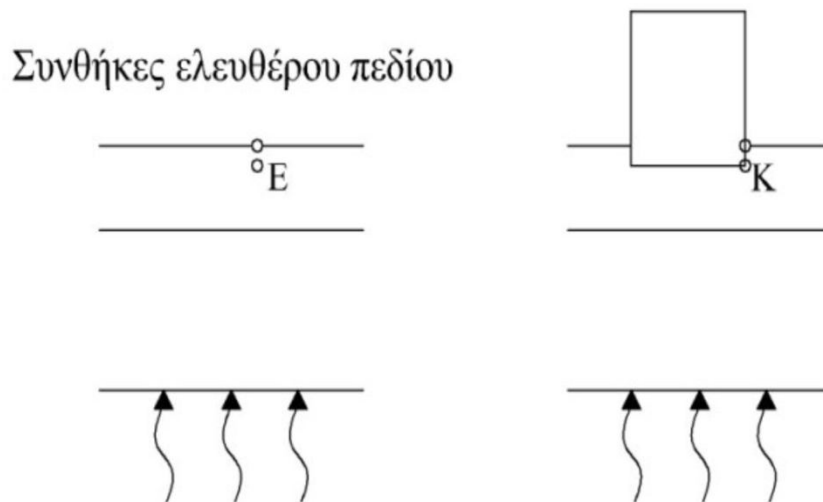


Σχήμα 2.1. Φαινόμενο αλληλεπίδρασης εδάφους-θεμελίωσης-κατασκευής.(Gazetas and Mylonakis, 1998)

Επομένως η δυναμική αλληλεπίδραση εδάφους-κατασκευής δύναται να αναλυθεί σε δύο φαινόμενα:

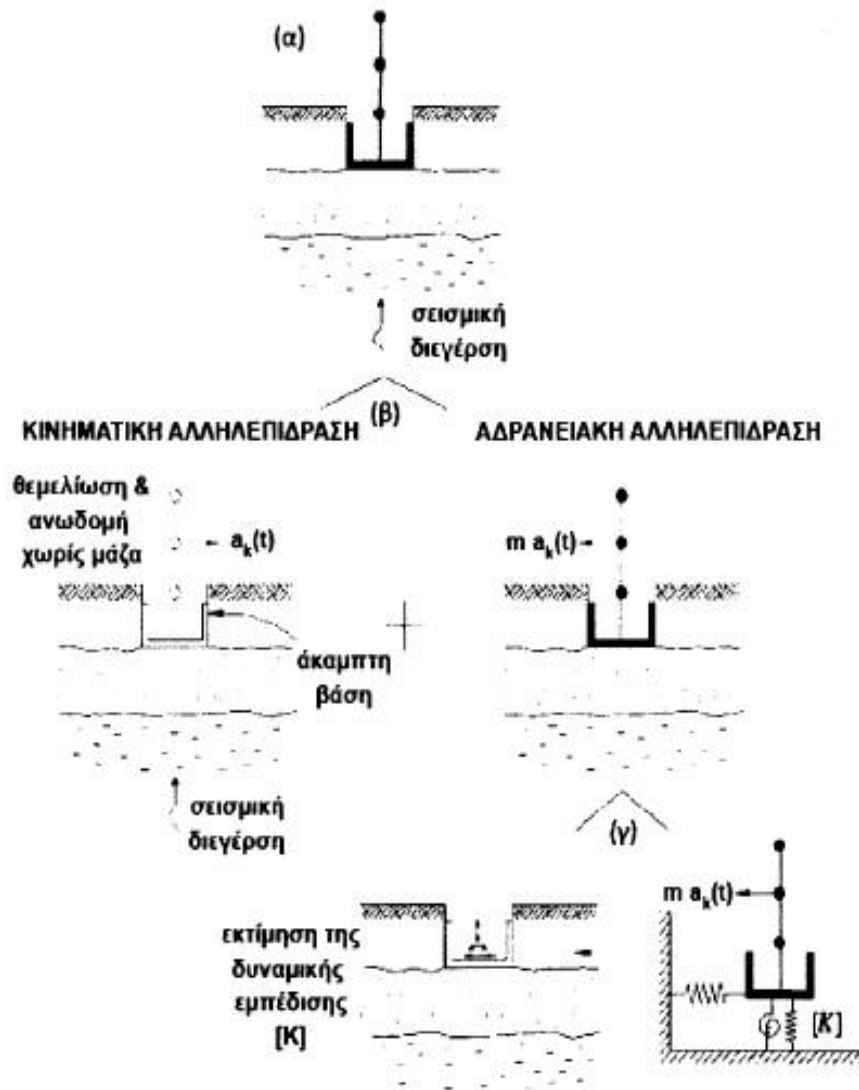
•**Κινηματική αλληλεπίδραση:** Δηλαδή στην τροποποίηση του διεγείροντα κραδασμού λόγω της παρουσίας μιας εγκιβωτισμένης ή επιφανειακής θεμελίωσης. Η διαφοροποιημένη αυτή κίνηση στην στάθμη της θεμελίωσης οφείλεται:

- στον βαθμό εγκιβωτισμού της θεμελίωσης (το πλάτος της διέγερσης μειώνεται με την επιφάνεια του εδάφους)
- στην πρόσπτωση σεισμικών κυμάτων υπό κλίση στην θεμελίωση
- στον λόγο δυσκαμψίας της πλάκας θεμελίωσης προς την δυσκαμψία του εδάφους



Σχήμα 2.2. α) Απόκριση σε συνθήκες ελεύθερου πεδίου, β) Απόκριση στην θεμελίωση κατασκευής. (Κ. Πιτιλάκης, 2010)

•**Αδρανειακή αλληλεπίδραση:** Αναφέρεται στην ταλάντωση της μάζας του συστήματος όπως αυτή προκύπτει από την διέγερση στην στάθμη θεμελίωσης της κατασκευής. Αυτό έχει σαν συνέπεια την αύξηση της ιδιοπεριόδου της ανωδομής (αφού η κατασκευή γίνεται πιο εύκαμπτη) καθώς και στην αύξηση της απόσβεσης του συστήματος. Αυτό οφείλεται τόσο στην απόσβεση ακτινοβολίας λόγω της κίνησης του θεμελίου όσο και στην υστερητική απόσβεση του εδαφικού υλικού και της ανωδομής.



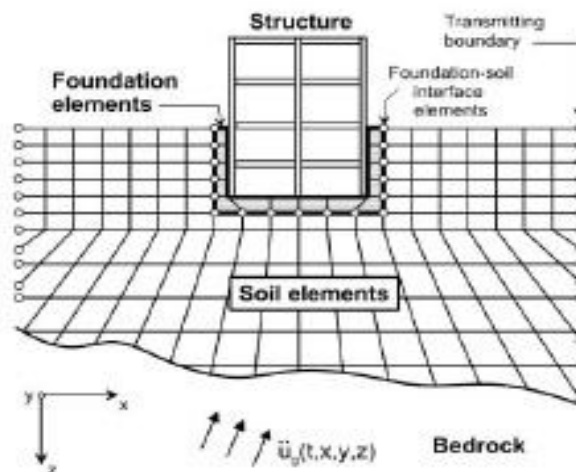
Σχήμα 2.3. Επαλληλία κινηματικής και αδρανειακής αλληλεπίδρασης(Μυλωνάκης 2006)

2.2 Μέθοδοι αντιμετώπισης του φαινομένου

Για την επίλυση αυτού του δυναμικού προβλήματος χρησιμοποιούνται δύο μέθοδοι προσέγγισης. Η άμεση και η έμμεση μέθοδος.

•Άμεση μέθοδος

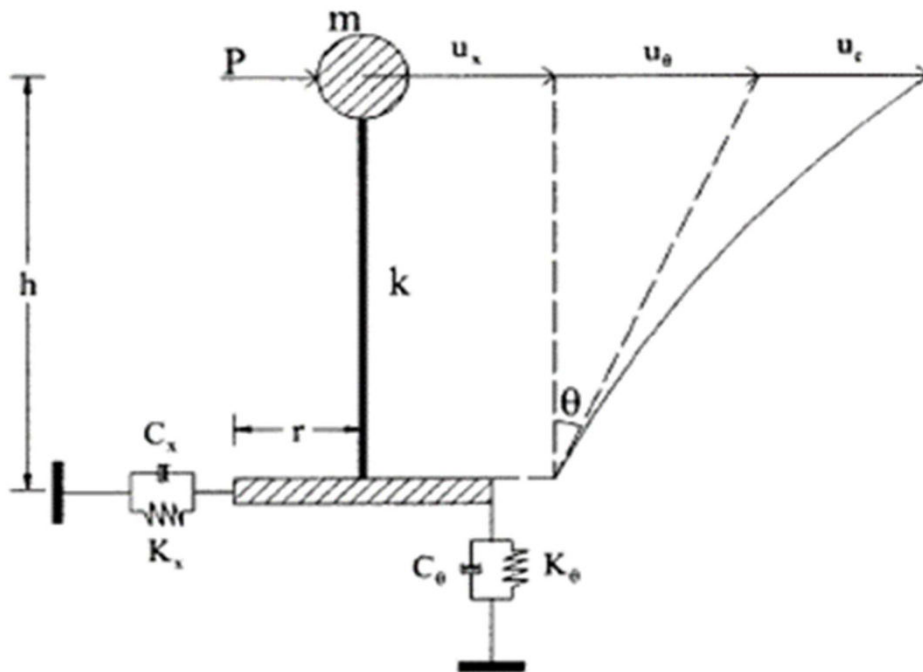
Κατά την εφαρμογή της άμεσης μεθόδου το σύστημα εδάφους-θεμελίωσης-κατασκευής αναλύεται σε ένα βήμα χρησιμοποιώντας πεπερασμένα στοιχεία για την προσομοίωση της ανωδομής αλλά και του εδάφους. Οι αναλύσεις αυτές γίνονται με προγράμματα λογισμικού (πχ Plaxis) και εκτελούνται στο πεδίο του χρόνου. Κύριο μειονέκτημα της μεθόδου είναι το υψηλό υπολογιστικό κόστος και η χρονοβόρα διαδικασία εκτέλεσης των προσομοιωμάτων.



Σχήμα 2.4. Απεικόνιση της μεθόδου με χρήση ΠΣ (NEHRP-NIST (2012))

•Έμμεση Μέθοδος

Δηλαδή σε κλασικές μεθόδους επίλυσης προσομοιωμάτων που έχουν χρησιμοποιηθεί από πολλούς ερευνητές (Veletsos 1974, Gazetas 1983, Wolf 1984) καθώς και στην ανάπτυξη σύγχρονων μακροστοιχείων. Τα μακροστοιχεία αποτελούν ειδική κατηγορία πεπερασμένων στοιχείων τα οποία αντιπροσωπεύουν σύνθετα προβλήματα που συντίθεται από απλούστερα στοιχεία. Ο κύριος λόγος χρήσης τους είναι η απλοποίηση της διαδικασίας μόρφωσης των προσομοιωμάτων και η μείωση του υπολογιστικού κόστους και χρόνου. Στην δυναμική αλληλεπίδραση η χρήση τους αποσκοπεί στην προσομοίωση του εδάφους με ένα μόνο στοιχείο τριών βαθμών ή έξι βαθμών ελευθερίας για 2D και 3D πρόβλημα αντίστοιχα. Ένα σύστημα που χρησιμοποιείται ευρέως για τέτοιες αναλύσεις είναι ένας μονοβάθμιος ταλαντωτής όπως φαίνεται στην εικόνα παρακάτω.



Σχήμα2.5. Ταλαντωτής επί εύκαμπτου εδάφους (Veletsos & Meek 1974)

Το παραπάνω σύστημα αποτελείται από έναν ταλαντωτή του οποίου η μάζα συγκεντρώνεται στη κορυφή του. Ο στύλος μπορεί να θεωρηθεί γραμμικά, έχει ύψος h , δυσκαμψία k , και απόσβεση ζ . Το θεμέλιο θεωρείται άκαμπτο με βάρος m_0 ενώ το έδαφος ότι αποτελείται από ένα ομοιογενές ιξωδοελαστικό υλικό με μέτρο διάτμησης G , πυκνότητα ρ , και απόσβεση ζ . Η ενδοσιμότητα του εδάφους κατά την μεταφορική κίνηση και λικνισμό του θεμελίου περιγράφεται από γραμμικά ελατήρια σταθερών K_x, K_θ αντίστοιχα. Οι σταθερές C_x, C_θ εκφράζουν την απόσβεση λόγω ακτινοβολίας των κυμάτων που δημιουργούνται στην επιφάνεια θεμελίου εδάφους. Μία σχέση για τον υπολογισμό της ιδιοπεριόδου του συστήματος είναι:

$$T_{ssi} = T_{st} \sqrt{1 + \frac{k}{K_x} + \frac{kh^2}{K_\theta}}$$

Ο συνολικός ενεργός απόσβεσης β του συστήματος δίνεται από την σχέση:

$$\beta = \beta_0 + \frac{\beta_{st}}{\left(\frac{T_{ssi}}{T_{st}}\right)^3}$$

Όπου

T_{st} : Η πακτωμένη ιδιοπερίοδος της κατασκευής $T_{st} = 2\pi\sqrt{\frac{m}{k}}$

β_0 : Αντιπροσωπεύει τη συμβολή του συστήματος εδάφους-θεμελίωσης και περικλείει τόσο την απόσβεση ακτινοβολίας όσο και την ανελαστική απόσβεση του εδαφικού υλικού.

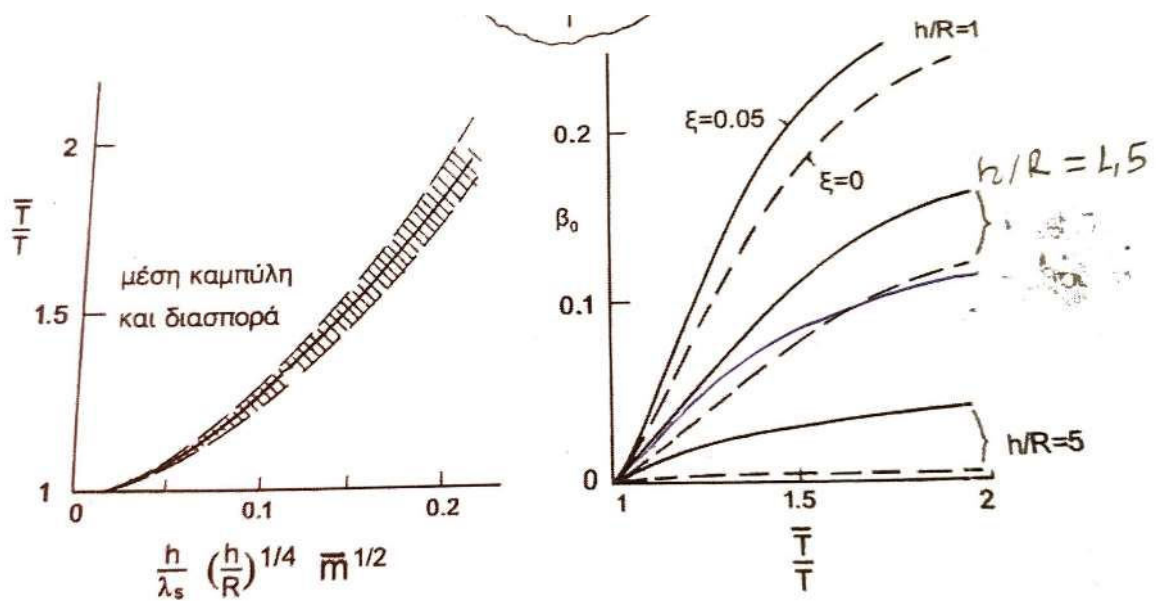
β_{st} : Αντιπροσωπεύει την απόσβεση της ανωδομής σε ανένδοτη βάση (0.03 για χάλυβα, 0.05 για σκυρόδεμα)

Σύμφωνα με διερεύνηση που έγινε από Veletsos 1974, 1997 κυριότεροι παράμετροι επιρροής των τιμών $\frac{T_{ssi}}{T_{st}}$ και β_0 είναι:

- ο λόγος $\frac{V_s}{f_{st} h}$ όπου f_{st} η ιδιοπερίοδος της πακτωμένης κατασκευής, h το ύψος της, και V_s η ταχύτητα διάδοσης των κυμάτων στην εδαφική στρώση. Ουσιαστικά ένα μέτρο σχετικής δυσκαμψίας εδάφους-κατασκευής

- ο λόγος $\frac{h}{a}$ όπου a διάσταση του θεμελίου (σχετική λυγηρότητα)

- ο λόγος των μαζών κατασκευής και εδάφους θεμελίωσης $\bar{m} = m/\rho\pi r^2 h$, ρ η πυκνότητα εδαφικού υλικού



Σχήμα 2.6. Εξάρτηση των β_0 , T_{ssi} , T όπου $T_{ssi}=\bar{T}$ από τις παραμέτρους h, λ_s, R, m (Stewart et al 1999)

2.3 Δυναμικοί δείκτες εμπέδησης

Η δυναμική δυσκαμψία για κάθε βαθμό ελευθερίας του συστήματος ορίζεται από την σχέση

$$\bar{K} = \frac{P}{ux + u\theta * h + uc} = K + i\omega C = K(1 + 2i\zeta)$$

Όπου K είναι το πραγματικό μέρος της δυναμικής δυσκαμψίας, ωC είναι το φανταστικό μέρος, ω είναι η κυκλική συχνότητα της εξωτερικής διέγερσης και ζ η παράμετρος που εκφράζει την απώλεια ενέργειας και ισούται με $\zeta(\omega) = \frac{Im(\bar{K})}{2Re(\bar{K})}$.

Από τα παραπάνω γίνεται αντιληπτή η συχνοτική εξάρτηση των δεικτών εμπέδησης της θεμελίωσης. Επομένως για το πραγματικό μέρος της παραπάνω σχέσης θα μπορούσαμε να γράψουμε

$$K(\omega) = Kst * k(\omega)$$

Αναφορικά με το φανταστικό μέρος της εξίσωσης οι περισσότεροι τύποι στην βιβλιογραφία (Γκαζέτας 1981, 1983, 1991, Μυλωνάκης 2006) δίνουν τιμές της απόσβεσης ακτινοβολίας ενώ η υστερητική απόσβεση θα μπορούσε να υπολογισθεί και ως $2K(\omega)\xi/\omega$. Με τον λόγο $K(\omega)/\omega$ να προσδιορίζει την μορφή του βρόγχου υστερητικής τάσης-παραμόρφωσης του εδάφους και ξ ο συντελεστής υστερητικής απόσβεσης δηλαδή:

$$C(\omega) = C_{radiation} + 2K(\omega) * \xi/\omega$$

Όπου $K(\omega)$: η δυναμική δυσκαμψία που δίνεται πιο πάνω

$C_{radiation}$: η απόσβεση λόγω ακτινοβολίας που εξαρτάται από την συχνότητα της διέγερσης

ξ : συντελεστής υστερητικής απόσβεσης

Ο παραπάνω μιγαδικός αριθμός μπορεί να γραφτεί και ως

$$Kst \cdot (k(a_0) + ia_0c(a_0)) \cdot (1 + 2i\xi)$$

Όπου $a_0 = \omega B/V_s$ όπου B είναι η χαρακτηριστική διάσταση της θεμελίωσης. (Γκαζέτας 1991)

Μέσω των $2K(\omega)\xi/\omega$ και οι $(1+2i\xi)$ εισάγεται η αποσβέση λόγω του υλικού.

Τα $k(a_0)$ και $c(a_0)$ ονομάζονται δυναμικοί συντελεστές δυσκαμψίας και απόσβεσης.

Τα τελευταία χρόνια, έχει αναπτυχθεί πλήθος προσεγγιστικών μεθόδων από πολλούς ερευνητές με στόχο τον υπολογισμό των σύνθετων δυναμικών δυσκαμψιών και αποσβέσεων του συστήματος εδάφους - θεμελίωσης ανωδομής που περιγράφηκε παραπάνω. Οι αναλυτικές αυτές λύσεις βασίζονται στη χρήση διαφόρων θεωρητικών σχέσεων, διαγραμμάτων και πινάκων,

ανάλογα με τον τύπο της θεμελίωσης και του υποκείμενου εδάφους. Ωστόσο, στα πλαίσια της παρούσας εργασίας παρουσιάζονται ορισμένες από τις βασικότερες αναλυτικές λύσεις που έχουν αναπτυχθεί (Gazetas 1983, Gazetas 1991, Gazetas-Mylonakis 2006).

• Άκαμπτη θεμελίωση σε εδαφικό στρώμα επί βράχου

Στην πράξη σπάνια συναντώνται εδαφικοί σχηματισμοί με ομοιόμορφες ιδιότητες σε πολύ μεγάλα βάθη από την επιφάνεια φόρτισης. Πιο συχνά παρατηρείται η ύπαρξη μίας εδαφικής στρώσης πεπερασμένου πάχους H με ομοιόμορφες ιδιότητες, η οποία δεν εκτείνεται σε άπειρο βάθος, όπως ο ομοιογενής ημίχωρος. Σε μεγαλύτερο βάθος κάτω από την εδαφική αυτή στρώση υπάρχει πιο δύσκαμπτο εδαφικό υλικό, όπως είναι ο βράχος. Η απόκριση μιας θεμελίωσης που βρίσκεται σε εδαφικό στρώμα επί βράχου είναι διαφορετική από εκείνη της ίδιας θεμελίωσης επί ελαστικού ημίχωρου

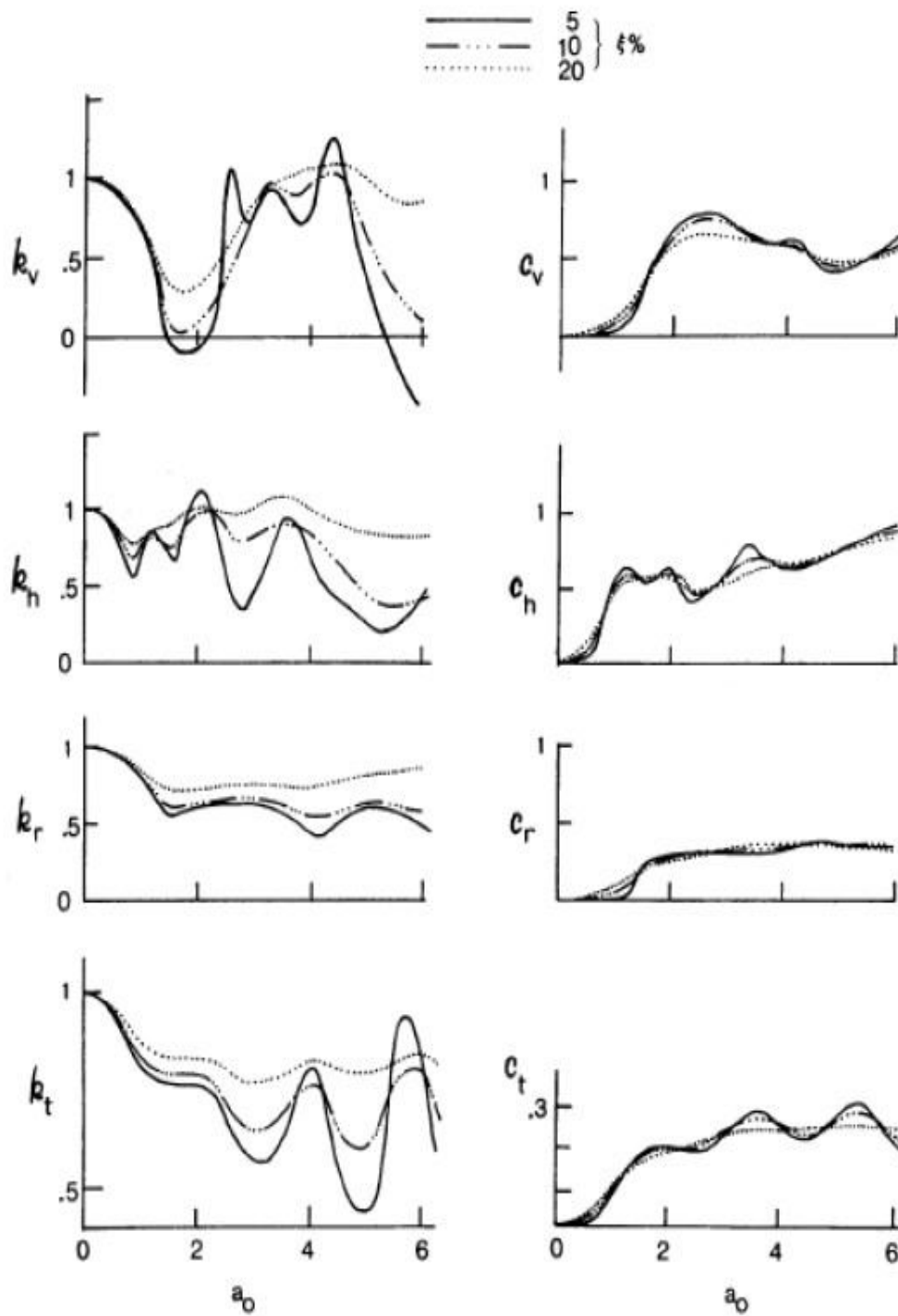
Α) Κυκλική θεμελίωση

Η διαφοροποίηση σε σχέση με το θεμέλιο επί ελαστικού ημίχωρου έγκειται στην εισαγωγή συντελεστών που συνυπολογίζουν το πάχος της εδαφικής στρώσης.

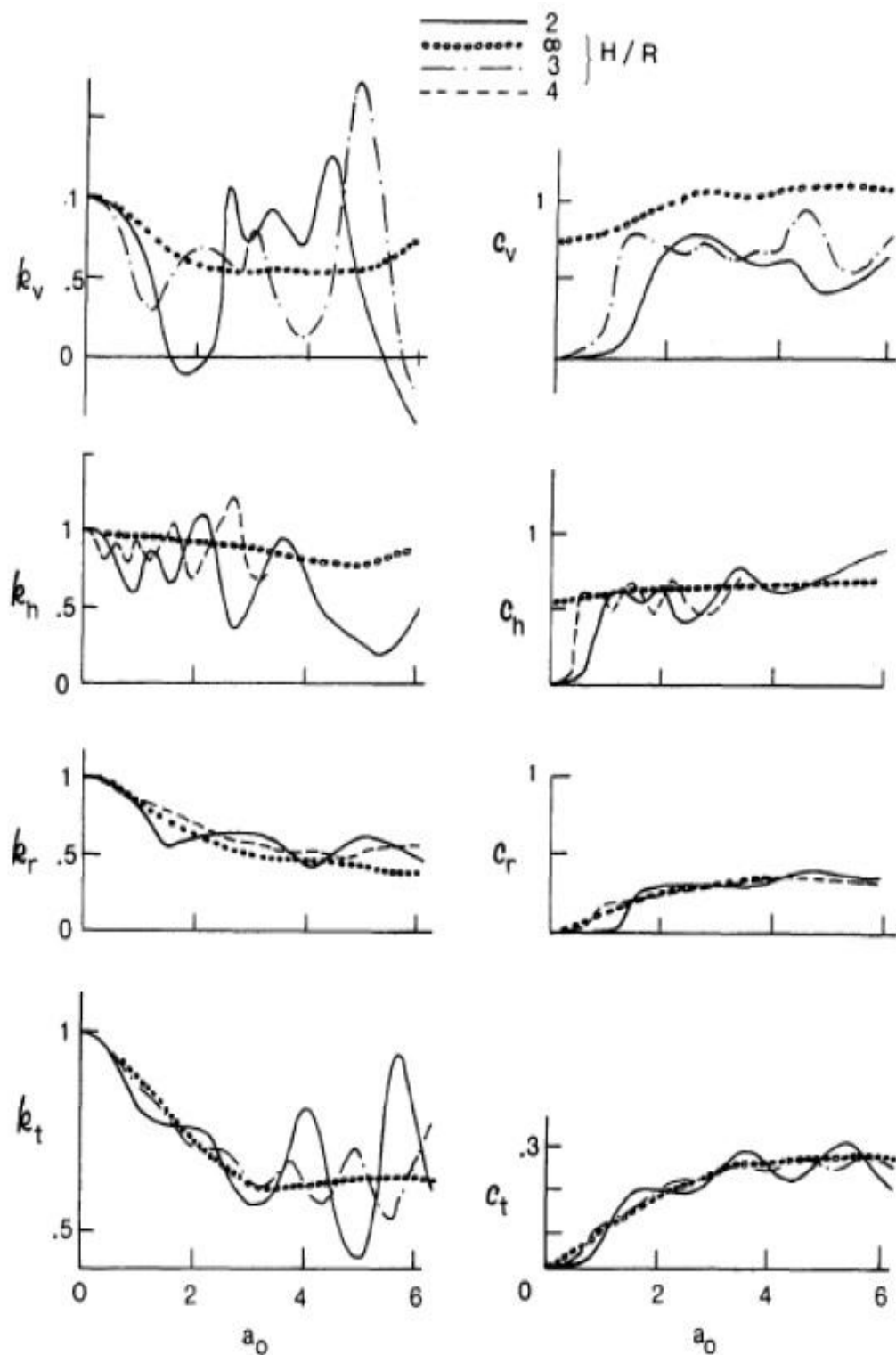
Είδος φόρτισης	Στατική Δυσκαμψία	Εύρος ακρίβειας	Εδαφικό προφίλ
Κατακόρυφη	$K_v = \frac{4GR}{1-\nu} \left(1 + 1.28 \frac{R}{H} \right)$	$H/R > 2$	
Οριζόντια	$K_h = \frac{8GR}{2-\nu} \left(1 + 0.5 \frac{R}{H} \right)$	$H/R > 1$	
Περιστροφική	$K_r = \frac{8GR^3}{3(1-\nu)} \left(1 + \frac{1}{6} \frac{R}{H} \right)$	$4 > H/R > 1$	
Στρεπτική	$K_t = \frac{16GR^3}{3}$	$H/R \geq 1.25$	

Σχήμα 2.7. Στατικές δυσκαμψίες για άκαμπτη κυκλική θεμελίωση επί στρώμα εδάφους (απο Gazetas)

Στα παρακάτω διαγράμματα δίνονται οι συντελεστές δυναμικής δυσκαμψίας και απόσβεσης σε συνάρτηση με την αδιάστατη συχνότητα a_0 , την υστερητική απόσβεση τους εδάφους ξ και τον λόγο H/R .



Σχήμα 2.8. Δυναμικοί συντελεστές δυσκαμψίας και απόσβεσης κυκλικού θεμελίου σε στρώμα επί βράχου συναρτήσει του ξ (Gazzetas 1991)



Σχήμα 2.9. Δυναμικοί συντελεστές δυσκαμψίας και απόσβεσης κυκλικού θεμελίου συναρτήση του H/R (Gazetas 1991)

B)Θεμελιώσεις με ορθογωνικό,τετραγωνικό και τυχαίο σχήμα.

Επέκταση των αποτελεσμάτων για κυκλικά θεμέλια,οδηγεί σε αποτελέσματα για ορθογωνικά(2Bx2L) και τετραγωνικά θεμέλια.Στην περίπτωση αυτών των θεμελίων η δυσκαμψία τους μπορεί να υπολογισθεί μέσω της στατικής δυσκαμψίας ενός ισοδύναμου κυκλικού θεμελίου.Για την μεταφορική κίνηση του θεμελίου στις τρεις διευθύνσεις x,y,z η ακτίνα του R_0 του ισοδύναμου κυκλικού θεμελίου είναι

$$R_0 = \sqrt{\frac{2B * 2L}{\pi}}$$

Για την περιστροφική κίνηση περί τον άξονα χ

$$R_x = \sqrt[4]{\frac{16L * B^3}{3\pi}}$$

Ενώ για την περιστροφή απο τον άξονα y

$$R_x = \sqrt[4]{\frac{16L^3 * B}{3\pi}}$$

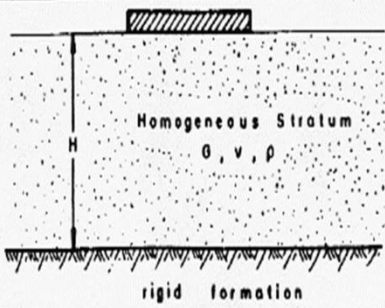
TABLE 15.1 DYNAMIC STIFFNESSES AND DASHPOT COEFFICIENTS FOR ARBITRARILY SHAPED FOUNDATIONS ON THE SURFACE OF A HOMOGENEOUS HALFSPACE.

Vibration Mode	Dynamic Stiffness $R = K \cdot k(\omega)$			Radiation Dashpot Coefficient C (General Shapes)
	Static Stiffness K		Dynamic Stiffness Coefficient k (General shape; $0 \leq a_0 \leq 2$) ¹	
	General Shape (foundation-soil contact surface is of area A_b and has a circumscribed rectangle $2L$ by $2B$; $L > B$) [*]	Square $L = B$		
Vertical, z	$K_z = \frac{2GL}{1-\nu} (0.73 + 1.54\chi^{0.76})$ with $\chi = \frac{A_b}{4L^2}$	$K_z = \frac{4.54GB}{1-\nu}$	$k_z = k_z\left(\frac{L}{B}, \nu; a_0\right)$ is plotted in Graph a	$C_z = (\rho V_{Lz} A_b) \cdot \zeta_z$ $\zeta_z = \zeta_z(L/B, \nu; a_0)$ is plotted in Graph c
Horizontal, y (in the lateral direction)	$K_y = \frac{2GL}{2-\nu} (2 + 2.50\chi^{0.66})$	$K_y = \frac{9GB}{2-\nu}$	$k_y = k_y\left(\frac{L}{B}, a_0\right)$ is plotted in Graph b	$C_y = (\rho V_{Ly} A_b) \cdot \zeta_y$ $\zeta_y = \zeta_y(L/B; a_0)$ is plotted in Graph d
Horizontal, x (in the longitudinal direction)	$K_x = K_y - \frac{0.2}{0.75-\nu} GL \left(1 - \frac{B}{L}\right)$	$K_x = K_y$	$k_x \approx 1$	$C_x \approx \rho V_x A_b$
Rocking, rx (around longitudinal x axis)	$K_{rx} = \frac{G}{1-\nu} I_{bx}^{0.76} \left(\frac{L}{B}\right)^{0.28} \left(2.4 + 0.5 \frac{B}{L}\right)$ with I_{bx} (I_{by}) area moment of inertia of the foundation-soil contact surface around the x (y) axis	$K_{rx} = \frac{3.6GB^3}{1-\nu}$	$k_{rx} \approx 1 - 0.20a_0$	$C_{rx} = (\rho V_{Lx} I_{bx}) \cdot \zeta_{rx}$ $\zeta_{rx} = \zeta_{rx}(L/B; a_0)$ is plotted in Graphs e and f
Rocking, ry (around lateral axis)	$K_{ry} = \frac{G}{1-\nu} I_{by}^{0.76} \left[3 \left(\frac{L}{B}\right)^{0.16}\right]$	$K_{ry} = K_{rx}$	$\begin{cases} \nu < 0.45: \\ k_{ry} \approx 1 - 0.30a_0 \\ \nu \approx 0.50: \\ k_{ry} \approx 1 - 0.25a_0 \left(\frac{L}{B}\right)^{0.30} \end{cases}$	$C_{ry} = (\rho V_{Ly} I_{by}) \cdot \zeta_{ry}$ $\zeta_{ry} = \zeta_{ry}(L/B; a_0)$ is plotted in Graph g
Torsional	$K_t = GJ_b^{0.76} \left[4 + 11 \left(1 - \frac{B}{L}\right)^{10}\right]$ with $J_b = I_{bx} + I_{by}$ being the polar moment of the soil-foundation contact surface	$K_t = 8.3GB^3$	$k_t \approx 1 - 0.14a_0$	$C_t = (\rho V_{Lz} J_b) \cdot \zeta_t$ $\zeta_t = \zeta_t(L/B; a_0)$

^{*} Note that as $L/B \rightarrow \infty$ (strip footing) the theoretical values of K_x and $K_y \rightarrow 0$; the values computed from the two given formulas correspond to a footing with $L/B \approx 20$.
¹ $a_0 = \omega \delta / V_s$.

Σχήμα 2.10. Δυναμικοί δείκτες εμπέδησης και απόσβεση ακτινοβολίας επι ομοιογενούς ημίχωρου. (Gazetas 1991)

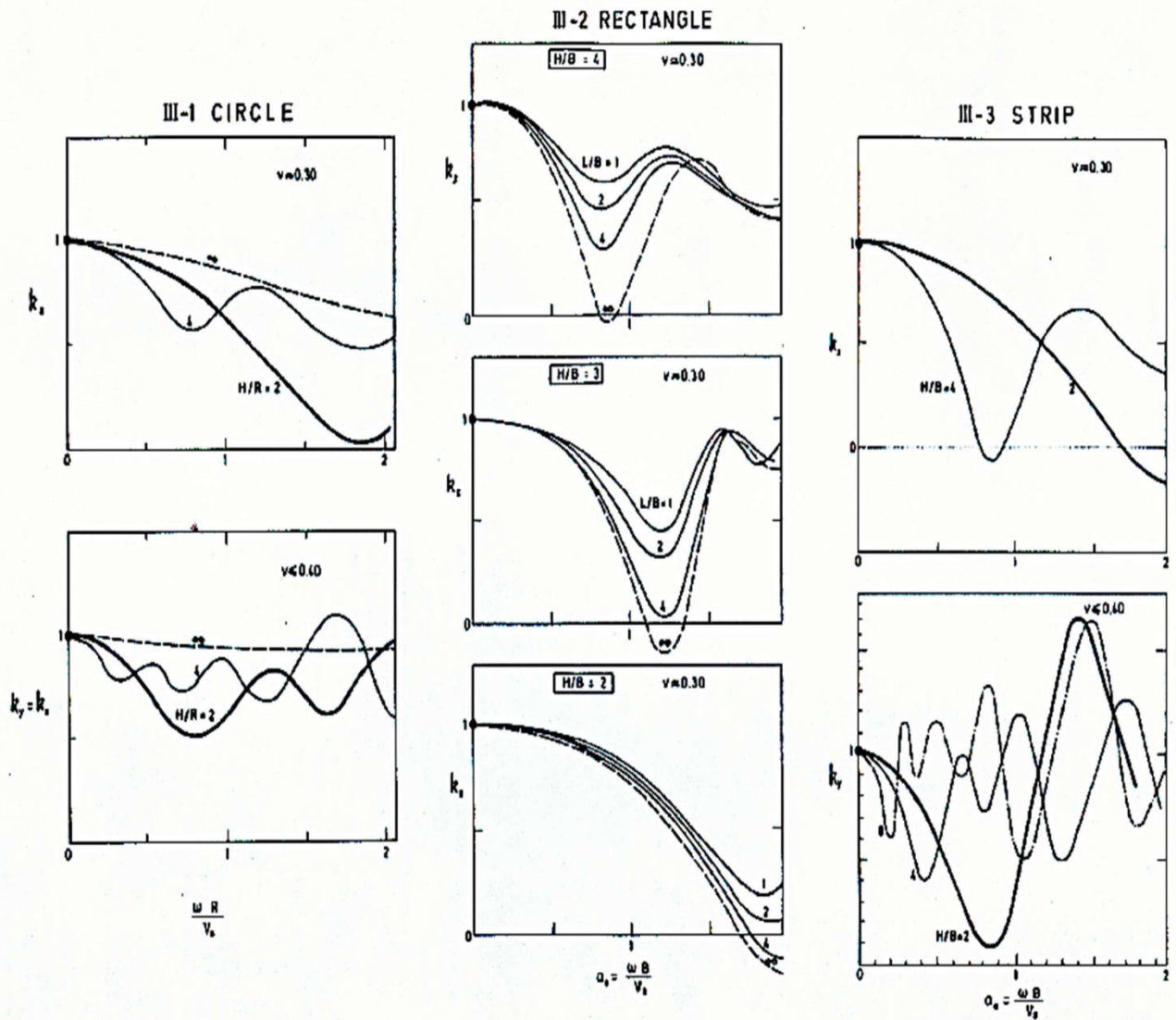
TABLE 15.3 DYNAMIC STIFFNESSES AND DASHPOT COEFFICIENTS FOR SURFACE FOUNDATIONS ON HOMOGENEOUS STRATUM OVER BEDROCK (sources are listed in the text).



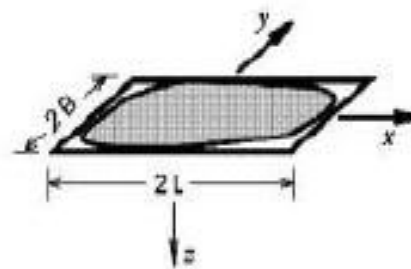
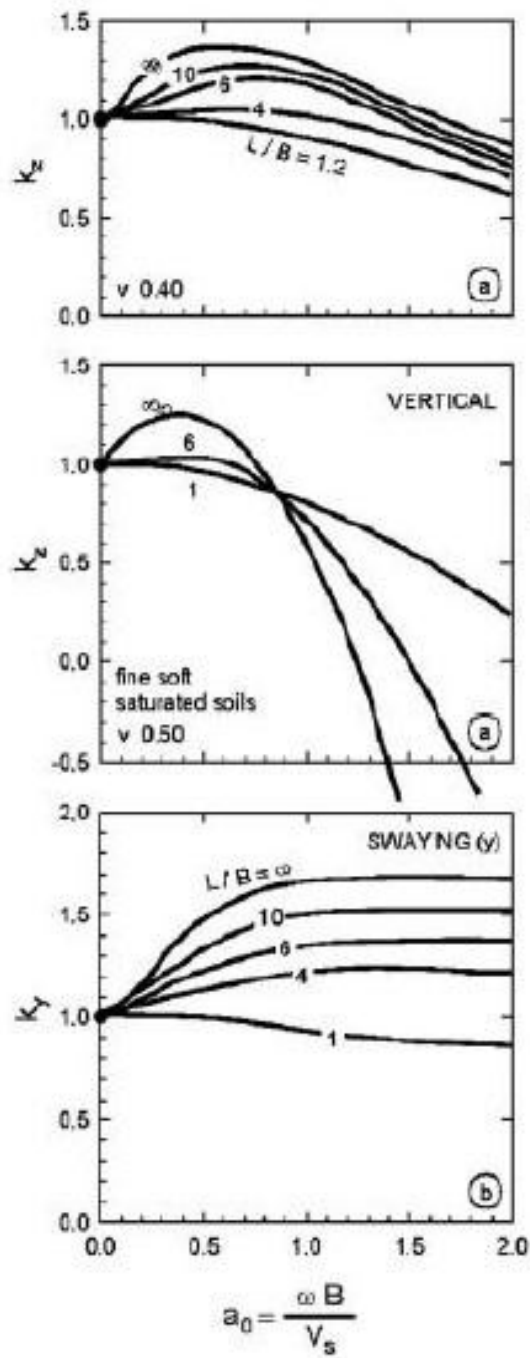
Foundation Shape		Circular Foundation of Radius $B = R$	Rectangular Foundation $2B$ by $2L$ ($L > B$)	Strip Foundation $2L \rightarrow \infty$
Static stiffnesses, K	Vertical, z	$K_z = \frac{4GR}{1-\nu} \left(1 + 1.3 \frac{R}{H} \right)$	$K_z = \frac{2GL}{1-\nu} \left[0.73 + 1.54 \left(\frac{B}{L} \right)^{3/4} \right] \left(1 + \frac{B}{0.5 + \frac{B}{L} H} \right)$	$\frac{K_z}{2L} \approx \frac{0.73G}{1-\nu} \left(1 + 3.5 \frac{B}{H} \right)$
	Lateral, y	$K_y = \frac{8GR}{2-\nu} \left(1 + 0.5 \frac{R}{H} \right)$.	$\frac{K_y}{2L} \approx \frac{2G}{2-\nu} \left(1 + 2 \frac{B}{H} \right)$
	Lateral, x	$K_x = K_y$.	—
	Rocking, rx	$K_{rx} = \frac{8GR}{3(1-\nu)} \left(1 + 0.17 \frac{R}{H} \right)$.	$\frac{K_{rx}}{2L} = \frac{\pi GB^2}{2(1-\nu)} \left(1 + 0.2 \frac{B}{H} \right)$
	Rocking, ry	$K_{ry} = K_{rx}$.	—
	Torsional, t	$K_t = \frac{16}{3} GR^3 \left(1 + 0.10 \frac{R}{H} \right)$.	—
Dynamic stiffness coefficients, $k(\omega)$	Vertical, z	$k_z = k_z(H/R, a_0)$ is obtained from Graph III-1	$k_z = k_z(H/B, L/B, a_0)$ is plotted in Graph III-2 for rectangles and strip	
	Horizontal, y or x	$k_y = k_y(H/R, a_0)$ is obtained from Graph III-1	.	$k_y = k_y(H/B, a_0)$ is obtained from Graph III-3
	Rocking, rx or ry Torsional	$k_\alpha(H/R) \approx k_\alpha(\infty)$ $\alpha = rx, ry, t$.	$k_{rx}(H/R) \approx k_{rx}(\infty)$
Radiation dashpot coefficients, $C(\omega)$	Vertical, z	$C_z(H/B) \approx 0$ at frequencies $f < f_c$, regardless of foundation shape $C_z(H/B) \approx 0.8C_z(\infty)$ at $f \geq 1.5f_c$ At intermediate frequencies: interpolate linearly. $f_c = \frac{V_{tz}}{4H}$, $V_{tz} = \frac{3.4V_s}{\pi(1-\nu)}$		
	Lateral, y or x	$C_y(H/B) \approx 0$ at $f < \frac{2}{3}f_c$; $C_y(H/B) \approx C_y(\infty)$ at $f > \frac{4}{3}f_c$ At intermediate frequencies: interpolate linearly. $f_s = V_s/4H$. Similarly for C_x		
	Rocking, rx or ry	$C_{rx}(H/B) \approx 0$ at $f < f_c$; $C_{rx}(H/B) \approx C_{rx}(\infty)$ at $f > f_c$. Similarly for C_{ry}		
	Torsional, t	$C_t(H/B) \approx C_t(\infty)$		

Σχήμα 2.11. Δυναμικοί δείκτες εμπέδησης σε θεμέλιο επί βράχου(Gazetas 1991)

GRAPHS ACCOMPANYING TABLE 15.3



Σχήμα 2.12 Δυναμικοί συντελεστές στατικής δυσκαμψίας (Gazetas 1991)



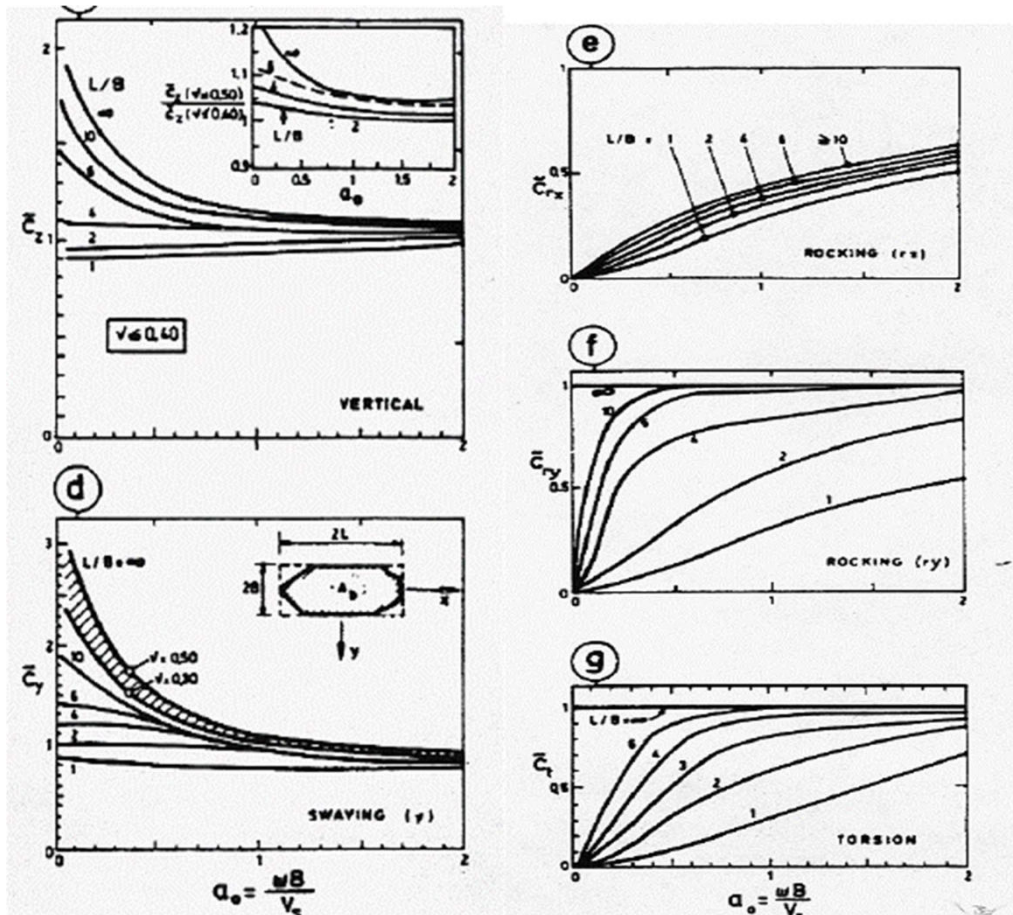
Σχήμα 2.13. Συντελεστές δυναμικών δεικτών εμπέδησης για τετραγωνικό θεμέλιο στον ομοιογενή ημίχωρο (Gazetas 1991)

Τέλος στον παρακάτω πίνακα δίνονται οι συντελεστές απόσβεσης ακτινοβολίας c για όλες τις παραπάνω θεμελιώσεις ανεξάρτητα από το σχήμα τους.

Συντελεστής απόσβεσης ακτινοβολίας $C(\omega)$	Κατακόρυφη, z	$C_z(H/B) \approx 0$ at $f < f_c$; regardless of foundation shape. $C_z(H/B) \approx 0.8 C_z(\infty)$ at $f \geq 1.5 f_c$ At intermediate frequencies: interpolate linearly. $f_c = \frac{V_{1a}}{4H}$, $V_{1a} = \frac{3AV_a}{\pi(1-\nu)}$
	Οριζόντια, γ ή x	$C_y(H/B) \approx 0$ at $f < \frac{1}{4}f_s$; $C_y(H/B) \approx C_y(\infty)$ at $f > \frac{4}{3}f_s$. Similarly for C_x . At intermediate frequencies: interpolate linearly. $f_s = \frac{V_s}{4H}$
	Περιστροφική, γx ή γy Στρέψιμη!	$C_{rx}(H/B) \approx 0$ at $f < f_c$; $C_{rx}(H/B) \approx C_{rx}(\infty)$ at $f > f_c$. Similarly for C_r . $C_t(H/B) \approx C_t(\infty)$

Σχήμα 2.14. Συντελεστές απόσβεσης ακτινοβολίας (Μυλωνάκης 2004)

Όπου $C(\infty)$ δίνονται από τα παρακάτω διαγράμματα



Σχήμα 2.15. Συντελεστές απόσβεσης ακτινοβολίας στον ομοιογενή ημίχωρο. (Gazetas 1991)

2.4 Μη γραμμική αλληλεπίδραση εδάφους-κατασκευής.

Η μη γραμμική συμπεριφορά των θεμελιώσεων έχει μελετηθεί από αρκετούς ερευνητές κυρίως μέσω: α) Πειραματικών αναλύσεων β) Αναλύσεων πεπερασμένων στοιχείων γ) Μοντέλα μακροστοιχείων.

Η συμπεριφορά αυτή εκδηλώνεται με τους ακόλουθους τρεις μηχανισμούς

• Αποκόλληση και ανασήκωμα του θεμελίου από το έδαφος.

Συμβαίνει όταν η σεισμική ροπή ανατροπής υπερβαίνει τη ροπή αντοχής του θεμελίου-εδάφους. Οι λικνιστικές αυτές ταλαντώσεις μπορεί να λειτουργούν ευεργετικά στην απόκριση της κατασκευής. (μη γραμμικότητα γεωμετρίας)

• Πλαστικοποίηση του εδάφους.

Δηλαδή κινητοποίηση του μηχανισμού της φέρουσας ικανότητας στο έδαφος. Η οποία οδηγεί σε σημαντική τροποποίηση της διέγερσης στην στάθμη της θεμελίωσης. (μη γραμμικότητα υλικού)

• Ολίσθηση στην διεπιφάνεια θεμελίου-εδάφους.

Όταν η αναπτυσσόμενη δύναμη στην διεπιφάνεια υπερβεί την αντίσταση της τριβής. (μη γραμμικότητα διεπιφάνειας)



Σχήμα 2.15. Μηχανισμοί μη γραμμικής απόκρισης (Gazetas&Apostolou 2004)

Επομένως η μη γραμμικότητα του εδάφους μπορεί να ενεργήσει ως ασφάλεια για την κατασκευή αποσβάνοντας σεισμική ενέργεια και μειώνοντας τις απαιτήσεις πλαστιμότητας στα στοιχεία δοκών και υποστυλωμάτων. Με βάση τα παραπάνω μια νέα φιλοσοφία αντισεισμικού σχεδιασμού έχει προταθεί (Gazetas 2003, Kawashima 2005, Gerolymos 2008) σύμφωνα με την οποία η δημιουργία πλαστικής άρθρωσης στο έδαφος κάτω από το θεμέλιο εμποδίζει την μεταφορά μεγάλων φορτίων στην κατασκευή. Αυτό γίνεται με την υποδιαστασιολόγηση της θεμελίωσης έναντι των παραπάνω φαινομένων. Κάτι που ουσιαστικά αντιβαίνει στους ισχύοντες κανονισμούς.

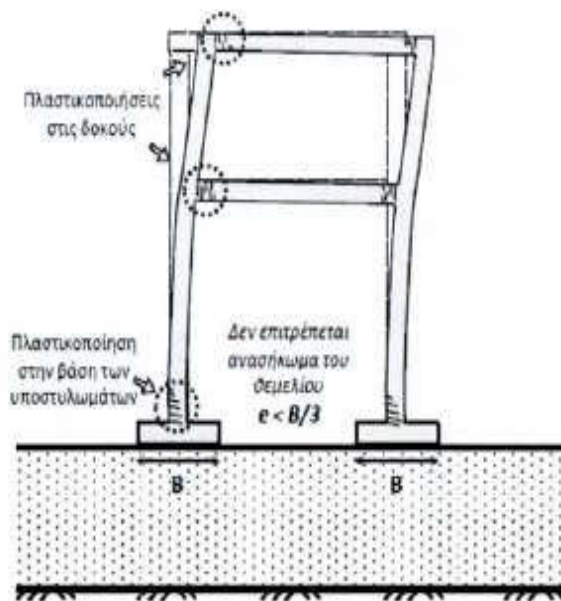
Συμβατικός Ικανοτικός Σχεδιασμός



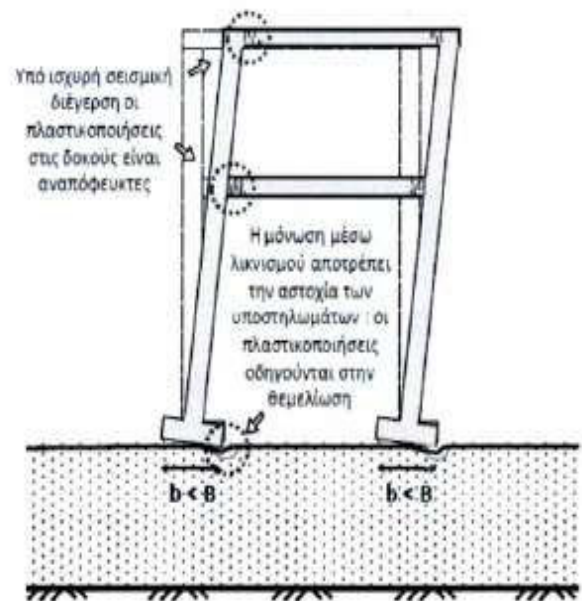
Νέα Φιλοσοφία Σχεδιασμού



Σχήμα 2.16.α) Υπερδιαστασιολόγηση στην θεμελίωση β) Υποδιαστασιολόγηση στην θεμελίωση (Anastasopoulos 2010)



α)



β)

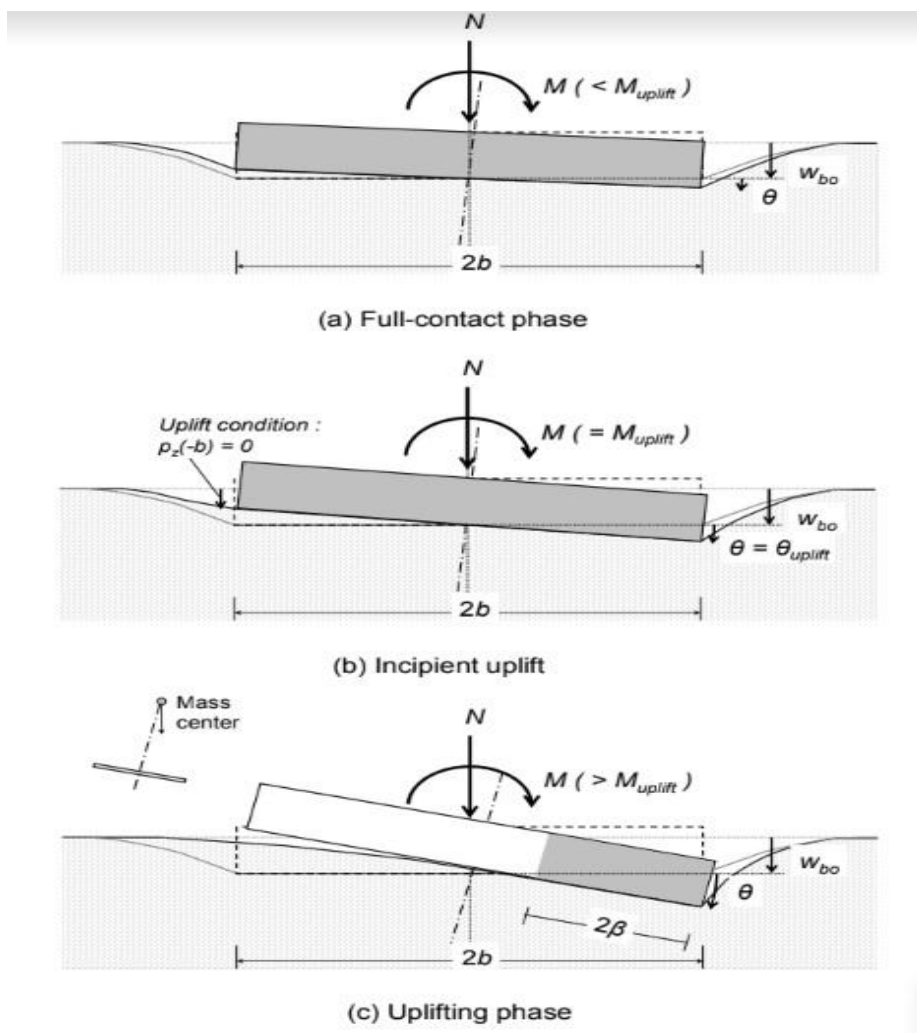
Σχήμα 2.17. α) Συμβατικός σχεδιασμός β) Σχεδιασμός μέσω μόνωσης λικνισμού (Gelagoti et al, 2010)

2.4.1 Ελαστικό έδαφος

Η θεώρηση ελαστικού εδάφους είναι ρεαλιστική σε περιπτώσεις ελαφρά φορτισμένων θεμελίων. Παρόλο της γραμμικής συμπεριφοράς του εδάφους είναι έντονα μη γραμμικό φαινόμενο λόγω της αποκόλλησης του θεμελίου από το υποκείμενο έδαφος και της αύξησης της στροφής του θεμελίου.

Συνεπώς ο λικνισμός επιφανειακής θεμελίωσης σε ελαστικό έδαφος διακρίνεται σε δύο φάσεις.

- Φάση πλήρους επαφής θεμελίου εδάφους. Κατά την οποία το θεμέλιο περιστρέφεται γύρω από το κέντρο του θεμελίου.
- Αποκόλληση του θεμελίου για γωνίες στροφής μεγαλύτερες από την κρίσιμη γωνία στροφής. Ο πόλος περιστροφής μεταβάλλεται και είναι το κέντρο της επιφανείας επαφής θεμελίου-εδάφους.



Σχήμα 2.18 Αποκόλληση θεμελίου επί ελαστικού εδάφους και πόλος περιστροφής. (Apostolou 2011)

Επομένως σε ένα πολύ στιφρό έδαφος το ανασήκωμα δεσπόζει κατά την απόκριση ενώ καθώς αυξάνει η εδαφική ενδοσιμότητα αυξάνεται το ενεργό πλάτος του θεμελίου και μειώνεται το ανασήκωμα. Η κρίσιμη ροπή για την οποία έχουμε ανασήκωμα του θεμελίου επί ελαστικού εδάφους είναι:

$$M_{up} = \frac{NB}{2}$$

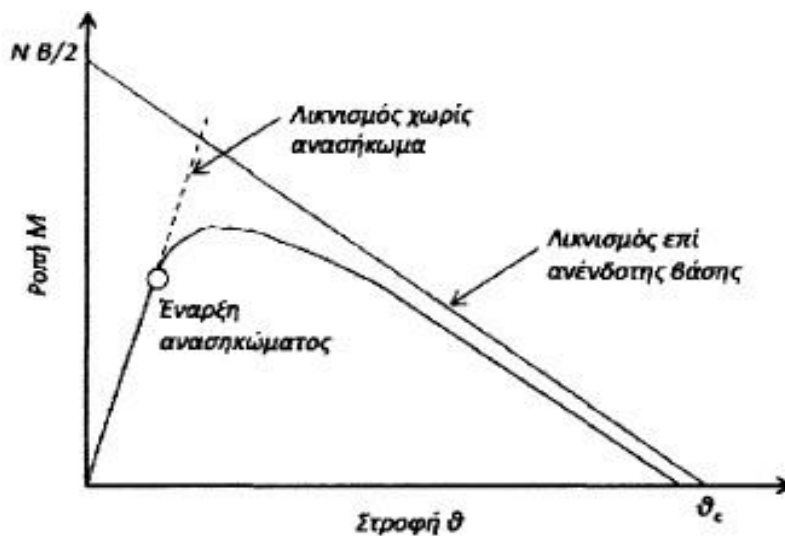
Όπου N το κατακόρυφο φορτίο και B το ημιπλάτος του θεμελίου.

Δηλαδή ένα κλάσμα της ροπής για την οποία εκδηλώνεται αποκόλληση στην περίπτωση ενός στερεού σώματος σε άκαμπτη βάση.

Και η αντίστοιχη γωνία:

$$\theta_{up} = \frac{M_{up}}{Kr} = \frac{NB}{2Kr}$$

Όπου Kr η περιστροφική δυσκαμψία.



Σχήμα 2.19 Λικνισμός θεμελίου επί ελαστικού εδάφους. (Gazetas & Apostolou 2007)

2.4.2 Ανελαστικό έδαφος

Η θεώρηση ανελαστικής συμπεριφοράς του εδάφους αποτελεί την πιο ρεαλιστική θεώρηση για την συμπεριφορά του εδάφους αφού η πλαστικοποίηση κάτω απο το θεμέλιο συμβαίνει ακόμα και κάτω απο την κατακόρυφη φόρτιση.

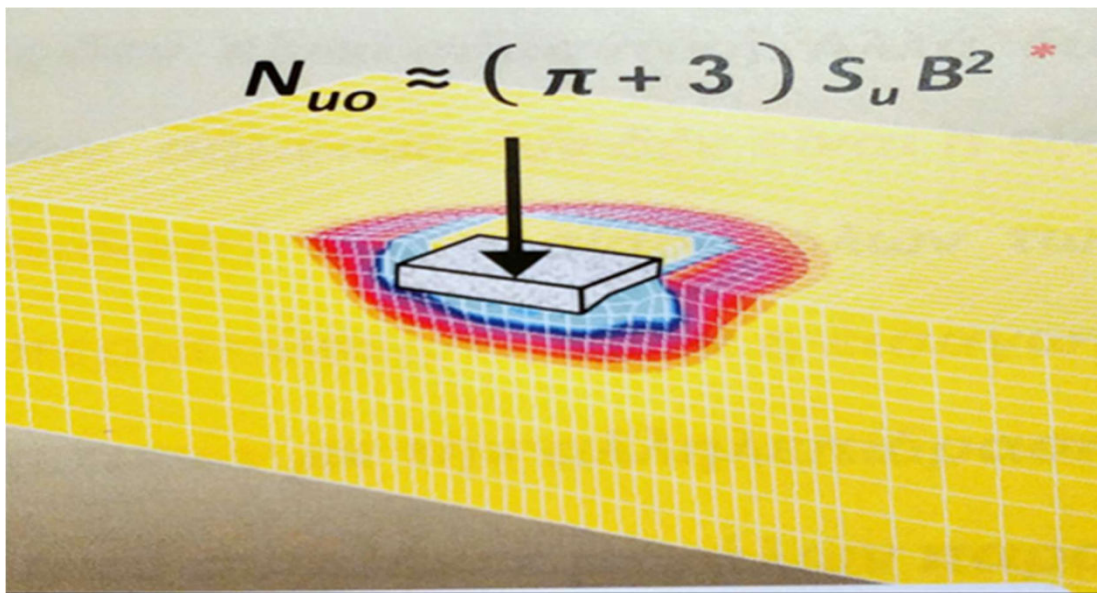
Σε χαμηλά επίπεδα ροπής διατηρείται πλήρης επαφή του θεμελίου με το υποκείμενο έδαφος. Όμως ο πόλος περιστροφής του θεμελίου δεν είναι σταθερός κινείται δηλαδή σταδιακά προς το λιγότερο φορτιζόμενο άκρο. Επομένως η καθίζηση του θεμελίου κατά την φάση της επαφής είναι μη μηδενική.

Η αποκόλληση της θεμελίωσης ξεκινά για την ίδια κρίσιμη γωνία στροφής όπως και στην περίπτωση του ελαστικού εδάφους (Gazetas 2007). Καθοριστικές παράμετροι του προβλήματος είναι ο συντελεστής ασφαλείας FS σε κατακόρυφη φόρτιση, τα χαρακτηριστικά της δυναμικής διέγερσης, καθώς επίσης και τα χαρακτηριστικά του εδάφους. Για υψηλές τιμές του FS κυριαρχεί το ανασήκωμα με ελάχιστη πλαστικοποίηση του εδάφους. Αντίθετα για χαμηλές τιμές του FS υπάρχει εκτεταμένη διαρροή του εδάφους κάτω απο το θεμέλιο ενώ περιορίζεται το ανασήκωμα.

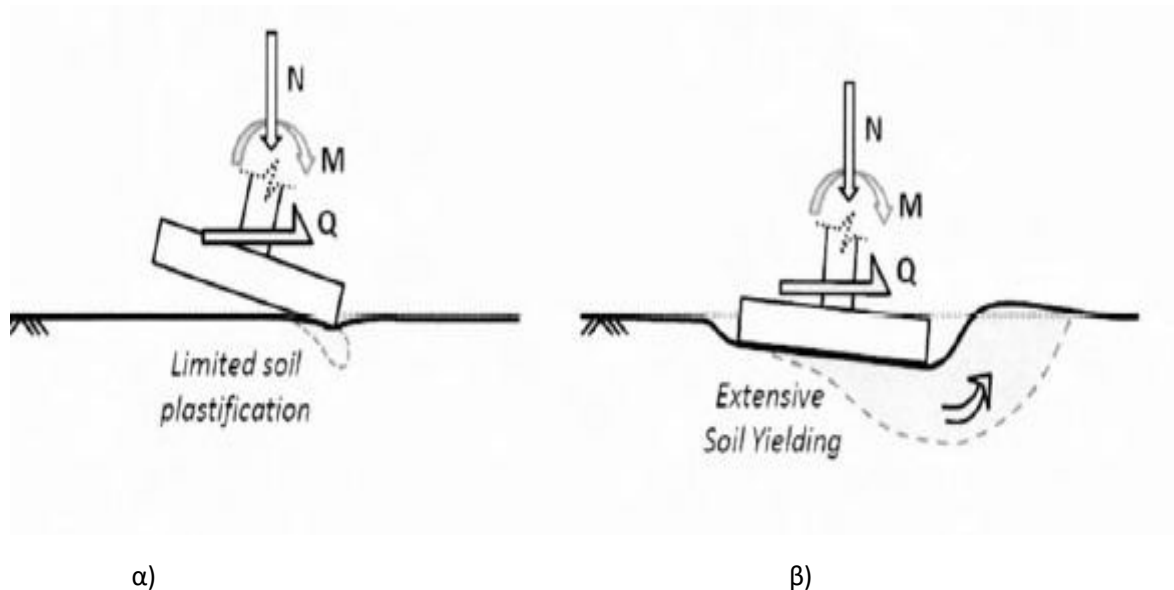
Ο συντελεστής FS δίνεται απο την σχέση

$$FS = \frac{N_{uo}}{N}$$

N_{uo} : Η καθαρή αντοχή σε αμιγώς κατακόρυφη φόρτιση της επιφανειακής θεμελίωσης.



Σχήμα 2.20 Οριακή κατακόρυφη δύναμη N_{uo} για ανελαστικό έδαφος αστράγγιστης διατμητικής αντοχής S_u για τετραγωνικό θεμέλιο. (Αλληλεπίδραση εδάφους Κατασκευής Γαζετας, Γερόλυμος, Γαρίνη)



Σχήμα 2.21 Δικνιστική απόκριση υπο συνδυασμένη καταπόνηση για α) υψηλό FS , β) χαμηλός FS. (I Anastasopoulos 2012)

Η ανελαστική απόκριση του συστήματος οδηγεί σε παραμένουσες παραμορφώσεις το μέγεθος των οποίων εξαρτάται από το συντελεστή FS και την διέγερση στην βάση του θεμελίου.

2.5 Αντιμετώπιση φαινομένου σε επίπεδο κανονισμών

Σε επίπεδο κανονισμών το θέμα της αλληλεπίδρασης εδάφους-θεμελίωσης-κατασκευής αντιμετωπίζεται συνήθως προσεγγιστικά ή και αγνοείται τελείως. Η πολύπλοκη φύση του φαινομένου και η εξάρτηση του από τις τοπικές συνθήκες κάθε έργου δικαιολογεί την διατήρηση των κανονιστικών πλαισίων. Στη συνέχεια δίνεται μια σύντομη παρουσίαση των σχετικών διατάξεων που περιέχονται σε διάφορους αντισεισμικούς κανονισμούς.

Στον Ελληνικό Αντισεισμικό κανονισμό (ΕΑΚ 2000) , δεν γίνεται σαφές για τον μηχανικό το πως θα αντιμετώπιζε το πρόβλημα της αλληλεπίδρασης. Γίνεται μόνο μια αναφορά όπου επιτρέπεται η θεώρηση πρόσθετων ελευθεριών κίνησης μέσω την εισαγωγή ελατηρίων ώστε να ληφθεί υπόψη η ενδοσιμότητα του εδάφους, βέβαια δεν αναφέρονται πουθενά οι τιμές των ελατηριακών σταθερών. Επίσης κατά τον καθορισμό της σεισμικής δράσης σχεδιασμού λαμβάνεται υπόψη ένας μειωτικός συντελεστής (συντελεστής θεμελίωσης(θ) όπως αναφέρεται) σε περίπτωση που η κατασκευή έχει ένα τουλάχιστον υπόγειο ή θεμελιώνεται σε γενική κοιτόστρωση ή με πασσάλους.

Κατά των ευρωκώδικα 8(EC8) η αλληλεπίδραση θα πρέπει να λαμβάνεται υπόψη σε κατασκευές που τα φαινόμενα P-δ είναι σημαντικά. Ουσιαστικά σε υψηλές κατασκευές με μεγάλη λυγηρότητα, θεμελιωμένες σε πολύ μαλακά εδάφη (εδάφη τύπου S1 με ταχύτητα $V_s < 100$). Μια πιο συγκεκριμένη αναφορά γίνεται στις διατάξεις του EC8 για της γέφυρες (EN 1992-1-2003) η οποία προτρέπει τον μηχανικό να συνυπολογίσει την αλληλεπίδραση σε περίπτωση που η παραδοχή ενδόσιμης θεμελίωσης αυξάνει τις μετακινήσεις του καταστρώματος των γεφυρών οδηγεί σε μετακινήσεις 30% μεγαλύτερες από αυτές του πακτωμένου συστήματος. Παρόλα αυτά δεν προτείνεται κανένας τρόπος υπολογισμού αυτών των μετακινήσεων καθιστώντας τα όρια ασαφή.

Πιο σαφείς οδηγίες παρέχονται στις κανονιστικές διατάξεις της FEMA 450. Συγκεκριμένα οι σχετικές οδηγίες αναφέρουν την μείωση των δράσεων σχεδιασμού καθώς και των αναπτυσσόμενων εντατικών μεγεθών και ενεργοποίηση φαινομένων P-δ. Το φαινόμενο της αλληλεπίδρασης λαμβάνεται μέσω μιας μειωμένης τέμνουσας βάσης η οποία δεν θα πρέπει να είναι μικρότερη από το 70% της τιμής που προκύπτει με την θεώρηση πλήρους πάκτωσης.

$$V' = V - DV > 0.7DV, \quad DV = \left[C_s - C_s' \left(\frac{0.05}{\zeta'} \right)^{0.4} \right] W'$$

Όπου

ζ' : απόσβεση του συστήματος εδάφους-κατασκευής

C_s : Συντελεστής που υπολογίζεται με χρήση της ιδιοπεριόδου πακτωμένης κατασκευής

C_s' : Συντελεστής που υπολογίζεται με χρήση της ιδιοπεριόδου του συστήματος εδαφους-κατασκευής

W' : Ποσοστό των φορτίων βαρύτητας (λαμβάνεται ως 0.7W) W : φορτία βαρύτητας

Για τον υπολογισμό των παραπάνω συντελεστών δίνονται προτεινόμενες σχέσεις καθώς και διαγράμματα στα οποία συνεκτιμάται η ανελαστικότητα του εδάφους μέσω μειωμένου μέτρου διάτμησης.

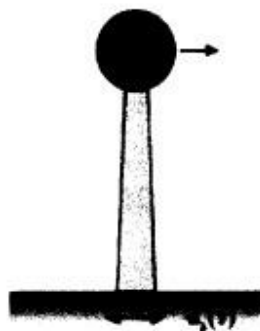
ΚΕΦΑΛΑΙΟ 3

3. Ελαστική και ανελαστική σεισμική απόκριση μονοβάθμιων ταλαντωτών επί άκαμπτου εδάφους.

Στο παρόν κεφάλαιο θα γίνει:

- Εύρεση της δυναμικής απόκρισης στην κορυφή του ταλαντωτή συγκεντρωμένης μάζας(μετακίνηση, επιτάχυνση) για διάφορους σεισμούς.
- Υπολογισμός των ελαστικών και ανελαστικών φασμάτων απόκρισης.
- Εύρεση των καμπυλών αντίστασης και καθορισμός του σημείου λειτουργίας(Performance point) για την προσδιορισμό της ζημιάς στο βάθρο.
- Επισκόπηση της μεθόδου N2 και έλεγχος των παραδοχών της για την πλαστιμότητα και το συντελεστή συμπεριφοράς του ταλαντωτή.

Για όλα τα παραπάνω θα δημιουργηθούν αλγόριθμοι με την βοήθεια του Mathcad, οι οποίοι θα επαληθευτούν με την βοήθεια προγραμμάτων πεπερασμένων στοιχείων του εμπορίου(Seismostruct, Plaxis, Seismosignal). Οι αλγόριθμοι αυτοί θα πρέπει να επικυρωθούν αρχικά για το πακτωμένο σύστημα ώστε στα επόμενα κεφάλαια να γενικευτούν και να συμπεριλάβουν την ενδοσιμότητα του εδάφους για την δημιουργία των απαιτούμενων μακροστοιχείων.



Σχήμα 3.1 Κατασκευή θεμελιωμένη σε βράχο

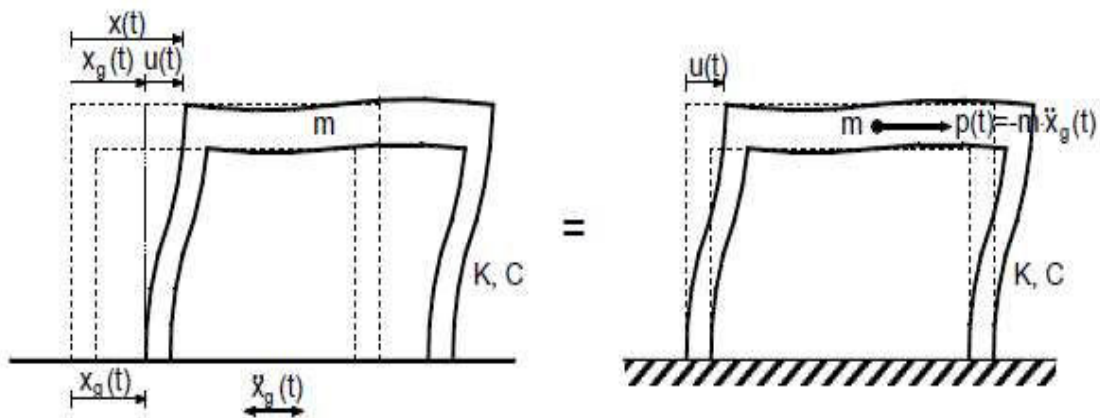
3.1 Ελαστική σεισμική απόκριση μονοβάθμιων ταλαντωτών επί άκαμπτου εδάφους

3.1.1 Εξίσωση κίνησης

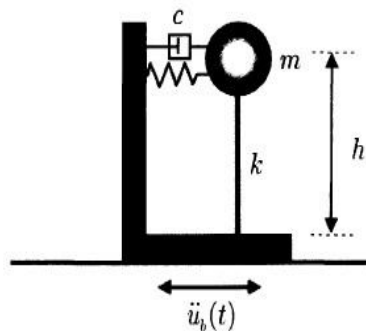
Κατά την διάρκεια ενός σεισμού, η βάση μιας κατασκευής που είναι θεμελιωμένη πάνω σε αυτό κινείται γύρω από την αρχική θέση ηρεμίας της. Το μέγεθος που προκαλεί αυτή την κίνηση είναι η επιτάχυνση του εδάφους και συμβολίζεται με $a_g = \ddot{x}_g(t)$.

Η μάζα της κατασκευής λόγω της αδράνειας της θα προκαλέσει μια διαφορική κίνηση μάζας-βάσης παραμορφώνοντας τα υποστολώματα και προκαλώντας ένταση $u(t)$.

Επιπλέον σύμφωνα με την αρχή του D'Alembert κάθε στιγμή οι δυνάμεις που δρούν στην μάζα του ταλαντωτή βρίσκονται σε δυναμική ισορροπία. Επομένως η πραγματική κατάσταση δύναται να προσομοιωθεί με ένα σύστημα πακτωμένο στην βάση του που όμως στην μάζα του εξασκείται οριζόντια δύναμη λόγω αδράνειας $-m\ddot{x}_g(t)$.

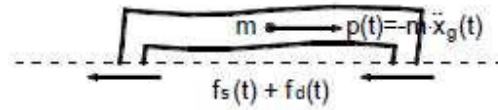


Σχήμα 3.2. Αρχή D'Alembert (Ψυχάρης 2016)



Σχήμα 3.3 Ισοδύναμος πακτωμένος μονοβάθμιος ταλαντωτής (Stewart et al 1999)

Επομένως οι δυνάμεις επαναφοράς που δρούν στην μάζα της κατασκευής είναι



Σχήμα 3.4 Δυνάμεις Επαναφοράς(Ψυχάρης 2016)

Όπου $f_s(t)$ η δύναμη που προκαλείται από απο την σχετική μετακίνηση της μάζας ως προς την βάση $u(t)$ και δίνεται απο την σχέση :

$$f_s(t) = K \cdot u(t)$$

για ελαστική συμπεριφορά του υποστυλώματος.

Όπου K η δυσκαμψία του υποστυλώματος του μονοβάθμιου ταλαντωτή συγκεντρωμένης μάζας. Στην παρούσα εργασία θα θεωρηθεί μονόπακτο βάθρο δυσκαμψίας

$$K = 3EI/h^3$$

Όλες οι κατασκευή κατά την ταλάντωση τους παρουσιάζουν απόσβεση, δηλαδή απορρόφηση ενέργειας. Απόσβεση παρατηρείται και σε ιδανικά υλικά λόγω των παραμορφώσεων που συμβαίνουν σε αυτά. Για τον υπολογισμό της απόσβεσης θεωρούμε οτι η δύναμη που αναπτύσσεται λόγω τριβών είναι ανάλογη της ταχύτητας $\dot{u}(t)$.

$$f_d(t) = C \cdot \dot{u}(t)$$

Ως C ορίζεται:

$$C = 2\zeta\sqrt{mK}$$

Όπου ζ ο συντελεστής απόσβεσης που εκφράζει την απόσβεση ως ποσοστός της κρίσιμης απόσβεσης. Για φορείς απο οπλισμένο σκυρόδεμα έχει τιμή συνήθως 5%.

Με εφαρμογή του νόμου του νεύτωνα παίρνουμε:

$$p - f_s - f_d = m\ddot{u} \Leftrightarrow m\ddot{u} + C\dot{u} + Ku = -m\ddot{x}_g \Leftrightarrow (3.1)$$

$$\ddot{u} + \frac{C}{m}\dot{u} + \frac{K}{m}u = -\ddot{x}_g (3.2)$$

Χρησιμοποιώντας τις σχέσεις:

$$C = 2\zeta\sqrt{mK} \text{ και } \omega = \sqrt{\frac{K}{m}}$$

$$\text{Καταλήγουμε στην σχέση } \ddot{u} + 2\zeta\omega\dot{u} + \omega^2u = -\ddot{x}_g \quad (3.3)$$

Η οποία αποτελεί την εξίσωση κίνησης ενός μονοβάθμιου πακτωμένου ταλαντωτή μάζας m , ύψους h , ιδιοπεριόδου $T = 2\pi\sqrt{\frac{m}{K}}$ και απόσβεσης ζ που υπόκειται σε σεισμική διέγερση \ddot{x}_g .

3.1.2 Επίλυση εξίσωση κίνησης με την χρήση αλγορίθμου-Μέθοδος κεντρικών διαφορών

Η μέθοδος κεντρικών διαφορών είναι μια απλή μέθοδος απευθείας ολοκλήρωσης της εξίσωσης (3.1). Ουσιαστικά η μέθοδος βασίζεται σε πεπερασμένες διαφορές της πρώτης και δεύτερης παραγώγου της μετατόπισης (δηλαδή της ταχύτητας και της επιτάχυνσης). Για ένα σταθερό χρονικό βήμα Δt έχουμε:

$$\dot{u}_a = \frac{u_i - u_{i-1}}{\Delta t} \qquad \dot{u}_b = \frac{u_{i+1} - u_i}{\Delta t}$$

Δηλαδή

$$\dot{u}_i \cong \frac{\dot{u}_a + \dot{u}_b}{2} = \frac{u_{i+1} + u_{i-1}}{2\Delta t} \text{ και } \ddot{u}_i = \frac{\dot{u}_a - \dot{u}_b}{\Delta t} = \frac{u_{i+1} - 2u_i + u_{i-1}}{(\Delta t)^2}$$

Αντικαθιστώντας τις παραπάνω σχέσεις στην εξίσωση (3.1) παίρνουμε

$$\left(\frac{m}{\Delta t^2} + \frac{c}{2\Delta t}\right) u_{i+1} = p_i - \left(\frac{m}{\Delta t^2} - \frac{c}{2\Delta t}\right) u_{i-1} - \left(K - \frac{2m}{\Delta t^2}\right) u_i$$

Η παραπάνω γράφεται και στην μορφή

$$\hat{K} u_{i+1} = \hat{p}$$

$$\text{Με } \hat{K} = \frac{m}{\Delta t^2} + \frac{c}{2\Delta t} \text{ και } \hat{p} = p_i - \left(\frac{m}{\Delta t^2} - \frac{c}{2\Delta t}\right) u_{i-1} - \left(K - \frac{2m}{\Delta t^2}\right) u_i$$

Ουσιαστικά η δυσκαμψία και η δύναμη του συστήματος κάθε χρονική στιγμή.

Οι μετακινήσεις στα βήματα 0 και -1 θα ληφθούν ίσες με το μηδέν. (μηδενικές αρχικές συνθήκες).

Για την αριθμητική ευστάθεια του αλγορίθμου είναι απαραίτητο να υιοθετηθεί ένα κατάλληλο χρονικό βήμα. Η συνθήκη για αυτό το βήμα είναι:

$$\frac{\Delta t}{T} < \frac{1}{\pi} \text{ το οποίο δεν αποτελεί πρόβλημα καθώς υιοθετείται ένα } \Delta t \text{ πολύ μικρό } \Delta t = 0.0001$$

Η παραπάνω διαδικασία προγραμματίζεται στο Mathcad για την εύρεση της μετακίνησης και της επιτάχυνσης στην κορυφή του ταλαντωτή για δεδομένη ιδιοπερίοδο T_{st} .

$$\text{utot} := \left| \begin{array}{l} \text{wp} \leftarrow 2 \cdot \frac{\pi}{T_{\text{st}}} \end{array} \right.$$

$$\left| \begin{array}{l} u_0 \leftarrow 0 \end{array} \right.$$

$$\left| \begin{array}{l} u_1 \leftarrow 0 \end{array} \right.$$

$$\left| \begin{array}{l} \text{for } i \in 1..N_t \end{array} \right.$$

$$\left| \begin{array}{l} u_{i+1} \leftarrow \frac{2 - (\text{wp} \cdot \text{dt})^2}{1 + \text{wp} \cdot \xi \text{st} \cdot \text{dt}} \cdot u_i - \frac{1 - \text{wp} \cdot \xi \text{st} \cdot \text{dt}}{1 + \text{wp} \cdot \xi \text{st} \cdot \text{dt}} \cdot u_{i-1} - \frac{\text{dt}^2}{1 + \text{wp} \cdot \xi \text{st} \cdot \text{dt}} \cdot (\text{ak}_i) \end{array} \right.$$

$$\left| \begin{array}{l} a_i \leftarrow \frac{u_{i+1} - 2 \cdot u_i + u_{i-1}}{\text{dt}^2} + \text{ak}_i \end{array} \right.$$

$$\left(\begin{array}{l} u \\ a \end{array} \right)$$

3.1.3 Επιβεβαίωση του αλγορίθμου με τα προγράμματα Seismosignal, Seismostruct, Plaxis.

Ο ελαστικός μονοβάθμιος ταλαντωτής στο Seismostruct

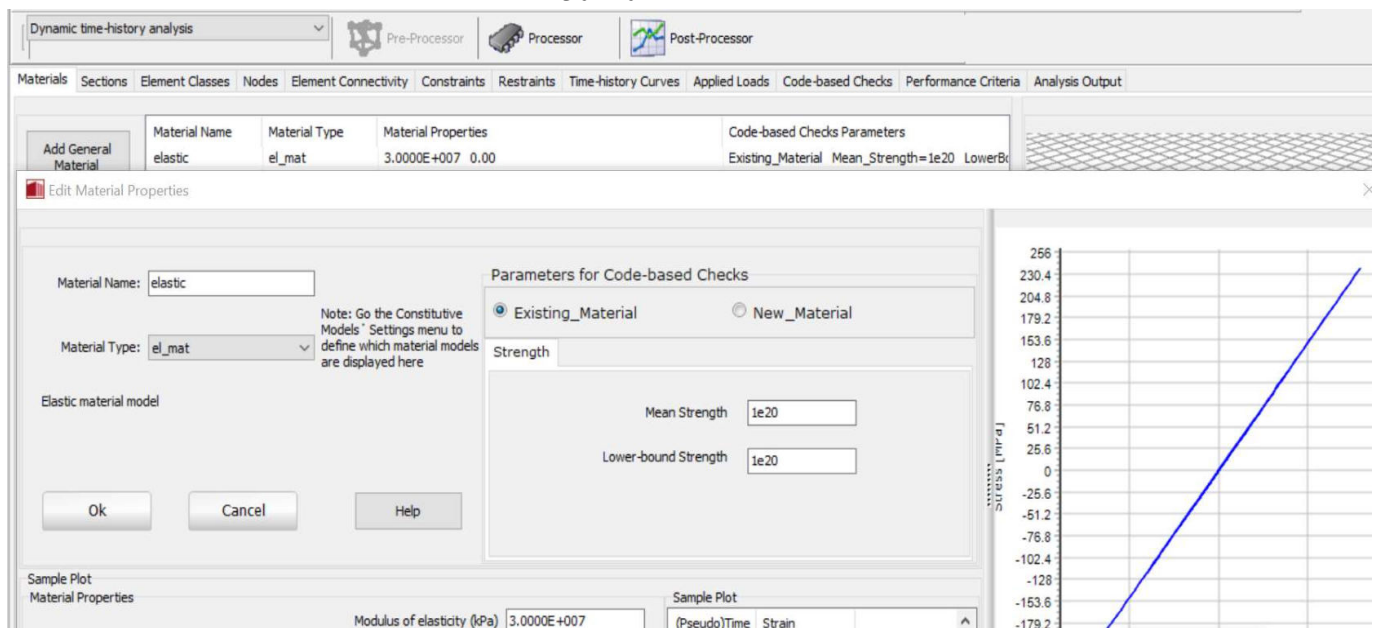
Για την προσομοίωση του μονοβάθμιου ταλαντωτή στο Seismostruct είναι δυνατόν να χρησιμοποιηθεί ένα ανεστραμμένο εκκρεμές συγκεντρωμένης μάζας. Για τις ανάγκες της προσομοίωσης θα χρησιμοποιηθεί ένας ταλαντωτής με τα χαρακτηριστικά της γέφυρας Fukae δηλαδή με

• Ένα κυκλικό υποστύλωμα διαμέτρου $d=3\text{m}$, ύψους $h=12\text{m}$, με ροπή αδράνειας $I = \frac{\pi}{64} d^4 = 3.977\text{m}^4$, $E = 30 \cdot 10^6 \text{kPa}$, ηδυσκαμψία $K = \frac{3EI}{h^3} = 2.071 \cdot 10^5 \text{KN/m}$

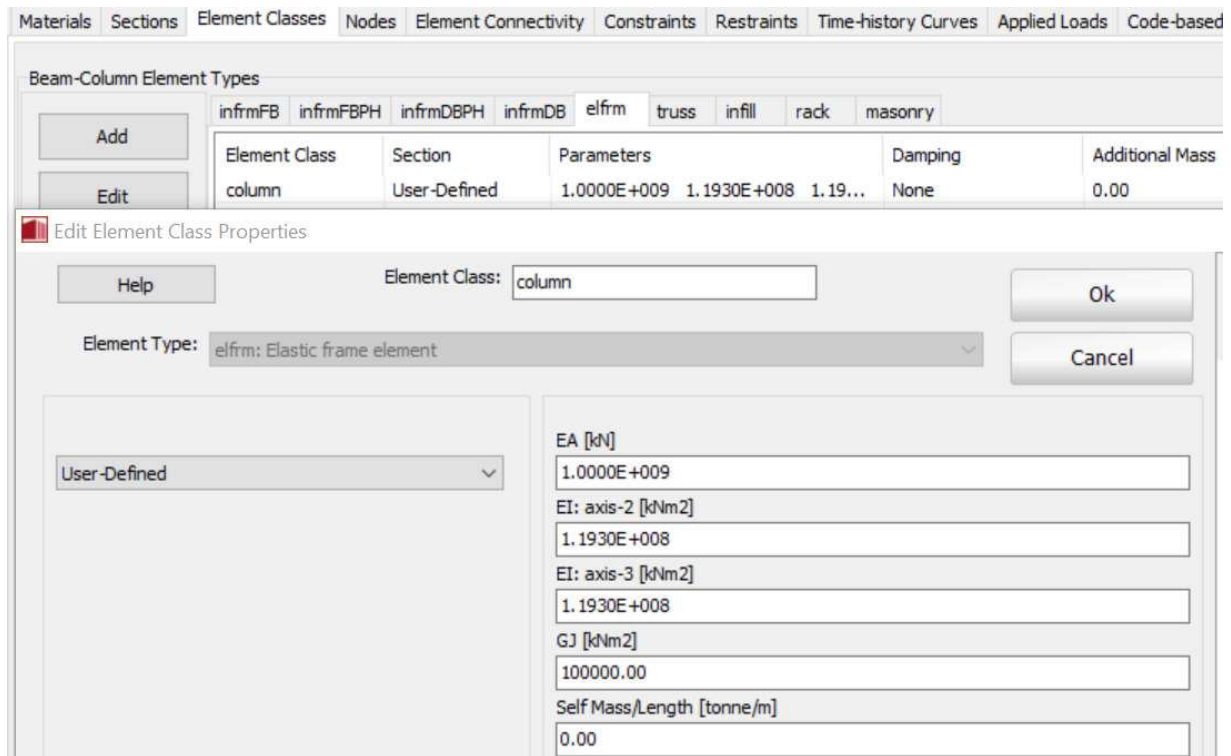
• Μάζα συγκεντρωμένη στην κορυφή του υποστυλώματος $Mst=1000\text{tn}$

$$Tst = 2\pi \sqrt{\frac{Mst}{K}} = 0.437$$

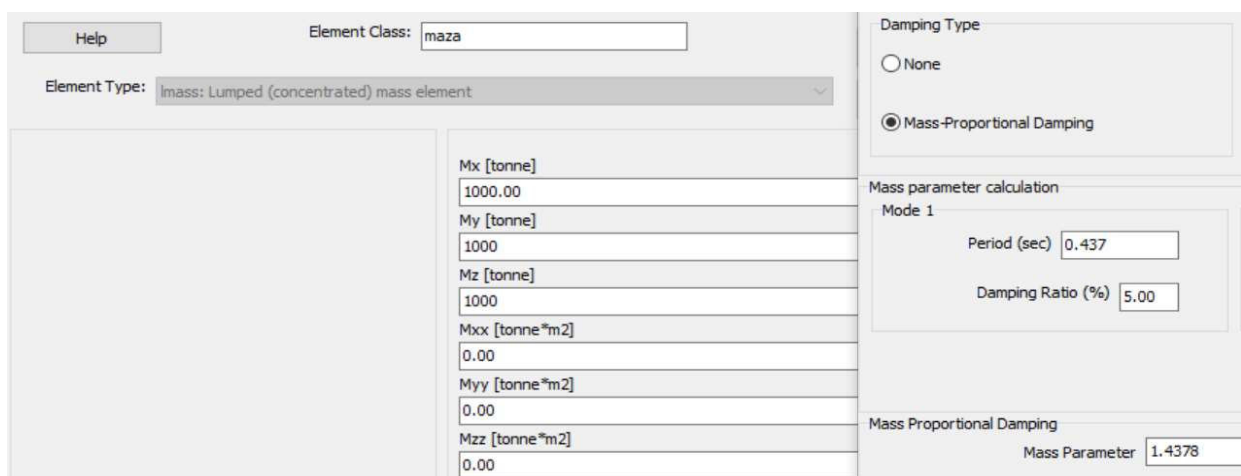
Αρχικά θα πρέπει να επιλεγεί από την καρτέλα 'Materials' ένα γραμμικά ελαστικό υλικό με $E=30 \cdot 10^6 \text{kPa}$



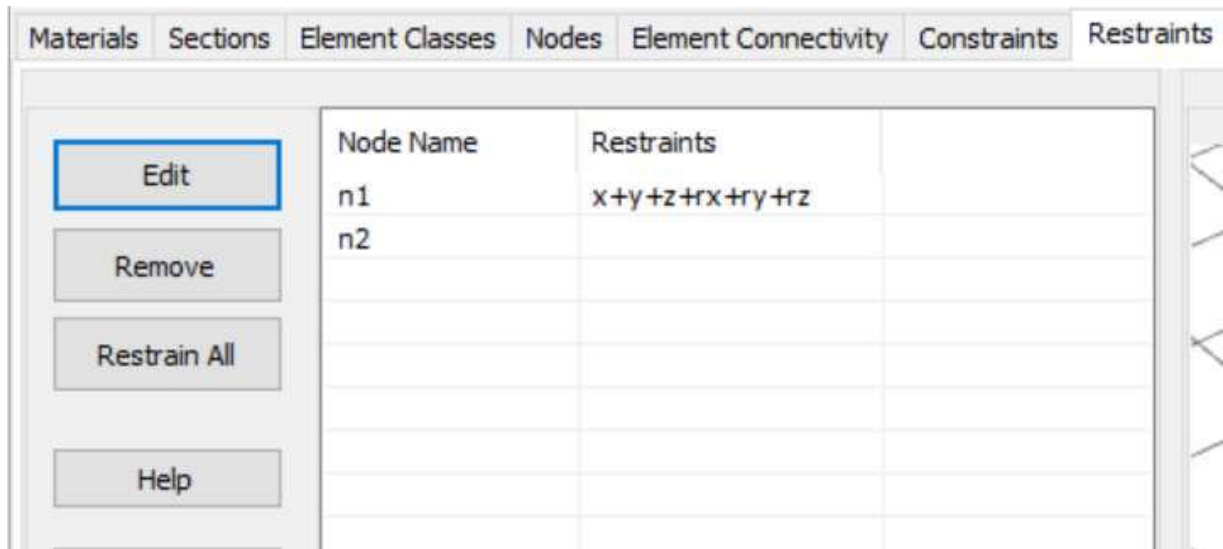
Στην καρτέλα Element Classes διαλέγουμε beam-column Element types. Στο Element type διαλέγουμε elastic frame element και εισάγουμε μια μεγάλη τιμή EA για να κάνουμε ατενή την κολώνα στο EI θέτουμε την τιμή $1.193 \cdot 10^8$ που υπολογίσαμε παραπάνω. Θέτουμε μηδενική μάζα και απόσβεση.



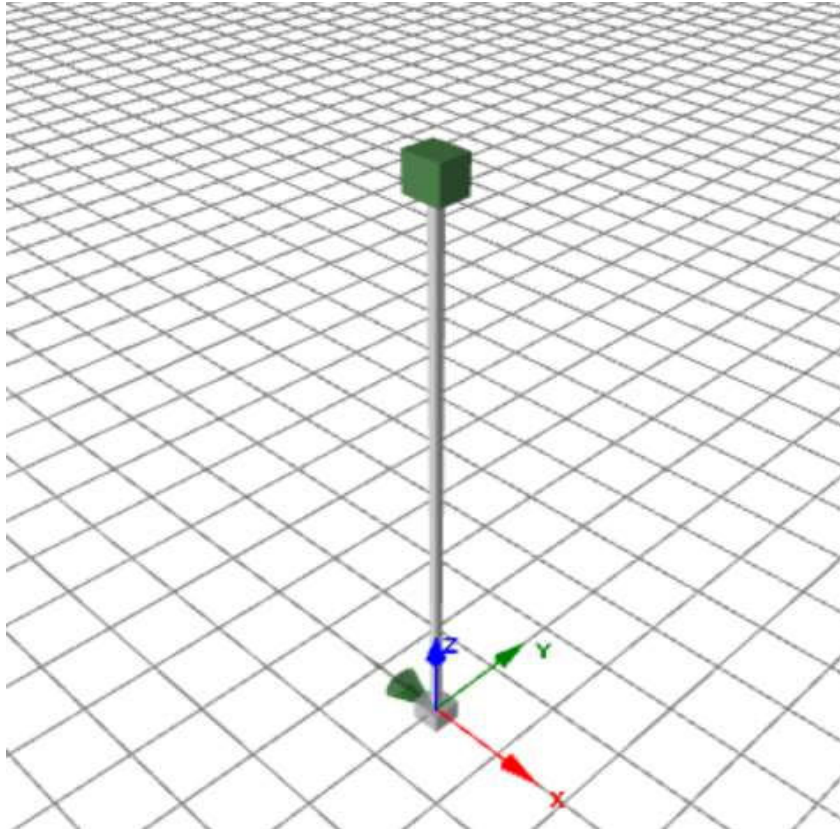
Η εισαγωγή της συγκεντρωμένης μάζας γίνεται από την επιλογή mass and damping elements διαλέγοντας lumped mass. Εισάγεται $m=1000\text{tn}$ καθώς και απόσβεση λόγω μάζας (Mass proportional damping ίση με $a_0 = 2\xi\omega st = 1.437$ όπου $\xi=0.05$). Η στρωφικές ροπές αδρανείας λόγω μάζας λαμβάνονται ίσες με το μηδέν.



Για να ληφθούν υπόψη οι συνθήκες πλήρεις πάκτωσης επιλέγεται απο την καρτέλα Restraints η πλήρης δεσμευση όλων των κινήσεων στην βάση του ταλαντωτή



Τέλος επιλέγεται dynamic time history analysis και εισάγονται τα επιταχυνσιογραφήματα στον κόμβο n1 κατά τον άξονα χ όπως φαίνεται παρακάτω. Για την επίλυση των δυναμικών αυτών προβλημάτων το Seismostruct χρησιμοποιεί την χρονική ολοκλήρωση κατα Newmark.




Σχήμα 3.5 Ο μονοβάθμιος πακτωμένος ταλαντωτής στο Seismostruct


Ο πακτωμένος ελαστικός ταλαντωτής στο Plaxis

Στο Plaxis δεν είναι δυνατή η εισαγωγή συγκεντρωμένης μάζας στην κορυφή του υποστυλώματος. Η μάζα αυτή θα προσομοιωθεί με την σημειακή αλλαγή της πυκνότητας του υποστυλώματος που θα κατασκευαστεί. Επιπλέον απαραίτητη είναι η δημιουργία ενός επιφανειακού δύσκαμπτου και αβαρούς θεμελίου με αυτό τον τρόπο το σύστημα του ταλαντωτή θα παραλαμβάνει την δυσκαμψία του από το υποστύλωμα και μόνο.

Για την προσομοίωση του θεμελίου θα φτιαχτεί ένα στοιχείο plate διαστάσεων 10X10(m) από γραμμικώς ελαστικά υλικό με $\gamma=0$, μηδενική απόσβεση και μάζα. Για την ακαμψία του θα δωθούν μεγάλες τιμές στα EI, EA.

Identification	themelio		
Comments			
Colour	 RGB 0, 0, 255		
Material type	Elastic		
Properties			
d	m		10.00
γ	kN/m ³		0.000
Isotropic		<input checked="" type="checkbox"/>	
E ₁	kN/m ²		200.0E6
E ₂	kN/m ²		200.0E6
ν_{12}			0.2000
G ₁₂	kN/m ²		83.33E6
G ₁₃	kN/m ²		83.33E6
G ₂₃	kN/m ²		83.33E6
Rayleigh α			0.000
Rayleigh β			0.000

Για το υποστύλωμα θα δημιουργεί ένα στοιχείο beam ύψους 11.9m μηδενικής μάζας και απόσβεσης με τα παρακάτω χαρακτηριστικά

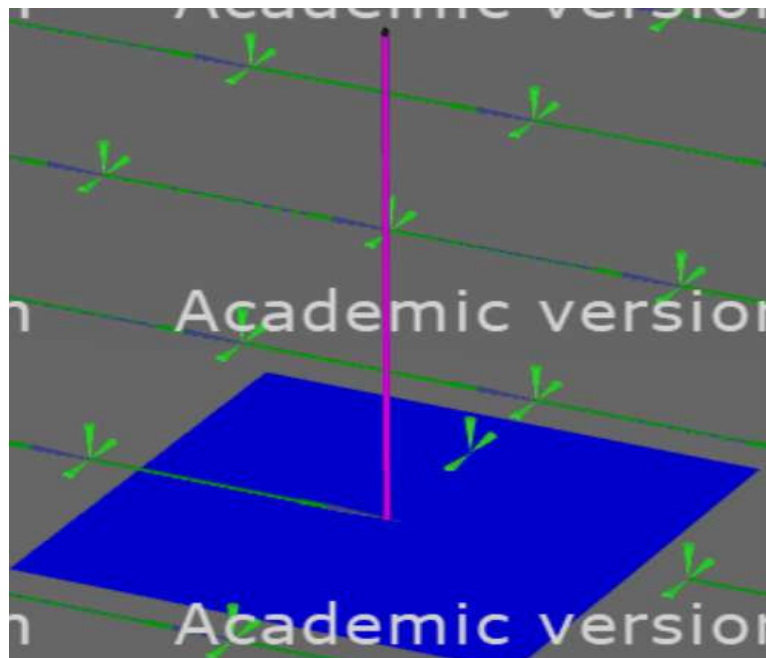
Material set			
Identification	beam		
Comments			
Colour	 RGB 255, 0, 255		
Material type	Elastic		
Properties			
E	kN/m ²		30.00E6
γ	kN/m ³		0.000
Beam type	Predefined		
Predefined beam type	Massive circular beam		
Diameter	m		3.000
A	m ²		7.069
I ₂	m ⁴		3.976
I ₃	m ⁴		3.976
Rayleigh α			0.000
Rayleigh β			0.000

Για να προσωμοιωθεί η μάζα μέσω της προαναφερθείσας σημειακής πυκνότητας, θα προστεθεί στο παραπάνω beam, ένα επιπλέον beam ύψους 0.1 με τα ίδια γεωμετρικά χαρακτηριστικά. Η μάζα των 1000tn εισάγεται μέσω του γ το οποίο υπολογίζεται από την σχέση:

$$m = \rho V \Leftrightarrow m = \frac{\gamma \pi D^2}{g} h \Leftrightarrow \gamma = \frac{4mg}{\pi d^2 h} \stackrel{h=0.1}{\Leftrightarrow} \gamma = 13880 \text{KN/m}^3$$

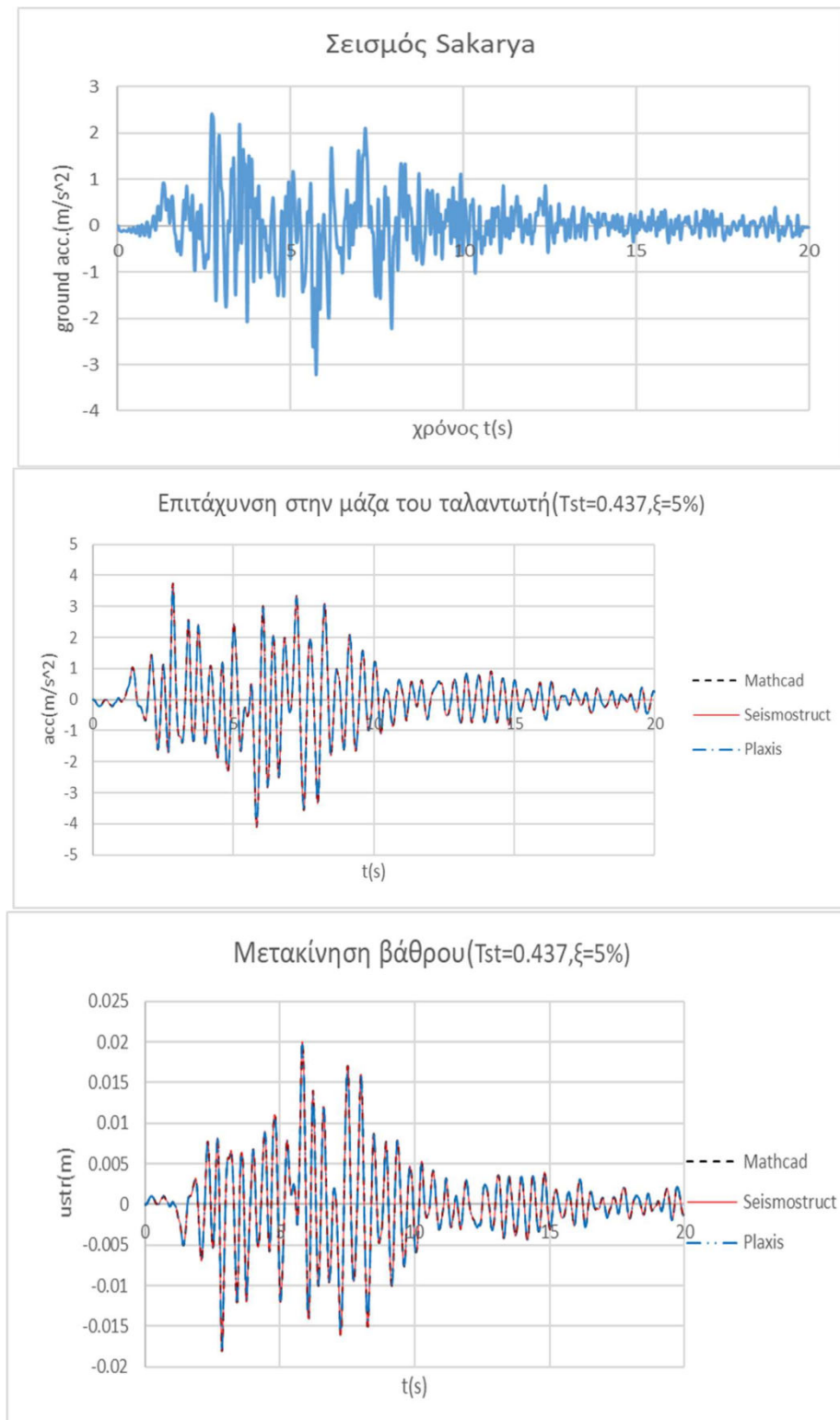
Τίθεται και εδώ απόσβεση λόγω της μάζας έτσι ώστε η συχνότητα $f=2,28\text{Hz}$ να αποσβένεται με 5%. Το οποίο αντιστοιχεί σε έναν συντελεστή απόσβεσης $\alpha_0=1.437$.

Property	Unit	Value
Material set		
Identification		maza
Comments		
Colour		■ RGB 33, 28, 33
Material type		Elastic
Properties		
E	kN/m ²	30.00E9
γ	kN/m ³	13.88E3
Beam type		Predefined
Predefined beam type		Massive circular beam
Diameter	m	3.000
A	m ²	7.069
I ₂	m ⁴	3.976
I ₃	m ⁴	3.976
Rayleigh α		1.437
Rayleigh β		0.000

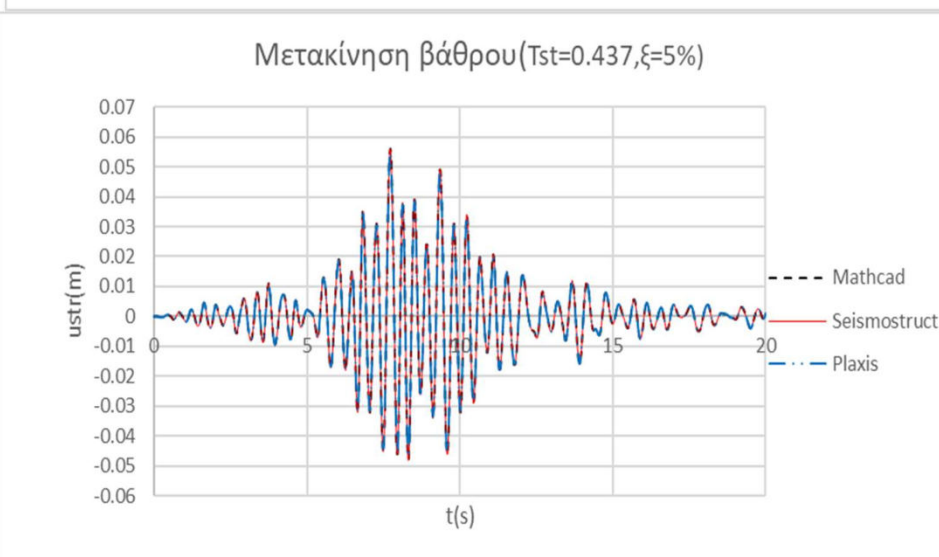
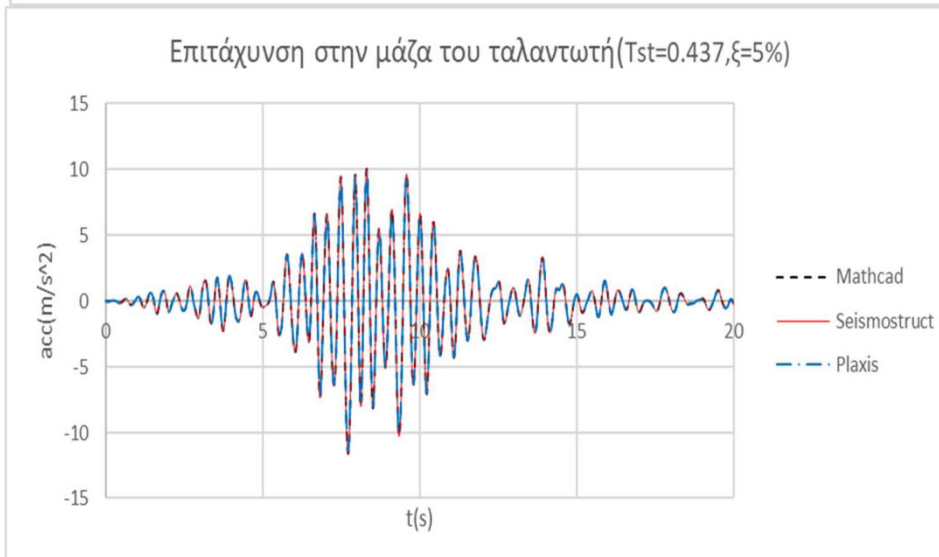
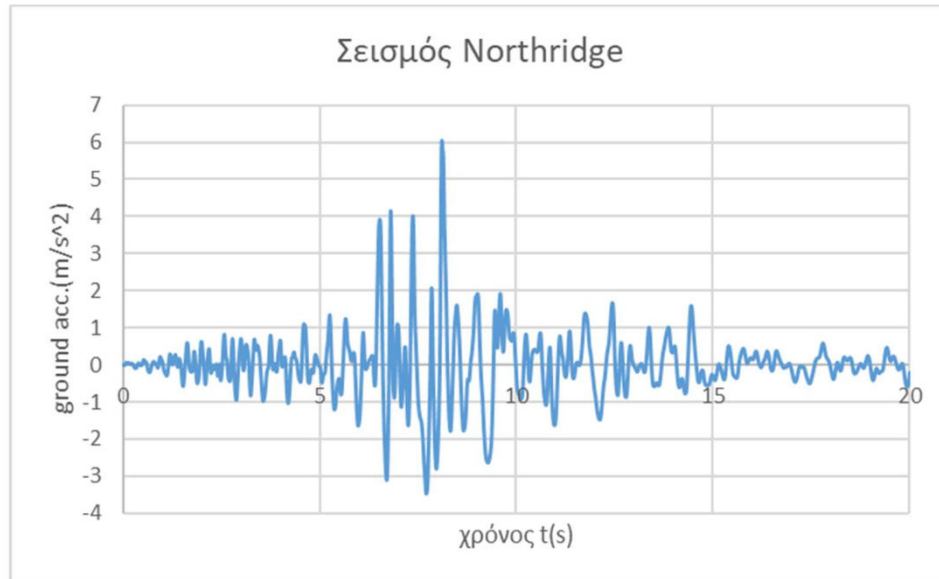


Σχήμα 3.6. Ο πακτωμένος μονοβάθμιος ελαστικός ταλαντωτής στο Plaxis.

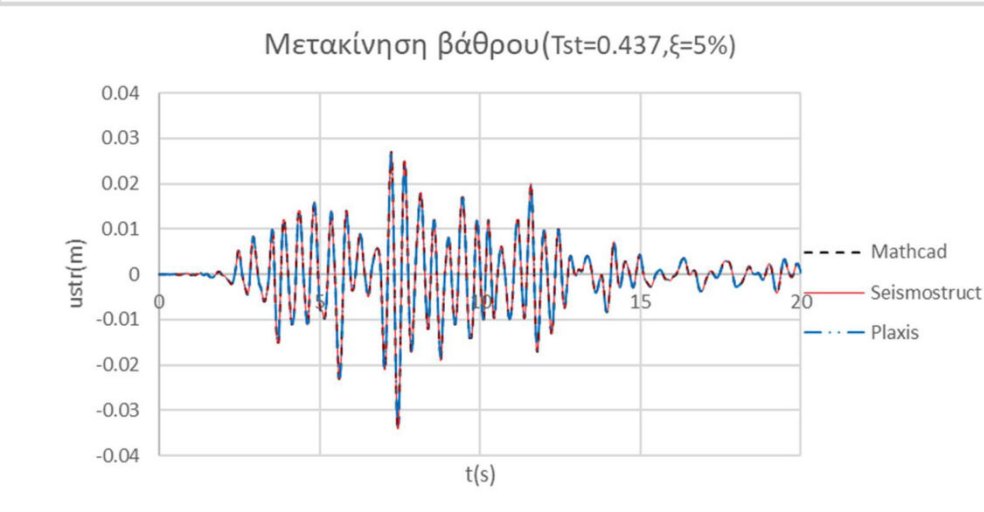
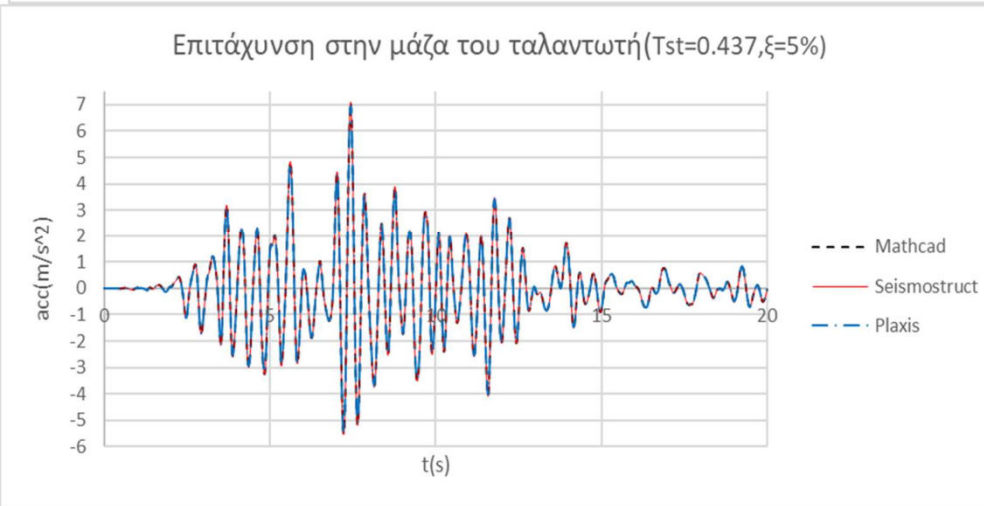
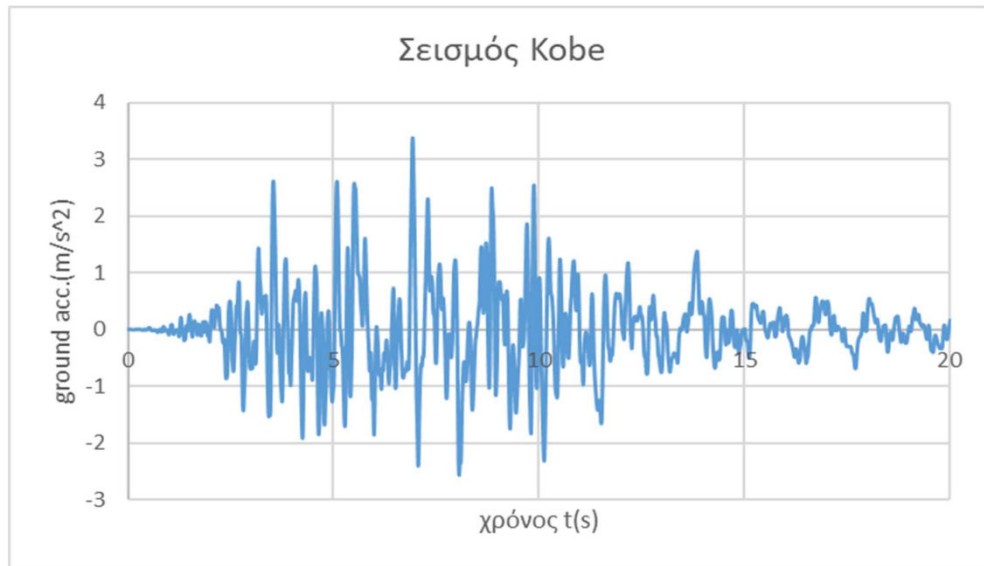
Ο αλγόριθμος που δημιουργήθηκε θα επιβεβαιωθεί με τα αποτελέσματα των παραπάνω προγραμμάτων για 7 επιταχυνσιογραφήματα σεισμών. Τα επιταχυνσιογραφήματα αυτά έχουν υποστεί baseline correction (ώστε το σύστημα να επανέρχεται στην αρχική του κατάσταση χωρίς παραμένουσες παραμορφώσεις καθώς και φιλτράρισμα των συχνοτήτων για να μειωθεί ο "θόρυβος" του γραφήματος.



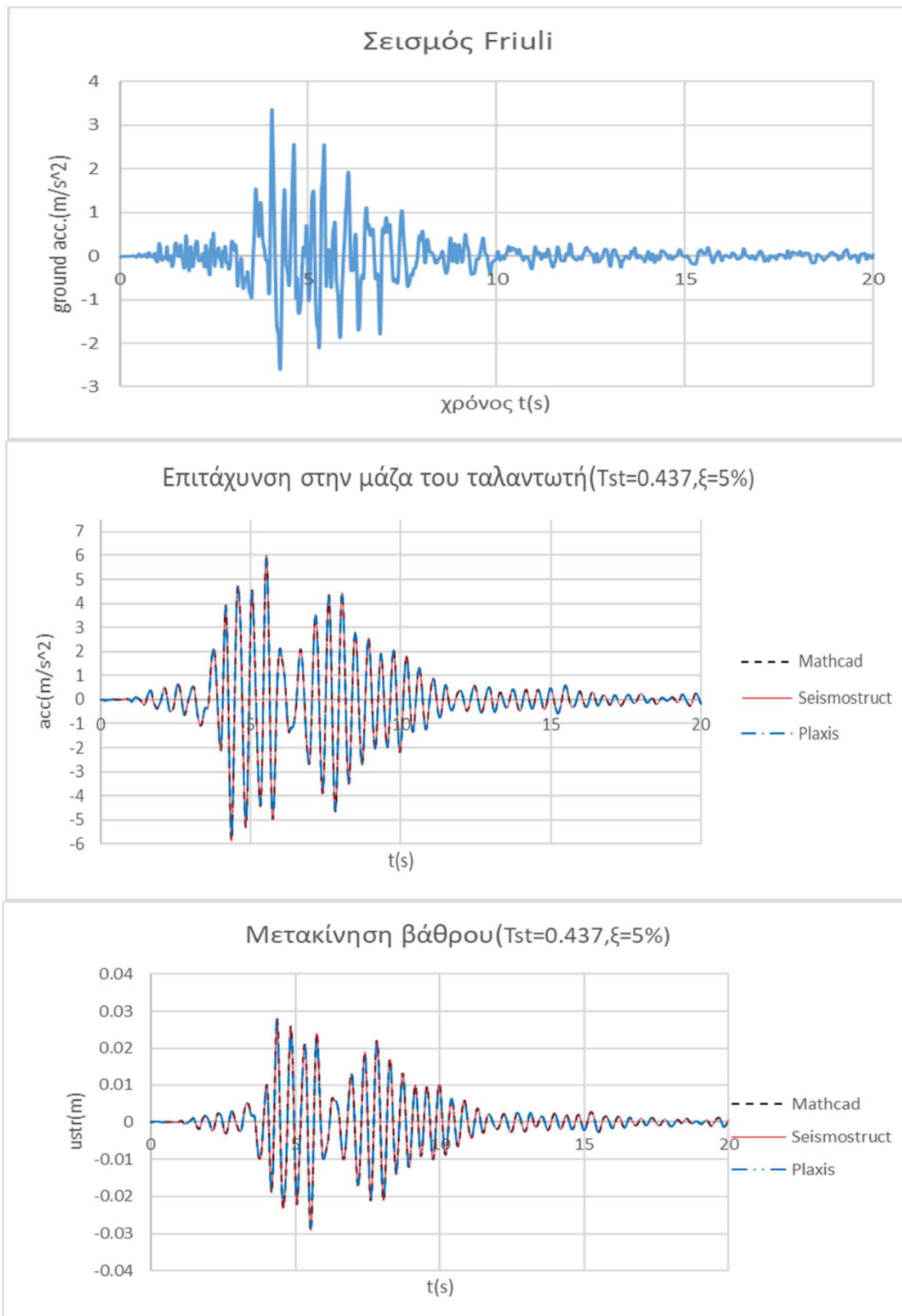
Σχήμα 3.7. Επιτάχυνση στην μάζα και μετακίνηση βάθρου του ταλαντωτή για το σεισμό της Sakarya



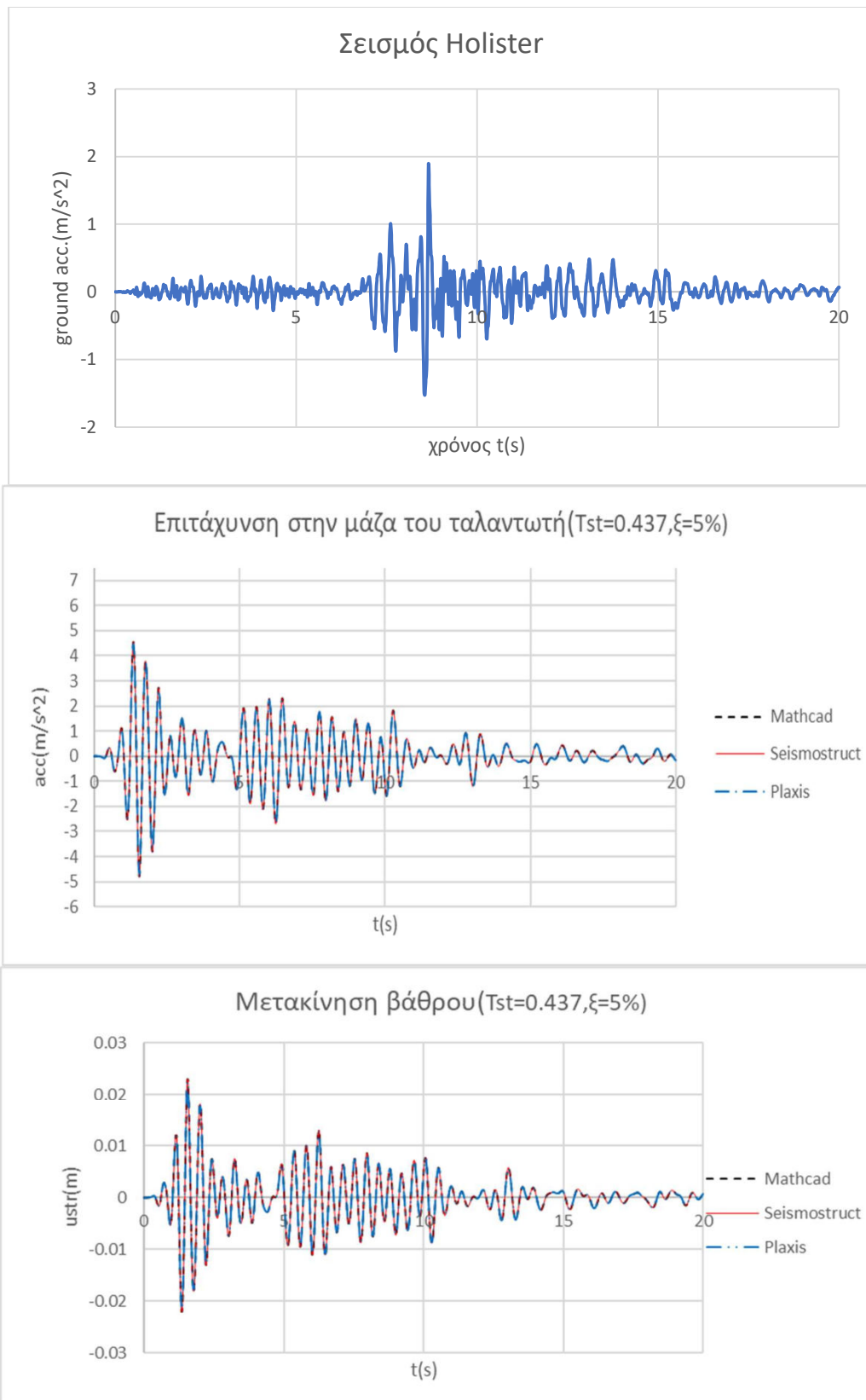
Σχήμα 3.8. Επιτάχυνση στην μάζα και μετακίνηση βάρου του ταλαντωτή για το σεισμό του Northridge



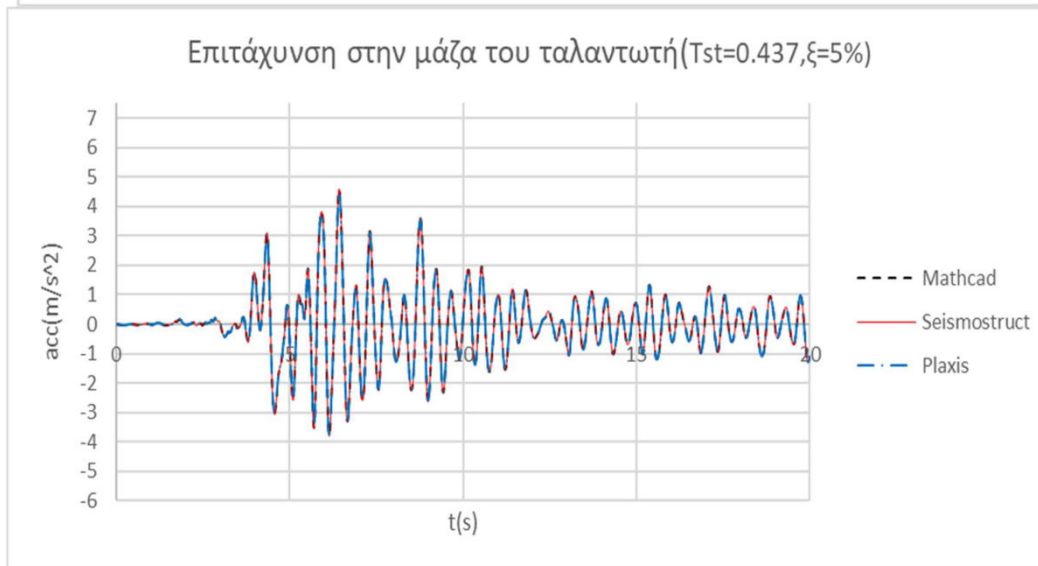
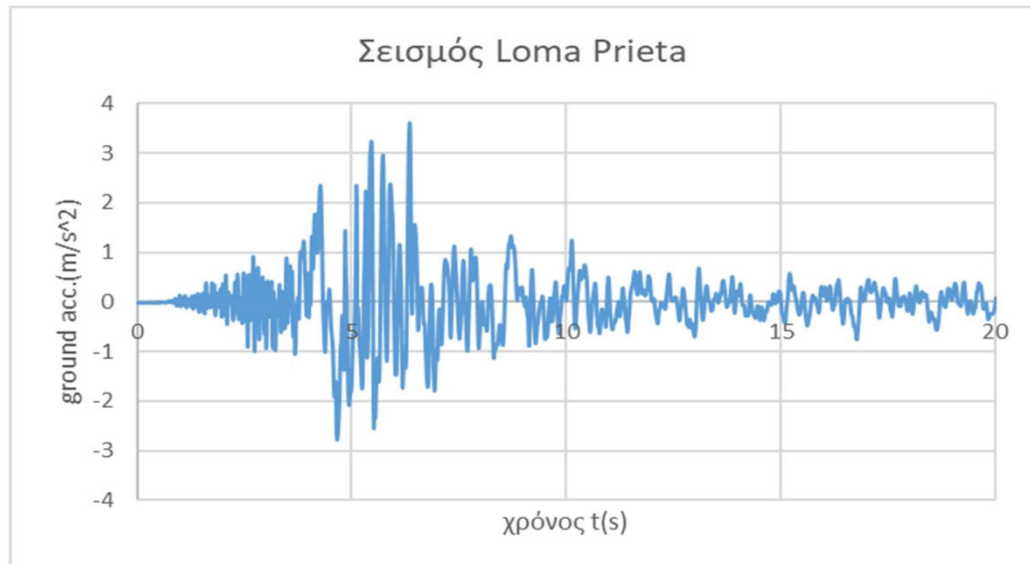
Σχήμα 3.9. . Επιτάχυνση στην μάζα και μετακίνηση βάρου του ταλαντωτή για το σεισμό του Kobe.



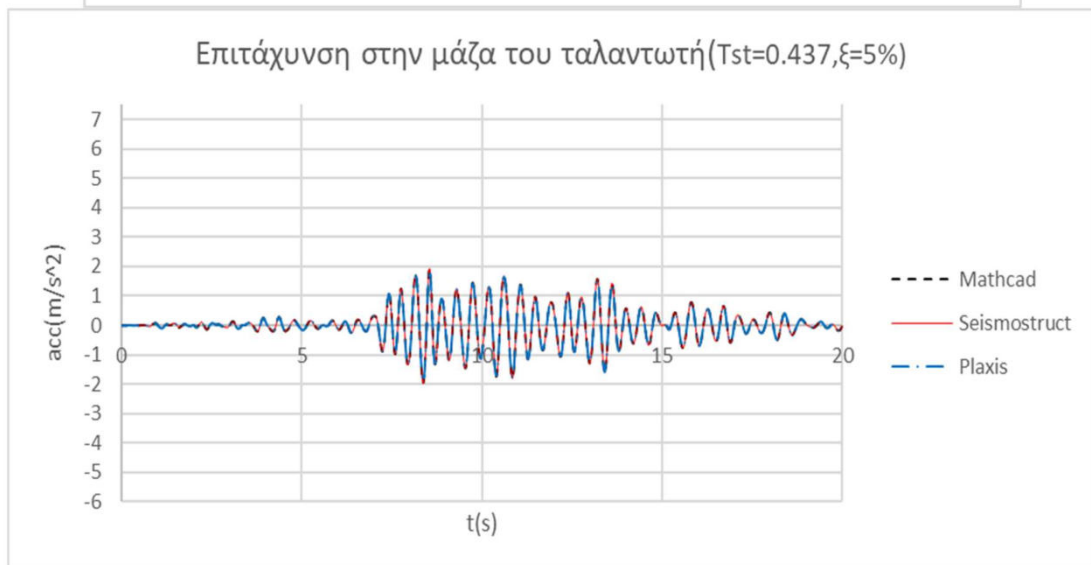
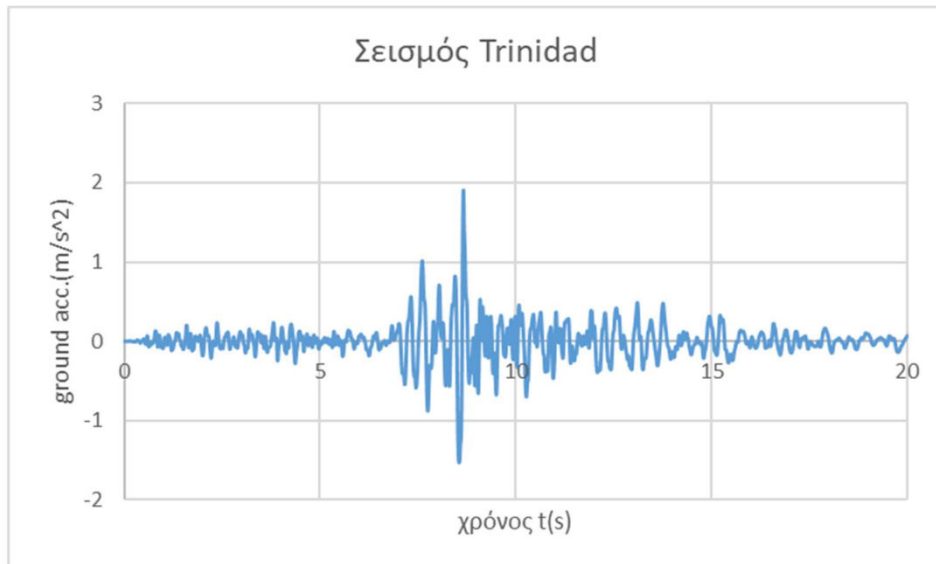
Σχήμα 3.9. Επιτάχυνση στην μάζα και μετακίνηση βάρους του ταλαντωτή για το σεισμό του Friuli.



Σχήμα 3.10 Επιτάχυνση στην μάζα και μετακίνηση βάθρου του ταλαντωτή για το σεισμό του Holister.



Σχήμα 3.11 Επιτάχυνση στην μάζα και μετακίνηση βάθρου του ταλαντωτή για το σεισμό Loma Prieta.



Σχήμα 3.12 Επιτάχυνση στην μάζα και μετακίνηση βάρους του ταλαντωτή για το σεισμό Trinidad

Ο αλγόριθμος του Mathcad με το Seismostruct έχει 0% απόκλιση.Ενώ το plaxis παρουσιάζει απόκλιση της τάξης του 1%.Επομένως τα προσομοιώματα είναι συνεπή και αξιόπιστα.

3.1.4 Ελαστικό φάσμα απόκρισης

Τό φάσμα απόκρισης είναι ένα γράφημα που δίνει την μέγιστη τιμή κάποιου μεγέθους που πρόκειται να αναπτυχθεί σε μονοβάθμιους ταλαντωτές απόσβεσης ξ , συναρτήση της ιδιοπεριόδου T_{st} . Τα φάσματα είναι καμπύλες που παρουσιάζουν αιχμές επομένως είναι απαραίτητο οι ιδιοπερίοδοι να είναι αρκετά πυκνές.

Τα φάσματα που παράγονται συνήθως είναι:

- Σχετικών μετακινήσεων (SD). Δίνει τις τιμές $\max(|ustr|) - T_{st}$.
- Απόλυτων επιταχύνσεων (SA). Δίνει τις τιμές $\max(|a + a_g|) - T_{st}$.

Αύξηση της τιμής της αποσβέσεως συνεπάγεται μείωση των τιμών SD, SA. Για τιμές του συντελεστή απόσβεσης έως 15% ισχύει με μεγάλη ακρίβεια:

$$SA = \omega^2 SD$$

Για πολύ δύσκαμπτες κατασκευές με ιδιοπερίόδους κοντά στο μηδέν παίρνουμε:

$$SD = 0 \text{ και } SA = \max(a_g)$$

Ενώ για πολύ εύκαμπτες κατασκευές $T > 2s$ παίρνουμε

$$SD = \max(x_g) \text{ και } SA = 0$$

Όπου x_g και a_g η ταχύτητα και η επιτάχυνση των χρονοϊστοριών του διεγείροντα σεισμού.

Πολλές φορές χρησιμότερη είναι η απεικόνιση των φασμάτων σε μορφή ADRS. Δηλαδή σε μορφή SA-SD. Σε αυτή την περίπτωση οι ακτινικές γραμμές που διέρχονται από την αρχή των αξόνων και έχουν κλίση SA/SD αντιστοιχούν σε μία σταθερή ιδιοπερίοδο του ταλαντωτή.

Για την δημιουργία του αλγορίθμου ακολουθείται η εξής διαδικασία

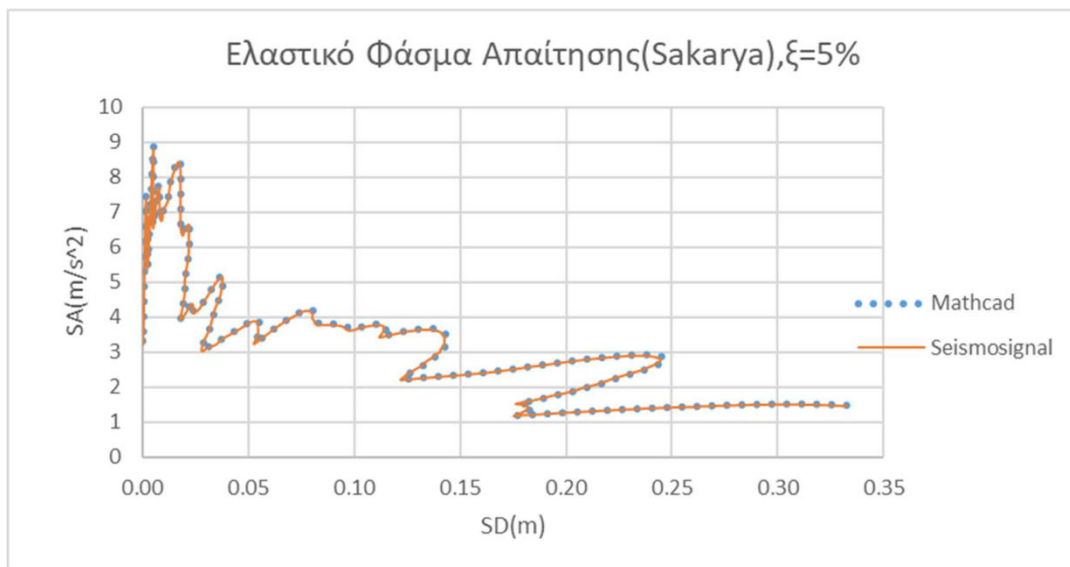
- Σαρώνονται διάφορες ιδιοπερίοδοι T_{st}
- Για κάθε μία από τις T_{st} , και για δεδομένη σεισμική διέγερση υπολογίζεται η απόκριση του ταλαντωτή (μετακίνηση, επιτάχυνση)
- Από τις παραπάνω τιμές βρίσκουμε τα μέγιστα μεγέθη.

```

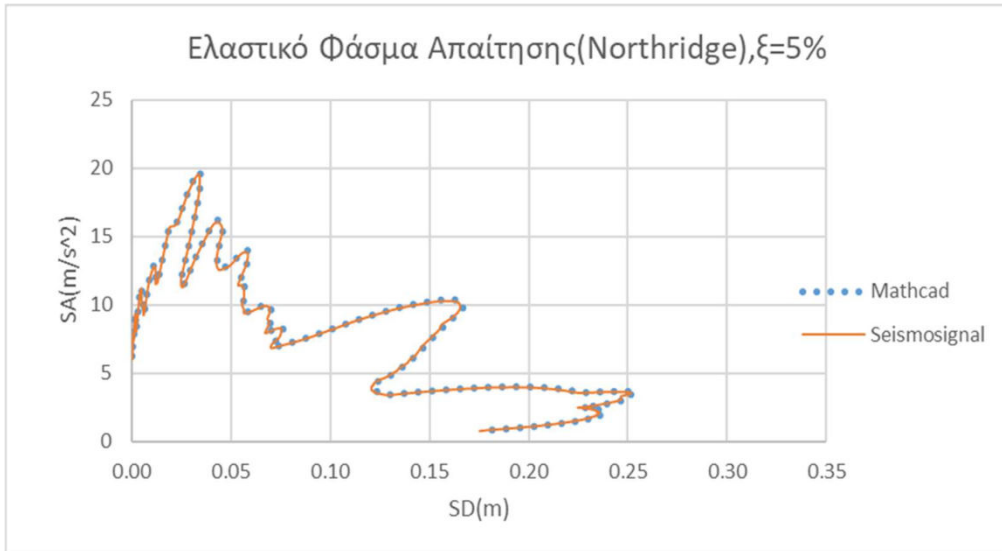
utot :=
  for j ∈ 0..Mm
    wpj ← 2 ·  $\frac{\pi}{0.01 + 0.01 \cdot j}$ 
    u0 ← 0
    u1 ← 0
    for i ∈ 1..Nt
      ui+1 ←  $\frac{2 - (wp_j \cdot dt)^2}{1 + wp_j \cdot \xi st \cdot dt} \cdot u_i - \frac{1 - wp_j \cdot \xi st \cdot dt}{1 + wp_j \cdot \xi st \cdot dt} \cdot u_{i-1} - \frac{dt^2}{1 + wp_j \cdot \xi st \cdot dt} \cdot ak_i$ 
      ai,j ←  $\frac{u_{i+1} - 2 \cdot u_i + u_{i-1}}{dt^2}$ 
      amax0,j ← 0
      amaxi,j ← max(amaxi-1,j, |ai,j + aki|)
      ustmaxj ← max(max(u), |min(u)|)
    (amax)
    (ustmax)

```

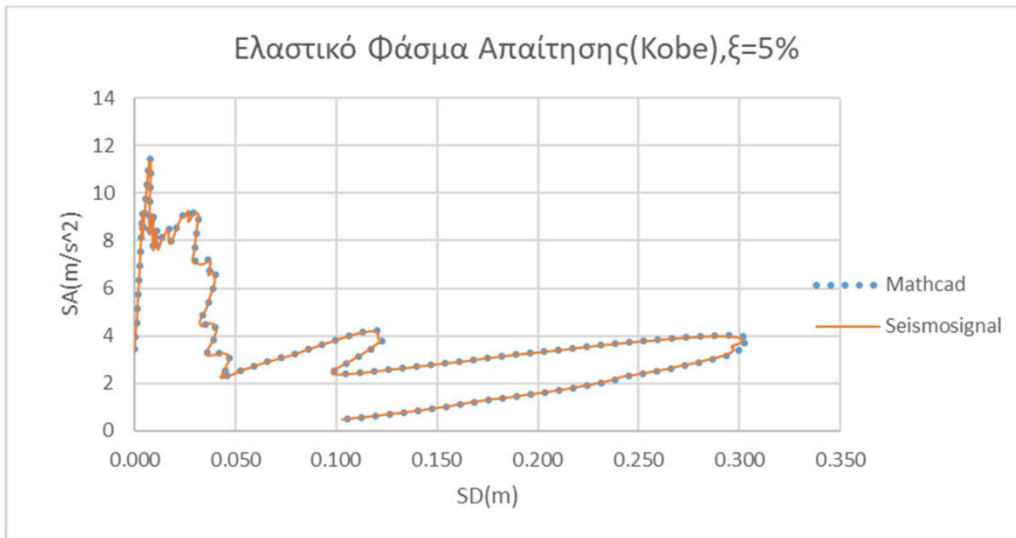
Ο παραπάνω αλγόριθμος θα επαληθευτεί με τα ελαστικά φάσματα που δίνει το Seismosignal.



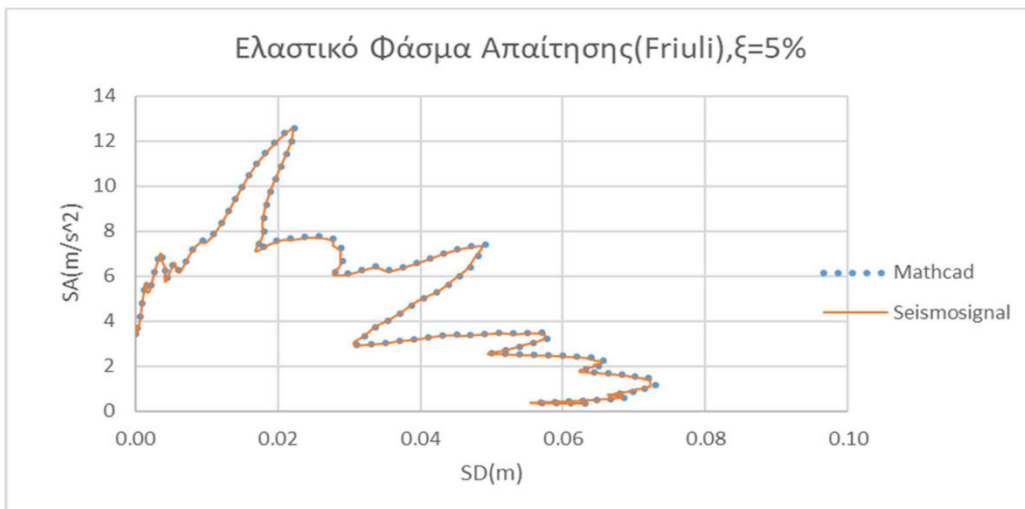
Σχήμα 3.13. Φάσμα απαίτησης του σεισμού της Sakarya σε μορφή ADRS.



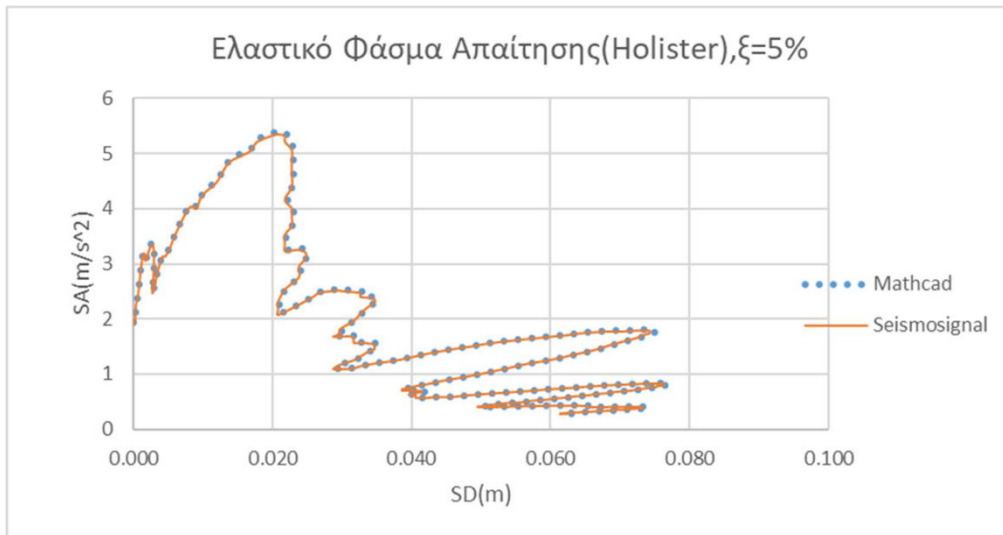
Σχήμα 3.14. Φάσμα απαίτησης του σεισμού Northridge σε μορφή ADRS.



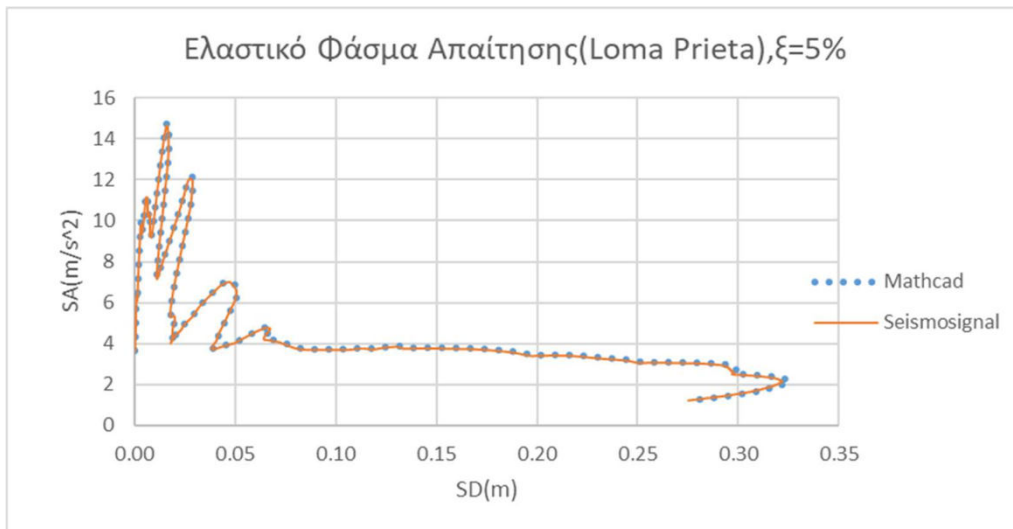
Σχήμα 3.15. Φάσμα απαίτησης του σεισμού Kobe σε μορφή ADRS.



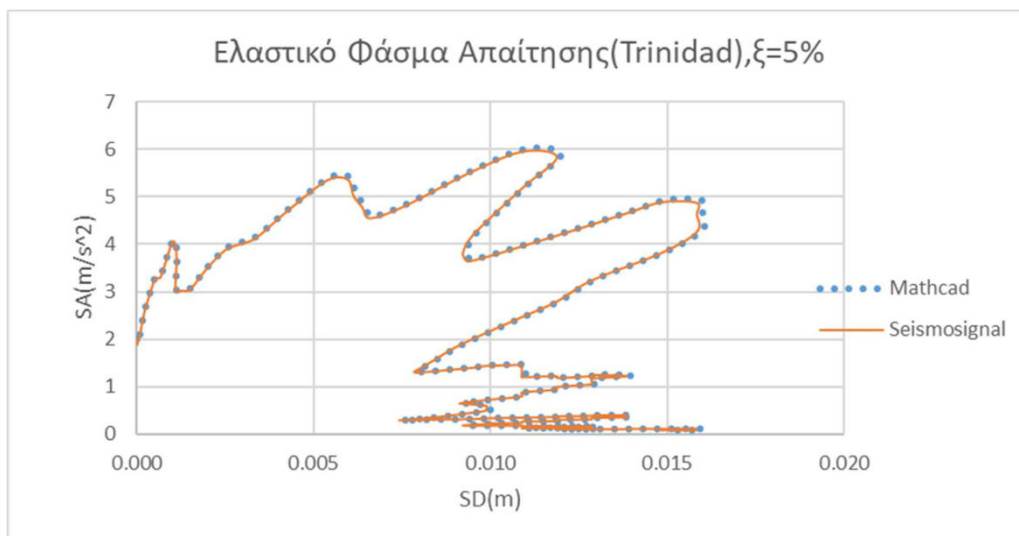
Σχήμα 3.16. Φάσμα απαίτησης του σεισμού Friuli σε μορφή ADRS.



Σχήμα 3.17. Φάσμα απαίτησης του σεισμού Holister σε μορφή ADRS.



Σχήμα 3.18. Φάσμα απαίτησης του σεισμού Loma Prieta σε μορφή ADRS.



Σχήμα 3.19. Φάσμα απαίτησης του σεισμού Trinidad σε μορφή ADRS

3.2 Ανελαστική σεισμική απόκριση μονοβάθμιων ταλαντωτών επί άκαμπτου εδάφους.

Γενικά

Οι αντισεισμικοί κανονισμοί των κατασκευών βασίζονται σε δύο φιλοσοφίες σχεδιασμού, την μέθοδο των δυνάμεων(force-based design) και την μέθοδο των μετακινήσεων(displacement-based design).Οι πιο σύγχρονοι κανονισμοί αναφέρονται κυρίως στην μέθοδο των μετακινήσεων δηλαδή σε επιτρεπτές μετακινήσεις που πρέπει να αναπτυχθούν κάτω από την σεισμική διέγερση.Η παραπάνω φιλοσοφία διέπεται απο τις παρακάτω αρχές:

- Σε μικρούς σεισμούς, η ανωδομή θα πρέπει να συμπεριφερθεί ελαστικά(χωρίς ζημιές)
- Σε μεγάλους σεισμούς (με μικρή πιθανότητα να συμβούν στην ζωή του έργου), η κατασκευή επιτρέπεται να συμπεριφερθεί ανελαστικά δηλαδή να παραμορφωθεί στην πλαστική περιοχή.Οι μετακινήσεις αυτές θα πρέπει να είναι περιορισμένες ώστε να εξασφαλιστεί η λειτουργικότητα και η μη κατάρρευση της κατασκευής.

Ουσιαστικά δηλαδή εισάγονται στάθμες επιτελεστικότητας της ανωδομής.

Είναι αναγκαίο να αναπτυχθεί ένας δείκτης ζημιάς ο οποίος θα μετράει πόσο θα παραμορφωθεί η κατασκευή στην πλαστική περιοχή της.Δηλαδή πόσο πολύ μεγαλύτερη είναι η μέγιστη ανελαστική μετακίνηση της κατασκευής(d_m), για την δεδομένη σεισμική διέγερση,σε σύγκριση με την μετακίνηση διαρροής d_y .

Επομένως ορίζεται ο παρακάτω συντελεστής που αποτελεί τον δείκτη πλαστιμότητας του συστήματος:

$$\mu = \frac{d_m}{d_y}$$

Ο οποίος εξαρτάται απο το υλικό της κατασκευής και την υπερστατικότητα του συστήματος.

Σύμφωνα με την μέθοδο των δυνάμεων, η διαστασιολόγηση της κατασκευής γίνεται με το σκεπτικό ότι θα πρέπει να συμπεριφερθεί ελαστικά για φορτία μικρότερα ή ίσα της δύναμης διαρροής F_y .Σε μονοβάθμια συστήματα η μέγιστη επιτάχυνση που θα αναπτυχθεί δίνεται απο το ελαστικό φάσμα του σεισμού $SA(T,\zeta)=a_{el}$ και επομένως η μέγιστη δύναμη που μπορεί να παραλάβει ο ταλαντωτής είναι $F_e=ma_{el}$.Ορίζουμε τον λόγο:

$$q_y = \frac{F_{el}}{F_y}$$

Που ονομάζεται συντελεστής συμπεριφοράς διαρροής του συστήματος.

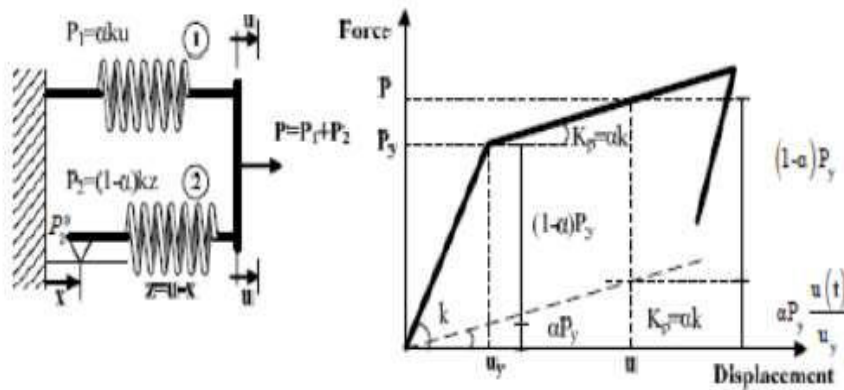
Είναι δεδομένο οτι σε ένα ανελαστικό σύστημα θα αναπτυχθούν παραμένουσες παραμορφώσεις.

3.2.1 Ανάπτυξη αλγορίθμου για την ανελαστική συμπεριφορά ταλαντωτή

Για την περιγραφή της κίνησης του ταλαντωτή εξακολουθεί προφανώς να ισχύει η εξίσωση (3.1). Μόνο που τώρα η εσωτερική δύναμη επαναφοράς λόγω της δυσκαμψίας της κατασκευής παίρνει την μορφή:

$$f_s = K(u(t)) * u(t)$$

Δηλαδή έχουμε αλλαγή της δυσκαμψίας με βάση την μετακίνηση που αναπτύσσεται κάθε χρονική στιγμή. Επιπλέον λόγω της σεισμικής διέγερσης συμβαίνουν συνεχείς φορτίσεις και αποφορτίσεις (αύξηση και μείωση της μετακίνησης) επομένως είναι αναγκαίο να χρησιμοποιηθεί ένας νόμος συμπεριφοράς που να περιγράφει τα παραπάνω φαινόμενα. Στην παρούσα εργασία θα χρησιμοποιηθεί το προσωμοίωμα Bouc-Wen (1980). Σε αυτό το προσωμοίωμα η δύναμη επαναφοράς μπορεί να επιμεριστεί σε δύο τμήματα. Το πρώτο είναι ελαστικό με δυσκαμψία K αρηγμάτωτης διατομής και το δεύτερο υστερητικό όπου z η υστερητική μετακίνηση που προκύπτει από την επίλυση μια διαφορικής εξίσωσης και έχει μονάδες μήκους.



Σχήμα 3.20 Ελαστικό και μη γραμμικό ελατήριο μοντέλου Bouc-Wen. (Triantafyllou, Koumouisis 2012)

Επομένως το μοντέλο περιγράφεται από τις παρακάτω εξισώσεις:

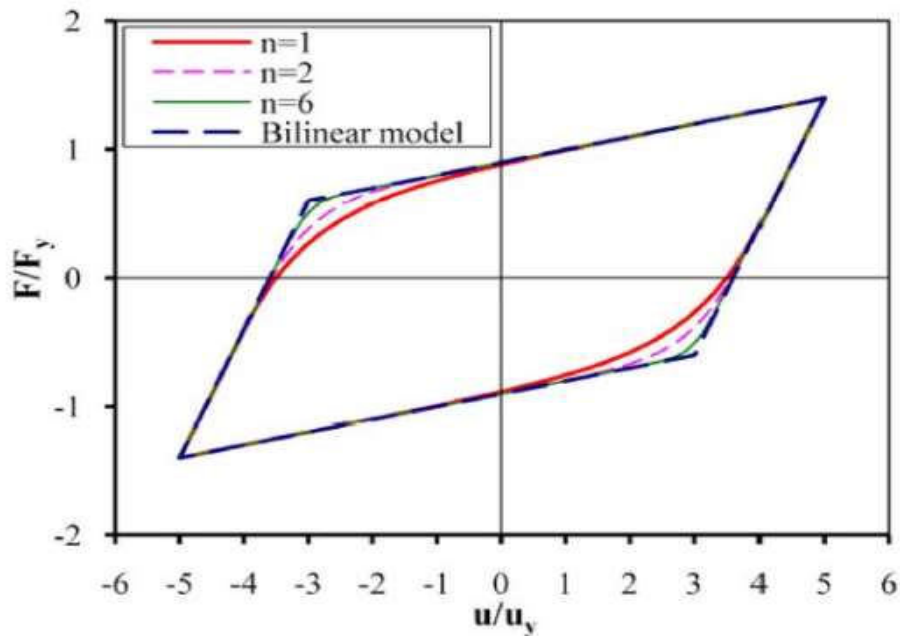
$$p - f_s - f_d = m\ddot{u}$$

$$f_s = aKu + (1 - a)Kz$$

$$\dot{z} = [A - h1 * h2] \dot{u}$$

$$h1 = \left| \frac{F}{F_y} \right|^n \text{ και } h2 = \beta + \gamma \text{sgn}(F\dot{u})$$

Στην παραπάνω έκφραση το h_1 θεωρείται ότι εκφράζει το κανόνα ροής ενώ το h_2 το ρυθμό της ανακυκλιζόμενης φόρτισης. Η παράμετρος n ρυθμίζει την μετάβαση από τον ελαστικό στον πλαστικό κλάδο. Οι παράμετροι A, β, γ λαμβάνονται συνήθως ίσοι με 1, 0.5, 0.5 αντίστοιχα.



Σχήμα 3.21 Επιρροή της παραμέτρου n . Για $n > 6$ πλησιάζουμε το διγραμμικό μοντέλο. (Charalampakis AE 2010)

Στην παρούσα εργασία θα χρησιμοποιηθεί ένα μοντέλο ελαστικό-τελείως πλαστικό με μηδενική κράτνση θέτωντας $\alpha=0$.

Η παραπάνω διαδικασία μορφώνεται με την μορφή αλγορίθμου στο Mathcad.

```

utot :=
  wp ← wst
  u0 ← 0
  u1 ← 0
  fs0 ← 0
  for i ∈ 1..Nt
    Du1 ← u1 - u1-1
    Dfs1 ← Kst · Du1 · [ 1 - 0.5 · ( ( fs1-1 / Fy ) )n · ( 1 + sign( fs1-1 · Du1 ) ) ]
    fs1 ← fs1-1 + Dfs1
    u1+1 ← ( 2 / ( 1 + wp · ξst · dt ) ) · u1 - ( ( 1 - wp · ξst · dt ) / ( 1 + wp · ξst · dt ) ) · u1-1 - ( dt2 / ( 1 + wp · ξst · dt ) ) · ( ( fs1 / Mst ) + 1 · ak1 )
    a1 ← ( u1+1 - 2 · u1 + u1-1 ) / dt2
  umax ← max( max( u ), max( -u ) )
  (
    u
    a
    fs
    umax
  )

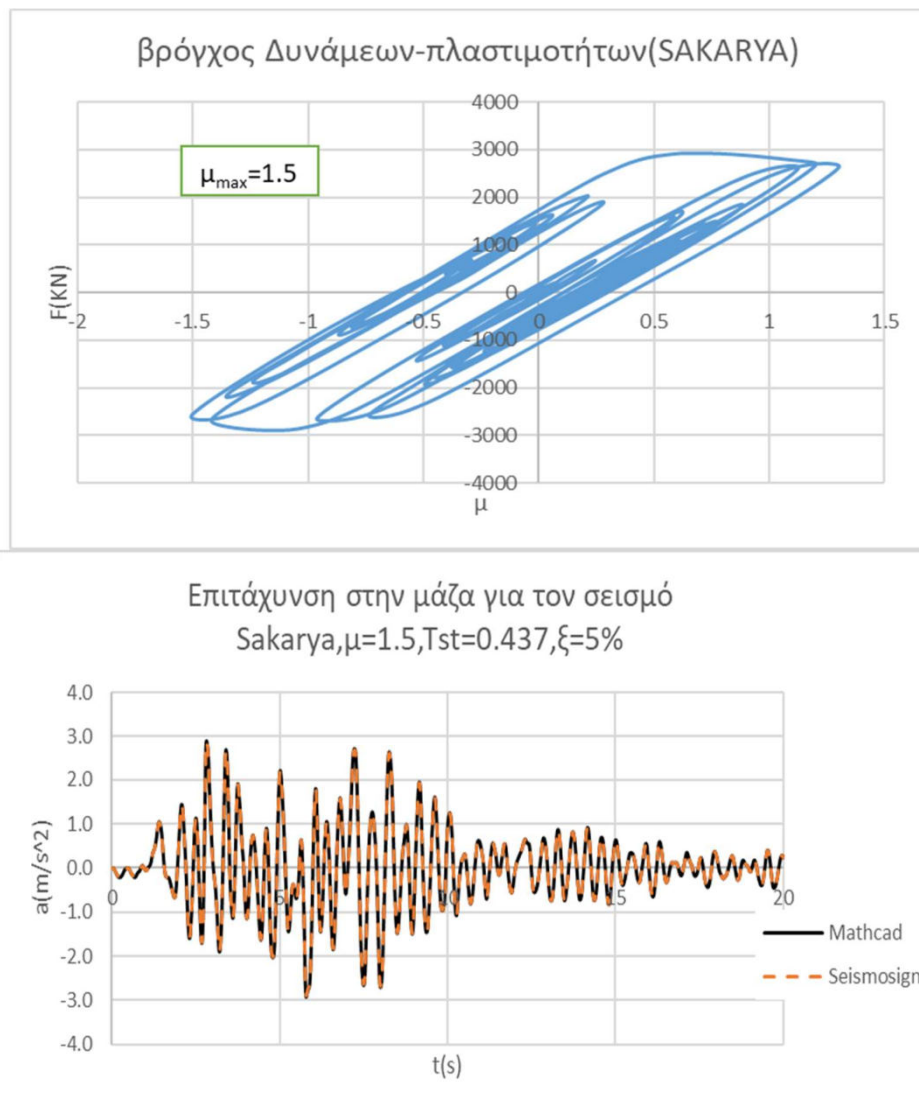
```

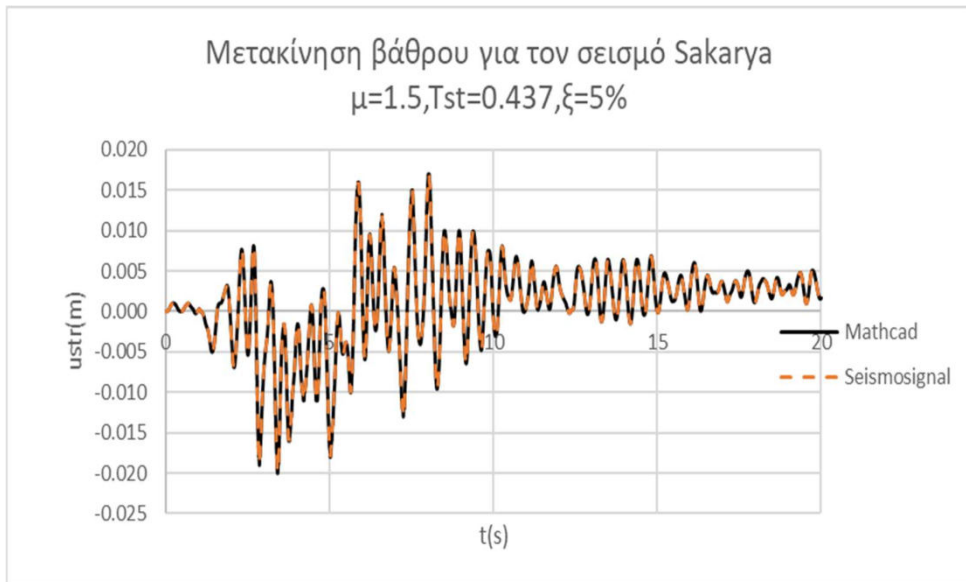
3.2.2 Επικύρωση του αλγορίθμου και μόρφωση των μονοβάθμιων ταλαντωτών με το Seismosignal,Plaxis,Seismostruct.

Ο παραπάνω αλγόριθμος θα επικυρωθεί αρχικά με τα αποτελέσματα του seismosignal για τις μέγιστες πλαστιμότητες που θα προκύψουν απο τους βρόγχους υστέρησης για την εκάστοτε σεισμική διέγερση.Για τις ανάγκες των αναλύσεων θα χρησιμοποιηθούν οι σεισμοί Sakarya ,Northridge καθώς και:

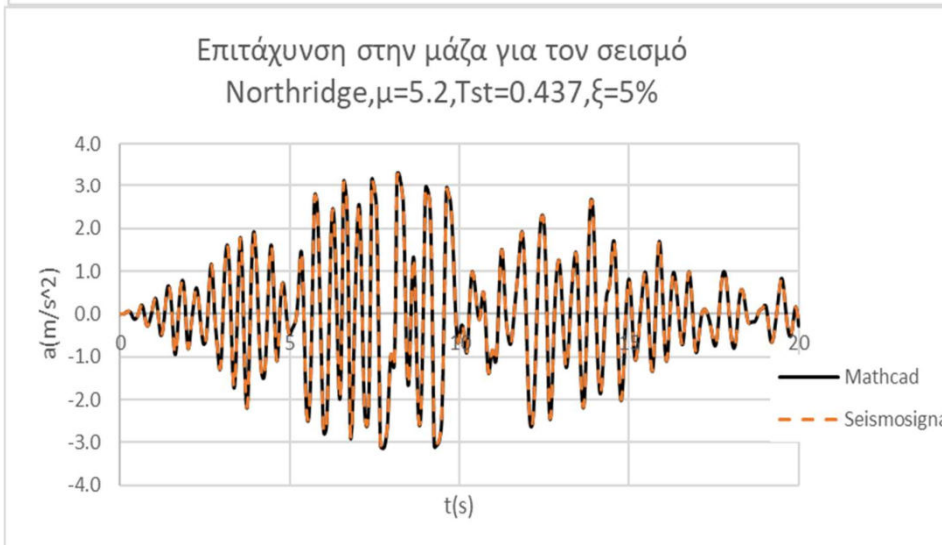
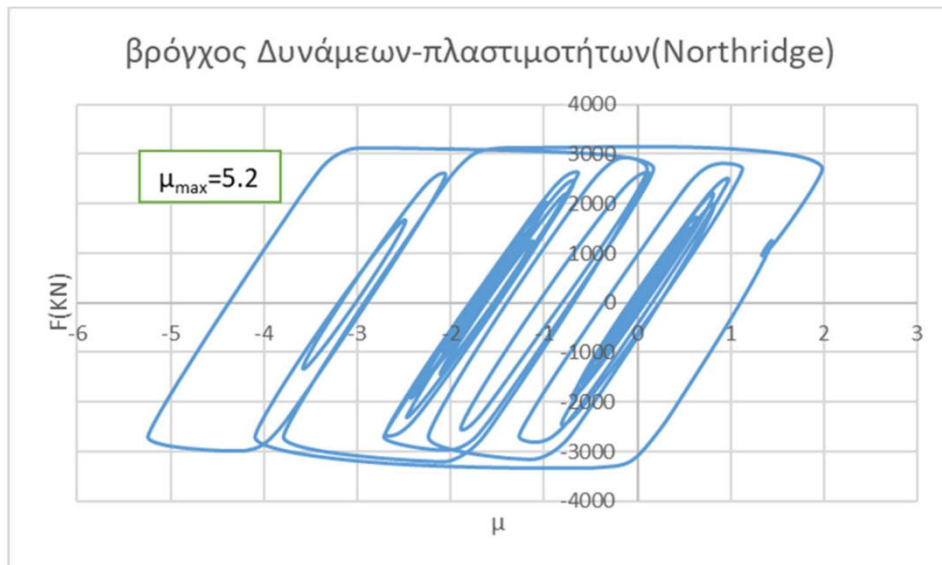
$$n = 10 , Fy = 2700 , u_y = \frac{F_y}{K_{st}} = 0.013, \xi = 5\%, T_{st} = 0.437s$$

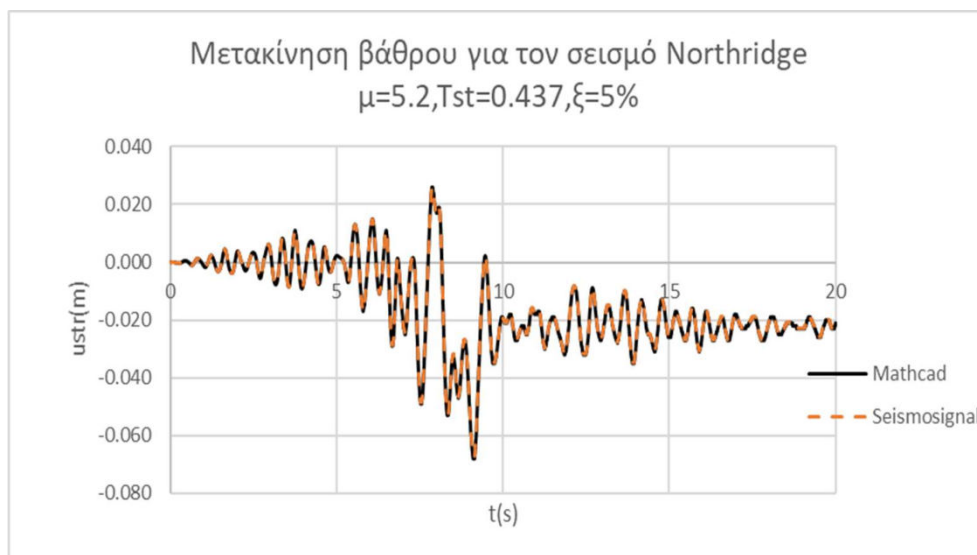
Στους παρακάτω βρόγχους υστέρησης στον άξονα των δυνάμεων είναι απαραίτητο να συνοπολογιστεί και η δύναμη που ενεργεί λόγω απόσβεσης της μάζας του ταλαντωτή.





Σχήμα 3.22 α) μέγιστη πλαστιμότητα του ταλαντωτή, β) Απόλυτη επιτάχυνση στην μάζα (Mathcad-Seismosignal-Απόκλιση 0-1%), γ) Μετακίνηση βάθρου (Mathcad-Seismosignal, Απόκλιση 0-0.5%)



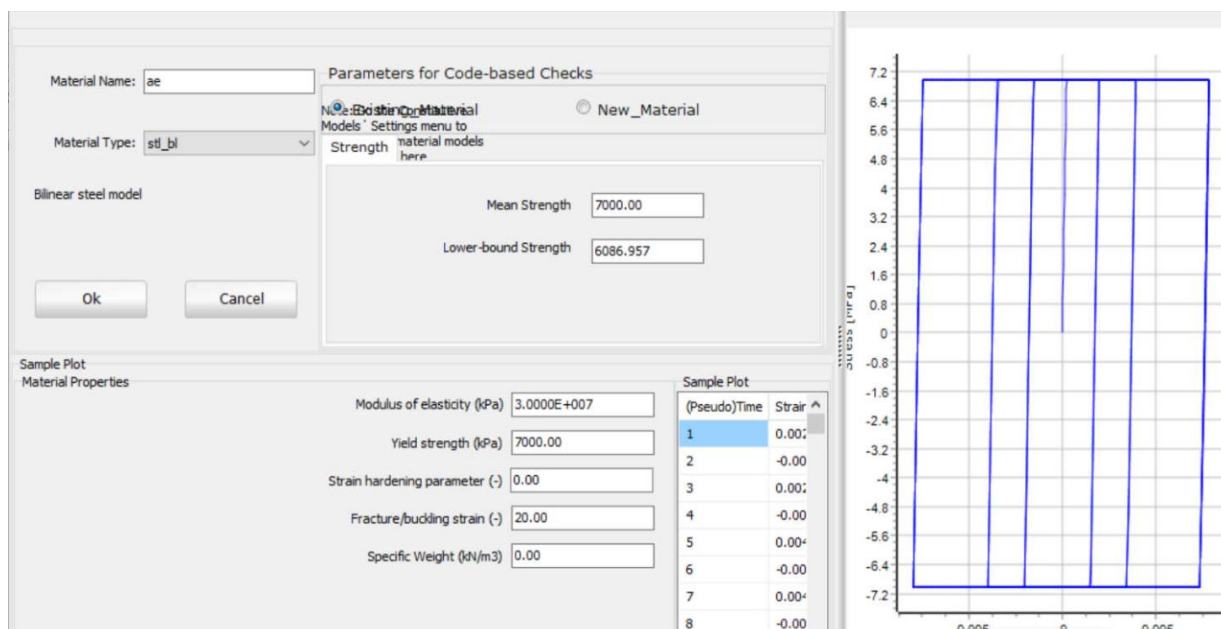


Σχήμα 3.23 α) μέγιστη πλαστιμότητα του ταλαντωτή, β) Απόλυτη επιτάχυνση στην μάζα (Mathcad-Seismosignal-Απόκλιση 0-0.2%), γ) Μετακίνηση βάθρου (Mathcad-Seismosignal, Απόκλιση 0%)

Επομένως ο αλγόριθμος αρχικά επαληθεύεται με το Seismosignal (το οποίο χρησιμοποιεί το μοντέλο Bouc-Wen-Noori 1985). Ακολουθεί η μόρφωση των ταλαντωτών στο Seismostruct και Plaxis και ακολούθως η επιβεβαίωση τους από τον αλγόριθμο για τα 7 επιταχυνσιογραφήματα που χρησιμοποιήθηκαν και προηγουμένως.

Ο ανελαστικός μονοβάθμιος ταλαντωτής στο Seismostruct.

Για να εκφραστεί η ανελαστικότητα του ταλαντωτή είναι απαραίτητο να δημιουργηθεί μια διατομή από ένα υλικό η οποία να διαρρέει για δύναμη $F=2700$. Θα επιλεγεί ένα διγραμμικό μοντέλο χάλυβα με μηδενική κράτνυση και μεγάλη αντοχή σε λυγισμό.

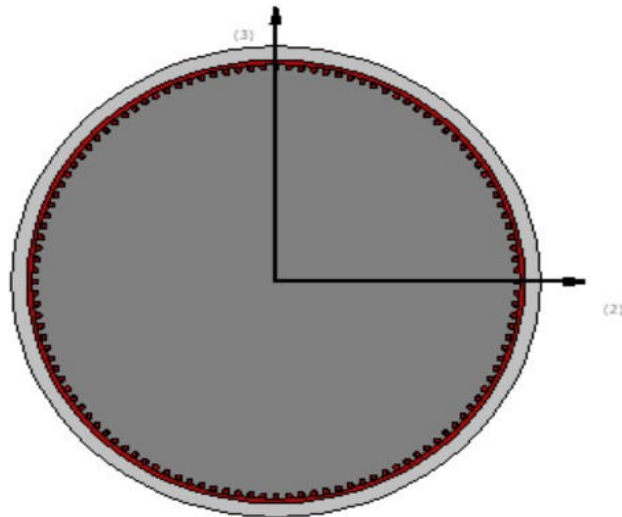


Τα χαρακτηριστικά της διατομής, του βάθρου και της μάζας παραμένουν ως έχουν:

Ένα κυκλικό υποστύλωμα διαμέτρου $d=3m$, ύψους $h=12m$, με ροπή αδράνειας $I = \frac{\pi}{64} d^4 = 3.977m^4$, $E = 30 * 10^6 kPa$, δυσκαμψία $K = \frac{3EI}{h^3} = 2.071 * \frac{10^5 kN}{m}$, $Mst = 1000tn$,

$$a_0 = 1.437$$

Εναλλακτικά μπορεί να χρησιμοποιηθεί μια διατομή οπλισμένου σκυροδέματος με διαμήκεις οπλισμούς 120Φ32 και C40/50. Παρόλα αυτά χάριν ευκολίας αλλαγής της δύναμης διαρροής προτείνεται το μοντέλο του χάλυβα.




Ο ανελαστικός μονοβάθμιος ταλαντωτής στο Plaxis.

Για την αστοχία των διατομών των μοντέλων beam το plaxis χρησιμοποιεί ένα μοντέλο αστοχίας, υπό καταπόνηση μεγεθών αξονικής δύναμης(N) και ροπών(M), που διέπεται από την παρακάτω σχέση:

$$\frac{N}{N_{pl}} + \frac{M}{M_{pl}} = 1$$

Για να διαρρεύσει ο ταλαντωτής υπό δύναμη $F_y=2700$ θα επιλεγεί αρχικά ένα μεγάλο εμβαδόν διατομής A ώστε $\frac{N}{N_{pl}} \rightarrow 0$ επομένως θέλουμε $M_{pl} = M = F_y * h = 32500 kNm$. Τα χαρακτηριστικά του beam φαίνονται παρακάτω.

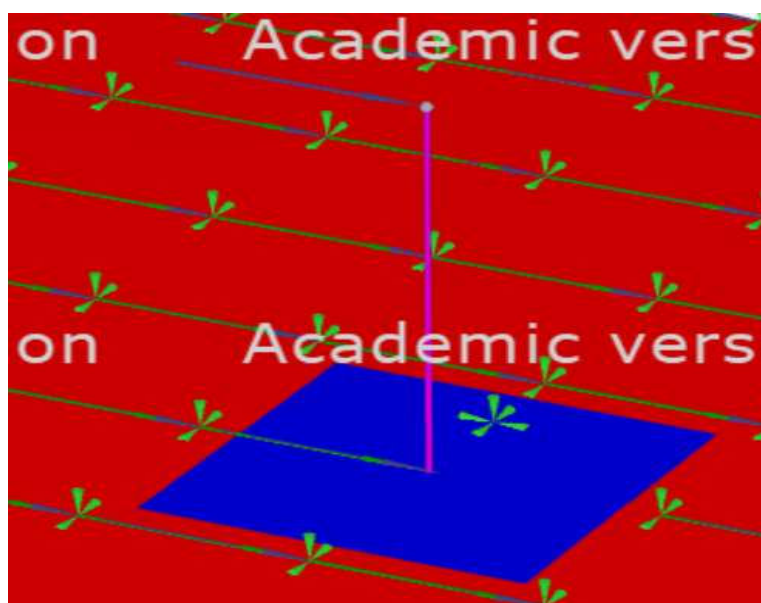
Beam - pier

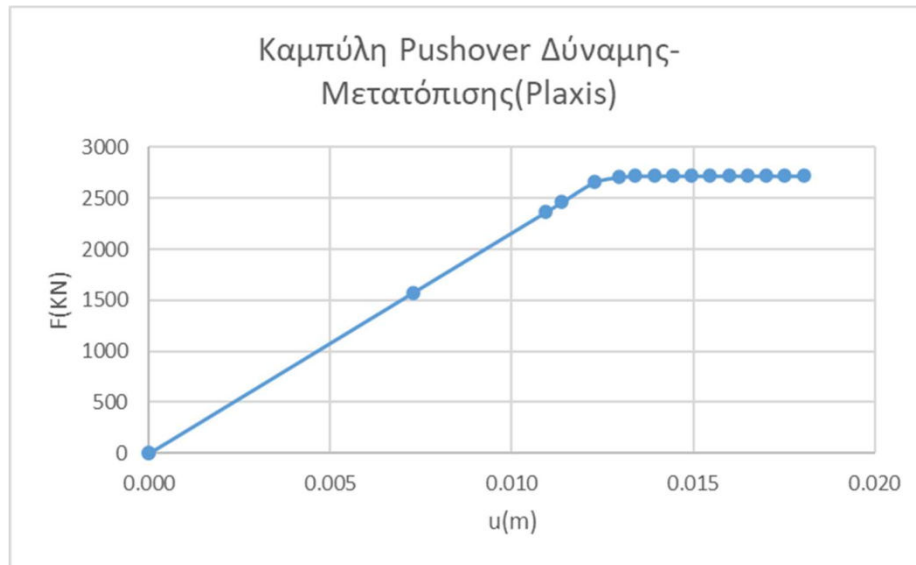
Property	Unit	Value
Material set		
Identification		pier
Comments		
Colour		 RGB 255, 0, 255
Material type		Elastoplastic
Properties		
E	kN/m ²	30.00E6
γ	kN/m ³	0.000
Beam type		User-defined
A	m ²	1000
I ₂	m ⁴	<input type="text" value="3.976"/>
I ₃	m ⁴	3.976
Yield stress σ _y	kN/m ²	12.20E3
Critical direction		Local direction 2
W ₂	m ³	2.651
Rayleigh α		0.000
Rayleigh β		0.000

Τα χαρακτηριστικά του θεμελίου, της μάζας καθώς και της απόσβεσης αφήνονται ως έχουν από τον ελαστικό ταλαντωτή. Το χρονικό βήμα ανάλυσης επιλέγεται 0.01s.

Για να σιγουρευτούμε για την ορθότητα των παραπάνω υπολογισμών επιβάλλεται στην μάζα της κατασκευής μια οριζόντια δύναμη 3000kN. Η διαρροή του ταλαντωτή αναμένεται:

$$u_y = \frac{Fy}{Kst} = 0.013m$$

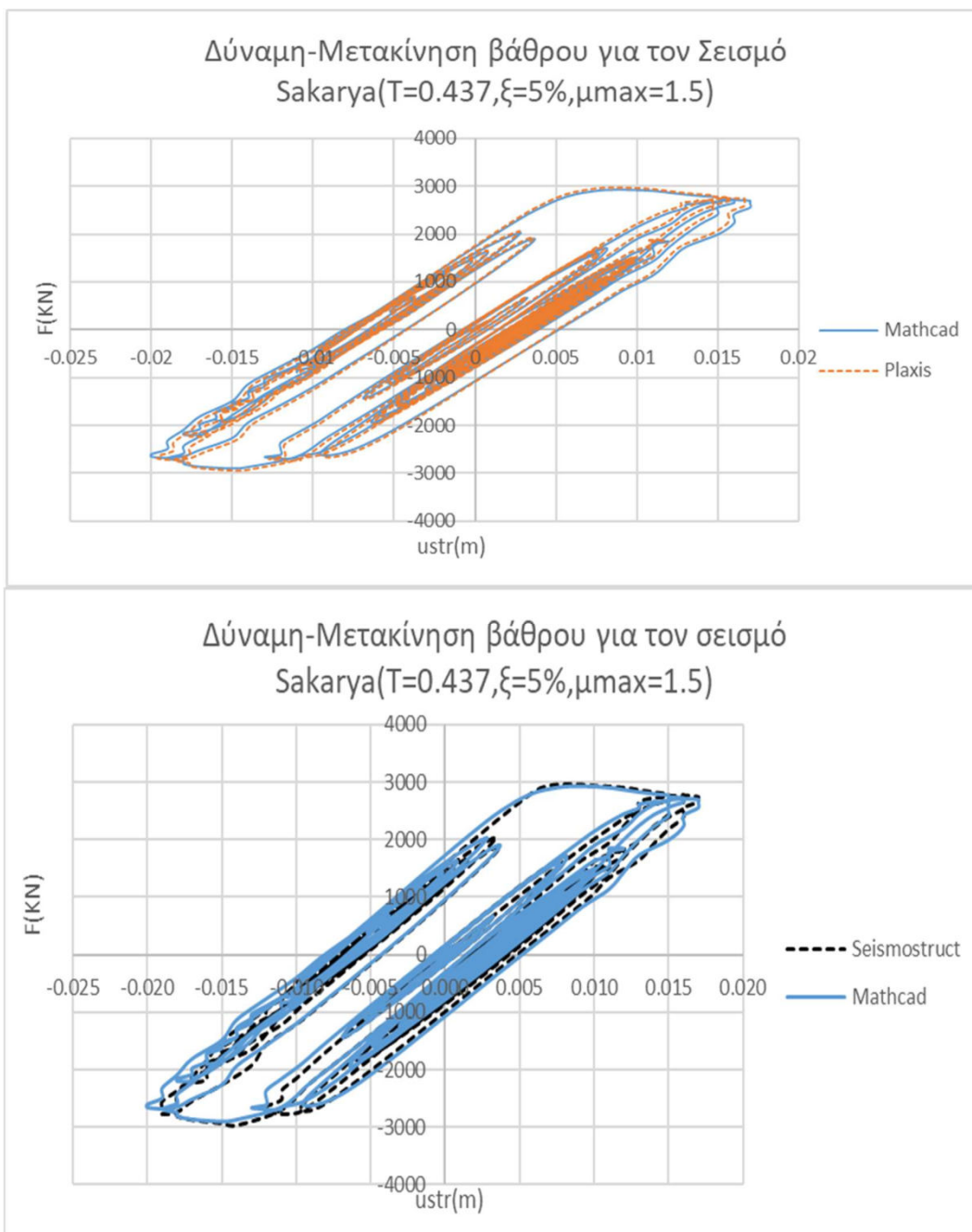




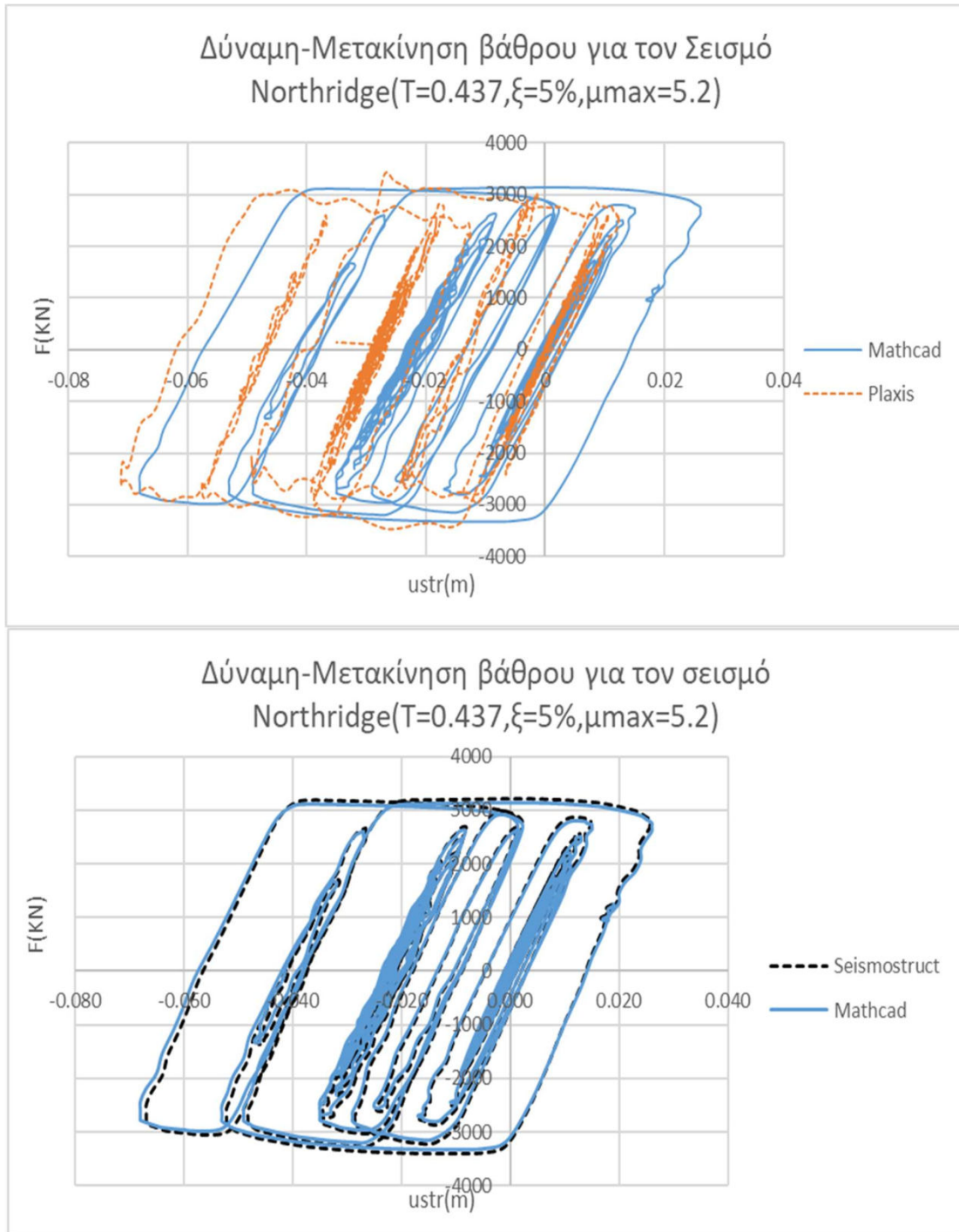
Σχήμα 3.24 Καμπύλη αντίστασης ταλαντωτή στο Plaxis

Επομένως το βάθρο διαρρέει σε δύναμη $F_y=2712\text{KN}$ με μετακίνηση $u_y=0.013\text{m}$. Επιπλέον βλέπουμε ότι το plaxis χρησιμοποιεί ένα ελαστικό-τελείως πλαστικό μοντέλο αστοχίας.

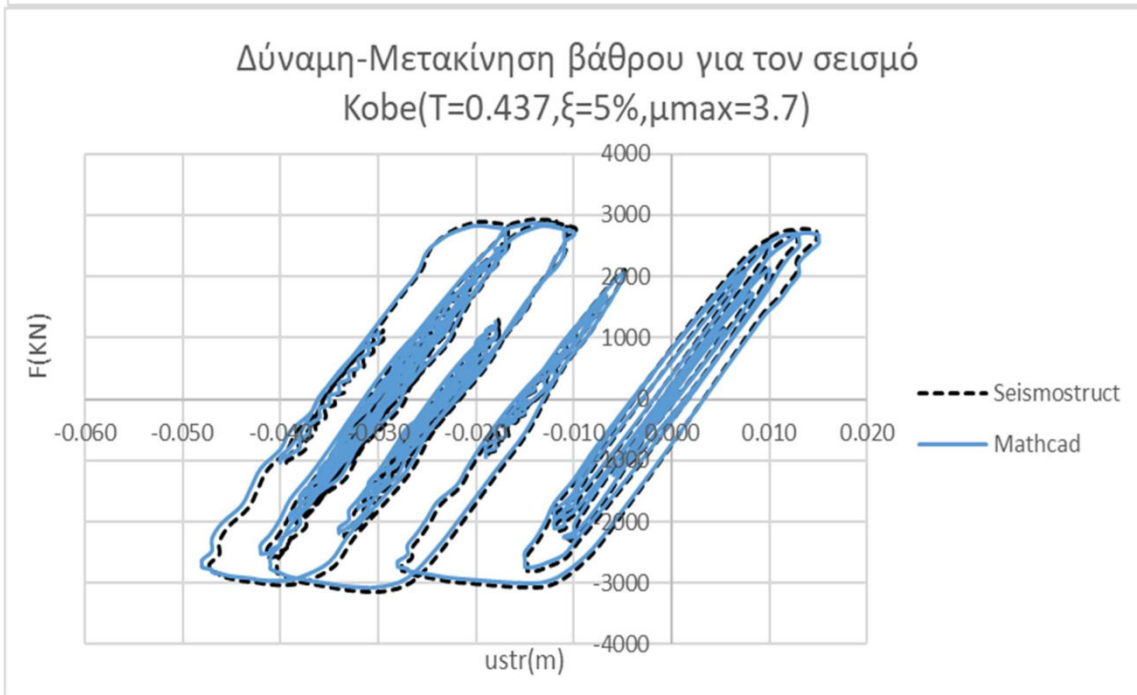
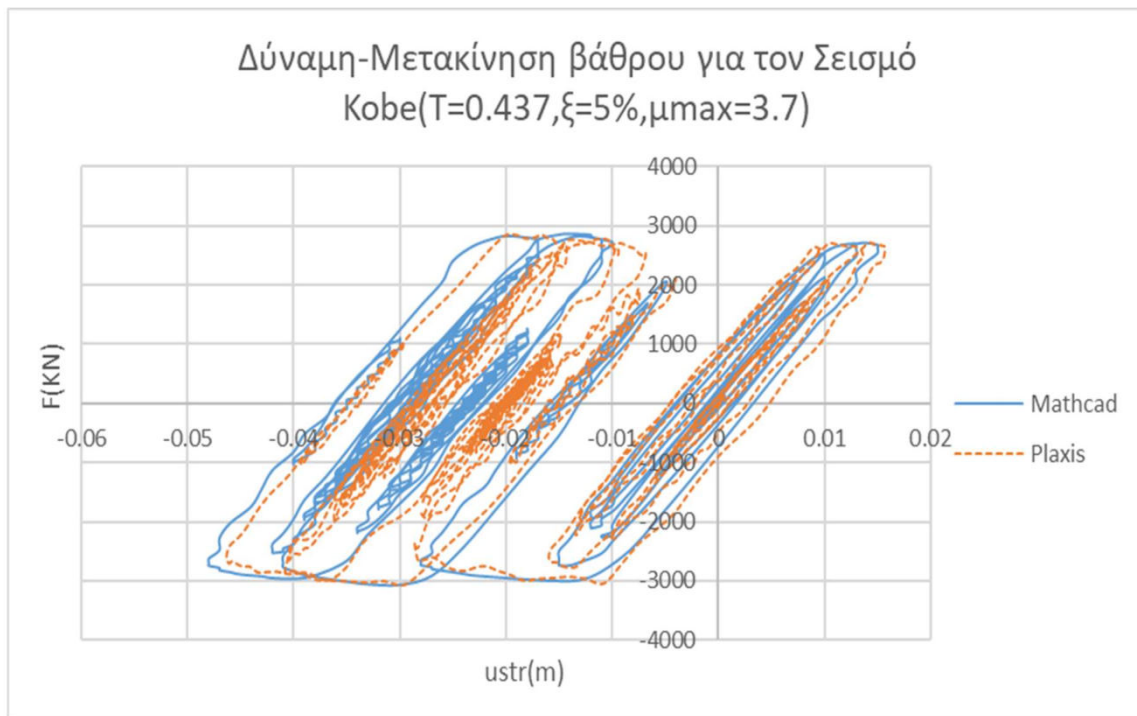
Ακολουθεί η επιβεβαίωση των ταλαντωτών που δημιουργήθηκαν με τα αποτελέσματα του αλγορίθμου που αναπτύχθηκε για τα 7 επιταχυνσιογραφήματα σεισμών που έχουν επιλεγεί. Για καλύτερη σύγκριση και εποπτεία των αποτελεσμάτων τα γραφήματα θα δοθούν σε μορφή βρόγχων υστέρησης δύναμης στην μάζα-μετακίνησης βάρου.



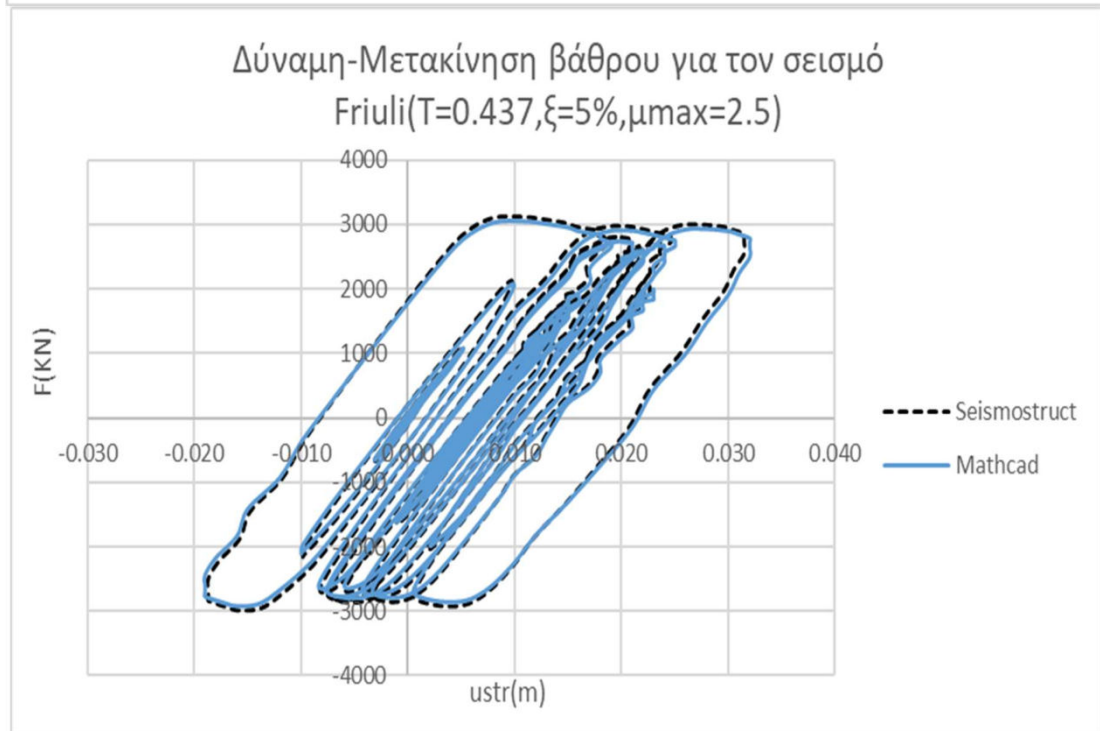
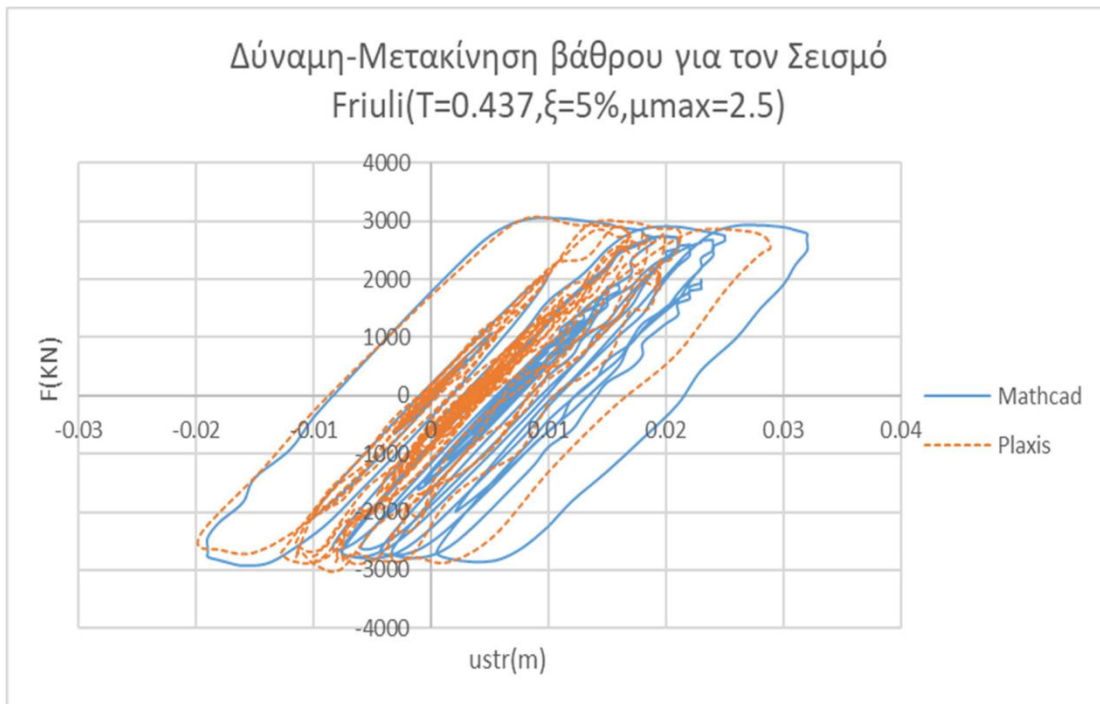
Σχήμα 3.25 Σύγκριση βρόγχων υστέρησης για την Sakarya.



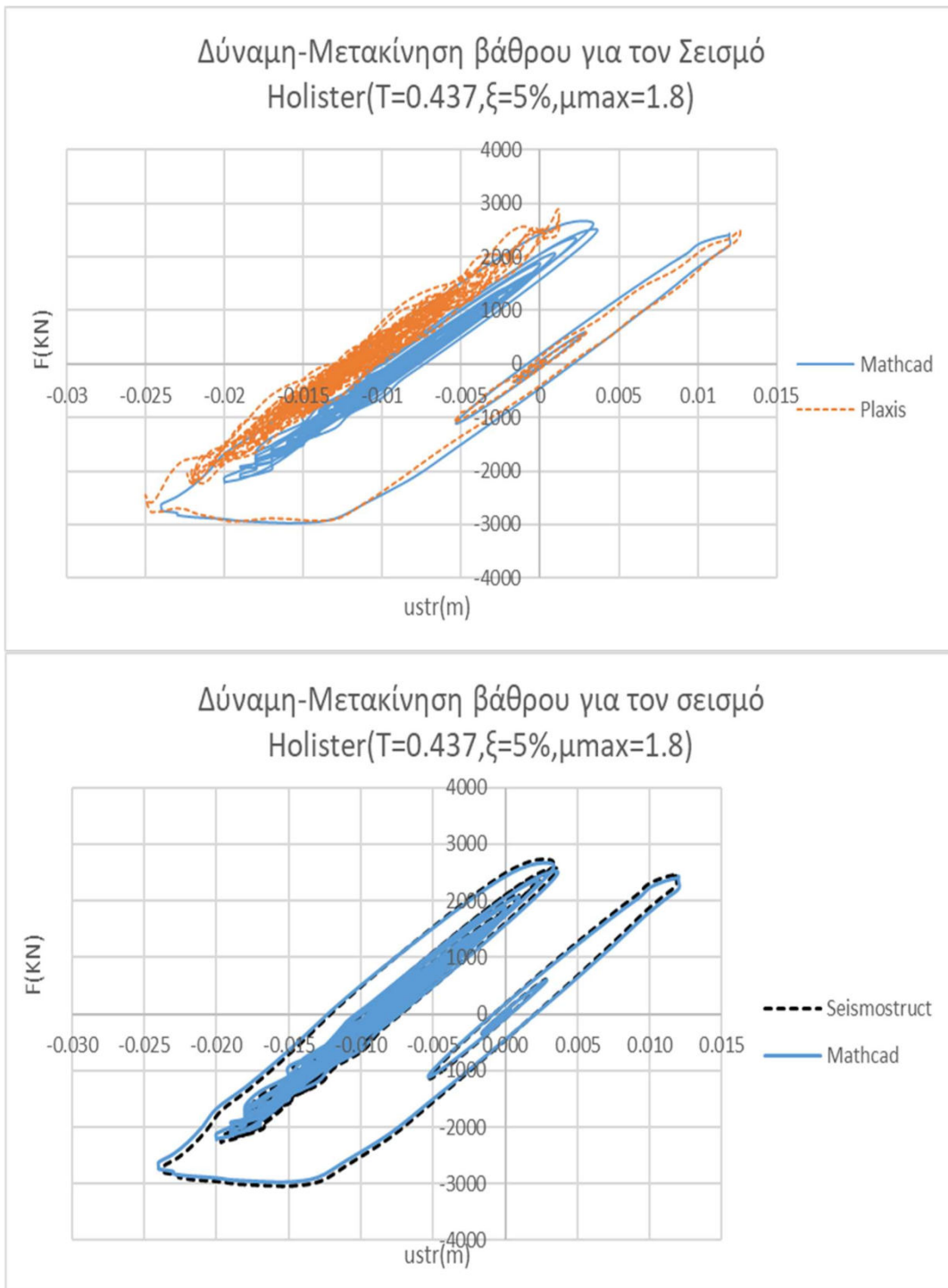
Σχήμα 3.26 Σύγκριση βρόγχων υστέρησης για τον σεισμό Northridge



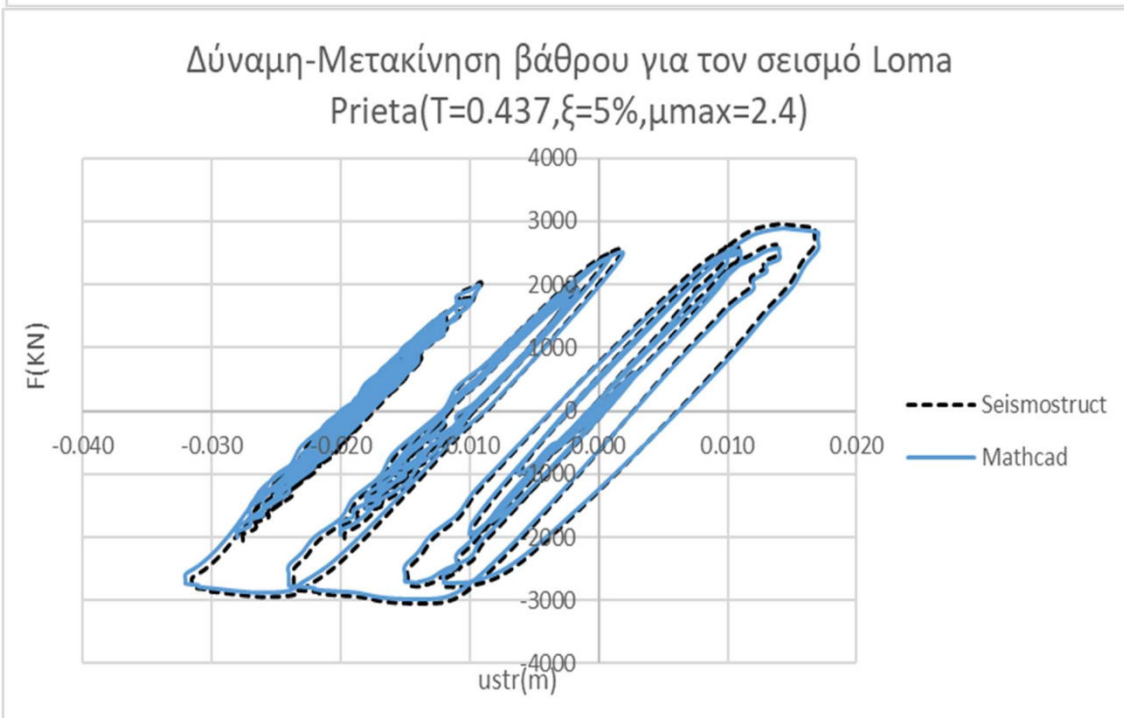
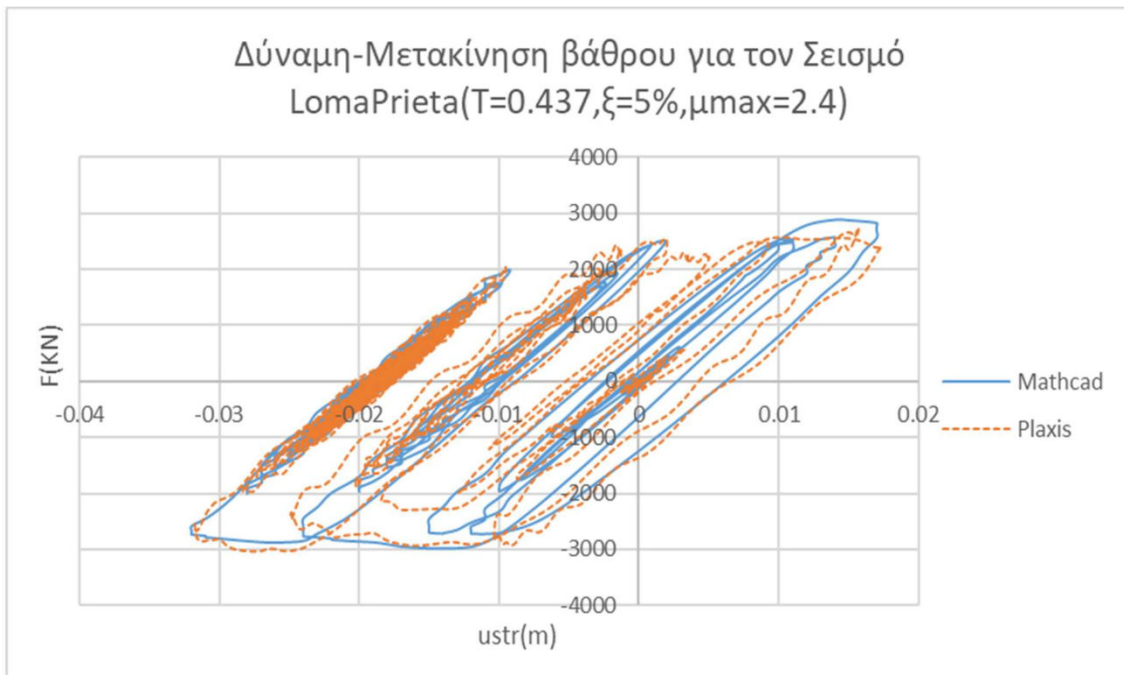
Σχήμα 3.27 Σύγκριση βρόγχων υστέρησης για τον σεισμό Kobe



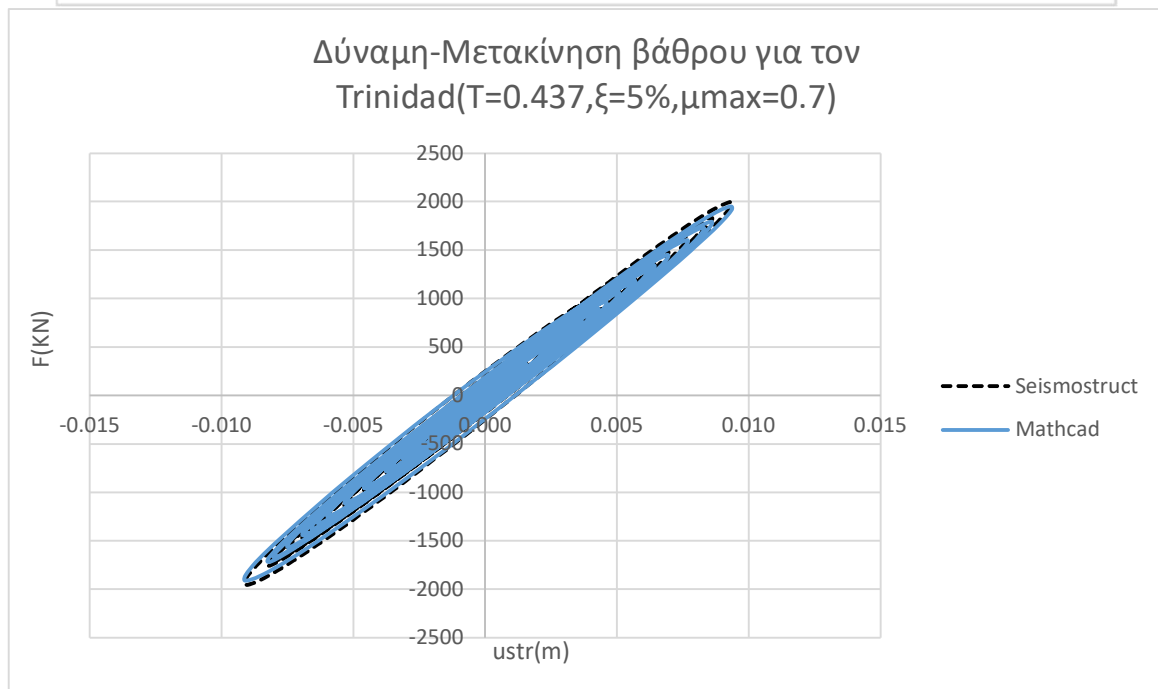
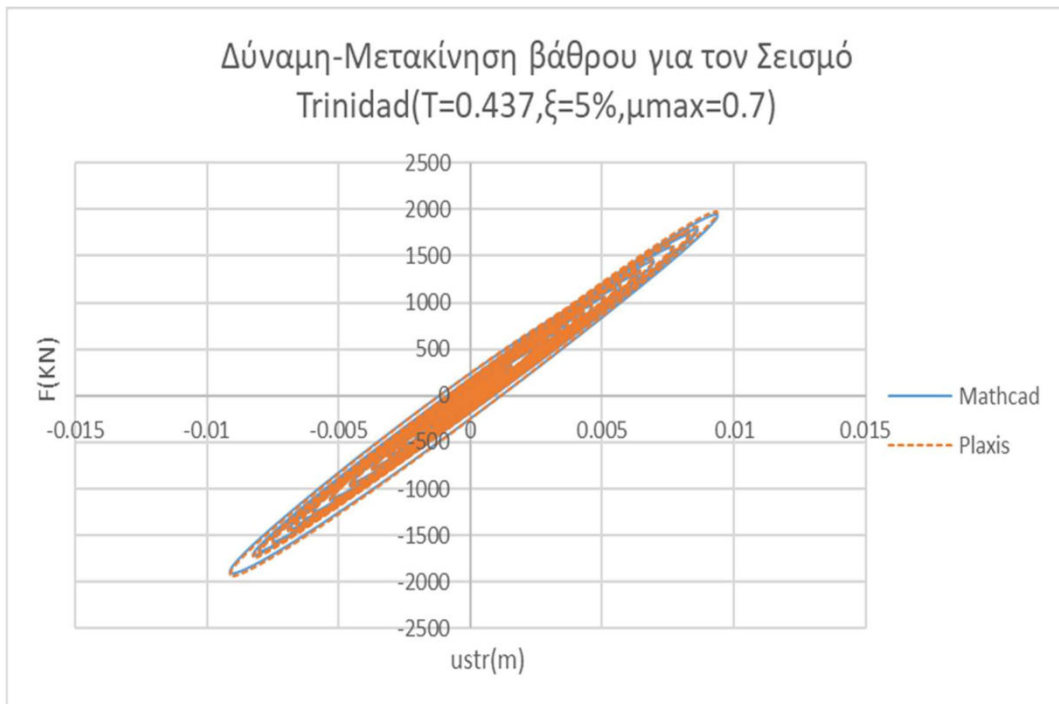
Σχήμα 3.28 Σύγκριση βρόγχων υστέρησης για τον σεισμό Friuli



Σχήμα 3.29 Σύγκριση βρόγχων υστέρησης για τον σεισμό Holister



Σχήμα 3.23 Σύγκριση βρόγχων υστέρησης για τον σεισμό Loma Prieta.



Σχήμα 3.24 Σύγκριση βρόγχων υστέρησης για τον σεισμό Trinidad.

3.2.3 Σχέση συντελεστή συμπεριφοράς-πλαστιμότητας(q_y - μ)

Στον αντισεισμικό κανονισμό και στην διεθνή βιβλιογραφία δίνονται σχέσεις μεταξύ των q_y - μ ουτως ώστε να καθιστεί εύκολος ο υπολογισμός της απαιτούμενης πλαστιμότητας χρησιμοποιώντας τον συντελεστή συμπεριφοράς σε διαρροή του συστήματος. Επιπλέον παρατηρούμε ότι

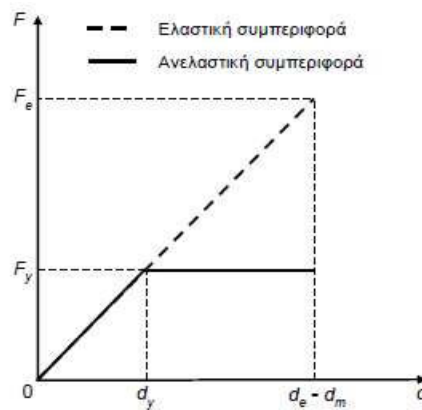
$$\mu / q_y = dm / de.$$

Η σχέση πλαστιμότητας και συντελεστή συμπεριφοράς είναι ανάλογη της σχέσης μέγιστης ανελαστικής μετακίνησης και ελαστικής μετακίνησης.

Οι συνήθεις σχέσεις που χρησιμοποιούνται βασίζονται σε δύο μεθόδους:

- Παραδοχή ίσων μετακινήσεων

Σύμφωνα με αυτή την παραδοχή οι κατασκευές με ιδιοπερίοδο ($T > 0.5s$) παρατηρείται ότι παρουσιάζουν μέγιστη ανελαστική μετακίνηση ίση με την ελαστική μετακίνηση του ταλαντωτή.



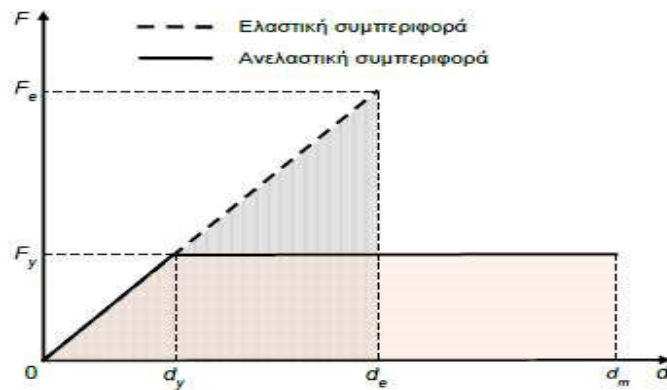
Σχήμα 3.25 Παραδοχή ίσων μετακινήσεων(Ψυχάρης 2016)

Δηλαδή $q_y = \mu$

- Παραδοχή ίσων ενεργειών

Σε δύσκαμπτες κατασκευές με περίοδο ($T < 0.5s$) γίνεται η παραδοχή ότι η ενέργεια που παράγεται κατά την διάρκεια του κύκλου φόρτισης που συμβαίνει η dm είναι ίση με την αντίστοιχη ενέργεια του ελαστικού συστήματος.

$$q_y = \sqrt{2\mu - 1}$$



Σχήμα 3.26 Παραδοχή ίσων ενεργειών(Ψυχάρης 2016)

Για να διερευνηθεί η ορθότητα των παραπάνω σχέσεων είναι απαραίτητο να τροποποιηθεί ο προηγούμενος αλγόριθμος ώστε να πάρουμε ένα γράφημα πλαστιμότητας(μ) συναρτήσει της ιδιοπεριόδου T, για δεδομένο q_y

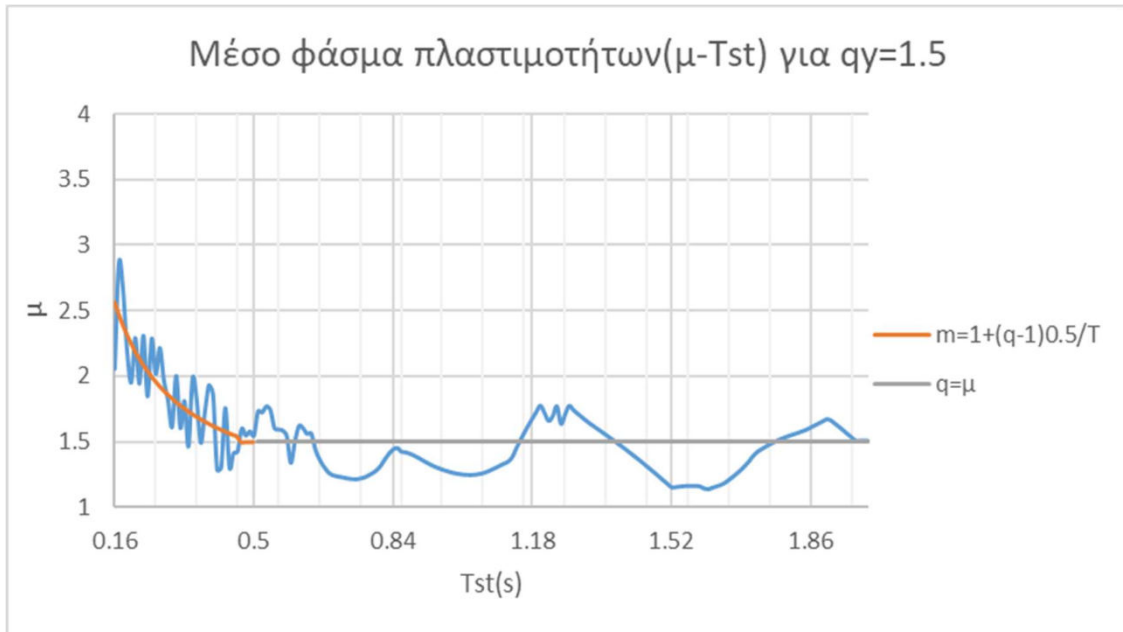
- Θα σκαναριστούν διάφορες ιδιοπεριόδοι Tst
- Θεωρούμε σταθερή δυσκαμψία υποστυλώματος Kst
- Η μάζα αναγκαστικά θα πρέπει να αλλάξει σε κάθε επανάληψη ως $Mst = Kst / \omega^2$
- Γίνεται ανελαστική ανάλυση με $Fy = \frac{Mst \cdot SA}{q}$ όπου SA η ελαστική επιτάχυνση του ταλαντωτή για δεδομένη ιδιοπερίοδο
- Υπολογίζεται η μέγιστη πλαστιμότητα του ταλαντωτή

```

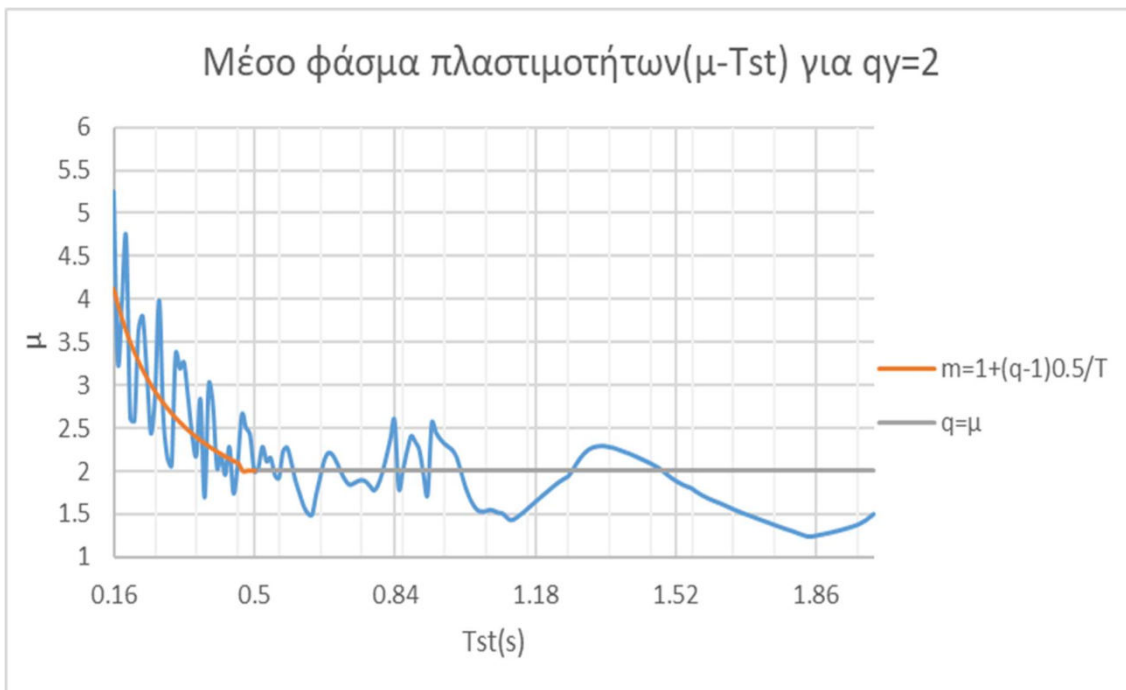
utot := for j ∈ 15..200
  wpj ← 2 · π / Tscj
  Mstj ← Kst / (wpj)2
  u0 ← 0
  u1 ← 0
  fs0 ← 0
  for i ∈ 1..Nt
    Du_i ← u_i - u_{i-1}
    Dfs_i ← Kst · Du_i · [ 1 - 0.5 · [ ( (fs_{i-1} / (Mstj · SAj)) )n · (1 + sign(fs_{i-1} · Du_i)) ] ]
    fs_i ← fs_{i-1} + Dfs_i
    u_{i+1} ← ( 2 / (1 + wpj · ξst · dt) · u_i - ( (1 - wpj · ξst · dt) / (1 + wpj · ξst · dt) ) · u_{i-1} ) - ( dt2 / (1 + wpj · ξst · dt) ) · ( (fs_i / Mstj) + 1 · ak_i )
  u_maxj ← ( max(max(u), max(-u)) · Kst ) / ( (Mstj · SAj) / q )
  utot ← utot + u_maxj

```

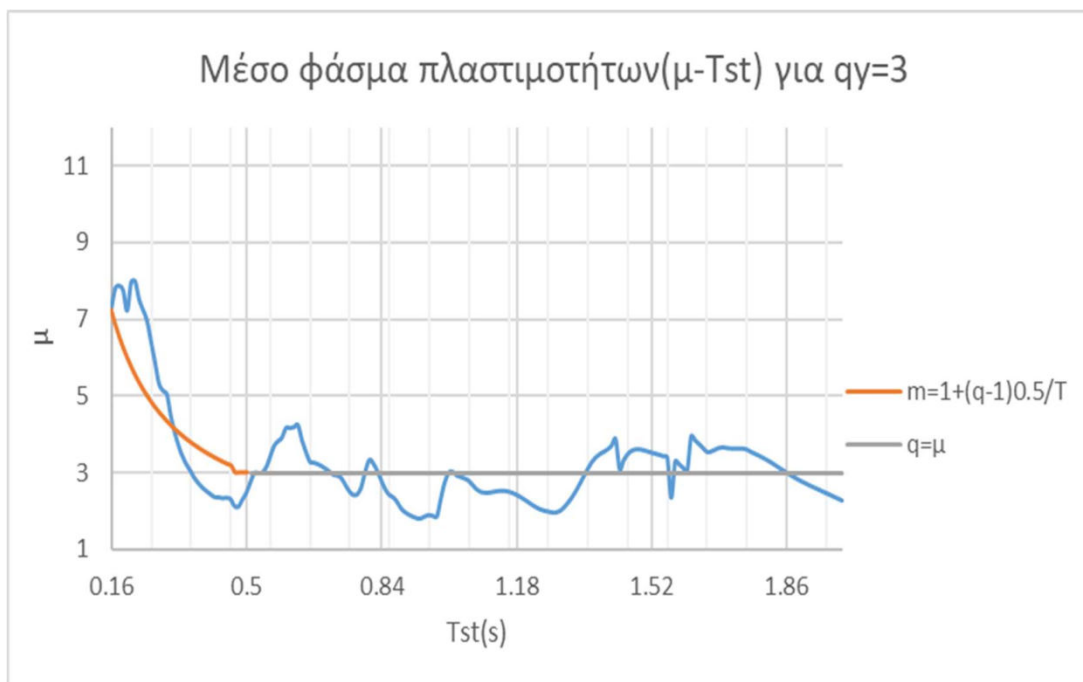
Εφαρμόζοντας για $q=1.5, 2, 3, 4$ τον παραπάνω αλγόριθμο για 15 επιταχυνσιογραφήματα σεισμών παίρνουμε για κάθε q ένα μέσο γράφημα πλαστιμοτήτων συναρτήσει της ιδιοπεριόδου.



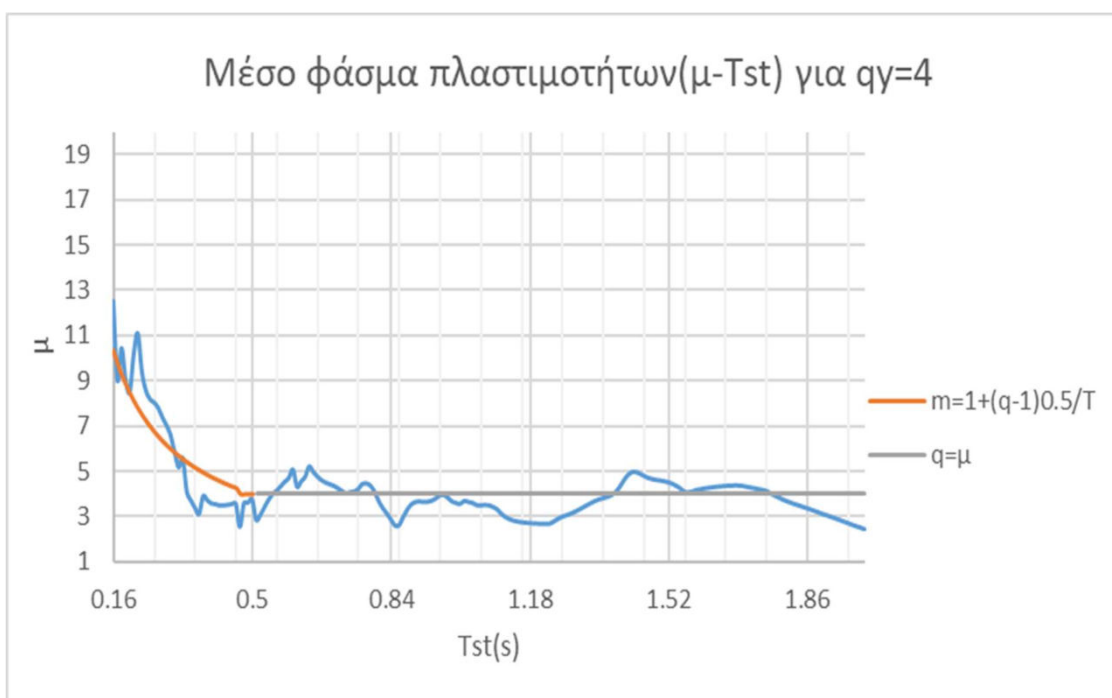
Σχήμα 3.27 Μέσο φάσμα πλαστιμοτήτων για $q=1.5$



Σχήμα 3.28 Μέσο φάσμα πλαστιμοτήτων για $q=2$



Σχήμα 3.29 Μέσο φάσμα πλαστιμοτήτων για q=3



Σχήμα 3.30 Μέσο φάσμα πλαστιμοτήτων για q=4

Επομένως οι παραδοχές των ίσων μετακινήσεων και ενεργειών ισχύουν ικανοποιητικά.

3.2.4 Ανελαστικά φάσματα απόκρισης

Η κατασκευή των ανελαστικών φασμάτων σταθερής πλαστιμότητας απαιτεί τον υπολογισμό της επιτάχυνσης διαρροής για να εκτελεστεί η χρονοϊστορία απόκρισης. Επομένως ακολουθείται η εξής διαδικασία:

- Σαρώνονται διάφορες ιδιοπερίοδοι T_{st}
- Για κάθε ιδιοπερίοδο T_{st} εισάγεται η ελαστική φασματική επιτάχυνση SA (η οποία έχει υπολογισθεί από το ελαστικό φάσμα του σεισμού)
- η επιτάχυνση διαρροής σε κάθε βήμα είναι $ay = SA - Da$, όπου $Da = 0.01$
- Γίνεται ανάλυση μέσω του bouc-wen, με $Fy = \frac{Kst \cdot ay}{\omega^2}$
- Υπολογίζεται η πλαστιμότητα $\mu = \frac{dm}{ay}$ και ελέγχεται αν είναι μεγαλύτερη ή ίση από την μ_t . Εάν ναι τότε σταματάμε αλλιώς θέτουμε $ay_{i+1} = ay_i - Da$ και συνεχίζεται η επανάληψη μέχρι να βρούμε την ζητούμενη μ .

```
utot := for k ∈ 0..200
```

$$wp_k \leftarrow \frac{2 \cdot \pi}{Tsc_k}$$

$$ay_{0,k} \leftarrow SA_k - Da$$

$$\mu_{0,k} \leftarrow 0$$

$$j \leftarrow 0$$

```
while 0 < μt
```

$$u_0 \leftarrow 0$$

$$u_1 \leftarrow 0$$

$$fs_0 \leftarrow 0$$

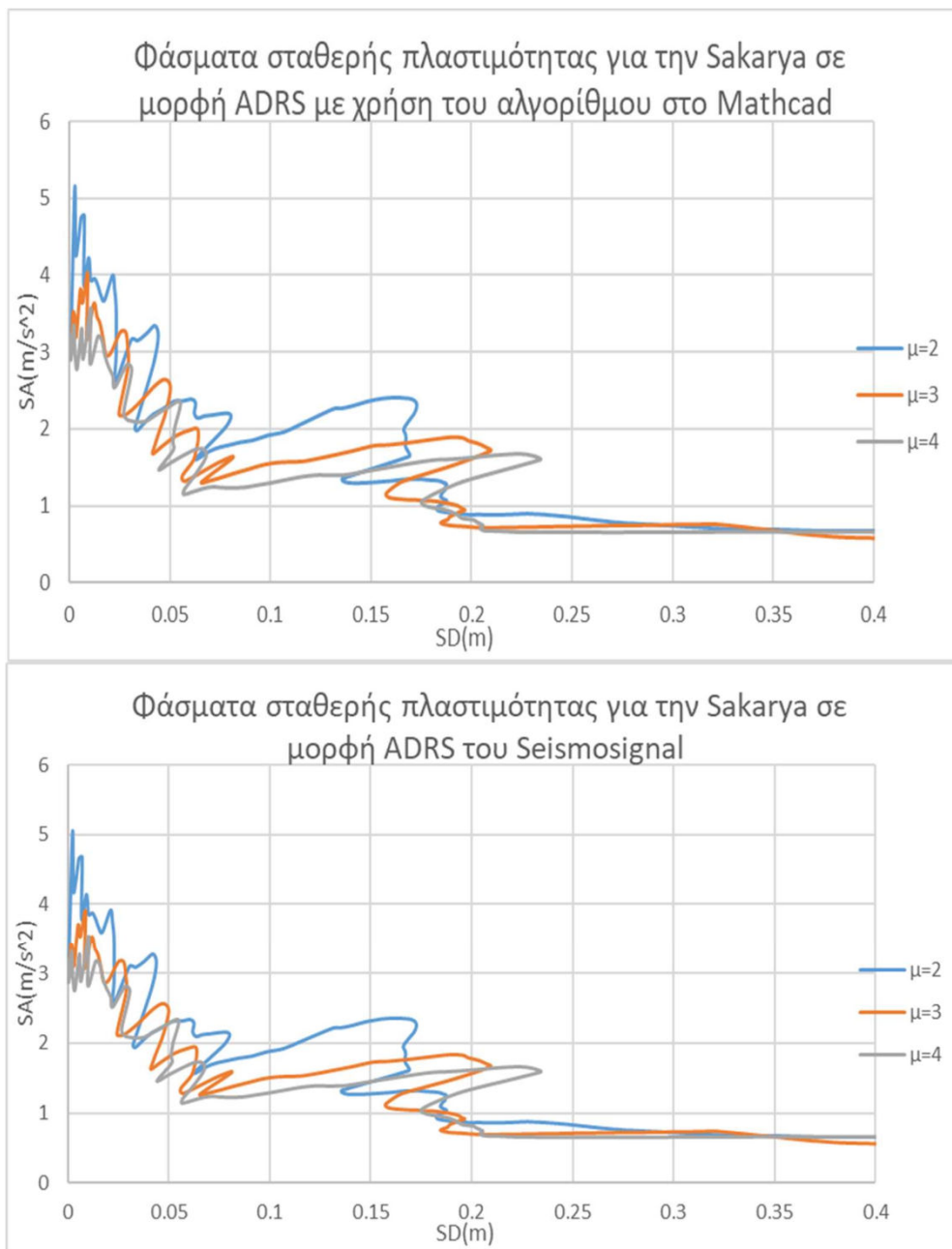
```
for i ∈ 1..Nt
```

$$Du_i \leftarrow u_i - u_{i-1}$$

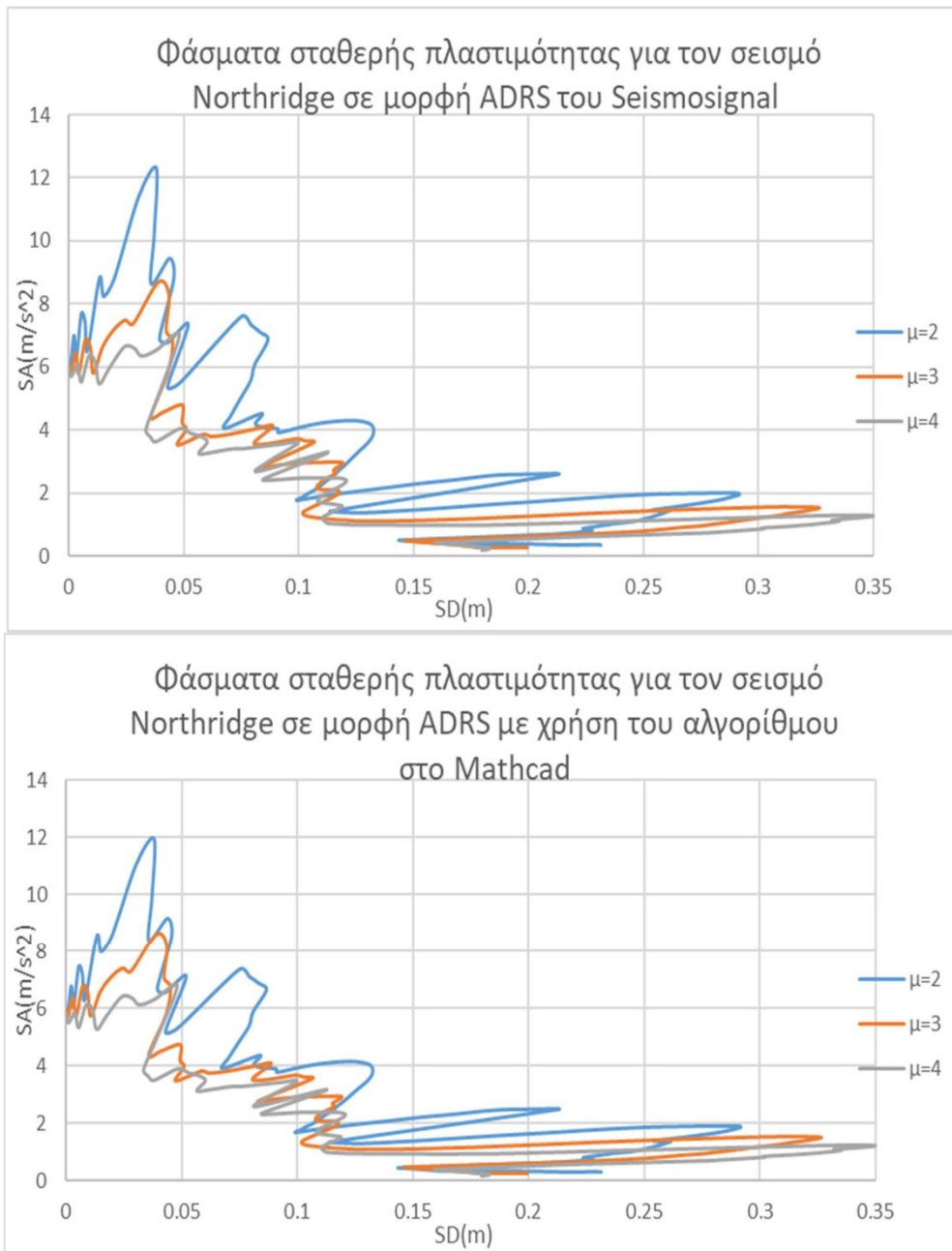
$$Dfs_i \leftarrow 1Kst \cdot Du_i \cdot \left[1 - 0.5 \cdot \left[\frac{fs_{i-1}}{\frac{Kst}{(wp_k)^2} \cdot ay_{j,k}} \right]^n \cdot (1 + \text{sign}(fs_{i-1} \cdot Du_i)) \right]$$

$$\begin{array}{l}
 \left[\begin{array}{l}
 fs_i \leftarrow fs_{i-1} + Dfs_i \\
 u_{i+1} \leftarrow \frac{2}{1 + wp_k \cdot \xi_{st} \cdot dt} \cdot u_i - \left(\frac{1 - wp_k \cdot \xi_{st} \cdot dt}{1 + wp_k \cdot \xi_{st} \cdot dt} u_{i-1} \right) - \frac{dt^2}{1 + wp_k \cdot \xi_{st} \cdot dt} \cdot \left[\frac{fs_i}{Kst} + 1 ak_i \right]
 \end{array} \right. \\
 dm_{j,k} \leftarrow \max(\max(u), |\min(u)|) \\
 \mu_{j,k} \leftarrow \frac{dm_{j,k}}{Kst} \cdot Kst \cdot 1 \\
 \frac{dm_{j,k}}{(wp_k)^2} \cdot ay_{j,k} \\
 \text{if } \mu_{j,k} < \mu t \\
 \left[\begin{array}{l}
 ay_{j+1,k} \leftarrow ay_{j,k} - Da \\
 j \leftarrow j + 1
 \end{array} \right. \\
 \text{otherwise} \\
 \left[\begin{array}{l}
 SApl_k \leftarrow ay_{j-1,k} \\
 SDpl_k \leftarrow dm_{j-1,k} \\
 \text{break}
 \end{array} \right. \\
 \left(\begin{array}{l}
 SDpl \\
 SApl
 \end{array} \right)
 \end{array}$$

Ακολουθεί η επιβεβαίωση του αλγορίθμου με τα ανελαστικά φάσματα του Seismosignal σε μορφή ADRS.



Σχήμα 3.31 Φάσματα σταθερής πλαστιμότητας για τον σεισμό Sakarya στο Mathcad, Seismosignal



Σχήμα 3.32 Φάσματα σταθερής πλαστιμότητας για τον σεισμό Northridge Mathcad-Seismosignal

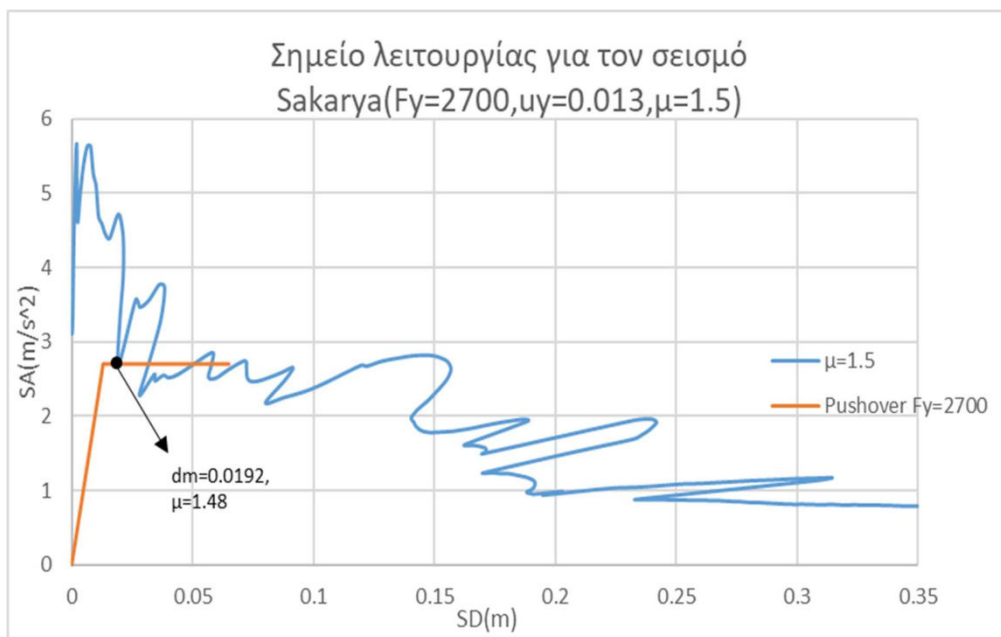
Συγκρίνοντας τον αλγόριθμο στο Mathcad με το Seismosignal

Το σφάλμα στην περίπτωση της Sakarya είναι 0-1.5% για τις μετακινήσεις ενώ για τις επιταχύνσεις 0-2.2%.

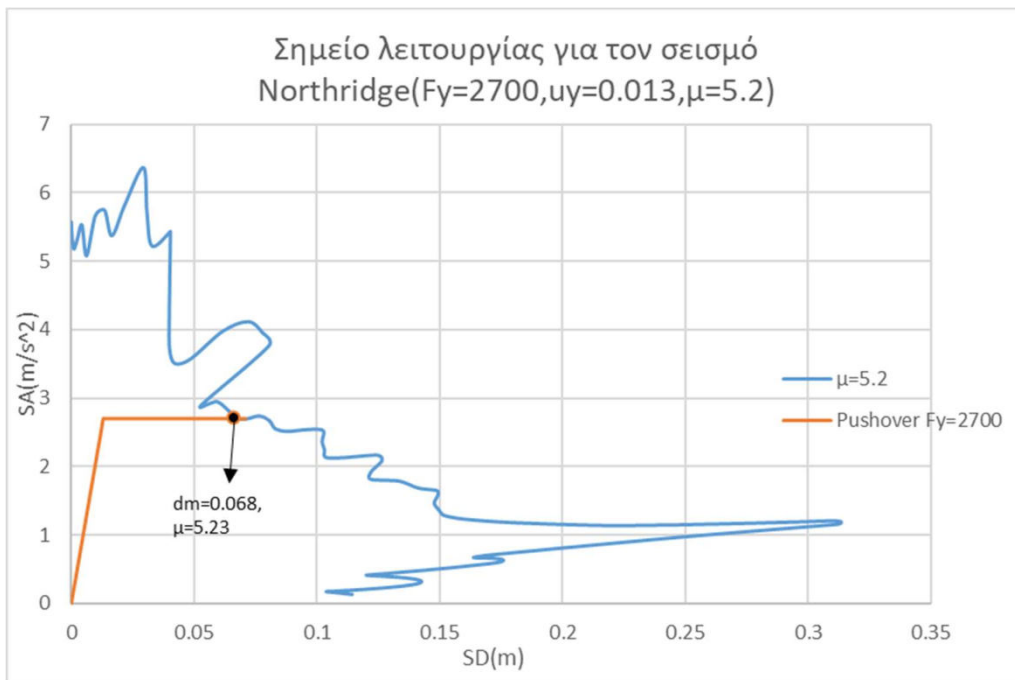
Ενώ για το Northridge 0-0.6% για τις μετακινήσεις και 0-1.8% για τις επιταχύνσεις.(Κατά απόλυτη τιμή).

3.2.5 Σημείο λειτουργίας κατασκευής(Perfomance Point)-Μέθοδος N2

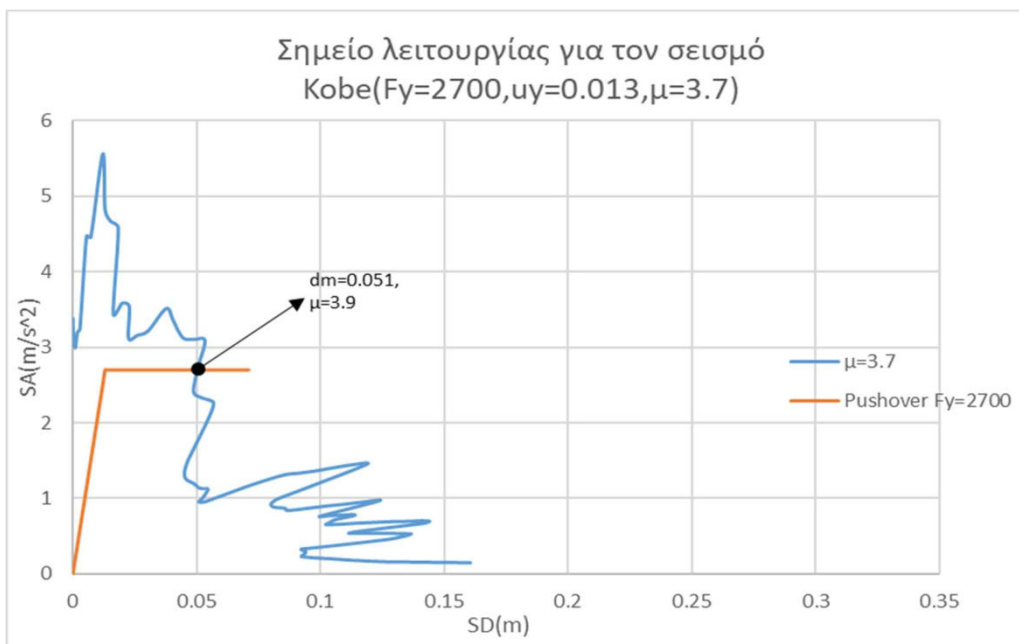
Η ικανότητα μιας κατασκευής να περαλαμβάνει σεισμικά φορτία πρέπει να είναι ίδια με την αντίστοιχη απαίτηση σύμφωνα με το φάσμα σχεδιασμού.Δηλαδή το σημείο λειτουργίας προκύπτει ως το σημείο τομής της καμπύλης ικανότητας(σε μορφή ADRS) και του ανελαστικού φάσματος για την πλαστιμότητα που αντιστοιχεί στον ταλαντωτή.Στον παρόν κεφάλαιο έχουν αναπτυχθεί ακριβής μέθοδοι μη γραμμικής ανάλυσης χρονοϊστορίας με τη μορφή αλγορίθμου στο Mathcad,αρχικά θα πρέπει να επαληθεύουν το παραπάνω αξίωμα.



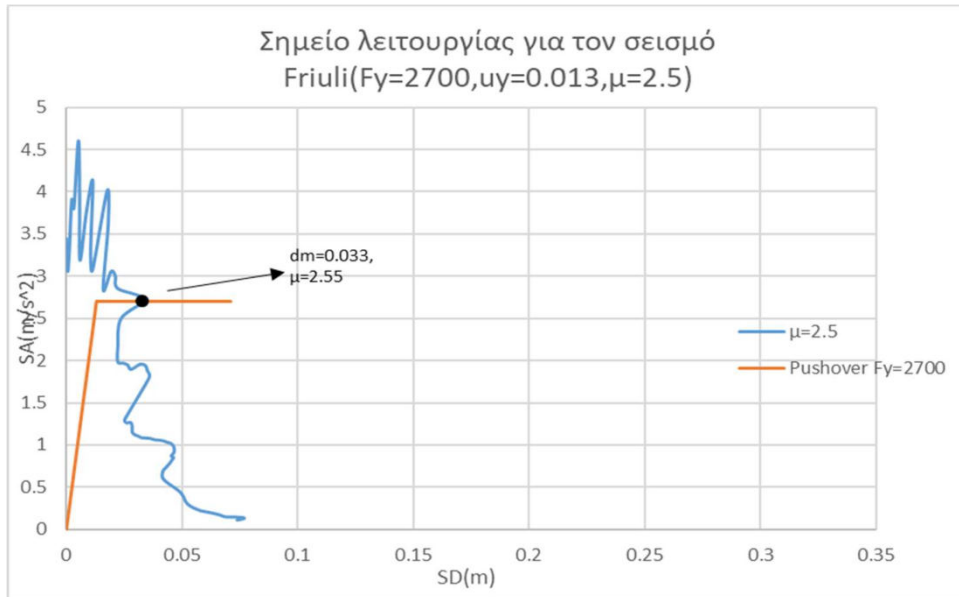
Σχήμα 3.33 Σημείο Λειτουργίας Σεισμού Sakarya $\mu=1.5$



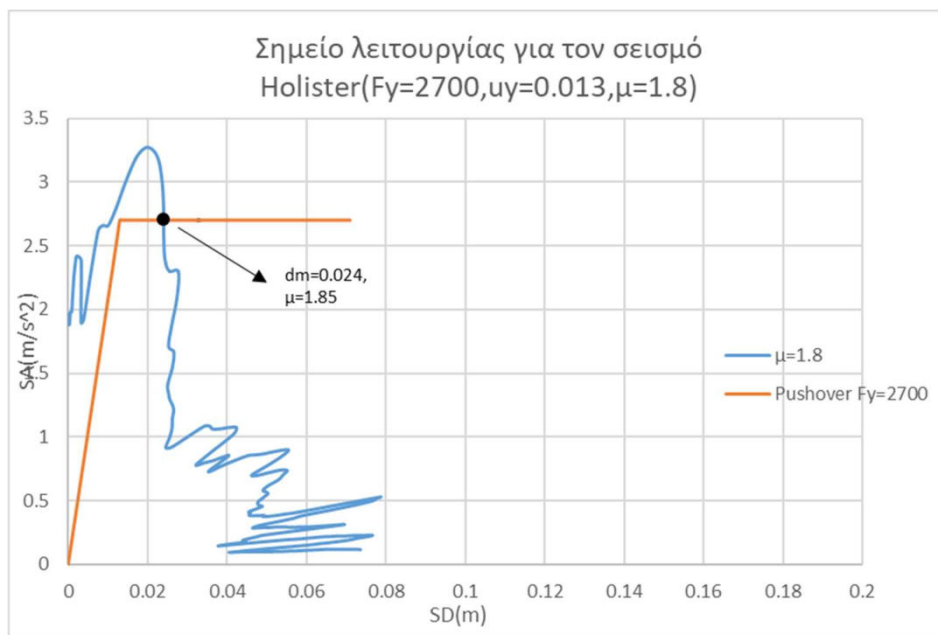
Σχήμα 3.34 Σημείο Λειτουργίας Σεισμού Northridge $\mu=5.2$



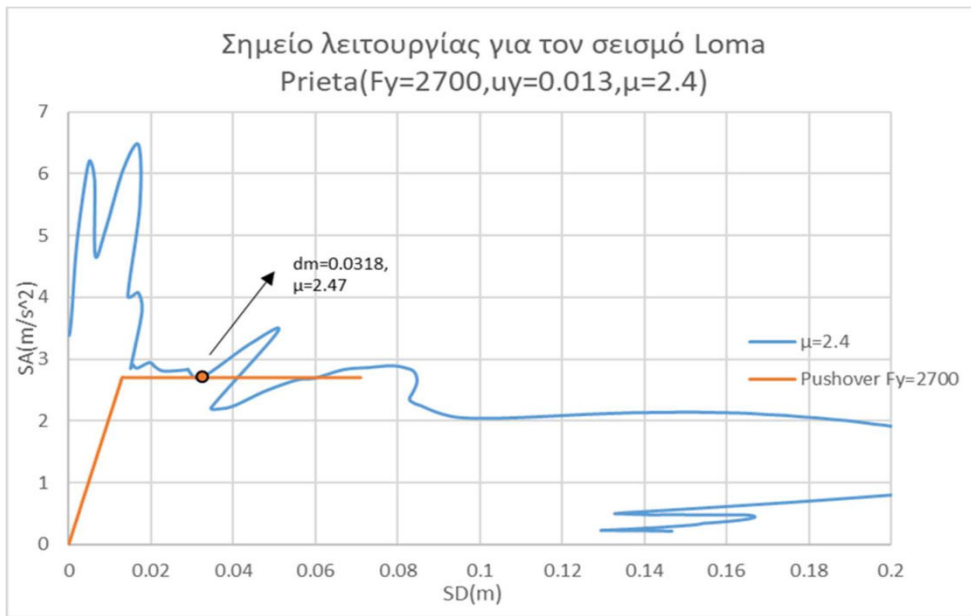
Σχήμα 3.35 Σημείο Λειτουργίας Σεισμού Kobe $\mu=3.7$



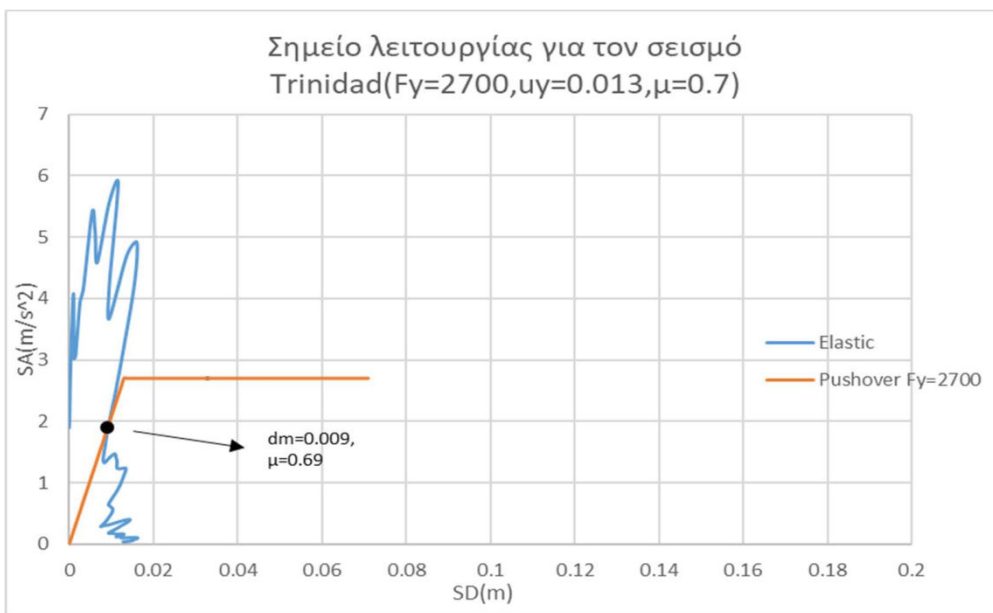
Σχήμα 3.36 Σημείο Λειτουργίας Σεισμού Friuli $\mu=2.5$



Σχήμα 3.37 Σημείο Λειτουργίας Σεισμού Holister $\mu=1.8$



Σχήμα 3.38 Σημείο Λειτουργίας Σεισμού Loma Prieta $\mu=2.4$



Σχήμα 3.39 Σημείο Λειτουργίας Σεισμού Trinidad $\mu=0.7$

Επομένως οι αλγόριθμοι είναι συνεπής με το σημείο λειτουργία της κατασκευής.(Σφάλμα 0-5%).

Στους αντισεισμικούς κανονισμούς χρησιμοποιείται η μέθοδος N2 του Faijfar(1999).Η μέθοδος αυτή βασίζεται σε σχέσεις του συντελεστή συμπεριφοράς με την πλαστιμότητα, υπολογίζεται δηλαδή η στοχευμένη μετακίνηση κάνοντας χρήση των ελαστικών φασμάτων του σχεδιασμού ανάλογα με την κατηγορία εδάφους,την εδαφική επιτάχυνση και την σπουδαιότητα της ανωδομής.Πιο συγκεκριμένα:

•Υπολογισμός της καμπύλης αντίστασης (Pushover) κα συνεπώς της $Fy = mS_{ay}$ και $d_y = S_{dy}$

•Απο το ελαστικό φάσμα σχεδιασμού υπολογίζουμε την ελαστική επιτάχυνση S_{ae} και η ελαστική μετακίνηση S_{de} για περίοδο T_{st} .

$$q_y = S_{ae} / S_{ay}$$

•Υπολογισμός στοχευμένης μετακίνησης

1) Εάν $T_{st} \geq T_o$

$$\mu = q_y \text{ και } d = S_e$$

2) Εάν $T_{st} < T_o$

$$\mu = (q_y - 1) \frac{T_o}{T_{st}} + 1 \text{ (η οποία πάντως δίνει όμοιο αποτέλεσμα με την } \mu = \frac{q^2+1}{2} \text{)} \text{ και } d = \mu S_{dy}$$

Ο παραπάνω τρόπος είναι μια εύκολη μεθοδολογία υπολογισμού της στοχευμένης μετακίνησης απο τον μηχανικό της πράξης χωρίς τον υπολογισμό ανελαστικών φασμάτων των σεισμών,χρήση ανελαστικών προσωμοιωμάτων κλπ, αλλά μόνο με την χρήση της καμπύλης pushover και σχέσεων που δίνονται στο κανονισμό.Για να ελεγχθεί κατά πόσο αποκλίνει απο την πραγματική σεισμική απόκριση της κατασκευής κάθε γράφημα του σεισμού θα προσαρμοστεί στο ελαστικό φάσμα σχεδιασμού του κανονισμού με την χρήση του Seismomatch και θα υπολογιστεί η μετακίνηση του ταλαντωτή.Στο παρακάτω πίνακα φαίνονται η μετακίνηση και η απόκλιση για κάθε σεισμό.

Διαρροή βάρου $F_y=2700\text{KN}$			
Σεισμοί	Πραγματική Στοχευμένη Μετακίνηση(m)	Στοχευμένη μετακίνηση μεθόδου N2(m)	Σφάλμα(%)
Sakarya	0.0192	0.0207	7.81
Northridge	0.068	0.0701	3.09
Kobe	0.051	0.049	-3.92
Friuli	0.033	0.036	9.09
Holister	0.024	0.0218	-9.17
Loma Prieta	0.0318	0.0375	17.92
Trinidad	0.009	0.01	11.11

ΚΕΦΑΛΑΙΟ 4

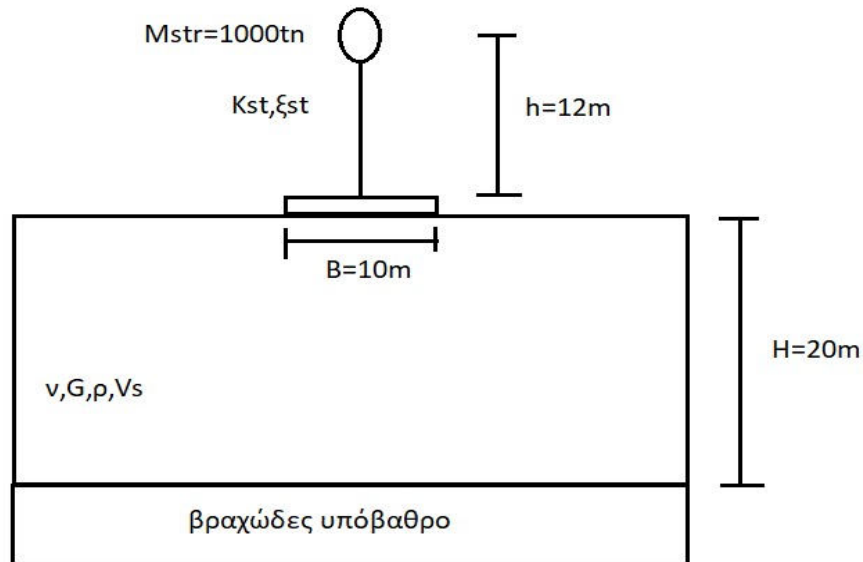
4.Διερεύνηση της δυναμικής επιρροής της αλληλεπίδρασης ελαστικού εδάφους-θεμελίου-ταλαντωτή με την χρήση μακροστοιχείων και αριθμητικών αναλύσεων.

Για τις ανάγκες επίλυσης του προβλήματος θα κατασκευαστεί ένα μακροστοιχείο που αποσκοπεί στην προσομοίωση του περιβάλλοντος εδάφους, της θεμελίωσης και της ανωδομής με ένα μόνο στοιχείο τριών βαθμών ελευθερίας. Το μακροστοιχείο αυτό θα επιβεβαιωθεί και αριθμητικά με την χρήση αναλύσεων πεπερασμένων στοιχείων (Plaxis, Seismostruct). Πιο συγκεκριμένα θα γίνει:

- Έυρεση της δυναμικής μετακίνησης και επιτάχυνσης στην κορυφή και στην βάση του ταλαντωτή
- Υπολογισμός των ελαστικών και ανελαστικών φασμάτων απόκρισης με συνυπολογισμό του εδάφους
- Έυρεση των νέων καμπυλών αντιστάσης και καθορισμό του σημείο λειτουργίας λόγω της ευκαμψίας του εδάφους

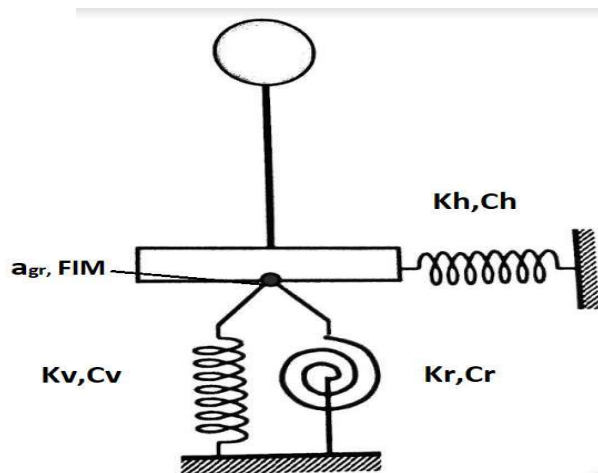
4.1 Ανάπτυξη μακροστοιχείου για την συμπεριφορά του μονοβάθμιου ταλαντωτή επί ελαστικού εδάφους υπό σεισμική διέγερση.

Το υπό μελέτη πρόβλημα συνοψίζεται στην παρακάτω εικόνα:



Σχήμα 4.1. Μονοβάθμιος ταλαντωτής επί ελαστικού εδάφους

Στόχος είναι η αντικατάσταση του παραπάνω συστήματος με το παρακάτω ισοδύναμο σύστημα, ο υπολογισμός των ελατηρίων και των αποσβεστήρων καθώς και η μόρφωση της εξίσωσης κίνησης και η επίλυση της. Το έδαφος θα θεωρηθεί γραμμικώς ελαστικό και το βάθος αρχικά ελαστικό και έπειτα ανελαστικό.



Σχήμα 4.2 Ισοδύναμο πρόβλημα-ταλαντωτής επί ελατηριακών σταθερών υποβαλλόμενος σε διέγερση στην στάθμη της θεμελίωσης(FIM)(Αλληπίδραση εδάφους Κατασκευής Γκαζέτας, Γερολυμός)

4.1.1 Μητρώο στιβαρότητας και αποσβέσεως θεμελίου-εδάφους

Αρχικώς σκοπός είναι η μόρφωση του ελαστικού μητρώου στιβαρότητας καθώς και του μητρώου αποσβέσεως θεμελίου-εδάφους. Για να συμβεί αυτό θα πρέπει να προσδιοριστούν οι τιμές των ελατηριακών σταθερών K_h, K_r καθώς και οι τιμές των αποσβεστήρων C_h, C_r . Τα μητρώα αυτά εξαρτώνται κατά κύριο λόγο από τις ελαστικές σταθερές της εδαφικής στήλης (λόγος Poisson ν , μέτρο διάτμησης G_s), τον τύπο της θεμελίωσης καθώς και την ύπαρξη βράχου σε βάθος H από την επιφάνεια του εδάφους.

Η θεμελίωση είναι επιφανειακή, τετραγωνική διαστάσεων ($B \times B = 10 \times 10$), και θεωρείται πλήρως άκαμπτη. Όπως αναφέρθηκε και στην βιβλιογραφική ανασκόπηση υπάρχουν κλειστές αναλυτικές σχέσεις για τον υπολογισμό των δυσκαμψιών επιφανειακού τετραγωνικού θεμελίου σε ομοιογενή ημίχωρο, όμως δεν παρουσιάζονται οι συντελεστές επιρροής λόγω της ύπαρξης βράχου. Αναγκαστικά θα πρέπει να τροποποιηθούν οι συντελεστές από το κυκλικό θεμέλιο. Η κατακόρυφη ελατηριακή σταθερά δεν επηρεάζει την δυναμική απόκριση του συστήματος οπότε αγνοείται.

Οι δυσκαμψίες του θεμελίου επί του ελαστικού ομοιογενή ημίχωρου είναι

$$B = 2b$$

Οριζόντια δυσκαμψία:

$$K_h = \frac{9 G_s b}{2 - \nu}$$

Λικνιστική δυσκαμψία:

$$K_r = \frac{3.6 G_s b^3}{1 - \nu}$$

Συντελεστές επιρροής βραχώδους υποβάθρου για το κυκλικό θεμέλιο:

Οριζόντια δυσκαμψία:

$$I_h = 1 + \frac{R}{2H}$$

Λικνιστική δυσκαμψία:

$$I_r = 1 + \frac{R}{6H}$$

Για την τροποποίηση του συντελεστή οριζόντιας δυσκαμψίας η ισοδύναμη ακτίνα προκύπτει από την εξίσωση των εμβαδών του κύκλου και του τετραγώνου:

$$R = \frac{B}{\sqrt{\pi}}$$

Για τον συντελεστή λικνιστικής δυσκαμψίας θα πρέπει να εξισωθούν οι γεωμετρικές ροπές αδρανείας του κύκλου και του τετραγώνου:

$$R = \frac{B}{\sqrt[4]{3\pi}}$$

Επομένως οι στατικές δυσκαμψίες του τετραγωνικού θεμελίου εδραζόμενου επι γραμμικώς ελαστικής εδαφικής στρώσης πάχους H:

Οριζόντια δυσκαμψία:

$$Kh = \frac{9 G_s b}{2 - \nu} \left(1 + 0.565 \frac{b}{H} \right)$$

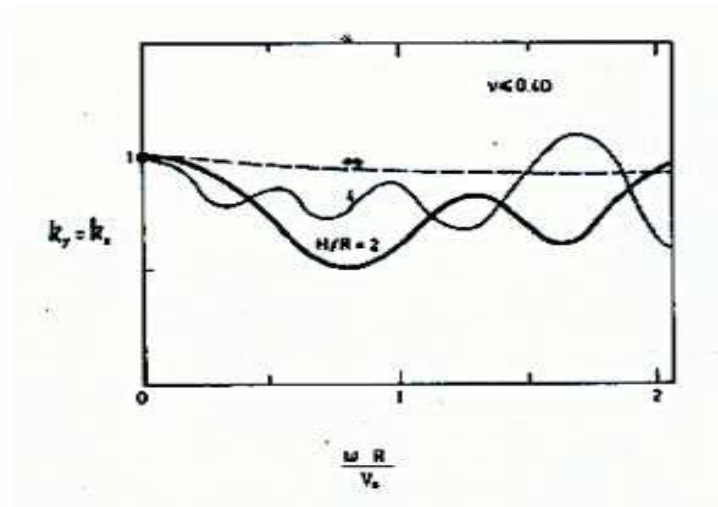
Λικνιστική δυσκαμψία:

$$Kr = \frac{3.6 G_s b^3}{1 - \nu} \left(1 + 0.19 \frac{b}{H} \right)$$

Οι παραπάνω δυσκαμψίες πρέπει να πολλαπλασιαστούν με τον συντελεστή δυναμικής δυσκαμψίας $k(\omega)$ ο οποίος δίνεται από τα σχήματα που παρουσιάστηκαν στο κεφάλαιο 2.3 συναρτήσει του αδιάστατου συντελεστή $a_0 = \omega b / V_s$. Όπου V_s η ταχύτητα διατμητικών κυμάτων του εδάφους και ω η κυκλική συχνότητα της διέγερσης. Σε περίπτωση σεισμικής διέγερσης σαν ω λαμβάνεται η μέση κυκλική συχνότητα της διέγερσης. Στην βιβλιογραφία παρουσιάζονται οι συντελεστές αυτοί για κυκλικό θεμέλιο επί εδαφικής στρώσης, και για τετραγωνικό θεμέλιο στον ομοιογενή ημίχωρο.

Για να χρησιμοποιηθεί το διάγραμμα του κυκλικού θεμελίου για τον υπολογισμό του δυναμικού συντελεστή σε οριζόντια δυσκαμψία χρησιμοποιείται η σχέση

$$R = \frac{B}{\sqrt{\pi}}$$



Σχήμα 4.3 Δυναμικός συντελεστής οριζόντιας δυσκαμψίας για κυκλικό θεμέλιο σε στρώση επί βράχου(Gazetas 1991)

Για τον δυναμικό συντελεστή σε λικνισμό,όπως αναφέρεται, παραμένει ανεπηρέαστος απο το πάχος της εδαφικής στρώσης, και δίνεται από την σχέση:

$$k_r = 1 - 0.2\alpha_0$$

Όπου $\alpha_0 = \omega b / V_s$.

Επομένως οι δυναμικές δυσκαμψίες έχουν την μορφή:

$$KH = K_h * k_h \text{ και } KR = K_r * k_r$$

Σειρά έχει ο υπολογισμός του μητρώου απόσβεστης του συστήματος εδάφους-θεμελίου.

Οι δυναμικές τιμές της απόσβεσης λόγω ακτινοβολίας του θεμελίου δίνονται απο τις ακόλουθες σχέσεις:

Ορίζονται :

$$CH = (\rho_s V_s A_b) \cdot c_h$$

Λικνιστική:

$$CR = (\rho_s V_{la} I_b) \cdot c_r$$

Όπου: ρ_s η πυκνότητα του εδάφους

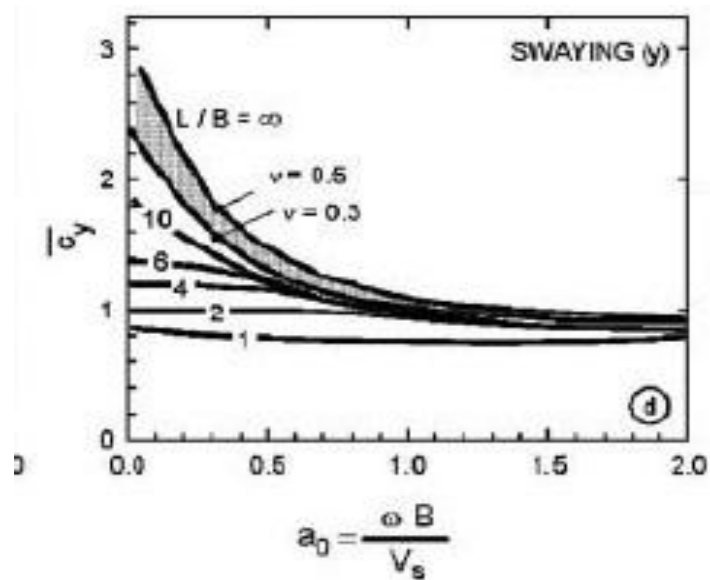
A_b το εμβαδόν της θεμελίωσης

V_s η ταχύτητα διατμητικών κυμάτων

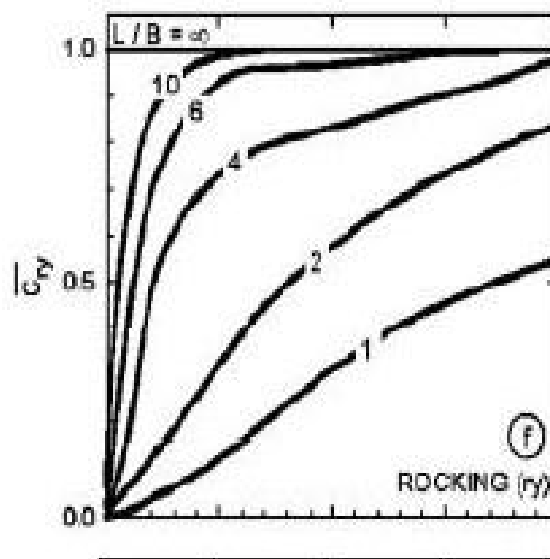
V_{la} η ταχύτητα lysmer ίση με $V_{la} = \frac{3.4}{\pi(1-\nu)} V_s$

I_b η ροπή αδρανείας της τετραγωνικής θεμελίωσης ίση με $I_b = \frac{B^4}{12}$

ch,cr οι δυναμικοί συντελεστές της απόσβεσης που δίνονται απο τα παρακάτω διαγράμματα



Σχήμα 4.4 Δυναμικός συντελεστής απόσβεσης ακτινοβολίας για την οριζόντια διεύθυνση στον ομοιογενή ημίωφο(Gazetas 1991)



Σχήμα 4.5 Δυναμικός συντελεστής απόσβεσης ακτινοβολίας για τον λικνισμό στον ομοιογενή ημίωφο(Gazetas 1991)

Για να ληφθεί υπόψη η ύπαρξη βραχύδους υποβάθρου σε ύψος H. Οι παραπάνω συντελεστές πρέπει να τροποποιηθούν ως εξής:

Οριζόντια διεύθυνση:

$$c_h\left(\frac{H}{b}\right) \approx 0 \quad \text{όταν } f < \frac{3}{4}f_s$$

$$c_h\left(\frac{H}{b}\right) \approx c_h(\infty) \quad (\text{τιμή συντελεστή στον ομοιογενή ημίχωρο}) \quad \text{όταν } f > \frac{4}{3}f_s$$

Όπου $f_s = \frac{V_s}{4H}$ η δεσπόζουσα ιδιοπερίοδος της εδαφικής στρώσης

Στις ενδιάμεσες συχνότητες χρησιμοποιούμε γραμμική παρεμβολή

Περιστροφική διεύθυνση:

$$c_r\left(\frac{H}{b}\right) \approx 0 \quad \text{όταν } f < f_c$$

$$c_r\left(\frac{H}{b}\right) \approx c_r(\infty) \quad (\text{τιμή συντελεστή στον ομοιογενή ημίχωρο}) \quad \text{όταν } f > f_c$$

Όπου $f_c = \frac{v_l a}{4H}$

Οι συχνότητες $f < \frac{3}{4}f_s$ και $f < f_c$ ονομάζονται και συχνότητες αποκοπής. Κατά την διάρκεια μια διέγερσης με τις εν λόγω συχνότητες η απόσβεση ακτινοβολίας μηδενίζεται δηλαδή έχουμε αναιρετική συμβολή των κυμάτων.

Επομένως έχουμε προσδιορίσει τα ελατήρια και τους αποσβεστήρες στις δύο διευθύνσεις δηλαδή γνωρίζουμε το μητρώο δυσκαμψίας και το μητρώο απόσβεσης του συστήματος εδάφους-θεμελίου (2x2).

$$Kf = \begin{bmatrix} KH & 0 \\ 0 & KR \end{bmatrix}$$

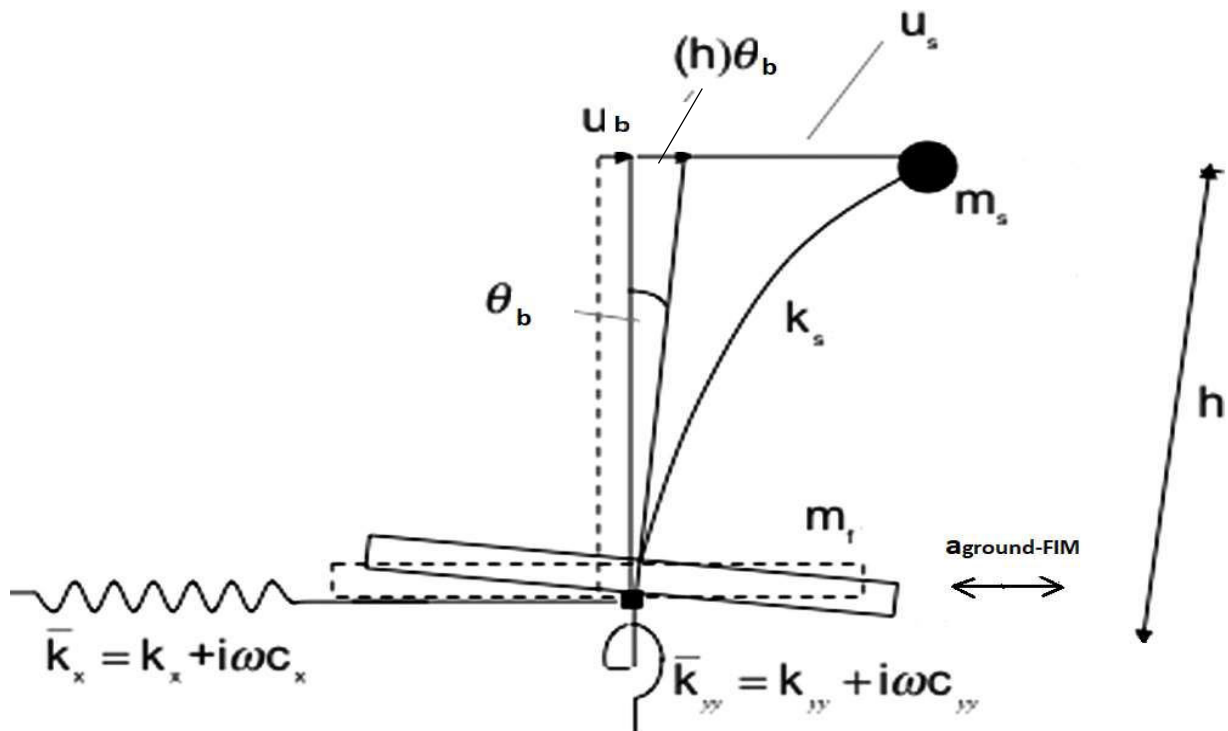
$$Cf = \begin{bmatrix} CH & 0 \\ 0 & CR \end{bmatrix}$$

Στον παρακάτω πίνακα φαίνονται οι τιμές των δυναμικών συντελεστών δυσκαμψίας και απόσβεσης για ένα εδαφικό προφίλ με $\nu=0.3, G_s=51300 \text{Kpa}, \rho_s=2 \text{tn/m}^3, V_s=160 \text{m/s}$ για τους επιλεγμένους σεισμούς.

			b=5m	Vs=160m/s	Gs=51300KPa	$\rho_s=2tn/m^3$	fs=2Hz	fc=3.1Hz	
ΣΕΙΣΜΟΙ	f(Hz)	Tmean(s)	$\alpha_0(\omega b/V_s)$	kh	kr	ch	cr	0.75fs	4/3fs
Sakarya	1.85	0.54	0.364	0.84	0.927	0.28	0	1.5	2.67
Northridge	1.75	0.57	0.344	0.85	0.931	0.2	0	1.5	2.67
Kobe	1.92	0.52	0.378	0.86	0.924	0.34	0	1.5	2.67
Friuli	2.50	0.4	0.491	0.91	0.902	0.78	0	1.5	2.67
Holister	1.59	0.63	0.312	0.82	0.938	0.08	0	1.5	2.67
Loma Prieta	1.64	0.61	0.322	0.82	0.936	0.11	0	1.5	2.67
Trinidad	3.23	0.31	0.633	0.8	0.873	0.905	0.17	1.5	2.67

4.1.2 Διατύπωση και επίλυση της εξίσωσης κίνησης του συστήματος εδάφους-θεμελίωσης-ελαστικού ταλαντωτή.

Αφού έχουν βαθμονομηθεί τα ελατήρια αλλά και ο ελαστικός μονοβάθμιος πακτωμένος ταλαντωτής θα πρέπει να διατυπωθεί η δυναμική εξίσωση ισορροπίας του παρακάτω μοντέλου.



Σχήμα 4.6 Μοντέλο προσομοίωσης αλληλεπίδρασης-εδάφους-κατασκευής. (Journal of Geotechnical and Geoenvironmental Engineering)

Η ιδιοπερίοδος του συστήματος δίνεται απο την σχέση :

$$T_{ssi} = T_{st} \sqrt{1 + \frac{Kst}{KH} + \frac{Kst h^2}{KR}}$$

Όπου T_{st} : η πακτωμένη ιδιοπερίοδος του ταλαντωτή $T_{st} = 2\pi \sqrt{\frac{Mst}{Kst}}$, Mst η μάζα του ταλαντωτή συγκεντρωμένη στην κορυφή του βάθρου δυσκαμψίας $Kst = \frac{3EI}{h^3}$

KH, KR : Οι δυναμικές στιβαρότητες του θεμελίου-εδάφους.

Η σεισμική απόκριση του τριβάθμιου συστήματος περιγράφεται από την δυναμική εξίσωση ισορροπίας :

$$[M]\{\ddot{u}\} + [C]\{\dot{u}\} + [K]\{u\} = -[M]\{\ddot{u}_{gr}\} \quad (4.1)$$

Όπου

$$\{u\}: \text{ένα μητρώο-στήλη (3x1)} \begin{pmatrix} ub \\ \theta b \\ u \end{pmatrix}$$

ub: Οριζόντια μετακίνηση στην βάση του θεμελίου , θb : Η στροφή του θεμελίου ,

u: Η συνολική οριζόντια μετακίνηση στην κορυφή του ταλαντωτή(η στροφή έχει αγνοηθεί καθώς θεωρούμε μηδενική ροπή αδράνειας της μάζας)

$[M]$: το μητρώο μάζας του συστήματος(3x3).Για την κατασκευή του θεωρούμε την μάζα της θεμελίωσης,αλλα και του βάρου μηδενική.

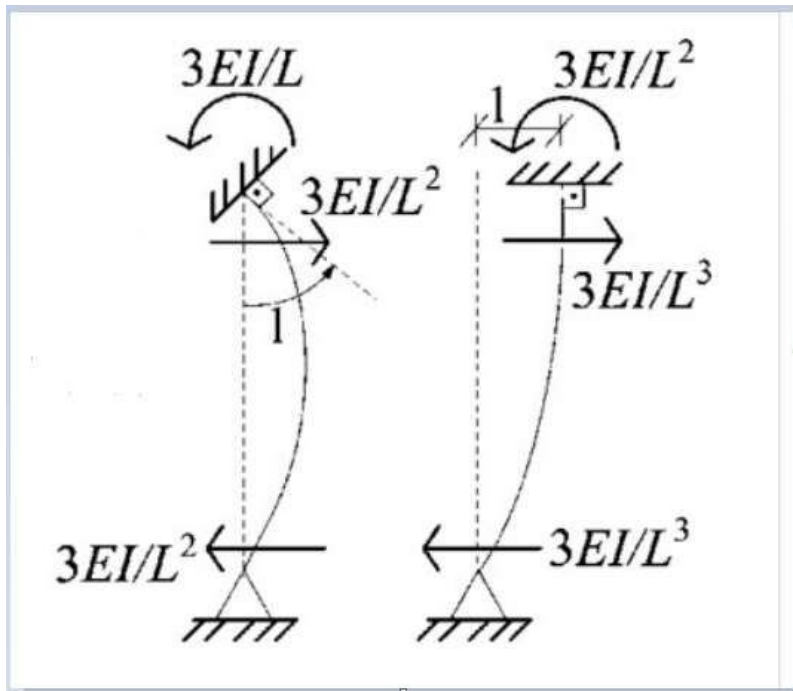
$$[M] = \begin{pmatrix} 0 & 0 & 0 \\ 0 & 0 & 0 \\ 0 & 0 & Mst \end{pmatrix}$$

$[C]$: το μητρώο απόσβεσης(3x3).Η απόσβεση στο σύστημα θα εισαχθεί απο το μητρώο απόσβεσης λόγω ακτινοβολίας του θεμελίου Cf και επιπλέον θα θεωρηθεί απόσβεση λόγω της μάζας του ταλαντωτή ίση με $a_0 Mst = 2\xi_{st}\omega_{st}Mst$ όπως και στο πακτωμένο σύστημα.

$$[C] = \begin{pmatrix} CH & 0 & 0 \\ 0 & CR & 0 \\ 0 & 0 & a_0Mst \end{pmatrix}$$

$[K]$: το μητρώο δυσκαμψίας του συστήματος(3x3).Το μητρώο αυτο θα προκύψει από το μητρώο δυσκαμψίας του βάρου με προσθήκη του ελαστικού κόμβου(μητρώο Kf).

Για τον προσδιορισμό του μητρώου στιβαρότητας του βάρου θα γίνει χρήση των παρακάτω σχέσεων που δίνουν τις τέμνουσες δυνάμεις και τις ροπές για επιβαλλόμενη μετατόπιση και στροφή μιας δοκού πάκτωσης-άρθρωσης.



Σχήμα 4.7 Δυνάμεις και ροπές για μοναδιαίες επιβαλλόμενες παραμορφώσεις. (M Eröz · 2008)

Θεωρώντας $u_b=1$, $\theta_b=0$, $u=0$ παίρνουμε την πρώτη στήλη του μητρώου σιβαρότητας

$$\begin{pmatrix} k_{11} \\ k_{21} \\ k_{31} \end{pmatrix} = \begin{pmatrix} Fb \\ Mb \\ F \end{pmatrix} \Leftrightarrow \begin{pmatrix} k_{11} \\ k_{21} \\ k_{31} \end{pmatrix} = \begin{pmatrix} \frac{3EI}{h^3} \\ \frac{3EI}{h^2} \\ -EI \\ \frac{3EI}{h^3} \end{pmatrix}$$

Για τον υπολογισμό της δεύτερης στήλης χρησιμοποιούμε $u_b=0$, $\theta_b=1$, $u=0$

$$\begin{pmatrix} k_{12} \\ k_{22} \\ k_{32} \end{pmatrix} = \begin{pmatrix} Fb \\ Mb \\ F \end{pmatrix} \Leftrightarrow \begin{pmatrix} k_{12} \\ k_{22} \\ k_{32} \end{pmatrix} = \begin{pmatrix} \frac{3EI}{h^2} \\ \frac{3EI}{h} \\ -EI \\ \frac{3EI}{h^2} \end{pmatrix}$$

Η τρίτη στήλη είναι αντίθετη της πρώτης λόγω δράσης-αντίδρασης.

Επιπλέον προσθέτοντας στα πρώτα δύο στοιχεία της διαγωνίου του μητρώου τον ελαστικό κόμβο. Παίρνουμε το μητρώο δυσκαμψίας του συστήματος:

$$[K] = \begin{pmatrix} Kst + KH & Kst \cdot h & -Kst \\ Kst \cdot h & Kst \cdot h^2 + KR & -Kst \cdot h \\ -Kst & -Kst \cdot h & Kst \end{pmatrix}$$

Για την επίλυση της εξίσωσης (4.1) θα χρησιμοποιηθεί η μέθοδος κεντρικών διαφορών που αναπτύχθηκε στο κεφάλαιο 3.1.3 για τον πακτωμένο ταλαντωτή, μόνο που τώρα θα χρησιμοποιηθούν τα παραπάνω μητρώα για την μάζα, την απόσβεση και την δυσκαμψία. Πιο συγκεκριμένα

Οι μετατοπίσεις δίνονται από την σχέση:

$$\{u_{i+1}\} = [Kd]^{-1} \cdot [Pd] \quad (4.2)$$

Με $[Kd] = \frac{[M]}{dt^2} + \frac{[C]}{2dt}$ (4.3) η δυσκαμψία του συστήματος κάθε χρονική στιγμή.

και $[Pd] = [p_i] - \left(\frac{[M]}{dt^2} - \frac{[C]}{2dt}\right)\{u_{i-1}\} - \left([K] - \frac{2[M]}{dt^2}\right)\{u_i\}$ (4.4) η δύναμη του συστήματος κάθε χρονική στιγμή.

Μέσω του μητρώου $[p_i]$ γίνεται η εισαγωγή του διεγείροντα κραδασμού μέσω της μορφής επιβαλλόμενης δύναμης από την σχέση:

$$[p_i] = \begin{pmatrix} KH & 0 & 0 \\ 0 & KR & 0 \\ 0 & 0 & 0 \end{pmatrix} \begin{pmatrix} xg \\ 0 \\ 0 \end{pmatrix} + \begin{pmatrix} CH & 0 & 0 \\ 0 & CR & 0 \\ 0 & 0 & 0 \end{pmatrix} \begin{pmatrix} \dot{x}g \\ 0 \\ 0 \end{pmatrix} \quad (4.5)$$

Όπου xg η μετακίνηση της διέγερσης που επίβαλλεται στην στάθμη της θεμελίωσης. (FIM)

4.1.3 Μόρφωση του μακροστοιχείου για την συμπεριφορά του ελαστικού ταλαντωτή επί ελαστικού εδάφους.

Η κατασκευή του μακροστοιχείου θα γίνει με χρήση των εξισώσεων (4.1), (4.2), (4.3), (4.4), (4.5) αλγοριθμικά στο Mathcad. Στα διαγώνια στοιχεία των μητρώων της μάζας και της απόσβεσης έχουν προστεθεί μικροί αριθμοί για την αριθμητική ευστάθεια του αλγορίθμου

$$\begin{aligned}
 \text{utot} := & \begin{cases} ub_1 \leftarrow 0 \\ \theta b_1 \leftarrow 0 \\ v_1 \leftarrow 0 \\ ub_0 \leftarrow 0 \\ \theta b_0 \leftarrow 0 \\ v_0 \leftarrow 0 \end{cases} \\
 Kd \leftarrow & \frac{1}{dt^2} \cdot \begin{pmatrix} \frac{Mst}{100} & 0 & 0 \\ 0 & \frac{Mst}{100} & 0 \\ 0 & 0 & Mst \end{pmatrix} + \frac{1}{2 \cdot dt} \cdot \begin{pmatrix} a0 \cdot \frac{Mst}{100} + CH & 0 & 0 \\ 0 & a0 \cdot \frac{Mst}{100} + CR & 0 \\ 0 & 0 & a0 \cdot Mst \end{pmatrix} \\
 \text{for } i \in & 1..Nt \\
 Pd \leftarrow & \begin{pmatrix} KH & 0 & 0 \\ 0 & KR & 0 \\ 0 & 0 & 0 \end{pmatrix} \cdot \begin{pmatrix} uk_i \\ 0 \\ 0 \end{pmatrix} + \begin{pmatrix} CH & 0 & 0 \\ 0 & CR & 0 \\ 0 & 0 & 0 \end{pmatrix} \cdot \begin{pmatrix} vk_i \\ 0 \\ 0 \end{pmatrix} - \frac{1}{dt^2} \cdot \begin{pmatrix} \frac{Mst}{100} & 0 & 0 \\ 0 & \frac{Mst}{100} & 0 \\ 0 & 0 & Mst \end{pmatrix} \cdot \begin{pmatrix} ub_{i-1} \\ \theta b_{i-1} \\ v_{i-1} \end{pmatrix} - \frac{1}{2 \cdot dt} \cdot \begin{pmatrix} a0 \cdot \frac{Mst}{100} + CH & 0 & 0 \\ 0 & a0 \cdot \frac{Mst}{100} + CR & 0 \\ 0 & 0 & a0 \cdot Mst \end{pmatrix} \cdot \begin{pmatrix} ub_{i-1} \\ \theta b_{i-1} \\ v_{i-1} \end{pmatrix} - \begin{pmatrix} Kst + KH & Kst \cdot h & -Kst \\ Kst \cdot h & KR + Kst \cdot h^2 & -Kst \cdot h \\ -Kst & -Kst \cdot h & Kst \end{pmatrix} \cdot \begin{pmatrix} ub_i \\ \theta b_i \\ v_i \end{pmatrix} - \frac{2}{dt^2} \cdot \begin{pmatrix} \frac{Mst}{100} & 0 & 0 \\ 0 & \frac{Mst}{100} & 0 \\ 0 & 0 & Mst \end{pmatrix} \cdot \begin{pmatrix} ub_i \\ \theta b_i \\ v_i \end{pmatrix} \\
 \text{utot} \leftarrow & Kd^{-1} \cdot Pd \\
 & \begin{cases} ub_{i+1} \leftarrow \text{utot}_0 \\ \theta b_{i+1} \leftarrow \text{utot}_1 \\ v_{i+1} \leftarrow \text{utot}_2 \end{cases} \\
 & \begin{pmatrix} ub \\ \theta b \\ v \end{pmatrix}
 \end{aligned}$$

4.1.4 Διατύπωση και επίλυση της εξίσωσης κίνησης του συστήματος εδάφους-θεμελίωσης-ανελαστικού ταλαντωτή.

Η ανελαστική συμπεριφορά του ταλαντωτή θα εκφραστεί και εδώ μέσω του προσωμοιώματος Bouc-Wen(1980).

Η εξίσωση κίνησης του συστήματος παίρνει την μορφή:

$$[M]\{\ddot{u}\} + [C]\{\dot{u}\} + \{fs\} = -[M]\{\ddot{u}_{gr}\}$$

Όπου:

$$\{fs\} = \lambda[K]\{u\} + (1 - \lambda)[K]\{z\}$$

με $[K]$ το ελαστικό μητρώο δυσκαμψίας του συστήματος και z η υστερητική μετακίνηση που προκύπτει από την επίλυση της διαφορικής εξίσωσης:

$$\{\dot{z}\} = [A - h1 * h2]\{\dot{u}\}$$

$$h1 = \left| \frac{Qh}{F_y} \right|^n \text{ και } h2 = \beta + \gamma \operatorname{sgn}(Qh \cdot \dot{u})$$

με $A=1$, $\beta=\gamma=0.5$ και Qh η τέμνουσα δύναμη βάσης κάθε χρονική στιγμή.

Για την επίλυση της θα χρησιμοποιηθεί και εδώ η μέθοδος κεντρικών διαφορών με την παρακάτω τροποποίηση:

$$\{u_{i+1}\} = [Kd]^{-1} \cdot [Pd]$$

$$[Kd] = \frac{[M]}{dt^2} + \frac{[C]}{2dt}$$

$$[Pd] = [p_i] - \left(\frac{[M]}{dt^2} - \frac{[C]}{2dt} \right) \{u_{i-1}\} + \left(\frac{2[M]}{dt^2} \right) - \{fs_i\}$$

4.1.5 Μόρφωση του μακροστοιχείου για την συμπεριφορά του ανελαστικού ταλαντωτή επί ελαστικού εδάφους.

Το μακροστοιχείο αυτό δέχεται ως ορίσματα εισόδου την δύναμη διαρροής F_y του βάθρου, τον συντελεστή η του μοντέλου Bouc-Wen, την παράμετρο λ μέσω της οποίας ορίζεται η κράτνση της κατασκευής καθώς και την σεισμική διέγερση στην στάθμη της θεμελίωσης. Ως ορίσματα εξόδου εκτός από το $\{u\}$, παίρνουμε τα εντατικά μεγέθη Q, M καθώς και την δύναμη λόγω απόσβεσης της μάζας.

$$\begin{array}{l}
 \text{utot} := \\
 ub_1 \leftarrow 0 \\
 \theta b_1 \leftarrow 0 \\
 u_1 \leftarrow 0 \\
 ub_0 \leftarrow 0 \\
 \theta b_0 \leftarrow 0 \\
 u_0 \leftarrow 0 \\
 ustr_0 \leftarrow 0 \\
 ustr_1 \leftarrow 0 \\
 \mathbf{F}_0 \leftarrow \begin{pmatrix} 0 \\ 0 \\ 0 \end{pmatrix} \\
 Q_0 \leftarrow 0 \\
 M_0 \leftarrow 0 \\
 Q_1 \leftarrow 0 \\
 Q_0 \leftarrow 0 \\
 M_1 \leftarrow 0 \\
 Q_1 \leftarrow 0 \\
 Q_{h0} \leftarrow 0
 \end{array}$$

$$Kd \leftarrow \frac{1}{dt^2} \cdot \begin{pmatrix} \frac{Mst}{100} & 0 & 0 \\ 0 & \frac{Mst}{100} & 0 \\ 0 & 0 & Mst \end{pmatrix} + \frac{1}{2 \cdot dt} \cdot \begin{pmatrix} a_0 \cdot \frac{Mst}{100} + CH & 0 & 0 \\ 0 & a_0 \cdot \frac{Mst}{100} + CR & 0 \\ 0 & 0 & a_0 \cdot Mst \end{pmatrix}$$

for $i \in 1..Nt$

$$\begin{cases} Du_i \leftarrow ustr_i - ustr_{i-1} \\ a_i \leftarrow \left[1 - \frac{1}{2} \cdot \left(\left| \frac{Qh0_{i-1}}{Fy} \right| \right)^n \cdot (1 + \text{sign}(Qh0_{i-1} \cdot Du_i)) \right] \end{cases}$$

$$D\hat{s}_i \leftarrow (1 - \lambda) \cdot \begin{pmatrix} Kst \cdot a_i + KH & a_i \cdot Kst \cdot h & -a_i \cdot Kst \\ a_i \cdot Kst \cdot h & KR + a_i \cdot Kst \cdot h^2 & -a_i \cdot Kst \cdot h \\ -a_i \cdot Kst & -a_i \cdot Kst \cdot h & a_i \cdot Kst \end{pmatrix} \cdot \begin{pmatrix} ub_i - ub_{i-1} \\ \theta b_i - \theta b_{i-1} \\ u_i - u_{i-1} \end{pmatrix} + \lambda \cdot \begin{pmatrix} Kst + KH & Kst \cdot h & -Kst \\ Kst \cdot h & KR + Kst \cdot h^2 & -Kst \cdot h \\ -Kst & -Kst \cdot h & Kst \end{pmatrix} \cdot \begin{pmatrix} ub_i - ub_{i-1} \\ \theta b_i - \theta b_{i-1} \\ u_i - u_{i-1} \end{pmatrix}$$

$$\hat{s}_i \leftarrow \hat{s}_{i-1} + D\hat{s}_i$$

$$Pd \leftarrow \begin{pmatrix} KH & 0 & 0 \\ 0 & KR & 0 \\ 0 & 0 & 0 \end{pmatrix} \cdot \begin{pmatrix} uk_i \\ 0 \\ 0 \end{pmatrix} + \begin{pmatrix} CH & 0 & 0 \\ 0 & CR & 0 \\ 0 & 0 & 0 \end{pmatrix} \cdot \begin{pmatrix} vk_i \\ 0 \\ 0 \end{pmatrix} - \frac{1}{dt^2} \cdot \begin{pmatrix} \frac{Mst}{100} & 0 & 0 \\ 0 & \frac{Mst}{100} & 0 \\ 0 & 0 & Mst \end{pmatrix} - \frac{1}{2 \cdot dt} \cdot \begin{pmatrix} a0 \cdot \frac{Mst}{100} + CH & 0 & 0 \\ 0 & a0 \cdot \frac{Mst}{100} + CR & 0 \\ 0 & 0 & a0 \cdot Mst \end{pmatrix} \cdot \begin{pmatrix} ub_{i-1} \\ \theta b_{i-1} \\ u_{i-1} \end{pmatrix} - \hat{s}_i + \frac{2}{dt^2} \cdot \begin{pmatrix} \frac{Mst}{100} & 0 & 0 \\ 0 & \frac{Mst}{100} & 0 \\ 0 & 0 & Mst \end{pmatrix} \cdot \begin{pmatrix} ub_i \\ \theta b_i \\ u_i \end{pmatrix}$$

$$utot \leftarrow Kd^{-1} \cdot Pd$$

$$ub_{i+1} \leftarrow 1 \cdot utot_0$$

$$\theta b_{i+1} \leftarrow 1 \cdot utot_1$$

$$u_{i+1} \leftarrow utot_2$$

$$ustr_{i+1} \leftarrow u_{i+1} - 1 \cdot \theta b_{i+1} \cdot h - ub_{i+1}$$

$$Rd_i \leftarrow \frac{1}{2 \cdot dt} \cdot a0 \cdot Mst \cdot (u_{i+1} - u_{i-1})$$

$$\begin{pmatrix} Q0_i \\ M0_i \\ Qt_i \end{pmatrix} \leftarrow \begin{pmatrix} Q0_{i-1} \\ M0_{i-1} \\ Qt_{i-1} \end{pmatrix} - (1 - \lambda) \cdot \begin{pmatrix} Kst \cdot a_i & a_i \cdot Kst \cdot h & -a_i \cdot Kst \\ a_i \cdot Kst \cdot h & a_i \cdot Kst \cdot h^2 & -a_i \cdot Kst \cdot h \\ -a_i \cdot Kst & -a_i \cdot Kst \cdot h & a_i \cdot Kst \end{pmatrix} \cdot \begin{pmatrix} ub_i - ub_{i-1} \\ \theta b_i - \theta b_{i-1} \\ u_i - u_{i-1} \end{pmatrix} - \lambda \cdot \begin{pmatrix} Kst & Kst \cdot h & -Kst \\ Kst \cdot h & Kst \cdot h^2 & -Kst \cdot h \\ -Kst & -Kst \cdot h & Kst \end{pmatrix} \cdot \begin{pmatrix} ub_i - ub_{i-1} \\ \theta b_i - \theta b_{i-1} \\ u_i - u_{i-1} \end{pmatrix}$$

$$Qh0_i \leftarrow Q0_i + \lambda \cdot (Kst \cdot ub_i + Kst \cdot h \cdot \theta b_i - Kst \cdot u_i)$$

$$\begin{pmatrix} ub \\ \theta b \\ u \\ Q0 \\ M0 \\ Qt \\ Rd \end{pmatrix}$$

4.2 Αριθμητική διερεύνηση του φαινομένου της αλληλεπίδρασης ελαστικού εδάφους-θεμελίωσης-ελαστικής κατασκευής με χρήση του προγράμματος ΠΣ Plaxis 3D.

ΓΕΝΙΚΑ

Προκειμένου να μελετηθεί η σεισμική συμπεριφορά του βάθρου της ανωδομής με συνυπολογισμό του φαινομένου της αλληλεπίδρασης, είναι απαραίτητο πρώτα να γίνει ανάλυση της απόκρισης του εδαφικού σχηματισμού στο οποίο θεμελιώνεται η κατασκευή. Καθώς το φαινόμενο εξαρτάται έντονα από τις γεωτεχνικές ιδιότητες του εδάφους θεμελίωσης. Η εκτίμηση της σεισμικής απόκρισης του εδαφικού στρώματος θα γίνει μέσω αριθμητικών αναλύσεων οι οποίες θα πρέπει σε πρώτο στάδιο να επιβεβαιώνουν τις σχέσεις που υπάρχουν από την βιβλιογραφία για το μέγιστο πλάτος της εδαφικής στρώσης.

Με βαθμονομημένο τον ταλαντωτή, σε πακτωμένες συνθήκες από το κεφάλαιο 3, θα πρέπει να ελεγχθεί η αξιοπιστία των μακροστοιχείων που δημιουργήθηκαν προηγουμένως για την συνολική απόκριση του συστήματος.

Στο plaxis η προσομοίωση του εδαφικού υλικού γίνεται με ένα πλέγμα 10-κόμβων τριγωνικών πεπερασμένων στοιχείων ενώ υπάρχει η δυνατότητα της πύκνωσης ή της αραιώσης του. Επιπλέον είναι απαραίτητο κατά την δημιουργία του μοντέλου να δώσουμε πεπερασμένες διαστάσεις στο προσομοίωμα, το οποίο σημαίνει ότι η επιβολή της σεισμικής διέγερσης σχετίζεται άμεσα με τις συνοριακές συνθήκες που θα επιλέξουμε. Το κιβώτιο αυτό που δημιουργείται τεχνητά ενδεχομένως να παγιδεύει την ενέργεια του συστήματος αλλοιώνοντας τα δυναμικά χαρακτηριστικά του, επομένως είναι αναγκαίο τα τοποθετηθούν κατάλληλα απορροφητικά σύνορα σε όλες τις επιφάνειες του μοντέλου ώστε να προσομοιώνονται συνθήκες ελεύθερου πεδίου.

Λόγω της απόσβεσης στην μάζα και στην δυσκαμψία που χρησιμοποιεί το Plaxis για την δυναμική φόρτιση του εδάφους, η σεισμική διέγερση που τώρα υποβάλλεται στην βάση της εδαφικής στρώσης (σε αντίθεση με το μακροστοιχείο που εισάγεται στην στάθμη της θεμελίωσης FIM), έχει ως αποτέλεσμα την αλλοίωση της διέγερσης στην επιφάνεια του εδάφους. Έτσι πρέπει να αναπτυχθεί μια μέθοδος κατά την οποία να υπολογίζουμε την διέγερση που θα δώσουμε στην βάση ώστε μέσω της εδαφικής ενίσχυσης που κάνει το Plaxis να πάρουμε τον υπό εξέταση σεισμό στην επιφάνεια (FFM).

Από την βιβλιογραφία γνωρίζουμε ότι η κινηματική αλληλεπίδραση αγνοείται στα επιφανειακά θεμέλια. Θα πρέπει μέσω του Plaxis να επιβεβαιωθεί αυτό ώστε να γίνει επί ίσοις όροις η σύγκριση με το μακροστοιχείο που αναπτύχθηκε.

Ακόμα θα γίνει η επιβεβαίωση των συντελεστών δυναμικής στιβαρότητας και απόσβεσης ακτινοβολίας που χρησιμοποιήθηκαν από την βιβλιογραφία.

4.2.1 Προσωμοίωμα της εδαφικής στρώσης επί βράχου

Το εδαφικό προφίλ προς προσομοίωση είναι το παρακάτω



Σχήμα 4.8 Υπό μελέτη εδαφικό προφίλ

•Χαρακτηριστικά εδαφικού προφίλ

Το προσομοίωμα αποτελείται από μία οριζόντια εδαφική στρώση η οποία εδράζεται σε βράχο με τα εξής χαρακτηριστικά:

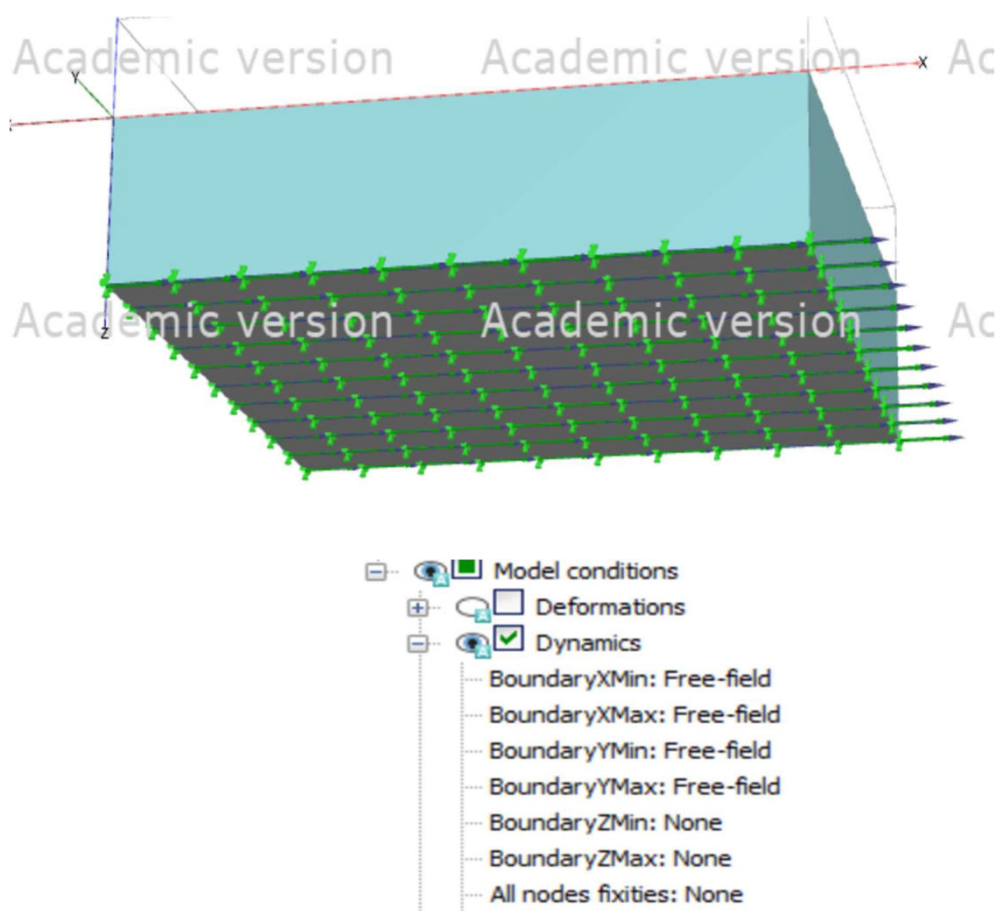
- $V_s=160\text{m/s}$
- $\gamma=19.62\text{KN/m}^3$
- $\nu=0.3$
- $H=20\text{m}$
- $\xi=5\%$

Identification	soil	
Material model	Linear elastic	
Drainage type	Drained	
Colour	RGB 161, 226, 232	
Comments		
General properties		
γ_{unsat}	kN/m^3	19.62
γ_{sat}	kN/m^3	19.62
Stiffness		
E'	kN/m^2	133.4E3
ν' (ν)		0.3000
Alternatives		
G	kN/m^2	51.30E3
E_{oad}	kN/m^2	179.6E3
Velocities		
V_s	m/s	160.2
V_p	m/s	299.6

- Συνοριακές συνθήκες

Στα πλευρικά όρια επιτρέπεται η οριζόντια μετακίνηση κατά τον άξονα x ενώ απαγορεύεται η μετακίνηση κατά y,z. Σε ότι αφορά το βραχώδες υπόβαθρο και με δεδομένο ότι οι αναλύσεις είναι δυναμικές ,η μετακίνηση κατά x είναι προδιαγεγραμμένη $u_x=1m$ ενώ δεσμεύονται οι μετακινήσεις κατά y,z και ενεργοποιείται η δυναμική μετακίνηση.

Επιπλέον χρησιμοποιήθηκαν τα απορροφητικά σύνορα τύπου free-field ώστε να προσομοιώνεται ικανοποιητικά η απειρομήκης επέκταση της εδαφικής στρώσης κατά την διεύθυνση x,y. Στην επιφάνεια και στην βάση της εδαφικής στρώσης δεν τοποθετούνται σύνορα.



- Χρονικό βήμα αναλύσεων Δt :

Η δυναμική ανάλυση πραγματοποιείται για συνολικό χρόνο $T_0=20s$ και το χρονικό βήμα ολοκλήρωσης είναι $\Delta t=0.01s$. Για την επίλυση του προβλήματος χρησιμοποιείται η μέθοδος Newmark με $a=0.25$ και $b=0.5$.

•Απόσβεση

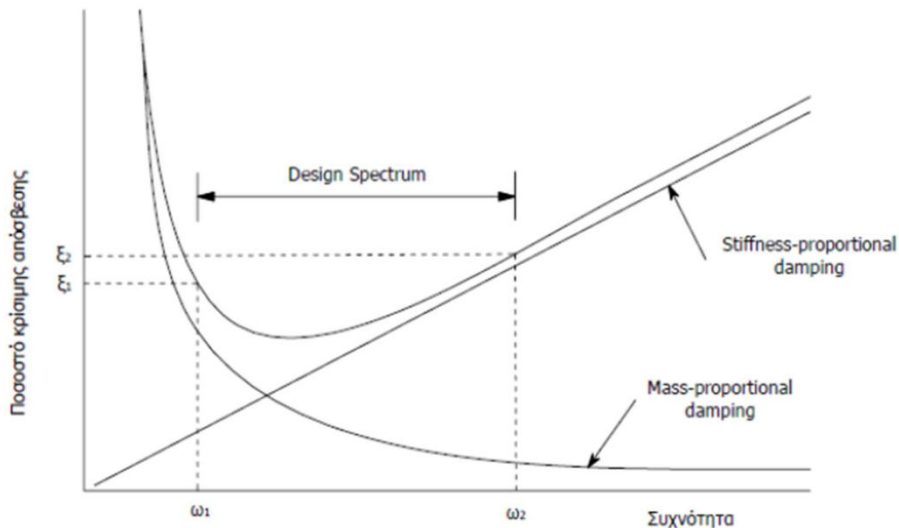
Το πλaxis για την εδαφική απόσβεση χρησιμοποιεί την απόσβεση κατά Rayleigh που ορίζεται απο την ακόλουθη σχέση:

$$C = a_0[M] + a_1[K]$$

Ένας γραμμικός συνδυασμός του μητρώου μάζας και δυσκαμψίας.Όπου:

$$\alpha_0 = \zeta \frac{2 \cdot \omega_1 \cdot \omega_2}{\omega_1 + \omega_2} \quad \alpha_1 = \zeta \frac{2}{\omega_1 + \omega_2}$$

Οι συντελεστές a_0 και a_1 προκύπτουν ανάλογα με το εύρος των συχνοτήτων ενδιαφέροντος.



Σχήμα 4.9 Συναρτήσεις αποσβέσεως μάζας και δυσκαμψίας κατά Rayleigh.

Η δεσπόζουσα ιδιοσυχνότητα του της εδαφικής στρώσης δίνεται απο την σχέση

$$f_s = \frac{V_s}{4H} = 2Hz$$

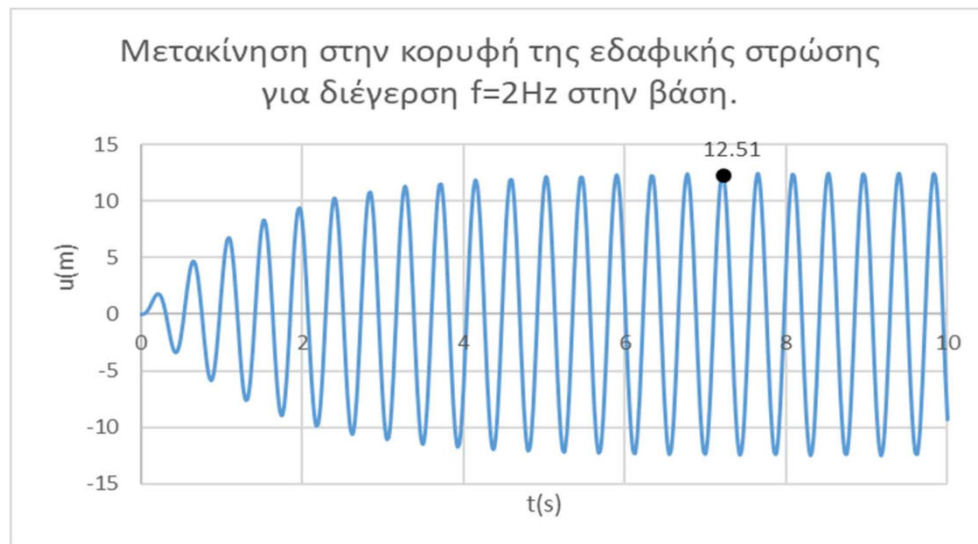
Επομένως αν διεγείρουμε με μια μονοχρωματική διέγερση την βάση του θεμελίου συχνότητας 2Hz αναμένουμε απο την αναλυτική λύση ενίσχυση της αρμονικής ταλάντωσης:

$$AR = \frac{2}{\pi \xi} = 12.7$$

Αρμονική διέγερση:

Για διέγερση $u = \eta\mu(2\pi ft)$ με $f=2\text{Hz}$. Η χρονοιστορία στην κορυφή της στρώσης με το plaxis είναι η ακόλουθη. Για απόσβεση 5% για $f=2\text{Hz}$ οι συντελεστές rayleigh είναι:

$$\alpha_0 = 0.6283 \quad \alpha_1 = 0.003979$$



Σχήμα 4.10 Συντονισμός εδαφικού προφίλ $f=f_s=2\text{Hz}$

Θα γίνει επιπλέον και μια διέγερση με έναν περίπου μονοχρωματικό παλμό Ricker δεσπόζουσα συχνότητας 2 Hz. Ο παλμός αυτός δίνεται από την ακόλουθη εξίσωση:

$$A(t) = [-6b + 24b^2(t - t_1)^2 - 8b^3(t - t_1)^4]e^{-b(t-t_1)^2}$$

Όπου $A(t)$ η σεισμική επιτάχυνση κάθε χρονική στιγμή, t_1 η παράμετρος που καθορίζει την στιγμή που παρουσιάζεται η μέγιστη τιμή ($t_1=1\text{s}$), και $b=(\pi f)^2$ με $f=2\text{Hz}$ η δεσπόζουσα συχνότητα. Στο παρακάτω γράφημα φαίνονται οι χρονοϊστορίες επιτάχυνσης της διέγερσης και της απόκρισης στην κορυφή του στρώματος.

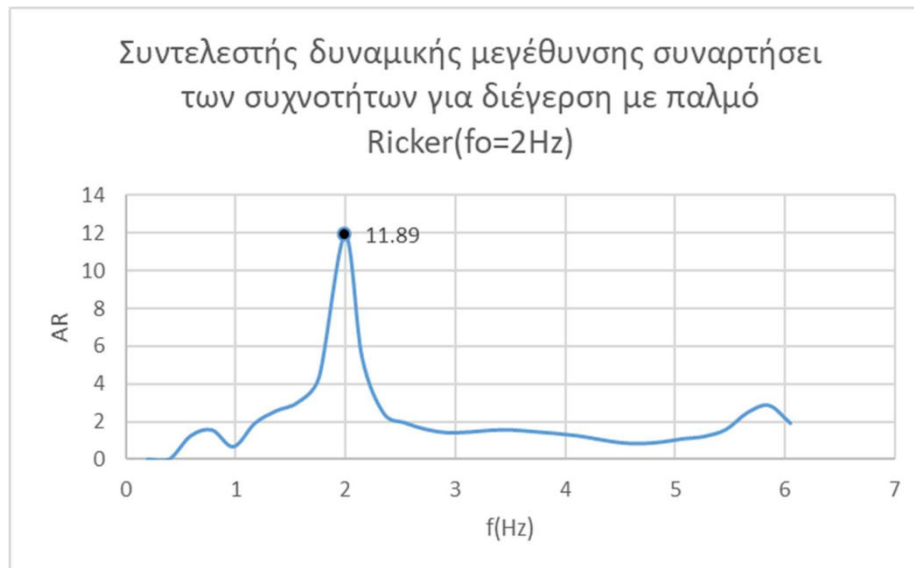


Σχήμα 4.11 Χρονοϊστορίες επιταχύνσεων συντονισμού για διέγερση με παλμό Richer $f=2\text{Hz}$

Ο συντελεστής ενίσχυσης τώρα δίνεται απο την σχέση

$$AR = \frac{\text{Fourier Amplitude κορυφή}}{\text{Fourier Amplitude διέγερσης}}$$

Τα φάσματα fourier υπολογίστηκαν με το seismosignal.



Σχήμα 4.12 Συντελεστής ενίσχυσης συντονισμού για τον Παλμό Ricker $f=2\text{Hz}$

Παρατηρείται συντονισμός της εδαφικής στρώσης για $f=1.98\text{Hz}$ με $AR=11.89$. Ένας συντελεστής πολύ κοντά στην αναλυτική λύση 12.7.

4.2.2 Συνάρτηση μεταφοράς σεισμικής διέγερσης μονοστρωματικής εδαφικής στρώσης επί βραχώδους υποβάθρου.

Στα πλαίσια της παρούσας εργασίας το ενδιαφέρον εντοπίζεται στον μηχανισμό που προκαλεί την διαφοροποίηση της σεισμική διέγερσης όταν αυτή διαδίδεται απο τον βράχο προς την επιφάνεια εδάφους για την υπο μελέτη εδαφική στρώση. Η κατακόρυφη διάδοση των κυμάτων διάτμησης σε ιξωδοελαστικό ομοιογενές στρώμα που βρίσκεται πάνω σε άκαμπτο βραχώδες υπόβαθρο μπορεί να περιγραφεί στο πεδίο των συχνοτήτων απο την συνάρτηση μεταφοράς. Η συνάρτηση αυτή δίνεται απο την σχέση:

$$AF(\omega) = \frac{1}{\cos\left(\omega \frac{H}{V_s \cdot \sqrt{1 + 2i\xi}}\right)} \quad (4.6)$$

H: το πάχος της εδαφικής στρώσης

ξ: το ποσοστό απόσβεσης του εδάφους (5%)

ω: Η συχνότητα διέγερσης

επιπλέον ισχύει :

$$fourier\ transform(\text{στο βράχο}) = \frac{fourier\ transform(\text{στην κορυφή})}{AF(\omega)}$$

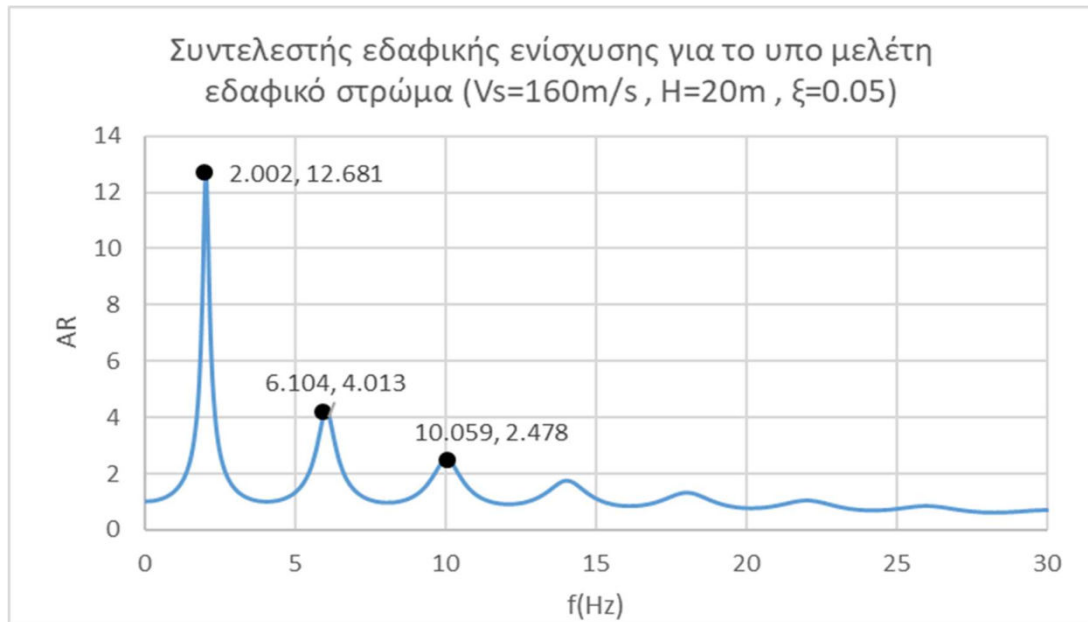
Χρησιμοποιώντας αντίστροφο μετασχηματισμό fourier για το παραπάνω αποτέλεσμα παίρνουμε την χρονιστορία εισαγωγής στο βραχώδες υπόβαθρο για να προκύψει μέσω της εδαφικής ενίσχυσης το υπό μελέτη σειсмоγράφημα στην κορυφή του εδάφους. (deconvolution)

Επιπλέον παίρνοντας το μέτρο της μιγαδικής συνάρτησης (4.6) προκύπτει η συνάρτηση του συντελεστή εδαφικής ενίσχυσης.

$$AR(\omega) = |AF(\omega)|$$

Τα τοπικά μέγιστα του συντελεστή αναμένονται για ιδιοσυχνότητες της εδαφικής στήλης που δίνονται απο την σχέση:

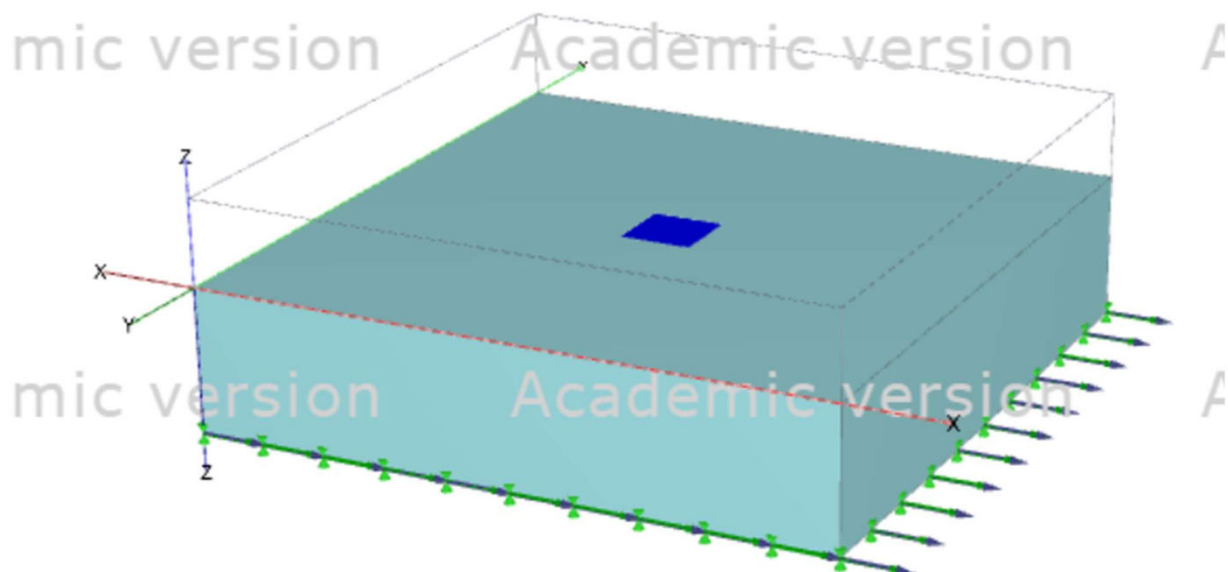
$$f_s = \frac{V_s}{4H} (2n - 1) , n = 1, 2, 3 \dots$$



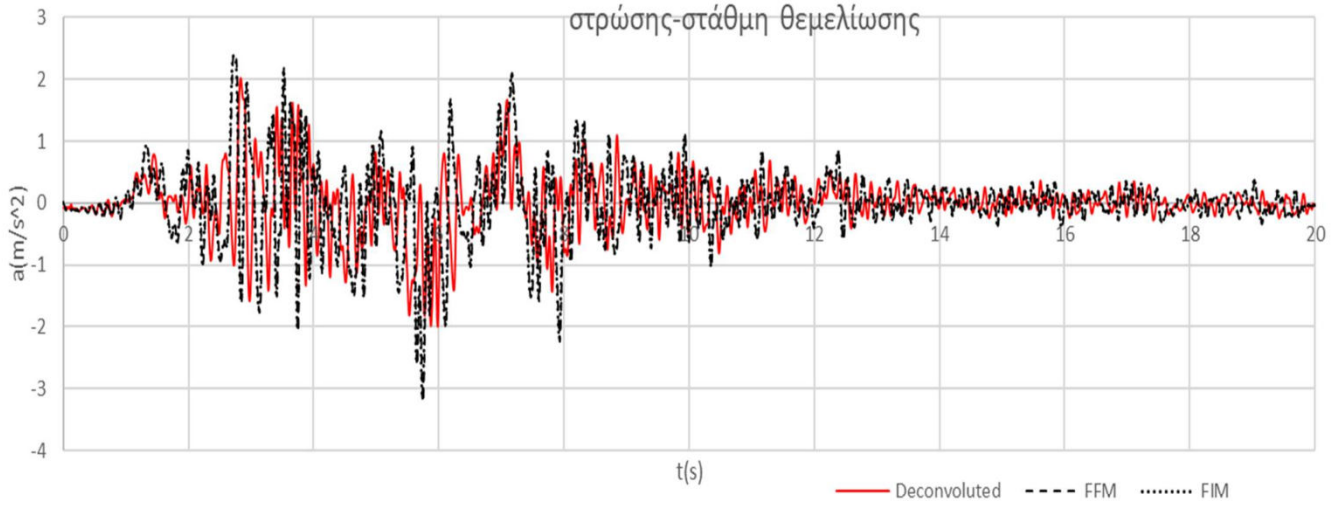
Σχήμα 4.13 Συντελεστής ενίσχυσης συναρτήσει των ιδιοπεριοδών του εδάφους

Απο το παραπάνω διαγράμμα φαίνεται ότι κρίσιμες είναι οι πρώτες 3 ιδιοπεριόδους του εδάφους. Οπότε μέσω του ρ -axis θα χρησιμοποιηθούν αυτές οι συχνότητες για να αποσβεστούν κατά Rayleigh με 5%, το οποίο αντιστοιχεί σε συντελεστές $\alpha=1.047$ και $\beta=0.001326$.

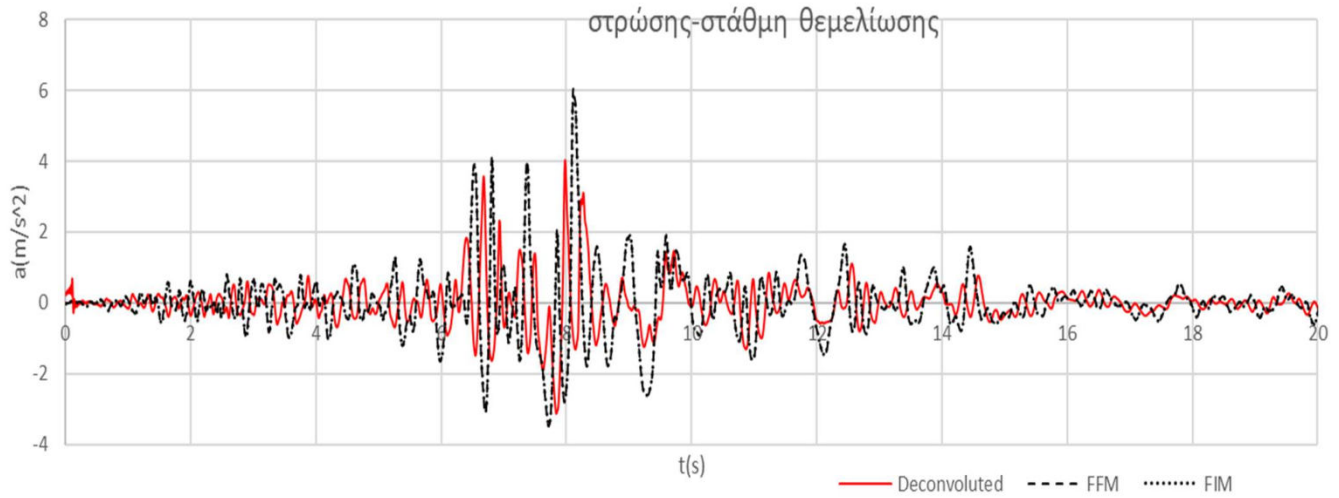
Ακολουθεί η επιβεβαίωση της παραπάνω διαδικασίας για τα γραφήματα των σεισμών που έχουν επιλεγεί. Επιπλέον στην εδαφική στρώση θα προστεθεί το άκαμπτο και αβαρές τετραγωνικό θεμέλιο διαστάσεων $10 \times 10 \text{m}$ για να εξεταστεί κατά πόσο επηρεάζεται το σήμα της επιφάνειας (FIM), από το φαινόμενο της κινηματικής αλληλεπίδρασης, σε σύγκριση με το FFM.



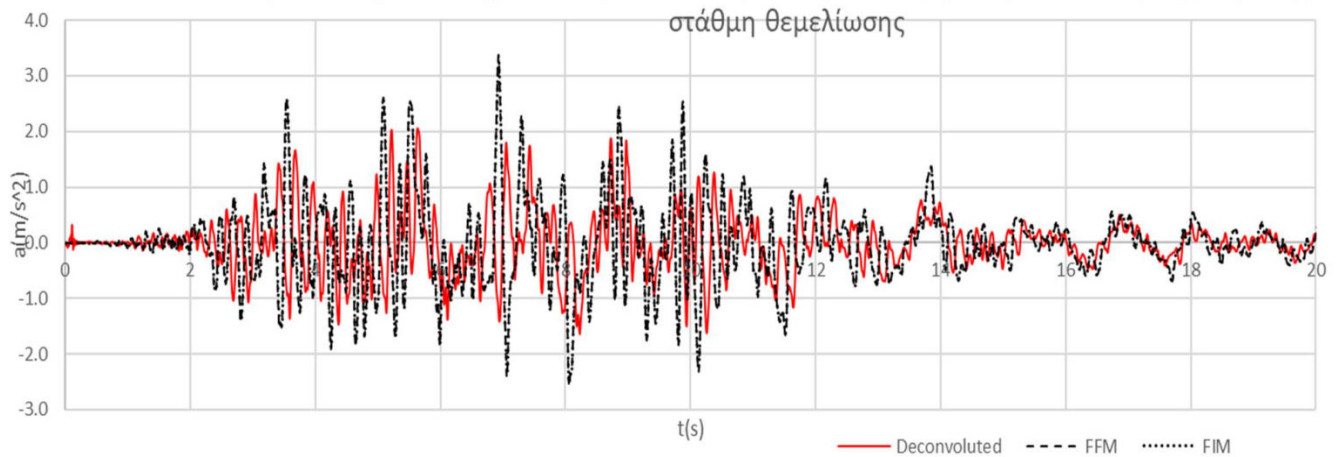
Χρονοιστορία επιταχύνσεων για Sakarya στην βάση-ελεύθερη επιφάνεια εδαφικής στρώσης-στάθμη θεμελίωσης



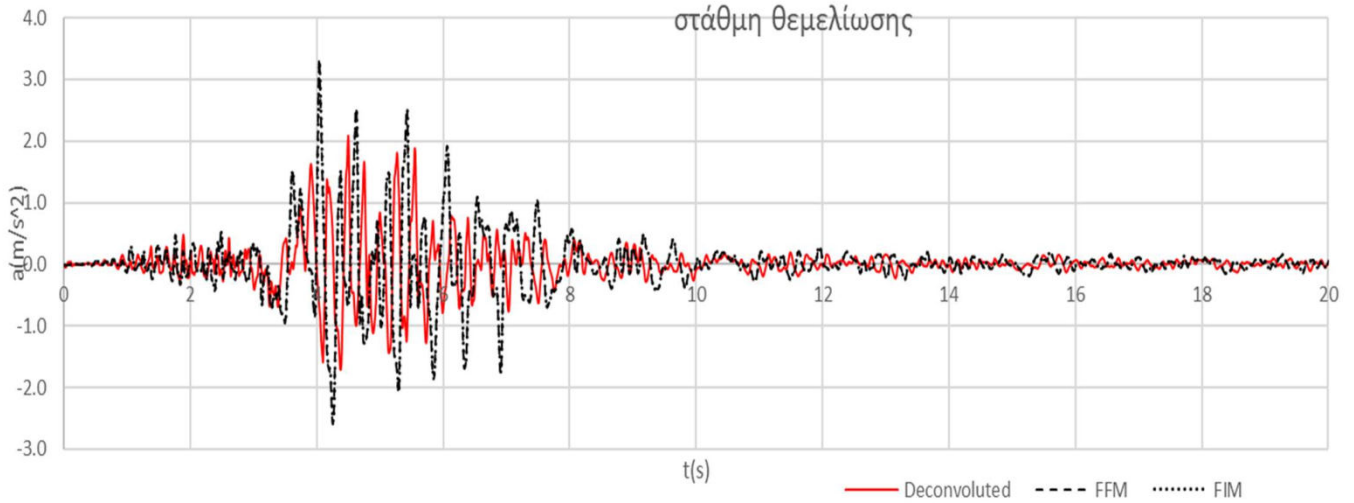
Χρονοιστορία επιταχύνσεων για Northridge στην βάση-ελεύθερη επιφάνεια εδαφικής στρώσης-στάθμη θεμελίωσης



Χρονοιστορία επιταχύνσεων για Kobe στην βάση-ελεύθερη επιφάνεια εδαφικής στρώσης-στάθμη θεμελίωσης



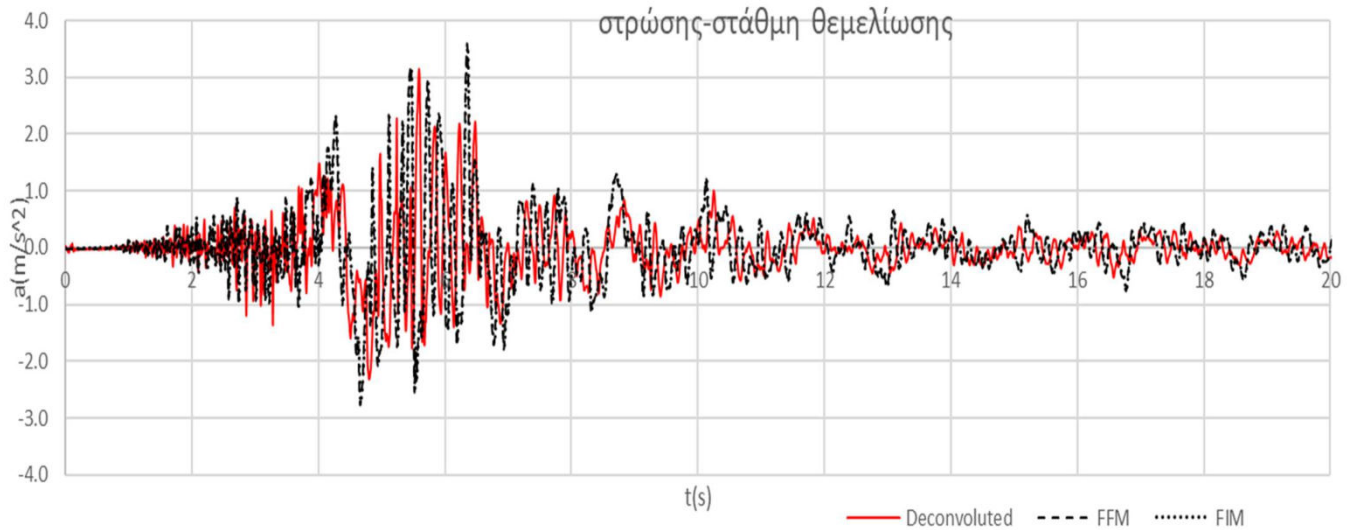
Χρονοιστορία επιταχύνσεων για Friuli στην βάση-ελεύθερη επιφάνεια εδαφικής στρώσης-στάθμη θεμελίωσης



Χρονοιστορία επιταχύνσεων για Holister στην βάση-ελεύθερη επιφάνεια εδαφικής στρώσης-στάθμη θεμελίωσης



Χρονοιστορία επιταχύνσεων για Loma Prieta στην βάση-ελεύθερη επιφάνεια εδαφικής στρώσης-στάθμη θεμελίωσης



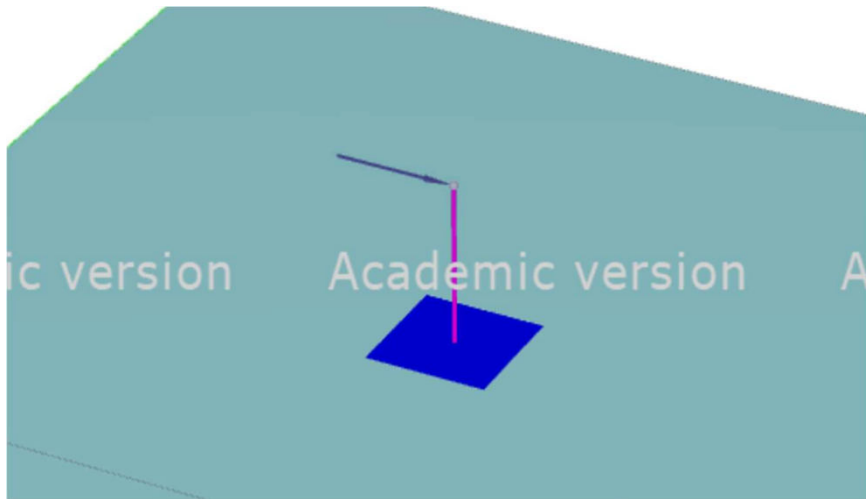


Σχήμα 4.14 Χρονοϊστορίες επιταχύνσεων για διάφορες σεισμικές διεγέρσεις στην βάση του στρώματος, στο ελεύθερο πεδίο και στην στάθμη του θεμελίου

Παρατηρούμε ότι η κινηματική αλληλεπίδραση έχει γενικώς μικρή επιρροή καθώς το σφάλμα ανάμεσα στο FFM-FIM είναι πολύ μικρό(4%)!. Ενώ ανάμεσα στα επιταχυνσιογραφήματα των σεισμών που επιλέξαμε και στο FFM υπάρχει ένα σφάλμα της τάξης του 5%. Επομένως η μεθοδολογία της αποσυνέλιξης του σήματος λειτουργεί επαρκώς.

4.2.3 Διερεύνηση της ορθότητας των δυναμικών συντελεστών της δυσκαμψίας και της απόσβεσης ακτινοβολίας.

Σειρά έχει η επιβεβαίωση των δυναμικών συντελεστών που χρησιμοποιήθηκαν κατά την κατασκευή των μακροστοιχείων. Για να γίνει αυτό θα χρησιμοποιήσουμε τον ελαστικό μονοβάθμιο ταλαντωτή $M_{st}=1000tn$, εδραζόμενο στο άκαμπτο τετραγωνικό θεμέλιο, και σε αυτό το σύστημα θα επιβάλλουμε μια εσωτερική αρμονική διέγερση στην στάθμη της μάζας. Επιπλέον θα χρησιμοποιήσουμε απορροφητικά σύνορα viscous boundaries. Τα σύνορα αυτά αποτελούνται από ιξωδοελαστικούς αποσβεστήρες που τοποθετούνται και στις τρεις διευθύνσεις (x,y,z) για την σωστή απορρόφηση της ενέργειας των κυμάτων που δημιουργούνται από διεγέρσεις εντός των προσομοιώματων.



• Τα χαρακτηριστικά του βάρους και της μάζας παραμένουν ως έχουν:

$h=12m$, $M_{st}=1000tn$, $d=3m$, $T_{st}=0.437s$, $E=30GPa$

• Η απόσβεση Rayleigh στο έδαφος τίθεται μηδενική

• $V_s=160m/s$, $H=20m$,

• Συχνότητα αποκοπής οριζόντιας απόσβεσης $Ch: 0.75f_s=1.5Hz$

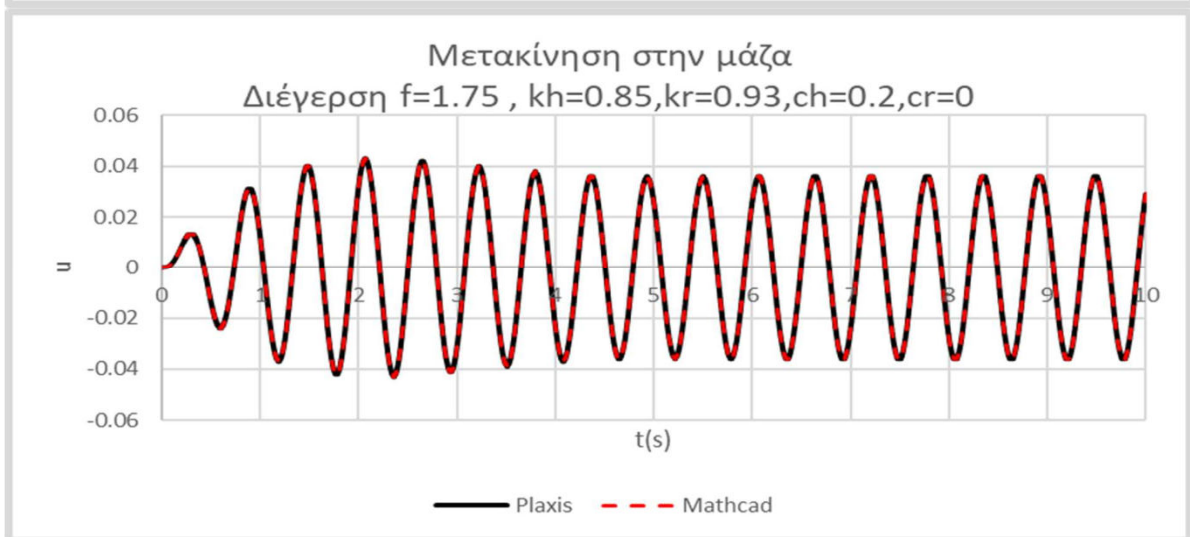
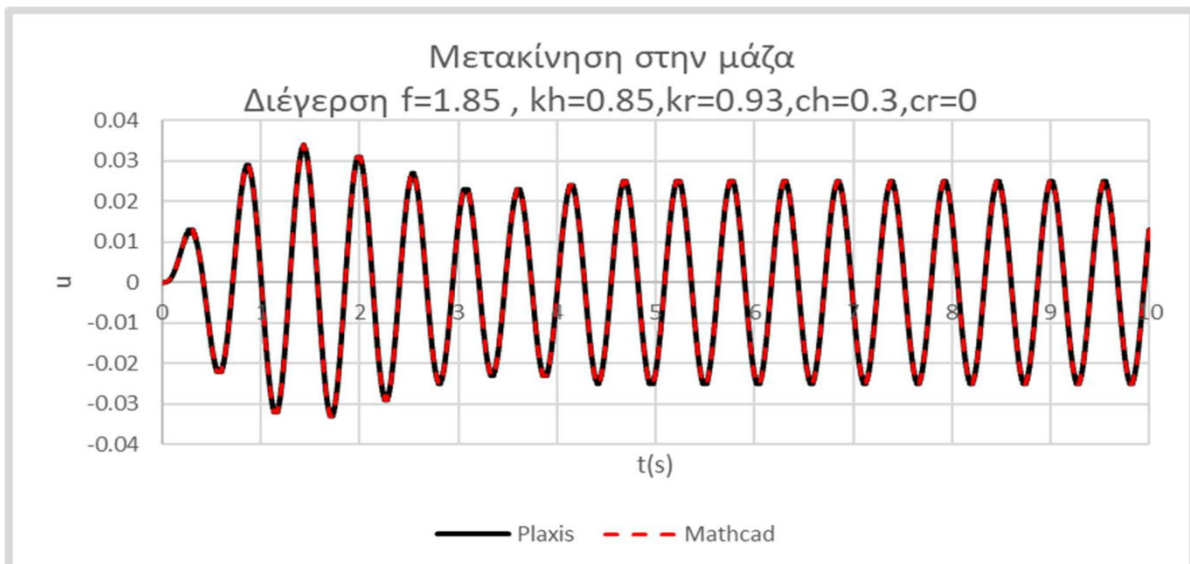
• Συχνότητα αποκοπής λικνιστικής απόσβεσης $Cr: f_c=3.1Hz$

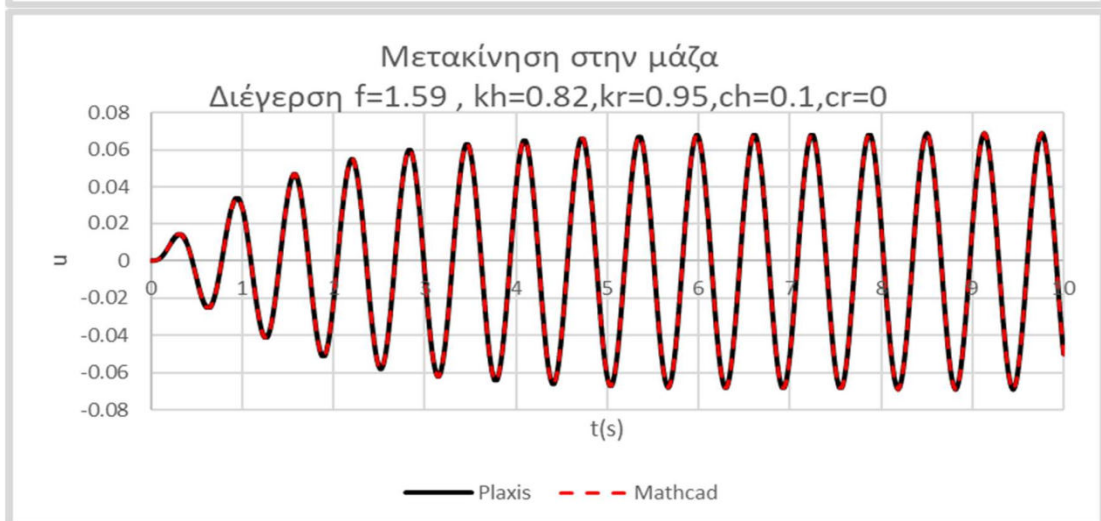
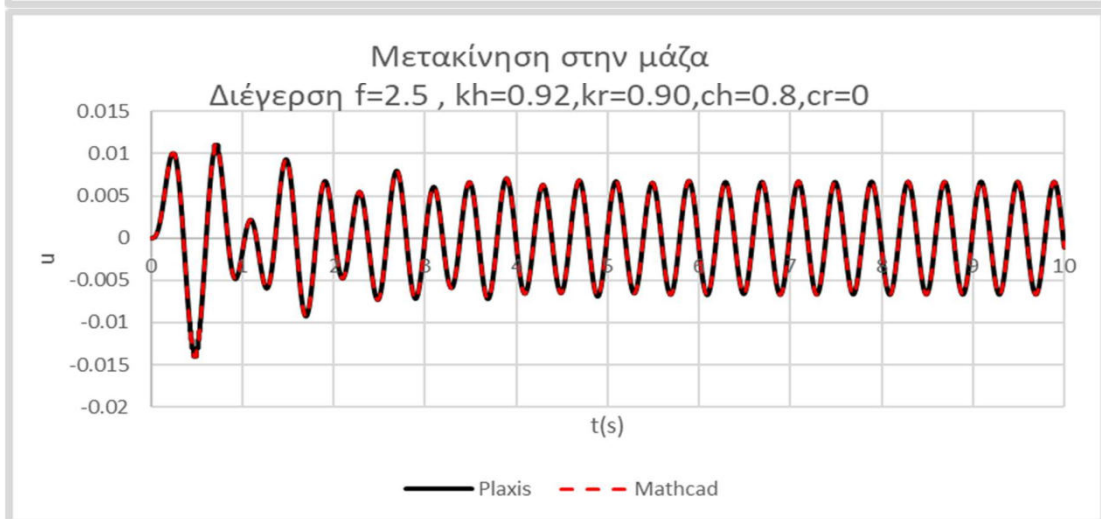
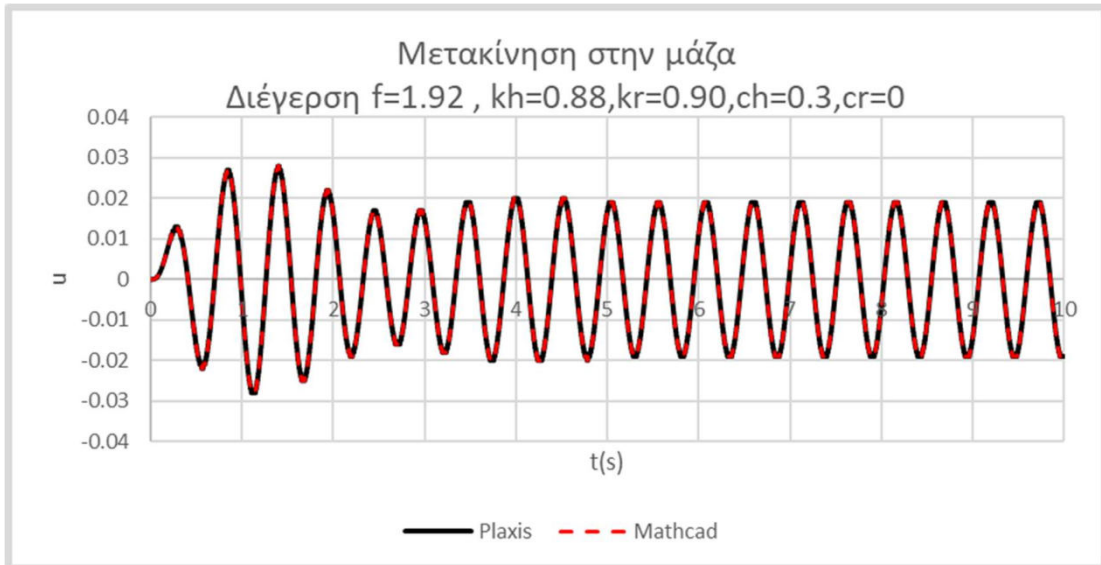
• Εσωτερική αρμονική διέγερση $F=1000\eta\mu(\omega t)$

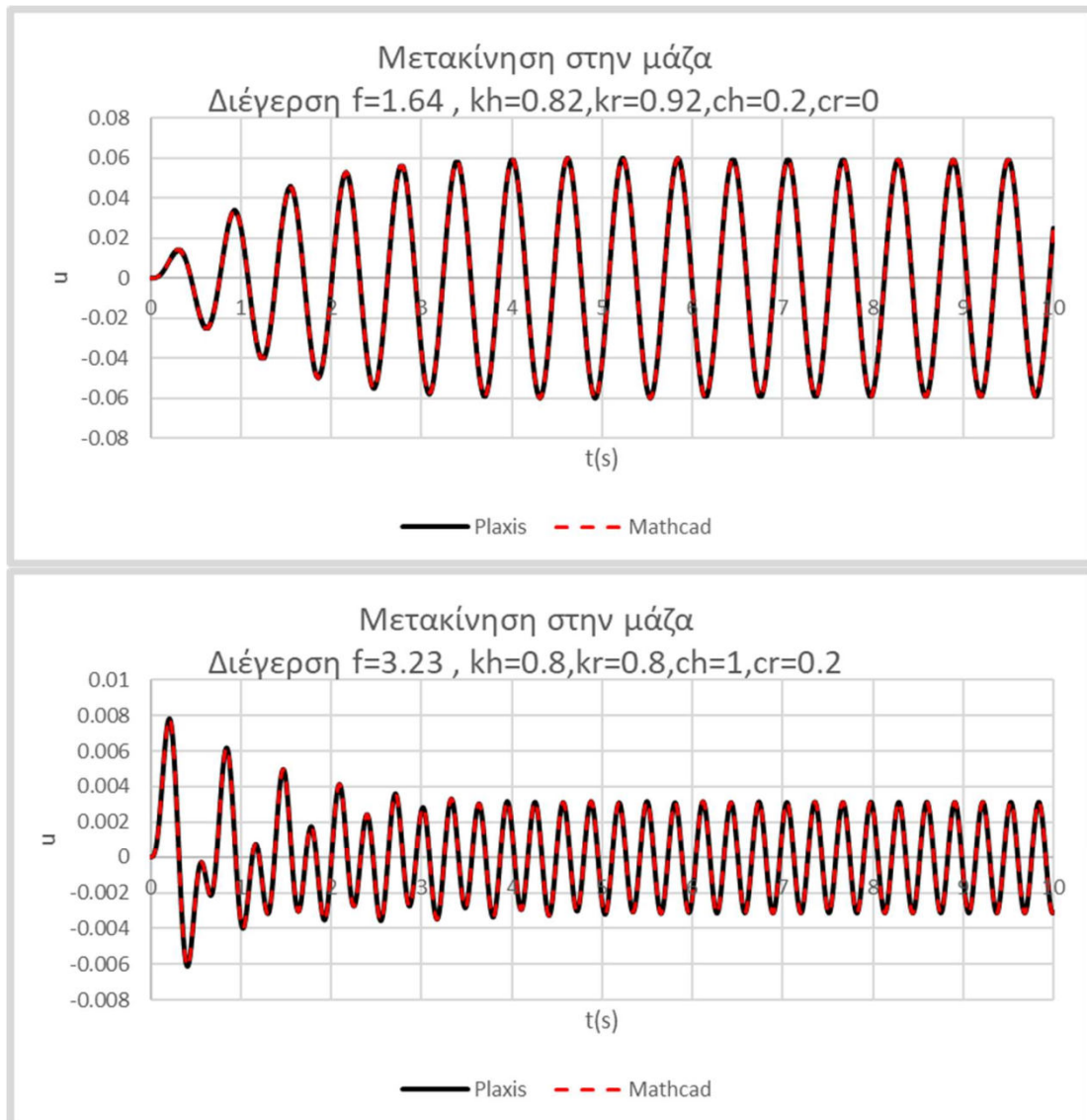
Απαραίτητο είναι να τροποποιήσουμε το μακροστοιχείο του κεφαλαίο 4.1.3 για να γίνει η εισαγωγή της αρμονικής δύναμης στην μάζα:

$$[p_i] = \begin{pmatrix} 0 \\ 0 \\ 1000\eta\mu(\omega t) \end{pmatrix}$$

Η μετακίνηση στην κορυφή της μάζας που προκύπτει από το plaxis θα πρέπει να είναι ίδια με αυτή του mathcad τροποποιώντας ενδεχομένως τους συντελεστές απο την βιβλιογραφία. Θα χρησιμοποιηθούν συχνότητες που αντιστοιχούν στις μέσες συχνότητες των υπό μελέτη σεισμών που παρουσιάστηκαν.







Σχήμα 4.15 Μετακίνηση την μάζα του ταλαντωτή για εσωτερική επιβαλλόμενη αρμονική διέγερση με χρήση των συντελεστών δυσκαμψίας και απόσβεσης.

Στον παρακάτω πίνακα φαίνονται και οι τροποποιημένες τιμές των δυναμικών δεικτών όπως αυτοί προέκυψαν από το Plaxis. Παρατηρείται ότι είναι αρκετά κοντά με αυτές της βιβλιογραφίας.

			b=5m	Vs=160m/s	Gs=51300KPa	ρs=2tn/m ³	fs=2Hz	fc=3.1Hz	
διέγερση	f(Hz)	Tmean(s)	α0(ωb/Vs)	kh	kr	ch	cr	0.75fs	4/3fs
F=1000ημ(ωt)	1.85	0.54	0.364	0.85	0.930	0.3	0	1.5	2.67
	1.75	0.57	0.344	0.85	0.930	0.2	0	1.5	2.67
	1.92	0.52	0.378	0.88	0.900	0.3	0	1.5	2.67
	2.50	0.4	0.491	0.92	0.900	0.8	0	1.5	2.67
	1.59	0.63	0.312	0.82	0.950	0.1	0	1.5	2.67
	1.64	0.61	0.322	0.82	0.920	0.2	0	1.5	2.67
	3.23	0.31	0.633	0.8	0.800	1	0.2	1.5	2.67

Πίνακας 4.2

4.2.4 Επιβεβαίωση του μακροστοιχείου για την δυναμική συμπεριφορά του ελαστικού ταλαντωτή επί ελαστικού εδάφους.

Πριν γίνει η επιβεβαίωση, θα κατασκευαστεί και ένας ακόμα επιπλέον μονοβάθμιος ταλαντωτής χαρακτηριστικών:

- $M_{st}=1300\text{tn}$

- Κυκλικό βάρη διαμέτρου $d=3\text{m}$, $I = \frac{\pi}{64}d^4 = 3.977\text{m}^4$, ύψος $h=12\text{m}$, $K = \frac{3EI}{h^3} = 2.071 * 10^5\text{KN/m}$

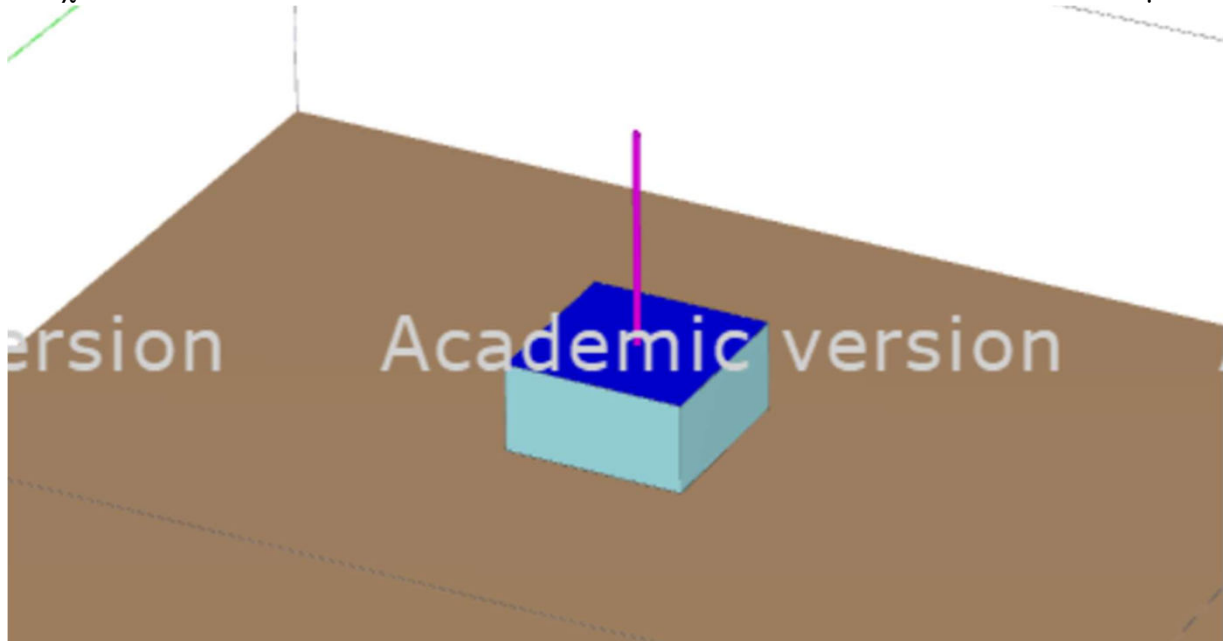
- $T_{st} = 2\pi \sqrt{\frac{M_{st}}{K}} = 0.5\text{s}$

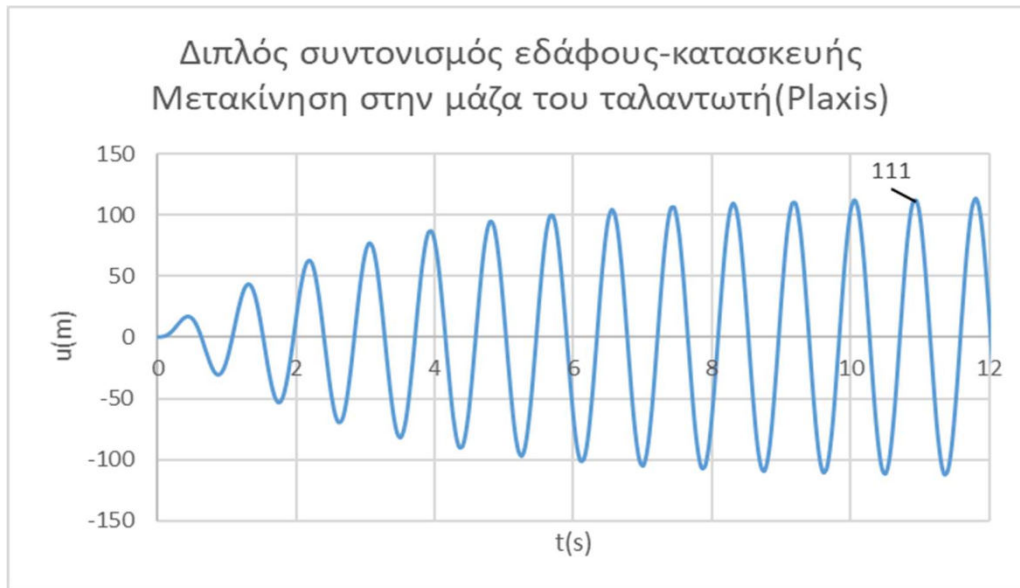
- Για την προσομοίωση του στο plaxis φτιάχνουμε ένα στοιχείο beam ύψους 0.1m κυκλικής διατομής και πυκνότητας:

$$\gamma = \frac{4mg}{\pi d^2 h} = 18041\text{KN/m}^3$$

- $a=2$ ξ $\omega_{st}=1.256$, $\beta=0$ (Απόσβεση λόγω μάζας)

Αρχικά θα διεγείρουμε με ένα αρμονικό κύμα συχνότητας 2Hz στο βραχώδες υπόβαθρο και αναμένουμε διπλό συντονισμό του συστήματος(συντονισμό του εδάφους και συντονισμό του ταλαντωτή). Δηλαδή για ένα μονοδιαίο πλάτος αρμονικού κύματος αναμένουμε $12.7 \times 10 = 127\text{m}$ στην κορυφή του ταλαντωτή. Απαραίτητη είναι η πύκνωση του κάναβου πεπερασμένων στοιχείων





Σχήμα 4.16 Συντονισμός εδάφους και κατασκευής ταυτόχρονα για επιβαλλόμενη αρμονική διέγερση 2Hz.

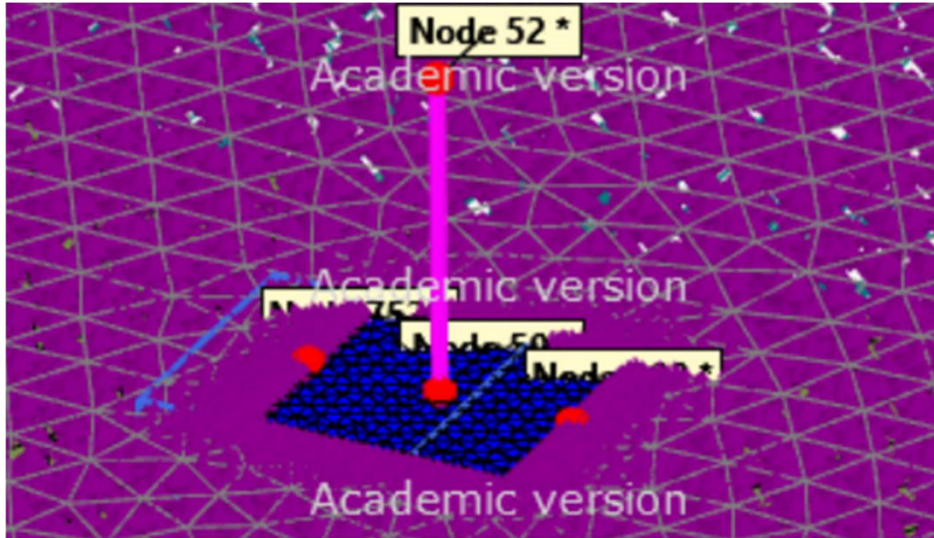
Αφού έχουν διερευνηθεί όλες οι αβεβαιότητες του μοντέλου, ακολουθεί η επαλήθευση του μακροστοιχείου.

Είναι σκοπιμότερο να χρησιμοποιήσουμε χρονοϊστορία μετακινήσεων για την επιβολή της διέγερσης για να αναιρεθεί το όποιο σφάλμα προκύψει από την διπλή ολοκλήρωση της επιτάχυνσης. Υπενθυμίζεται ότι η διέγερση προκύπτει από την διαδικασία της deconvolution ενώ αποσβένουμε τις πρώτες 3 ιδιοσυχνότητες του εδάφους με 5%.

Για να εξάγουμε τα αποτελέσματα από το plaxis πρέπει να επιλέξουμε κάποιους κόμβους ελέγχου. Θα επιλεγούν οι κόμβοι:

- Στην κορυφή του ταλαντωτή(top)
- Στο κέντρο του θεμελίου(base)
- Στις δύο άκρες του θεμελίου(edge)

Όπως φαίνονται στην παρακάτω εικόνα

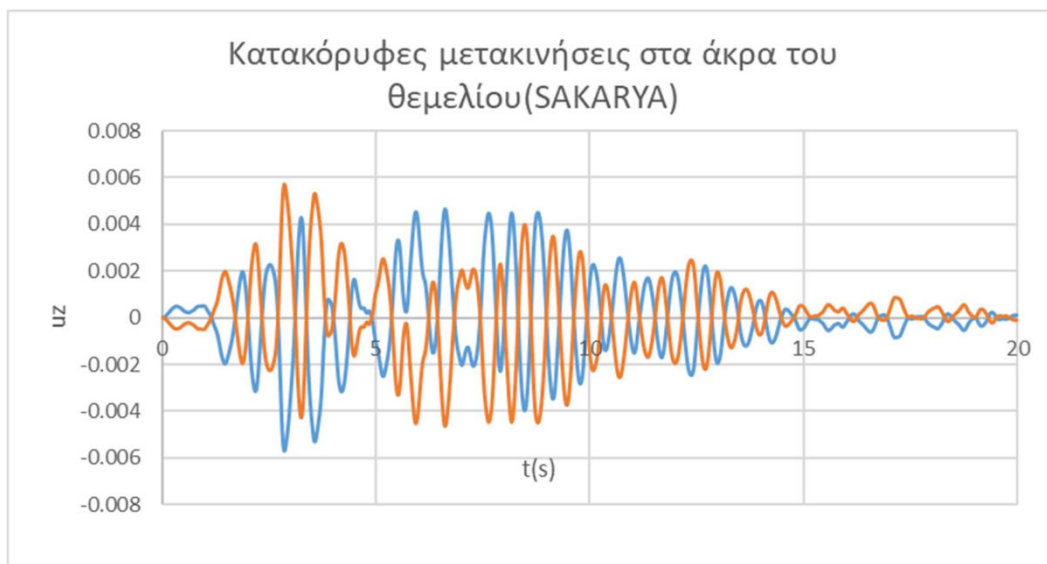


Από την θεωρία αναμένουμε μηδενική κατακόρυφη μετακίνηση στο κέντρο του θεμελίου, ίσες και αντίθετες κατακόρυφες μετακινήσεις στις άκρες του θεμελίου.(πόλος περιστροφής στο κέντρο του θεμελίου).

Για να υπολογίσουμε την στροφή του θεμελίου:

$$\theta = \frac{uz_{edge}}{b}$$

Όπου uz_{edge} : η κατακόρυφη μετακίνηση στην άκρη του θεμελίου



Σχήμα 4.17 Συμμετρικές μετακινήσεις στα άκρα του θεμελίου

Η σύγκριση των αποτελεσμάτων θα γίνει σε επίπεδο μετακίνησης ζημιάς του βάρους που δίνεται από την σχέση:

$$u_{str} = u_{top} - u_{base} - \theta_{base} h$$

Όπως αναφέρθηκε στην βιβλιογραφική ανασκόπηση οι παράμετροι επιρροής είναι:

•σχετική λυγηρότητα:

$$\hat{h} = \frac{h}{B} = 1.2$$

•σχετική δυσκαμψία εδάφους-κατασκευής:

$$\hat{\sigma} = \frac{h}{V_s T_{st}}$$

•λόγος μαζών κατασκευής-εδάφους θεμελίωσης:

$$\hat{m} = \frac{M_{st}}{\rho_s B^2 h}$$

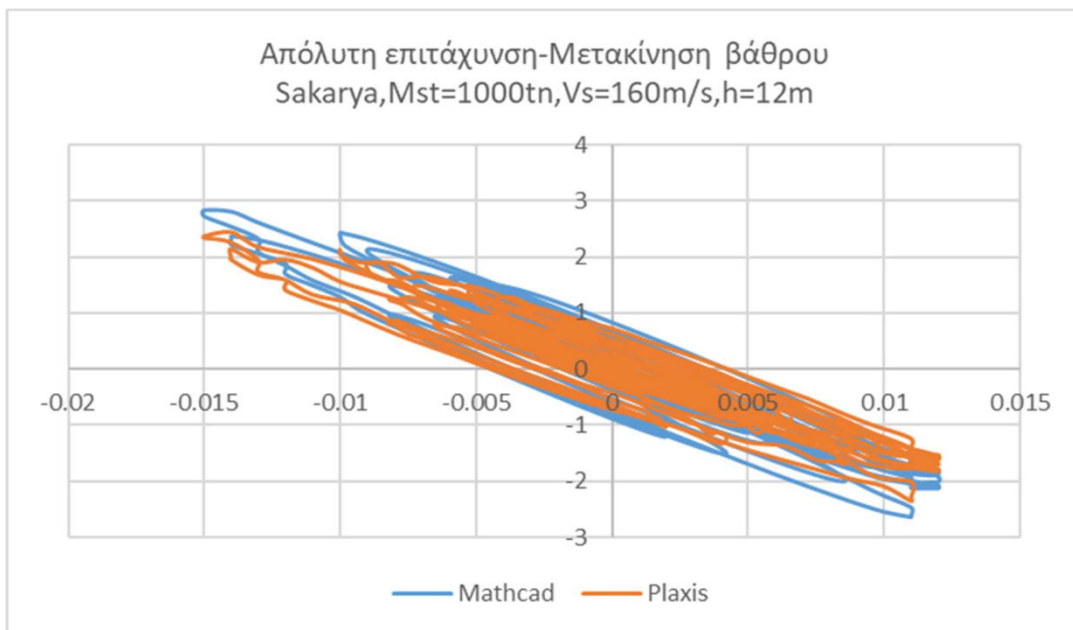
Θα χρησιμοποιηθεί και ένα επιπλέον στρώμα εδάφους $V_s=320\text{m/s}$ για την επαλήθευση των αποτελεσμάτων.Επομένως για τους δύο ταλαντωτές $M_{st}=1000, 1300\text{tn}$ οι παράμετροι παίρνουν τις τιμές:

$$M_{st} = 1000\text{tn}, V_s = \frac{160\text{m}}{\text{s}}, \hat{h} = 1.2, \hat{\sigma} = 0.17, \hat{m} = 0.42$$

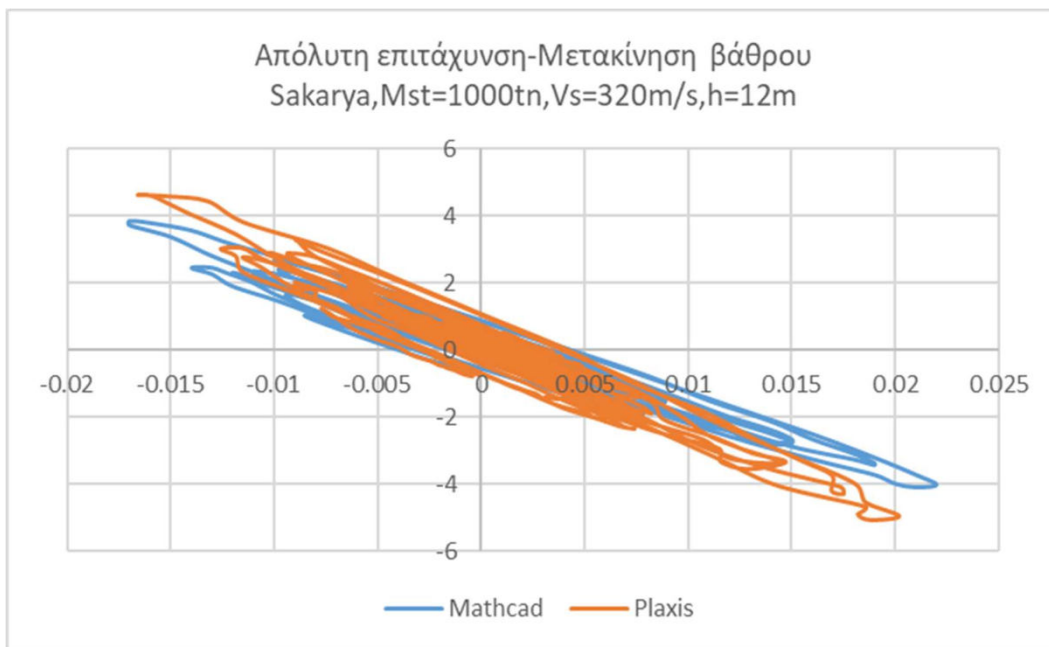
$$M_{st} = 1000\text{tn}, V_s = \frac{320\text{m}}{\text{s}}, \hat{h} = 1.2, \hat{\sigma} = 0.086, \hat{m} = 0.42$$

$$M_{st} = 1300\text{tn}, V_s = \frac{160\text{m}}{\text{s}}, \hat{h} = 1.2, \hat{\sigma} = 0.15, \hat{m} = 0.54$$

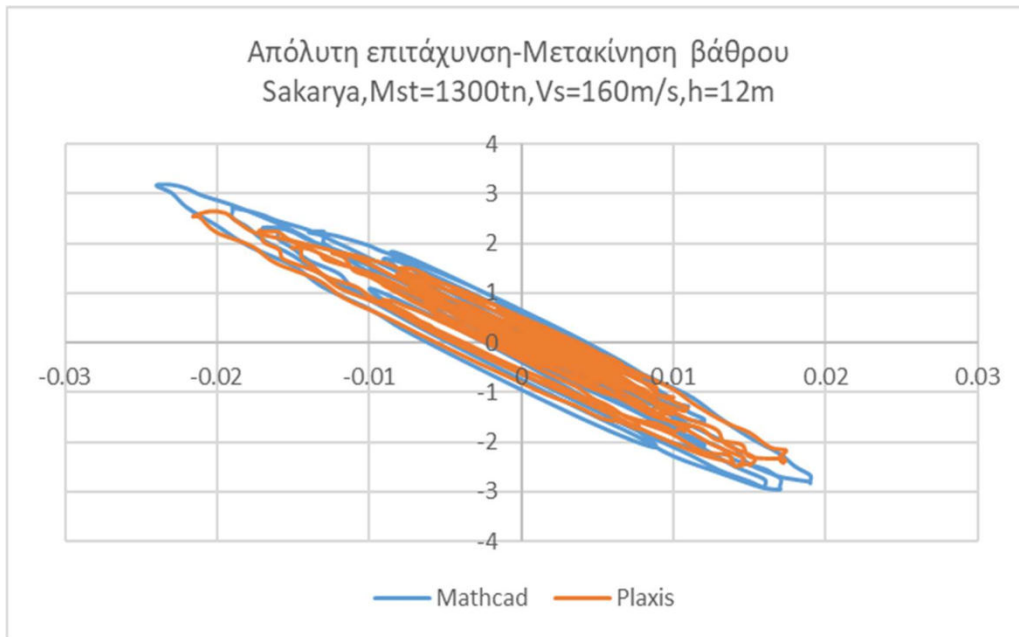
$$M_{st} = 1300\text{tn}, V_s = \frac{320\text{m}}{\text{s}}, \hat{h} = 1.2, \hat{\sigma} = 0.075, \hat{m} = 0.54$$



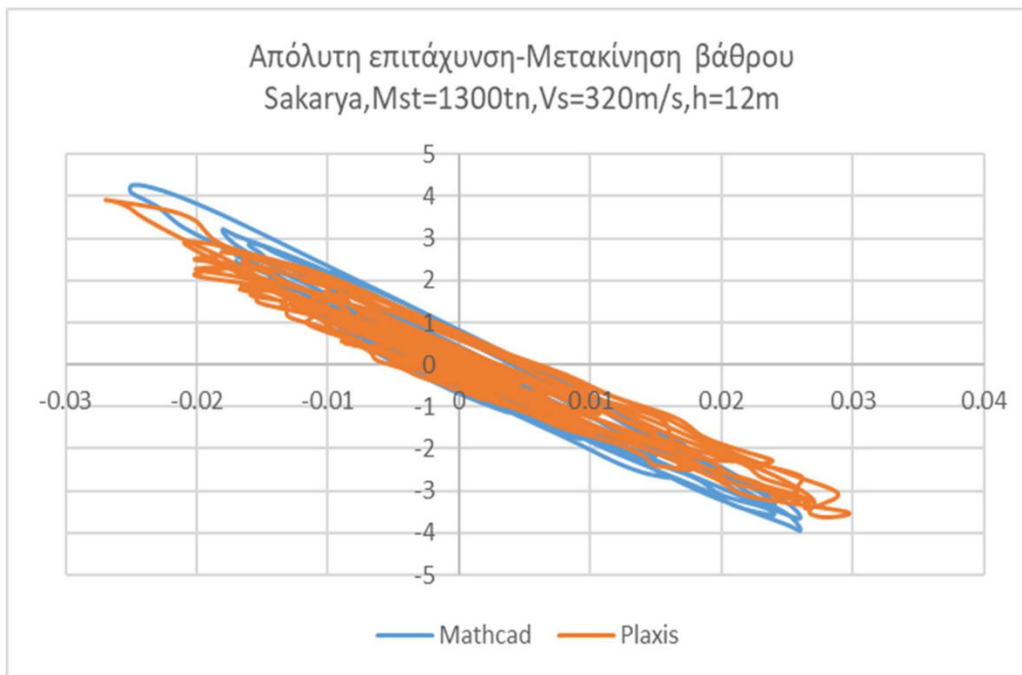
Σχήμα 4.18 Βρόγχος απόλυτης επιτάχυνσης-μετακίνησης βάρου για την Sakarya- $\hat{h} = 1.2$, $\hat{\sigma} = 0.17$, $\hat{m} = 0.42$



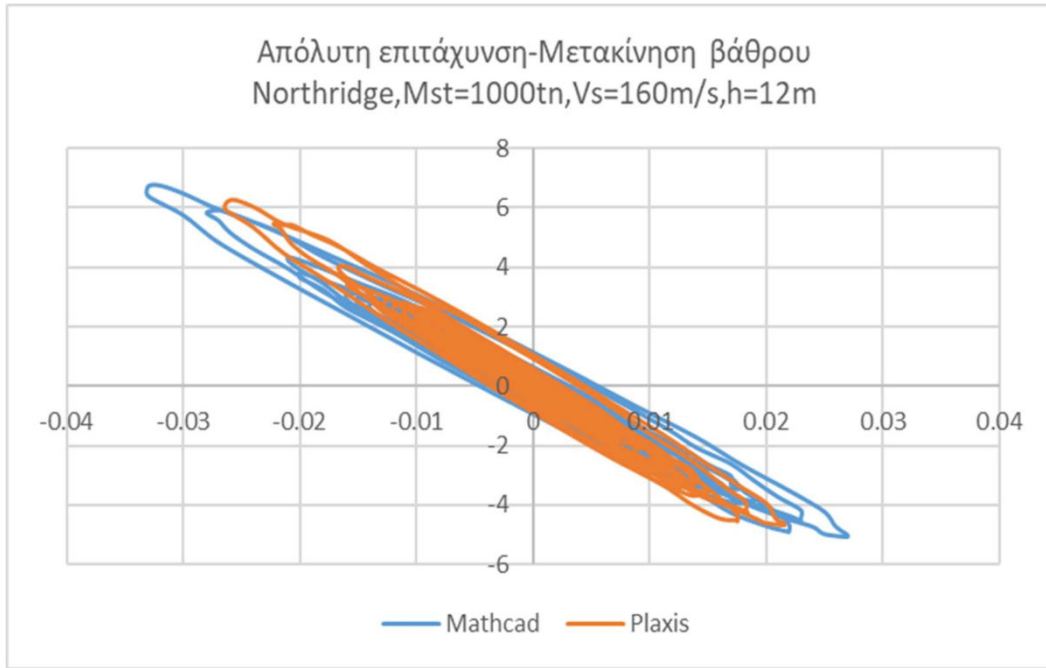
Σχήμα 4.19 Βρόγχος απόλυτης επιτάχυνσης-μετακίνησης βάρου για την Sakarya-, $\hat{h} = 1.2$, $\hat{\sigma} = 0.086$, $\hat{m} = 0.42$



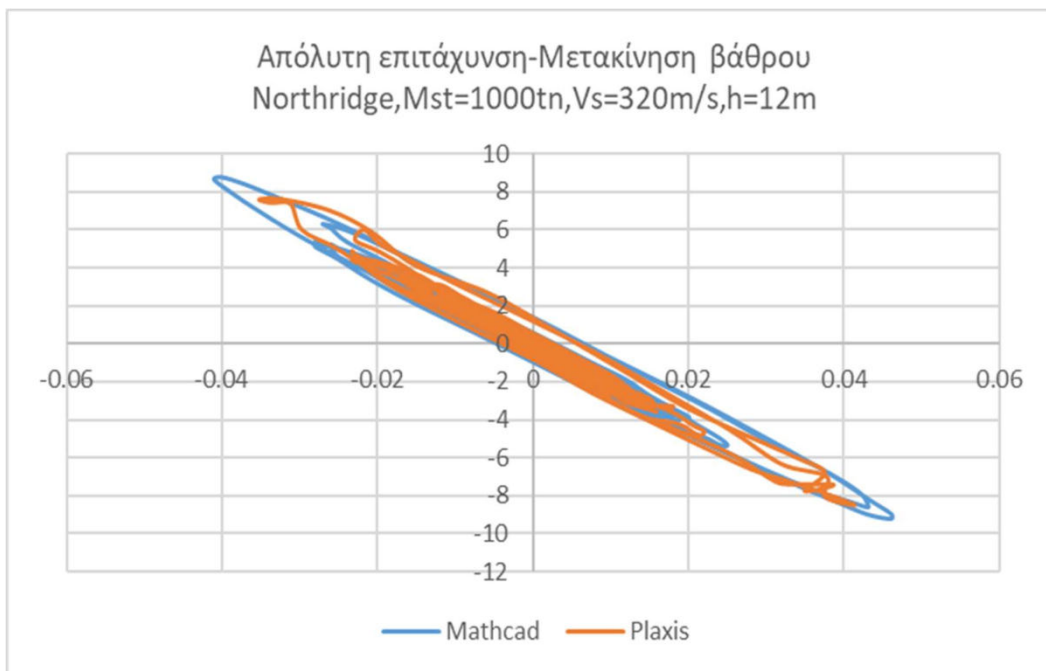
Σχήμα 4.20 Βρόγχος απόλυτης επιτάχυνσης-μετακίνησης βάρου για την Sakarya- $\hat{h} = 1.2$, $\hat{\sigma} = 0.15$, $\hat{m} = 0.54$



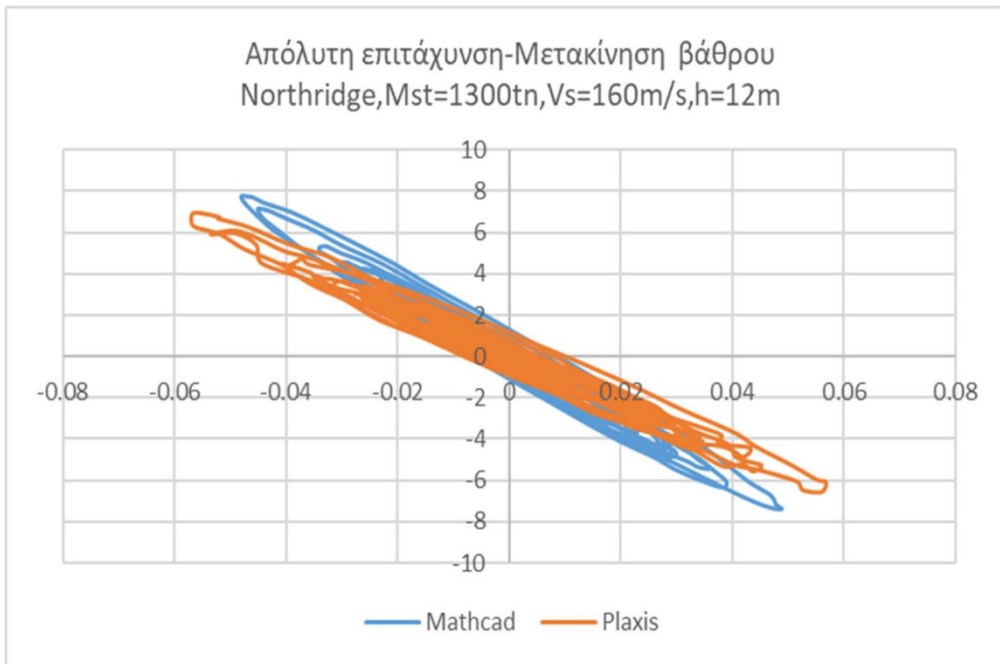
Σχήμα 4.21 Βρόγχος απόλυτης επιτάχυνσης-μετακίνησης βάρου για την Sakarya- $\hat{h} = 1.2$, $\hat{\sigma} = 0.075$, $\hat{m} = 0.54$



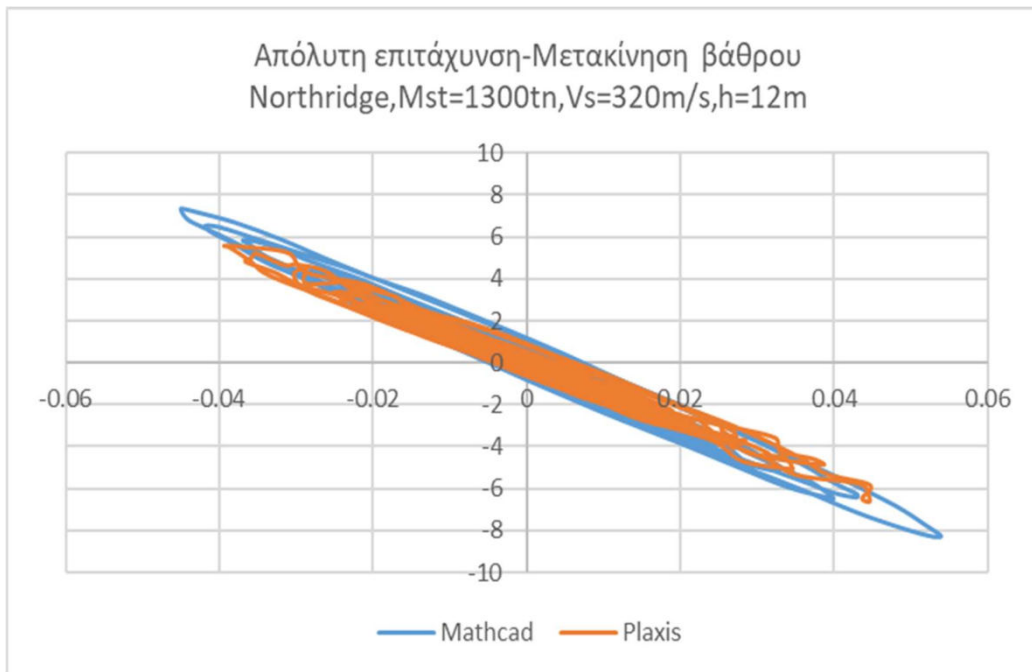
Σχήμα 4.22 Βρόγχος απόλυτης επιτάχυνσης-μετακίνησης βάρου για τον Northridge- $\hat{h} = 1.2, \hat{\sigma} = 0.17, \hat{m} = 0.42$



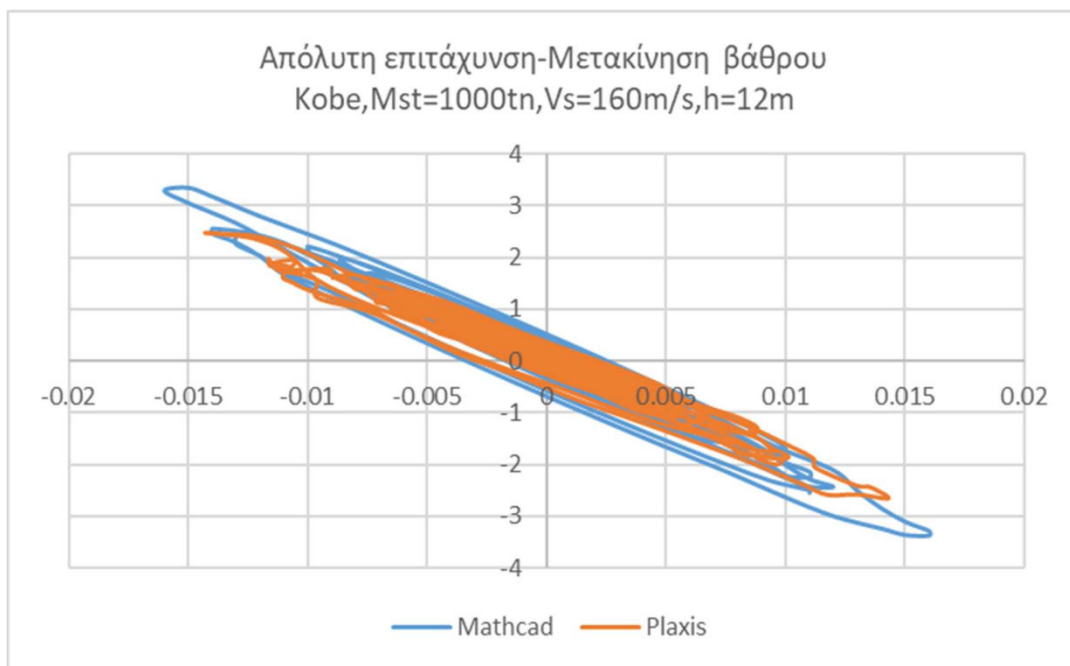
Σχήμα 4.23 Βρόγχος απόλυτης επιτάχυνσης-μετακίνησης βάρου για τον Northridge- $\hat{h} = 1.2, \hat{\sigma} = 0.086, \hat{m} = 0.42$



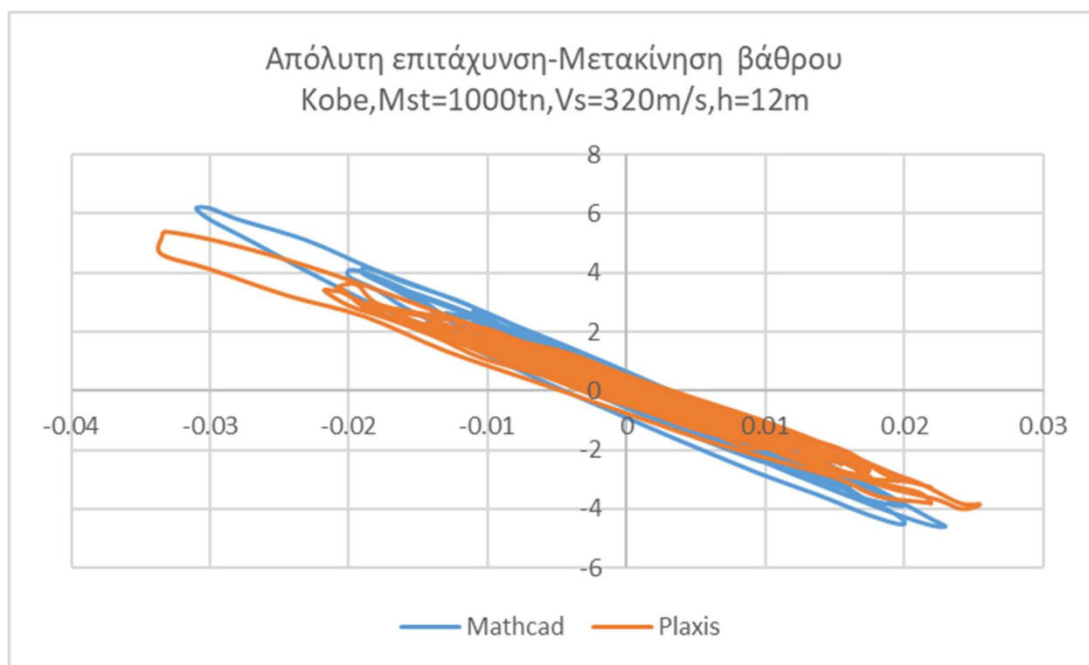
Σχήμα 4.24 Βρόγχος απόλυτης επιτάχυνσης-μετακίνησης βάρου για τον Northridge $\hat{h} = 1.2, \hat{\sigma} = 0.15, \hat{m} = 0.54$



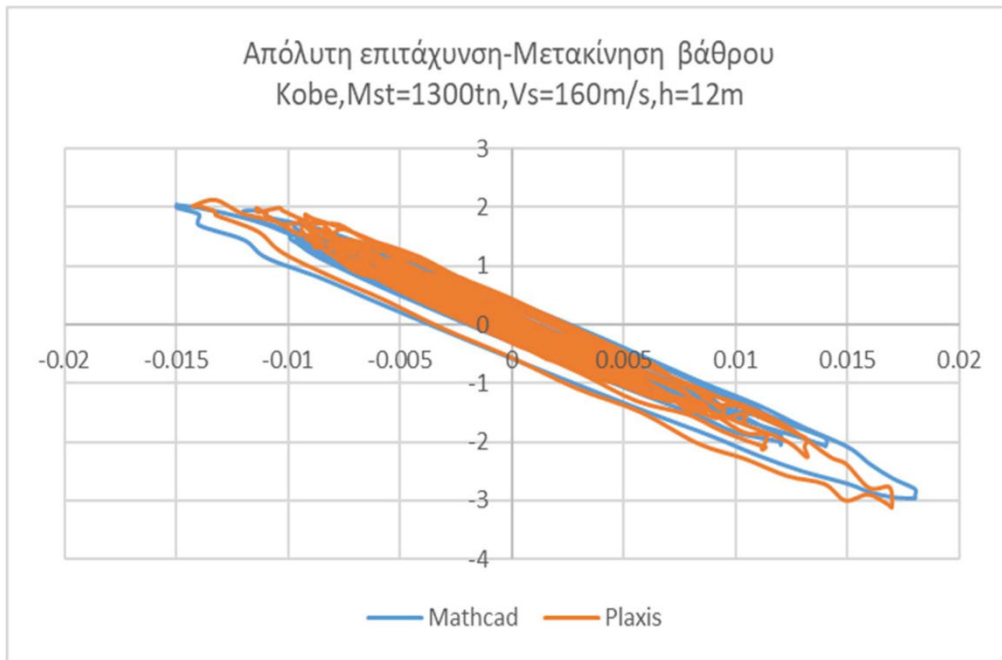
Σχήμα 4.25 Βρόγχος απόλυτης επιτάχυνσης-μετακίνησης βάρου για τον Northridge $\hat{h} = 1.2, \hat{\sigma} = 0.075, \hat{m} = 0.54$



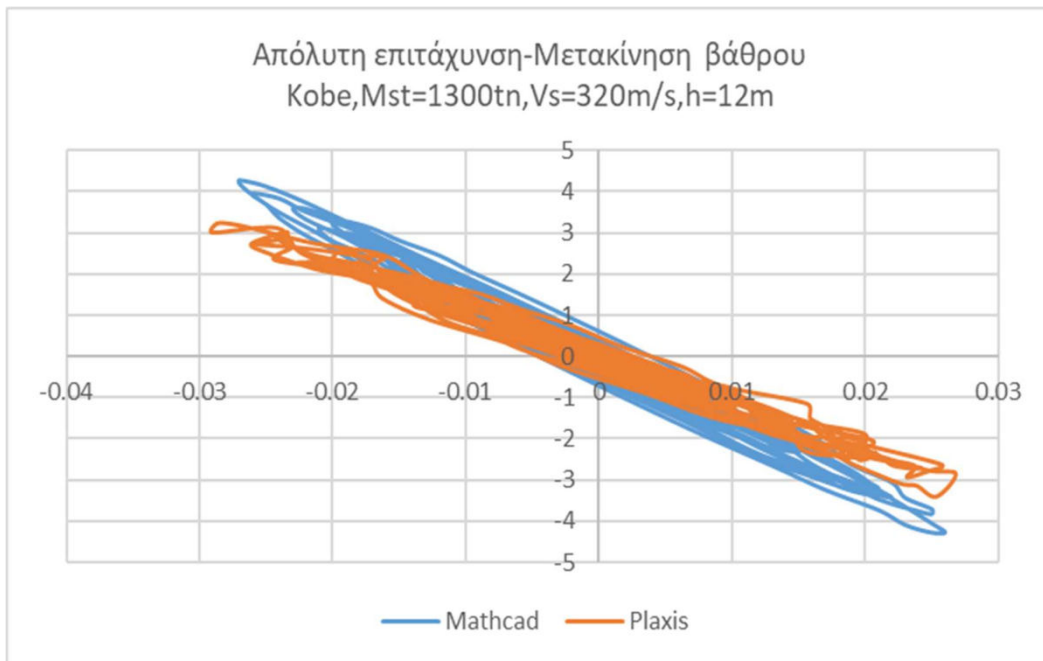
Σχήμα 4.26 Βρόγχος απόλυτης επιτάχυνσης-μετακίνησης βάρου για τον Kobe $\hat{h} = 1.2$, $\hat{\sigma} = 0.17$, $\hat{m} = 0.42$



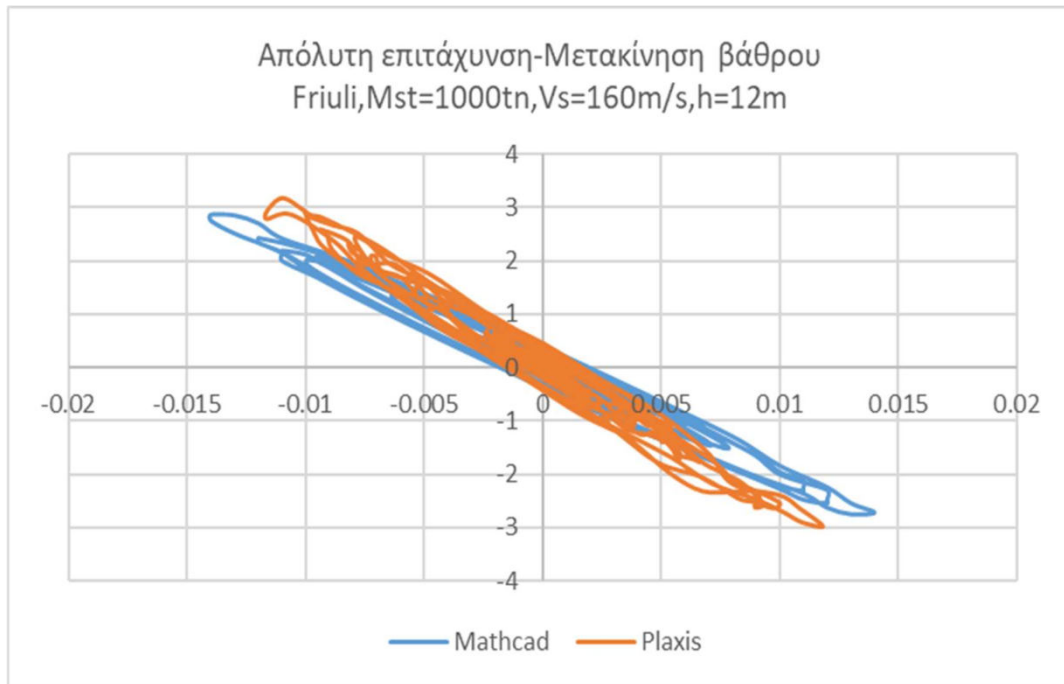
Σχήμα 4.27 Βρόγχος απόλυτης επιτάχυνσης-μετακίνησης βάρου για τον Kobe $\hat{h} = 1.2$, $\hat{\sigma} = 0.086$, $\hat{m} = 0.42$



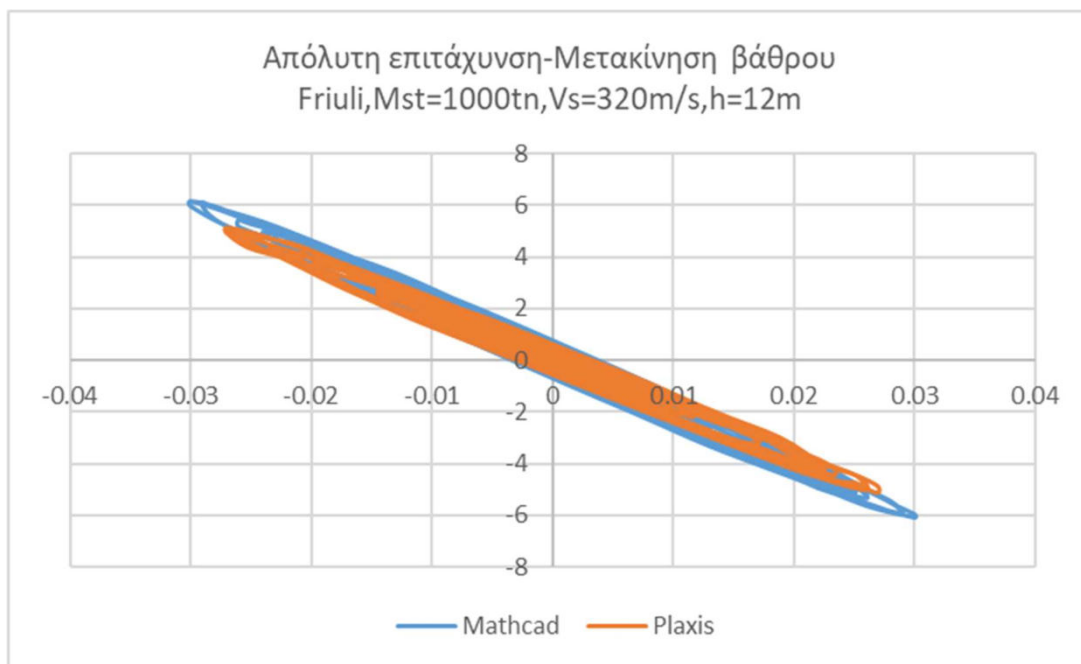
Σχήμα 4.28 Βρόγχος απόλυτης επιτάχυνσης-μετακίνησης βάρου για τον Kobe $\hat{h} = 1.2, \hat{\sigma} = 0.15, \hat{m} = 0.54$



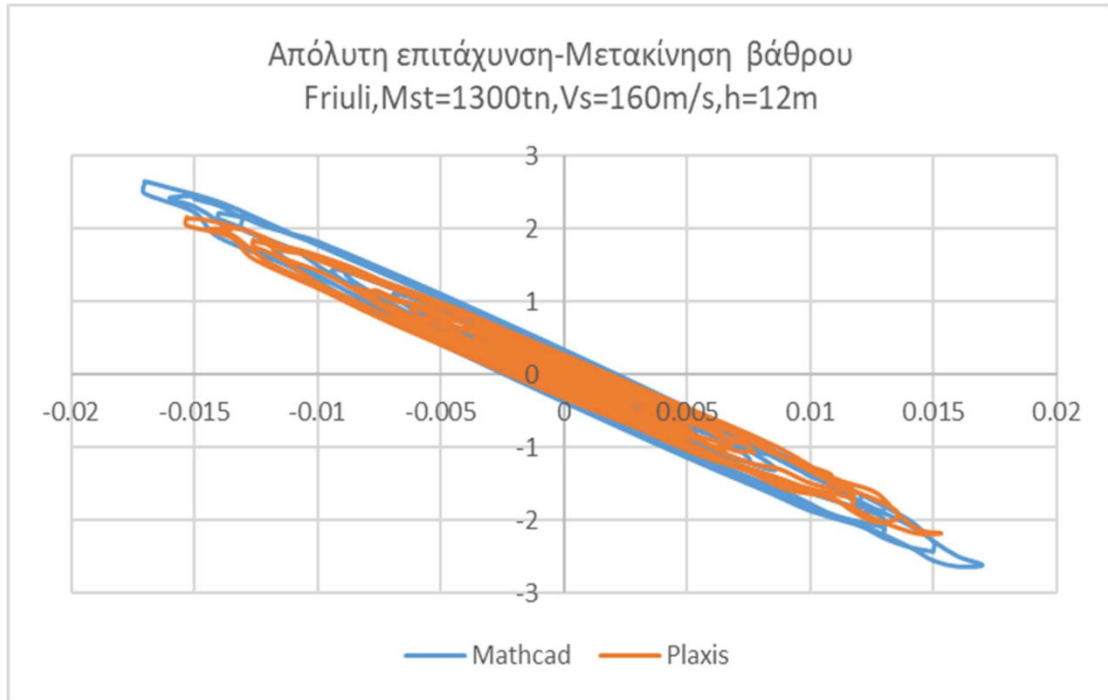
Σχήμα 4.29 Βρόγχος απόλυτης επιτάχυνσης-μετακίνησης βάρου για τον Kobe $\hat{h} = 1.2, \hat{\sigma} = 0.075, \hat{m} = 0.54$



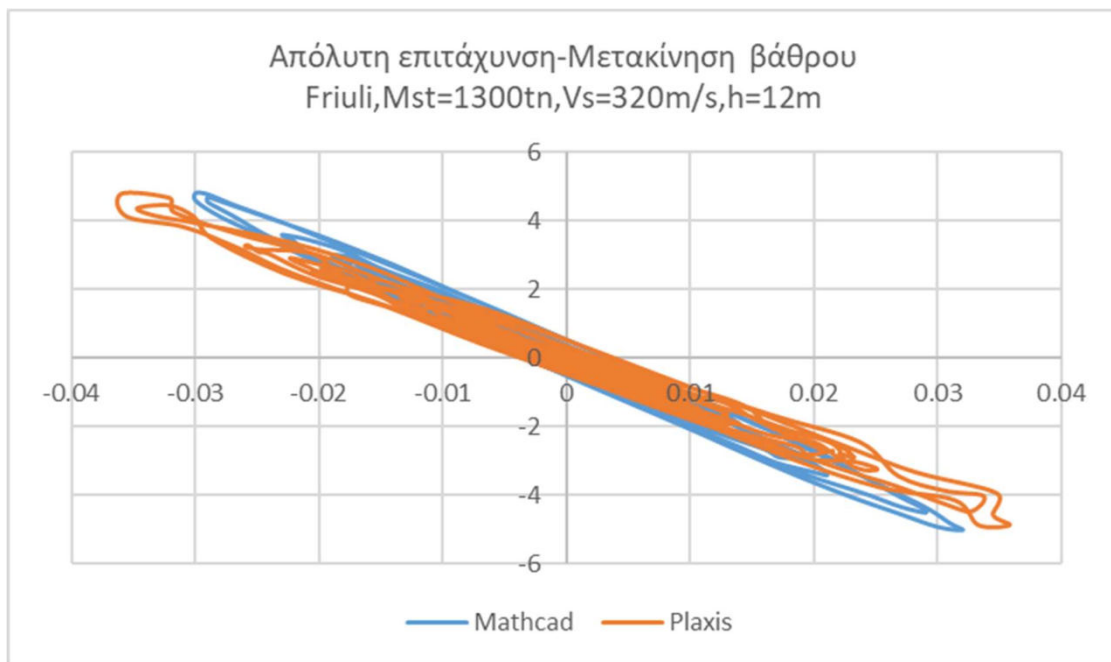
Σχήμα 4.30 Βρόγχος απόλυτης επιτάχυνσης-μετακίνησης βάρου για τον Friuli- $\hat{h} = 1.2, \hat{\sigma} = 0.17, \hat{m} = 0.42$



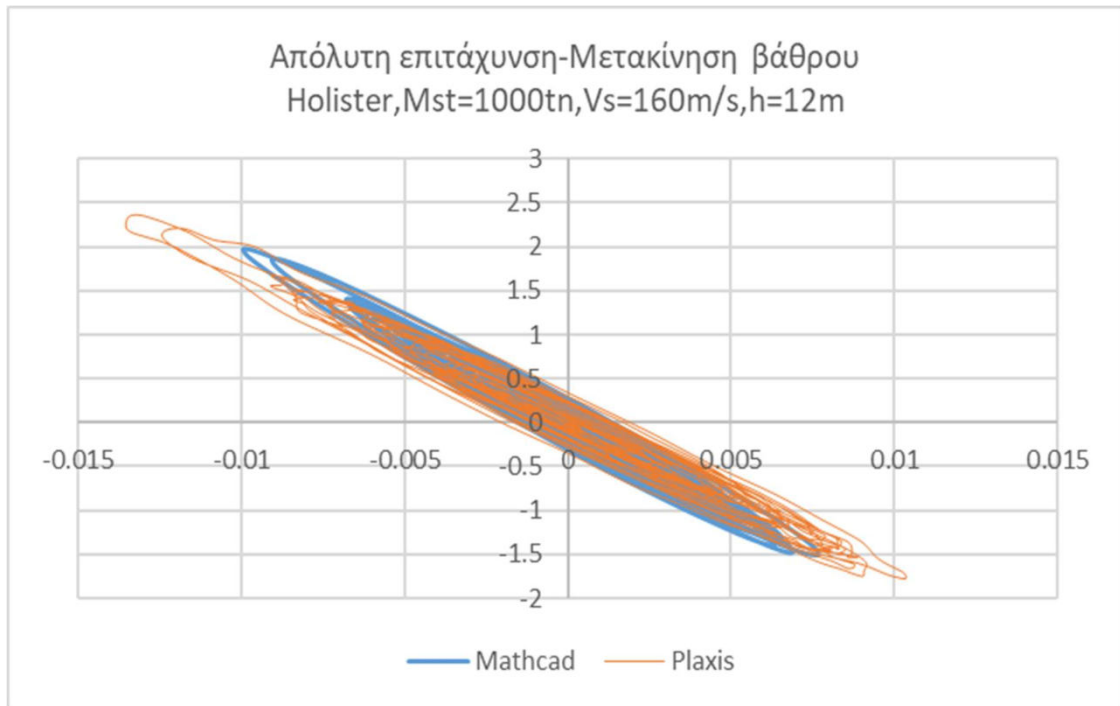
Σχήμα 4.31 Βρόγχος απόλυτης επιτάχυνσης-μετακίνησης βάρου για τον Friuli $\hat{h} = 1.2, \hat{\sigma} = 0.086, \hat{m} = 0.42$



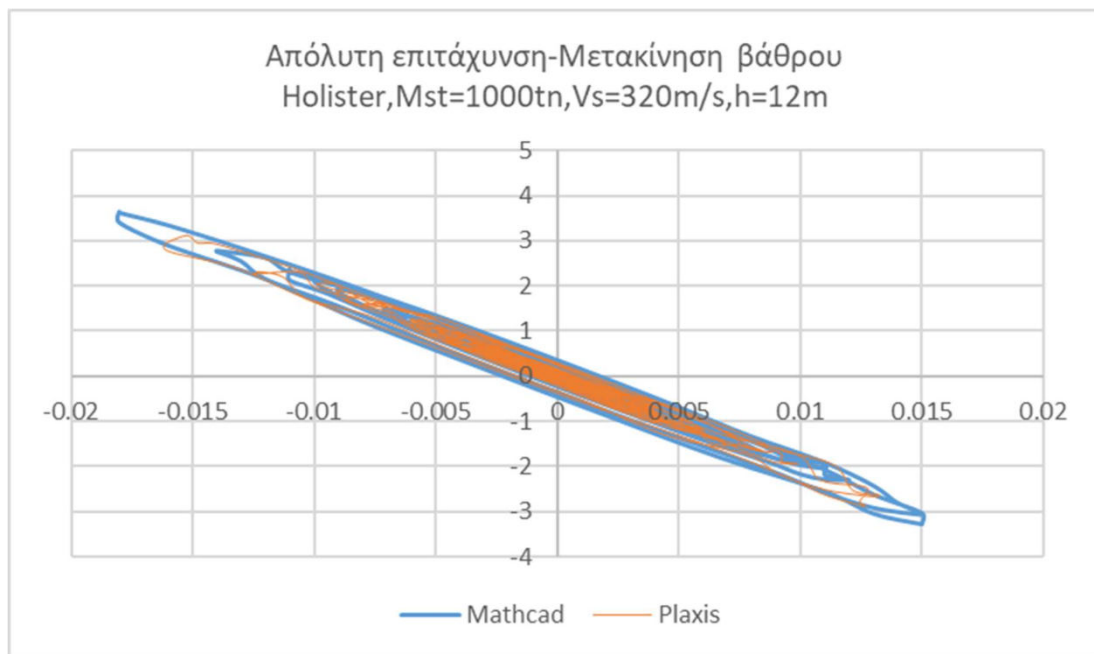
Σχήμα 4.32 Βρόγχος απόλυτης επιτάχυνσης-μετακίνησης βάρου για τον Kobe $\hat{h} = 1.2, \hat{\sigma} = 0.15, \hat{m} = 0.54$



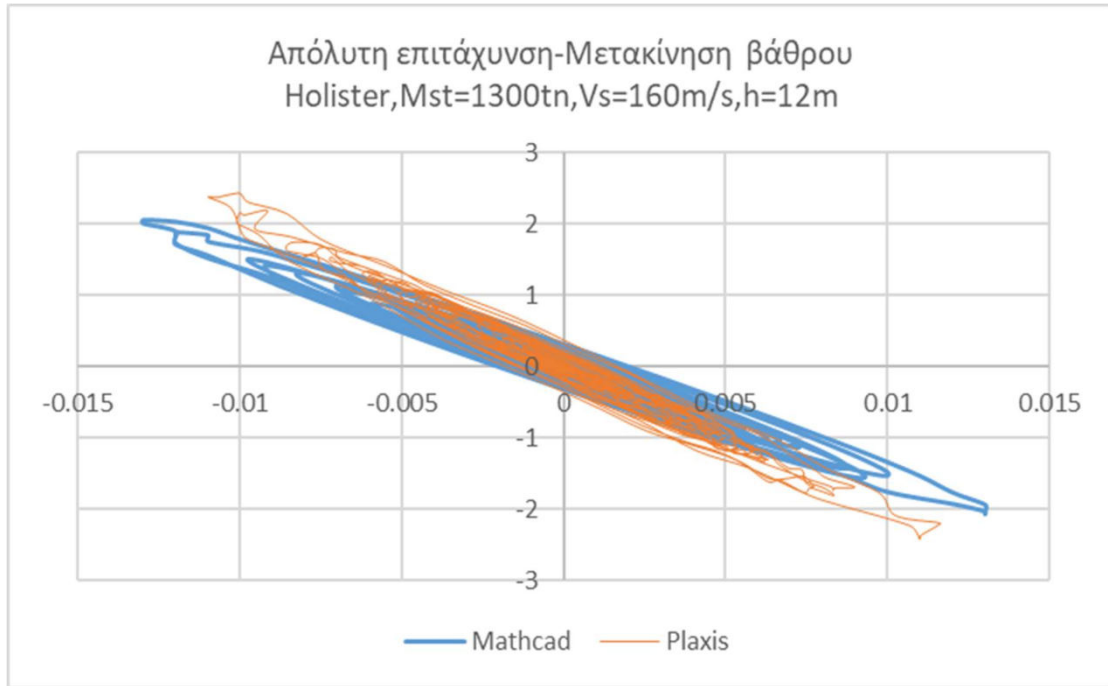
Σχήμα 4.33 Βρόγχος απόλυτης επιτάχυνσης-μετακίνησης βάρου για τον Friuli $\hat{h} = 1.2, \hat{\sigma} = 0.075, \hat{m} = 0.54$



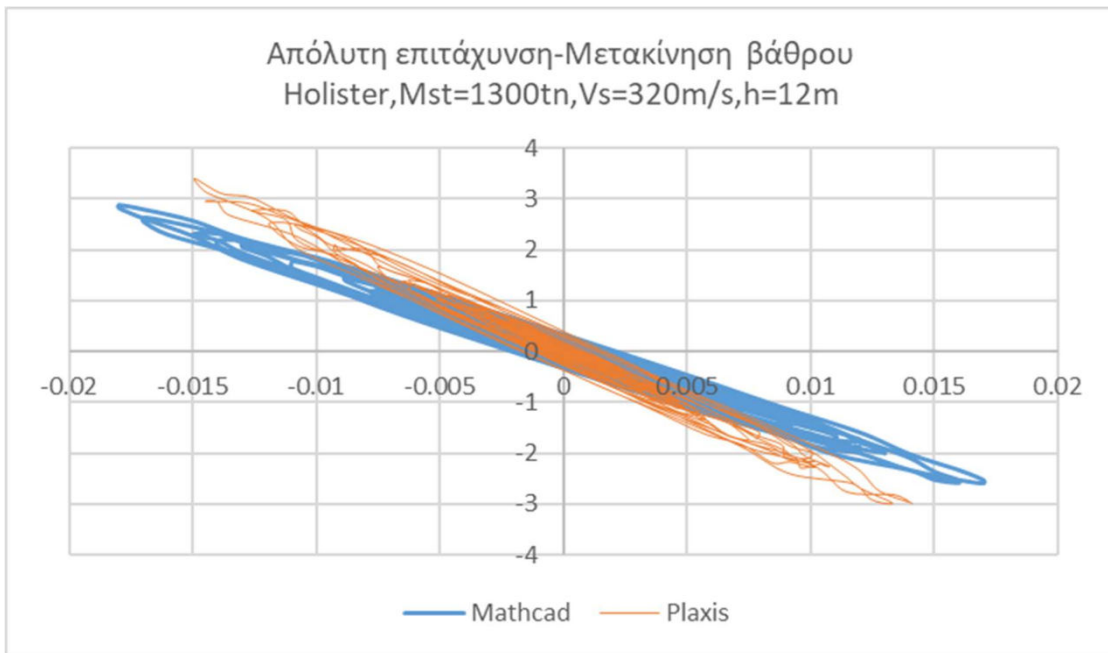
Σχήμα 4.34 Βρόγχος απόλυτης επιτάχυνσης-μετακίνησης βάρου για τον Holister- $\hat{h} = 1.2$, $\hat{\sigma} = 0.17$, $\hat{m} = 0.42$



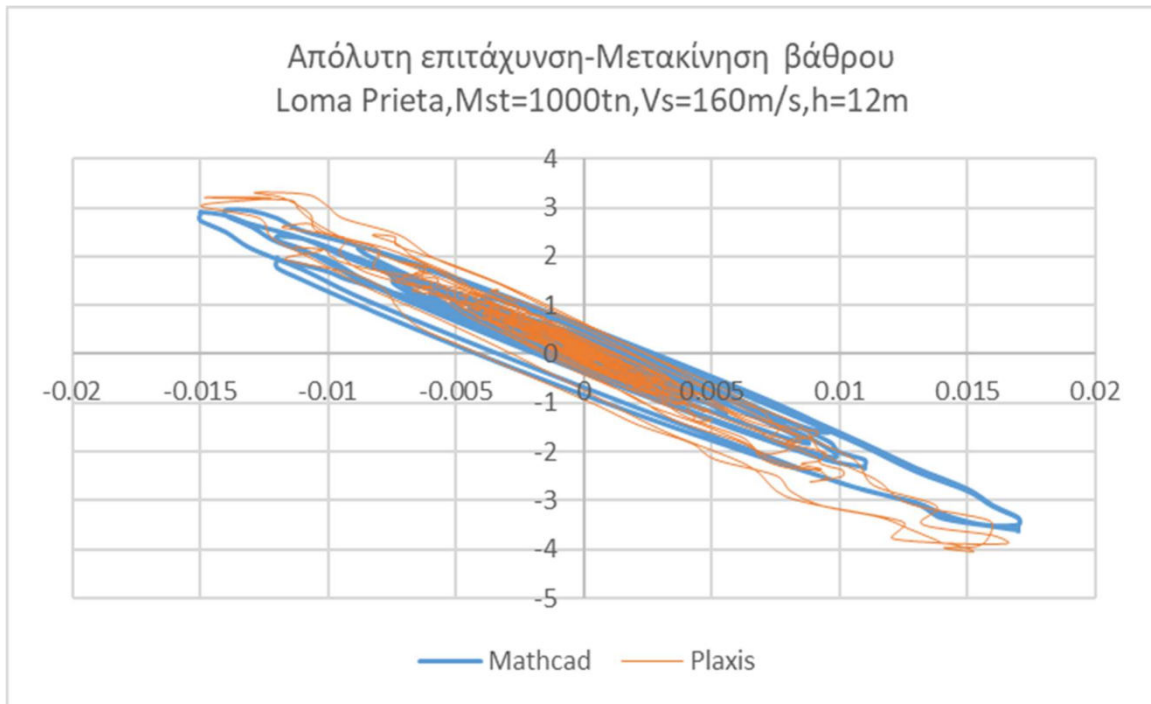
Σχήμα 4.35 Βρόγχος απόλυτης επιτάχυνσης-μετακίνησης βάρου για τον Holister $\hat{h} = 1.2$, $\hat{\sigma} = 0.086$, $\hat{m} = 0.42$



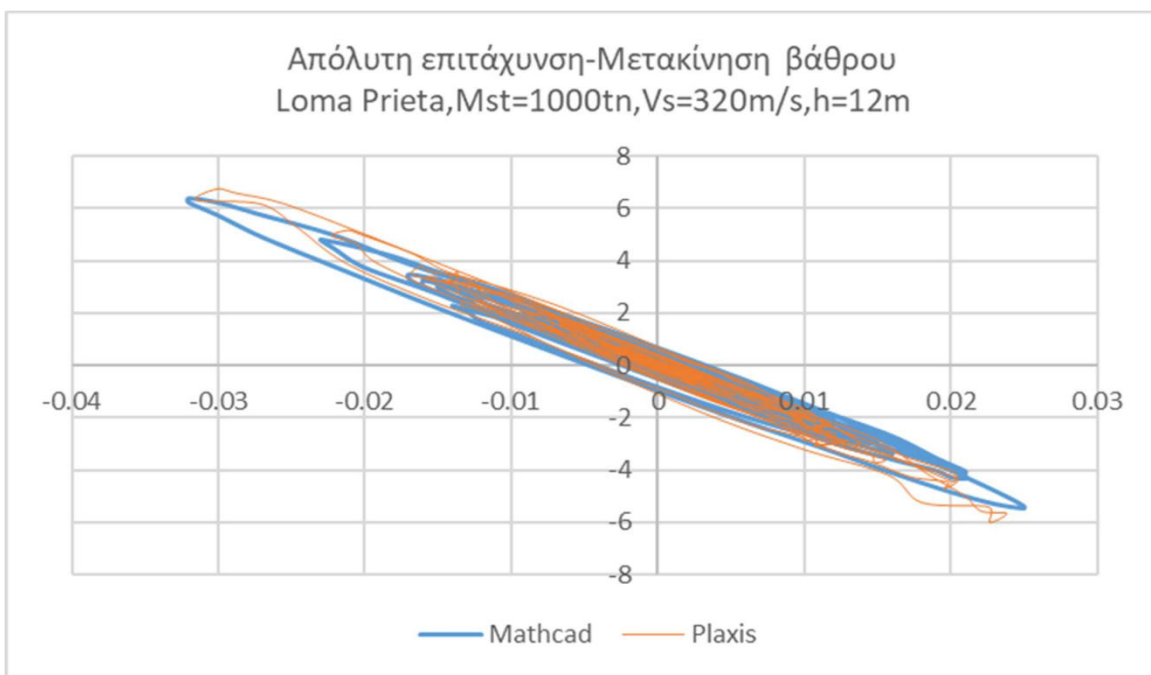
Σχήμα 4.36 Βρόγχος απόλυτης επιτάχυνσης-μετακίνησης βάρου για τον Holister $\hat{h} = 1.2, \hat{\sigma} = 0.15, \hat{m} = 0.54$



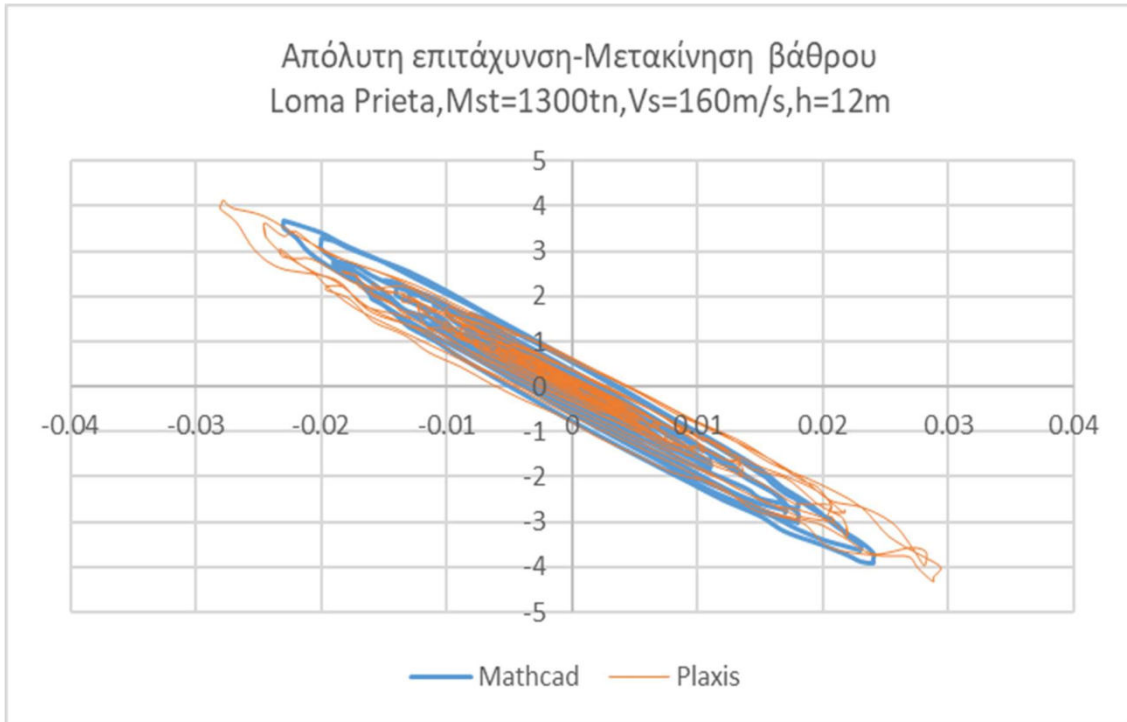
Σχήμα 4.37 Βρόγχος απόλυτης επιτάχυνσης-μετακίνησης βάρου για τον Holister $\hat{h} = 1.2, \hat{\sigma} = 0.075, \hat{m} = 0.54$



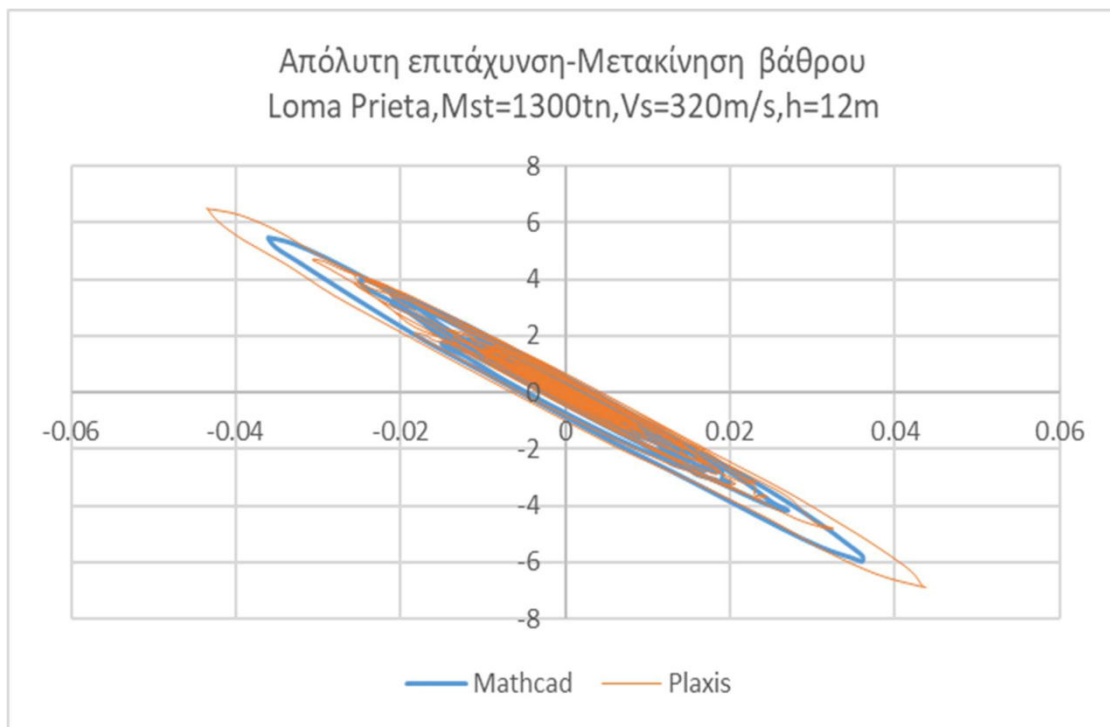
Σχήμα 4.38 Βρόγχος απόλυτης επιτάχυνσης-μετακίνησης βάρου για τον Loma Prieta- $\hat{h} = 1.2, \hat{\sigma} = 0.17, \hat{m} = 0.42$



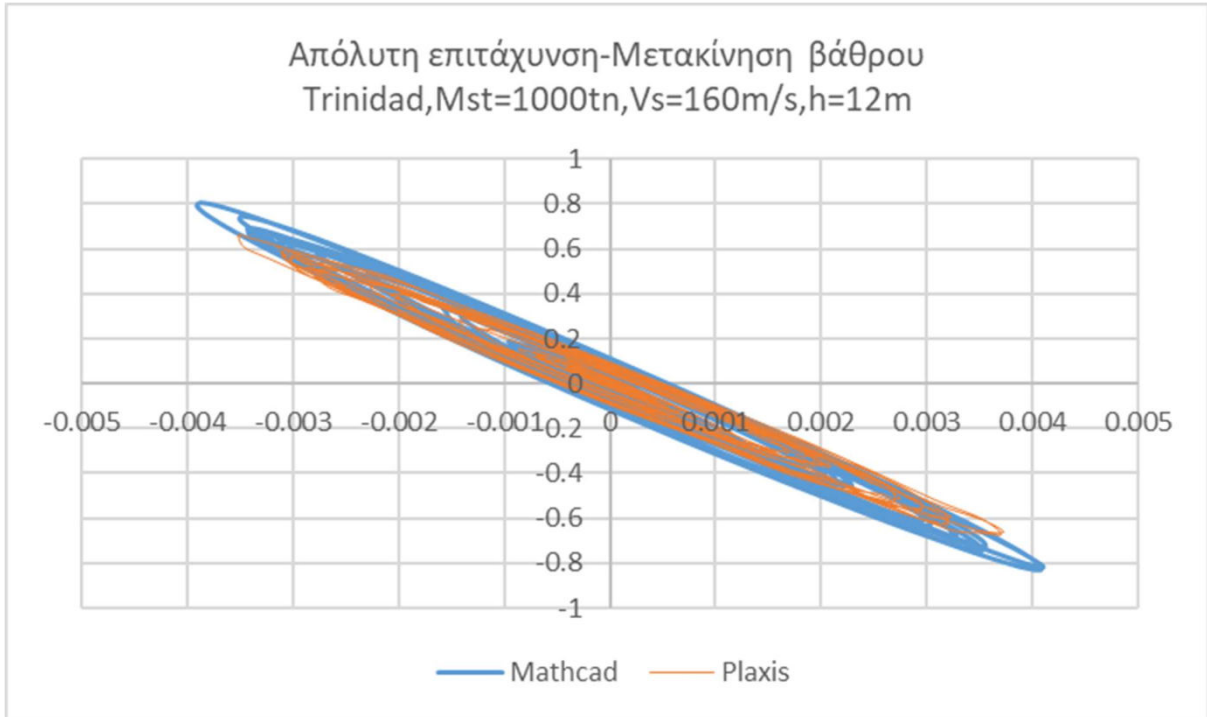
Σχήμα 4.39 Βρόγχος απόλυτης επιτάχυνσης-μετακίνησης βάρου για τον Loma Prieta $\hat{h} = 1.2, \hat{\sigma} = 0.086, \hat{m} = 0.42$



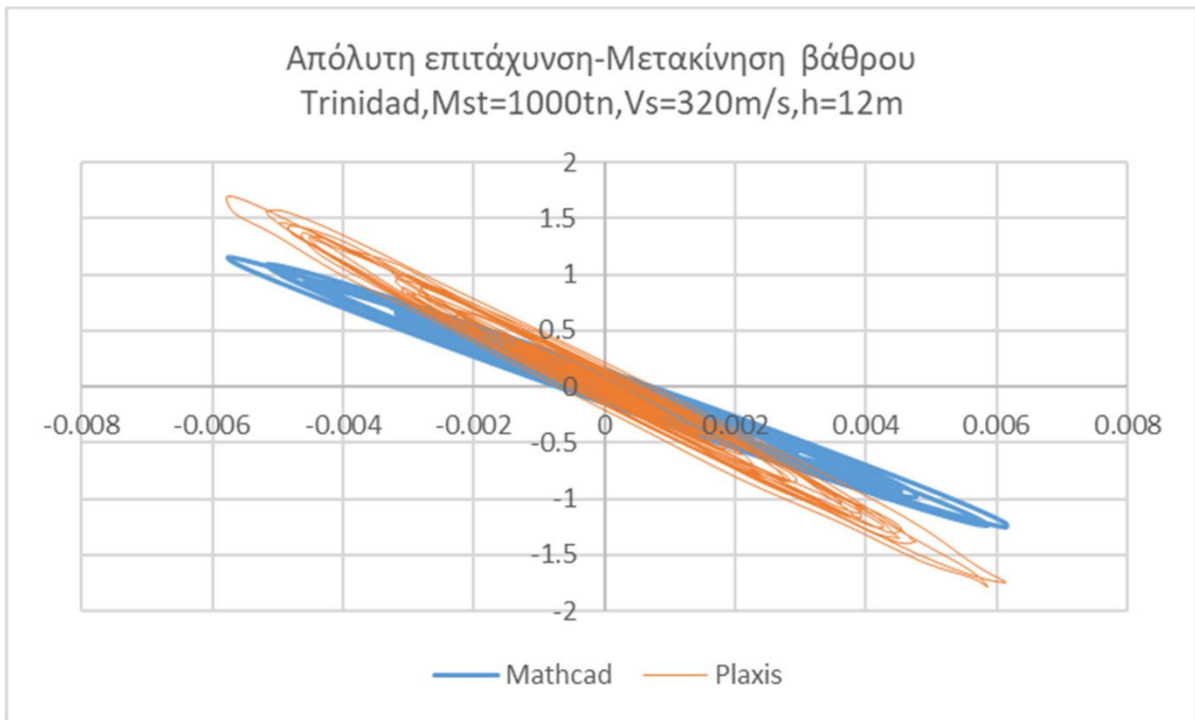
Σχήμα 4.40 Βρόγχος απόλυτης επιτάχυνσης-μετακίνησης βάρου για τον Loma Prieta $\hat{h} = 1.2, \hat{\sigma} = 0.15, \hat{m} = 0.54$



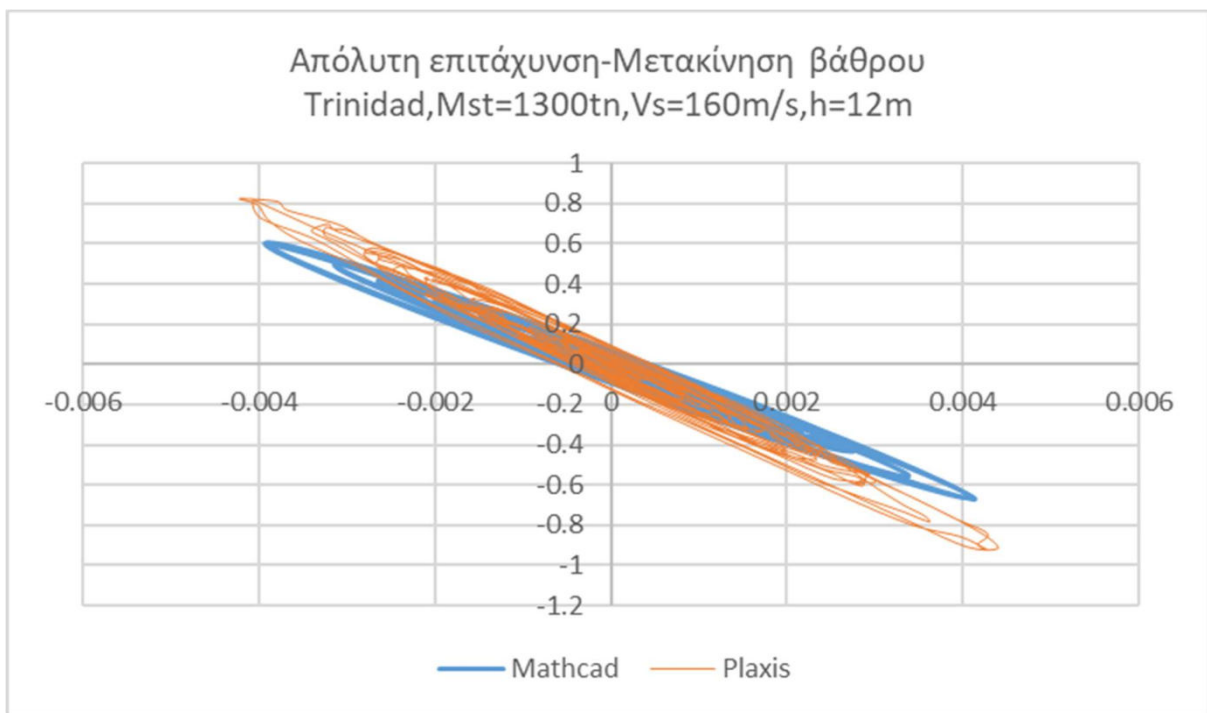
Σχήμα 4.41 Βρόγχος απόλυτης επιτάχυνσης-μετακίνησης βάρου για τον Loma Prieta $\hat{h} = 1.2, \hat{\sigma} = 0.075, \hat{m} = 0.54$



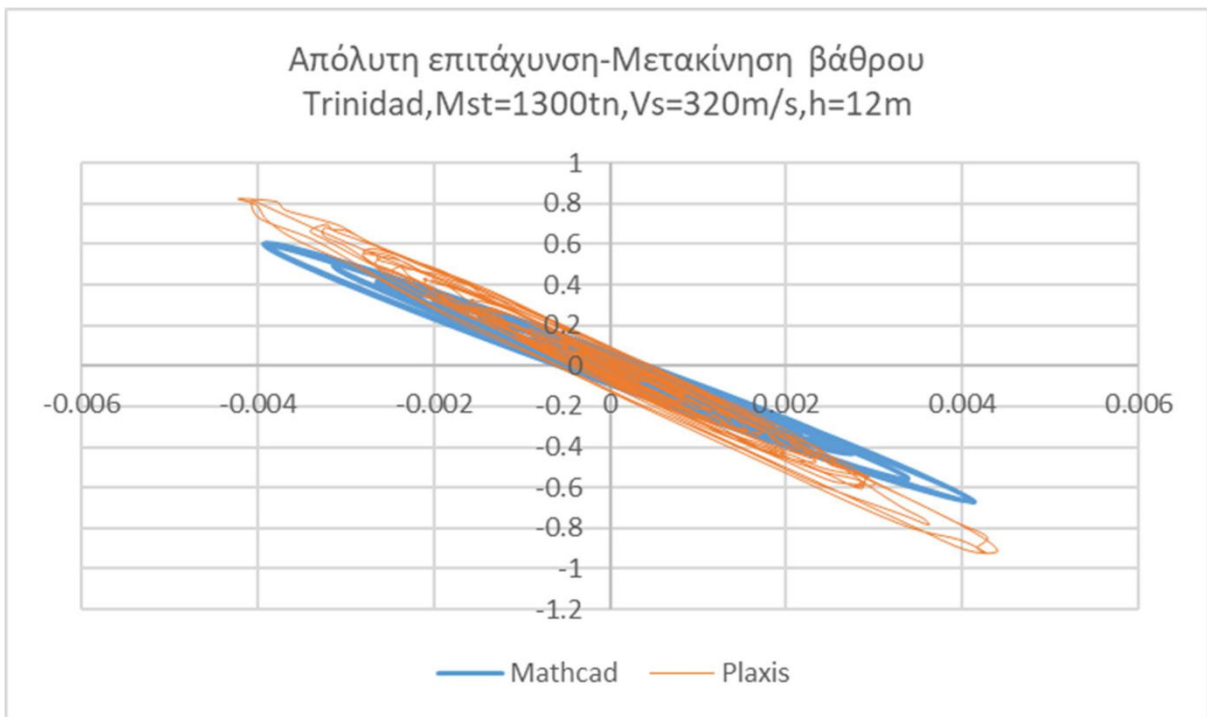
Σχήμα 4.42 Βρόγχος απόλυτης επιτάχυνσης-μετακίνησης βάρου για τον Trinidad- $\hat{h} = 1.2$, $\hat{\sigma} = 0.17$, $\hat{m} = 0.42$



Σχήμα 4.43 Βρόγχος απόλυτης επιτάχυνσης-μετακίνησης βάρου για τον Trinidad $\hat{h} = 1.2$, $\hat{\sigma} = 0.086$, $\hat{m} = 0.42$



Σχήμα 4.44 Βρόγχος απόλυτης επιτάχυνσης-μετακίνησης βάρου για τον Trinidad $\hat{h} = 1.2, \hat{\sigma} = 0.15, \hat{m} = 0.54$



Σχήμα 4.45 Βρόγχος απόλυτης επιτάχυνσης-μετακίνησης βάρου για τον Trinidad $\hat{h} = 1.2, \hat{\sigma} = 0.075, \hat{m} = 0.54$

4.2.5 Επιβεβαίωση του μακροστοιχείου για την δυναμική συμπεριφορά του ανελαστικού ταλαντωτή επί ελαστικού εδάφους μέσω του Plaxis.

Αρχικά βρίσκουμε την νέα μετακίνηση διαρροής του συστήματος εδάφους-ανωδομής, αυτή δίνεται από την σχέση:

$$u_y = \frac{F_y}{K_{ssi}}$$

F_y : Η δύναμη διαρροής, η οποία δεν μεταβάλλεται καθώς αποτελεί χαρακτηριστικό της αντοχής διατομής του βάρου.

K_{ssi} : Η δυσκαμψία του συστήματος που δίνεται από την σχέση:

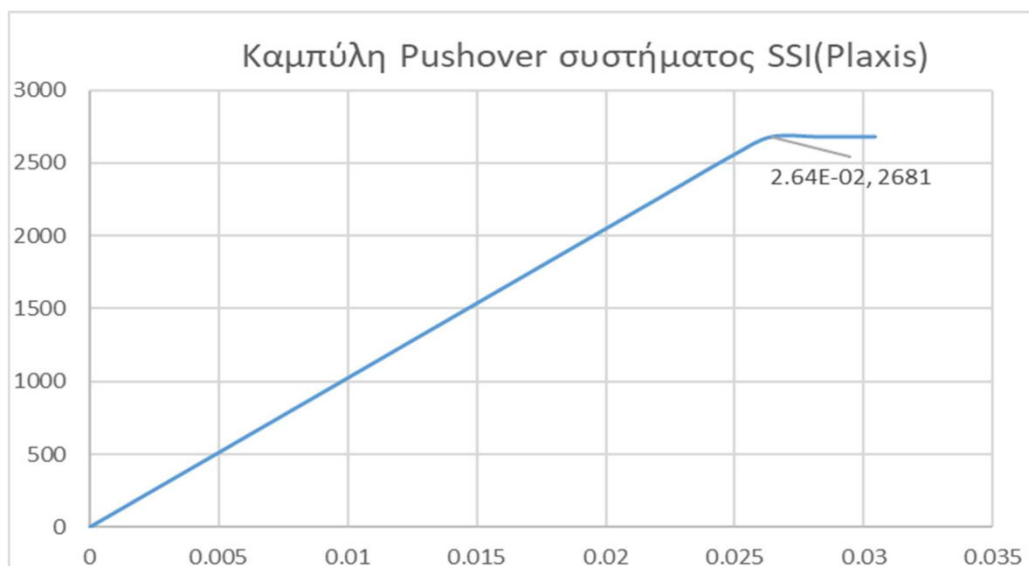
$$K_{ssi} = \frac{Mst \cdot 4\pi^2}{T_{ssi}^2}$$

$$T_{ssi} = Tst \sqrt{1 + \frac{Kst}{KH} + \frac{Kst h^2}{KR}}$$

Για το εδαφικό στρώμα με $V_s=160\text{m/s}$ και για τον ταλαντωτή $Mst=1000\text{tn}$ με $F_y=2700\text{KN}$. Αναμένουμε

$$u_y = 0.026\text{m}$$

Η τιμή αυτή θα πρέπει να επαληθεύεται και από το Plaxis. Υπενθυμίζεται ότι για να πετύχουμε $F_y=2700\text{KN}$, διαλέγουμε το ελαστοπλαστικό μοντέλο αστοχίας επιλέγοντας $Mpl = M = F_y * h = 32500\text{KNm}$ και Npl μια επαρκώς μεγάλη τιμή.



Σχήμα 4.46 Καμπύλη Pushover ελαστοπλαστικού συστήματος στο Plaxis.

Θα χρησιμοποιηθούν και εδώ οι παρακάτω παράμετροι:

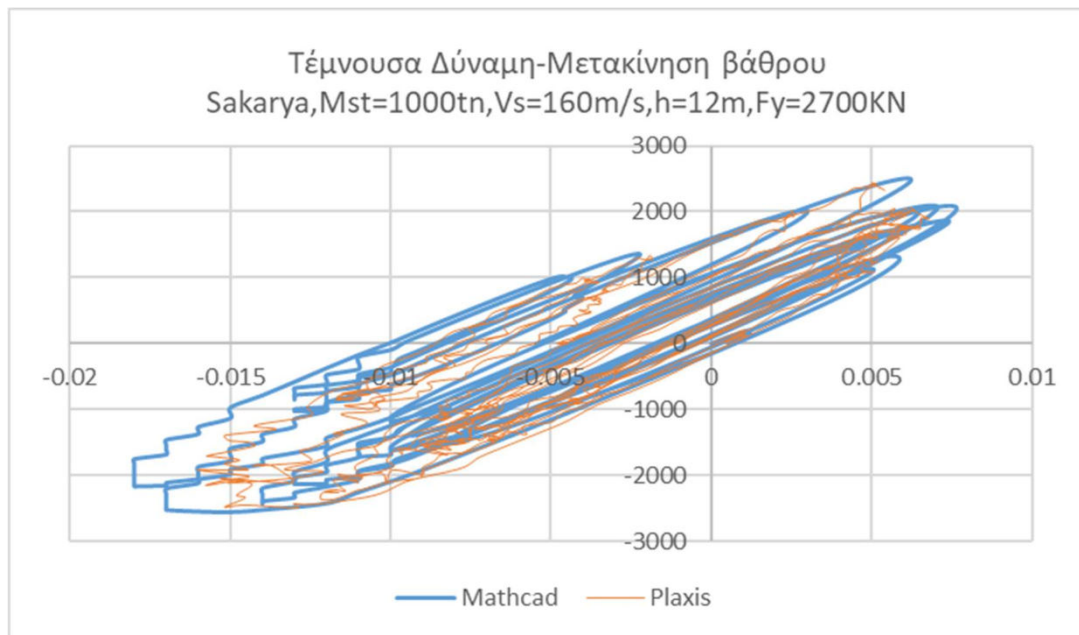
$$Mst = 1000tn, Vs = \frac{160m}{s}, \hat{h} = 1.2, \hat{\sigma} = 0.17, \hat{m} = 0.42$$

$$Mst = 1000tn, Vs = \frac{320m}{s}, \hat{h} = 1.2, \hat{\sigma} = 0.086, \hat{m} = 0.42$$

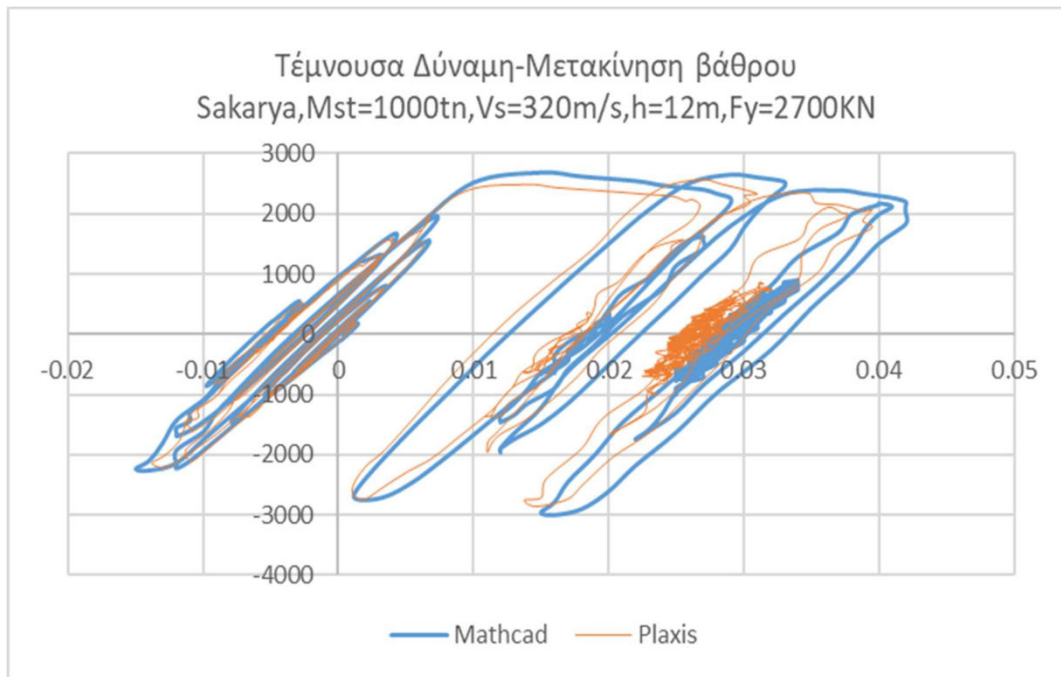
$$Mst = 1300tn, Vs = \frac{160m}{s}, \hat{h} = 1.2, \hat{\sigma} = 0.15, \hat{m} = 0.54$$

$$Mst = 1300tn, Vs = \frac{320m}{s}, \hat{h} = 1.2, \hat{\sigma} = 0.075, \hat{m} = 0.54$$

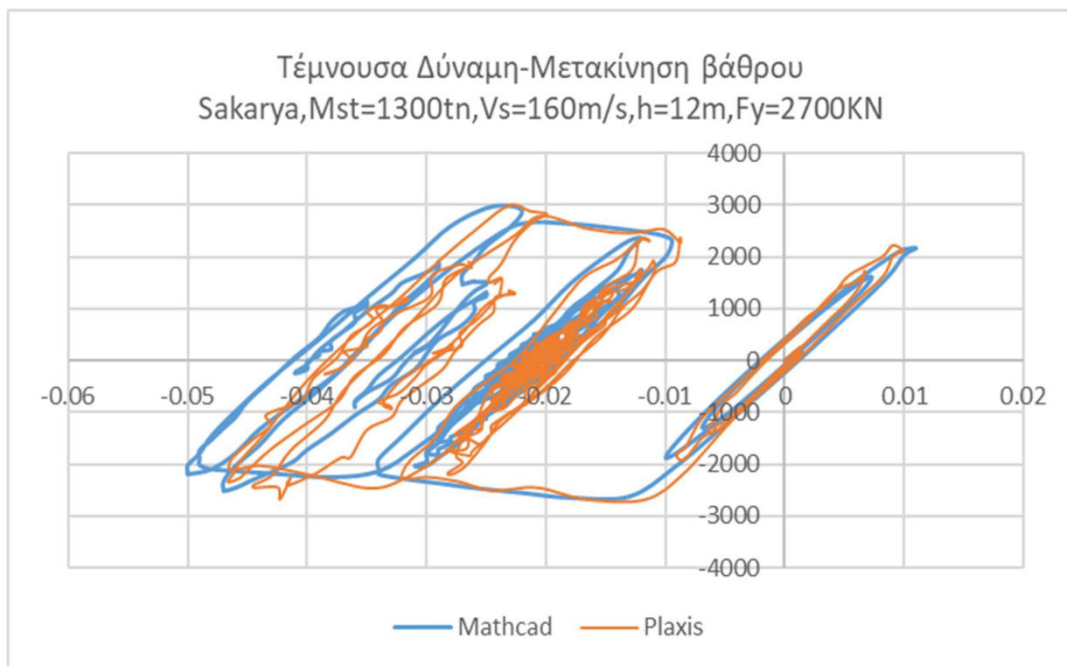
Τα αποτελέσματα θα δοθούν στην μορφή βρόγχων $F - ustr$



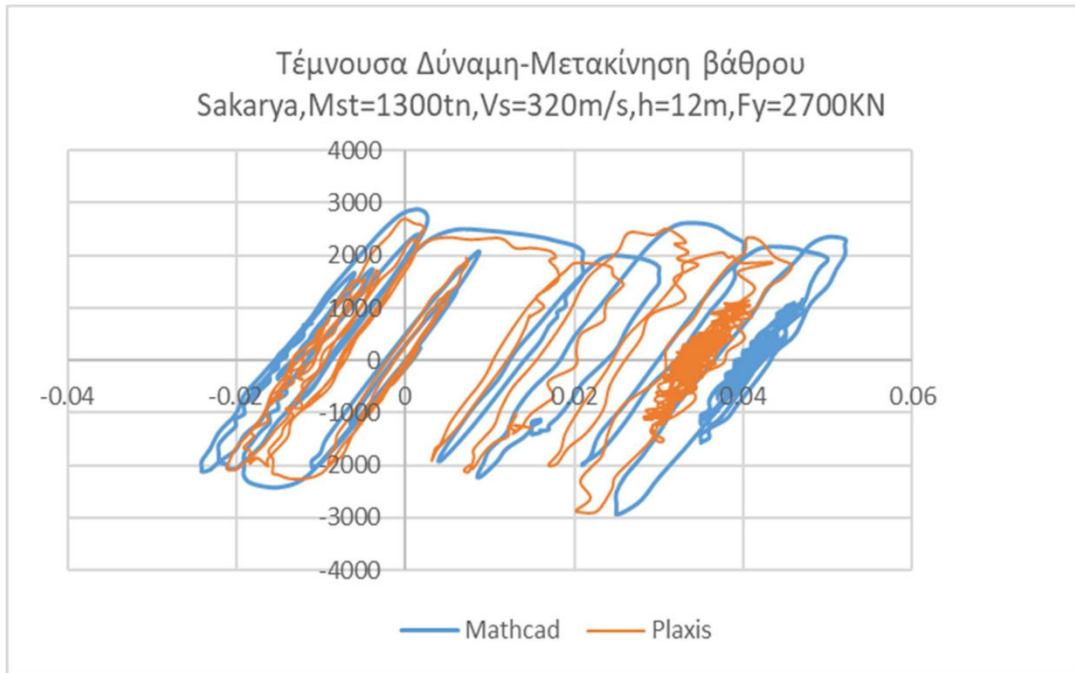
Σχήμα 4.47 Βρόγχος απόλυτης επιτάχυνσης-μετακίνησης βάρου για τον Sakarya-Ανελαστικός Ταλαντωτής- $\hat{h} = 1.2, \hat{\sigma} = 0.17, \hat{m} = 0.42$



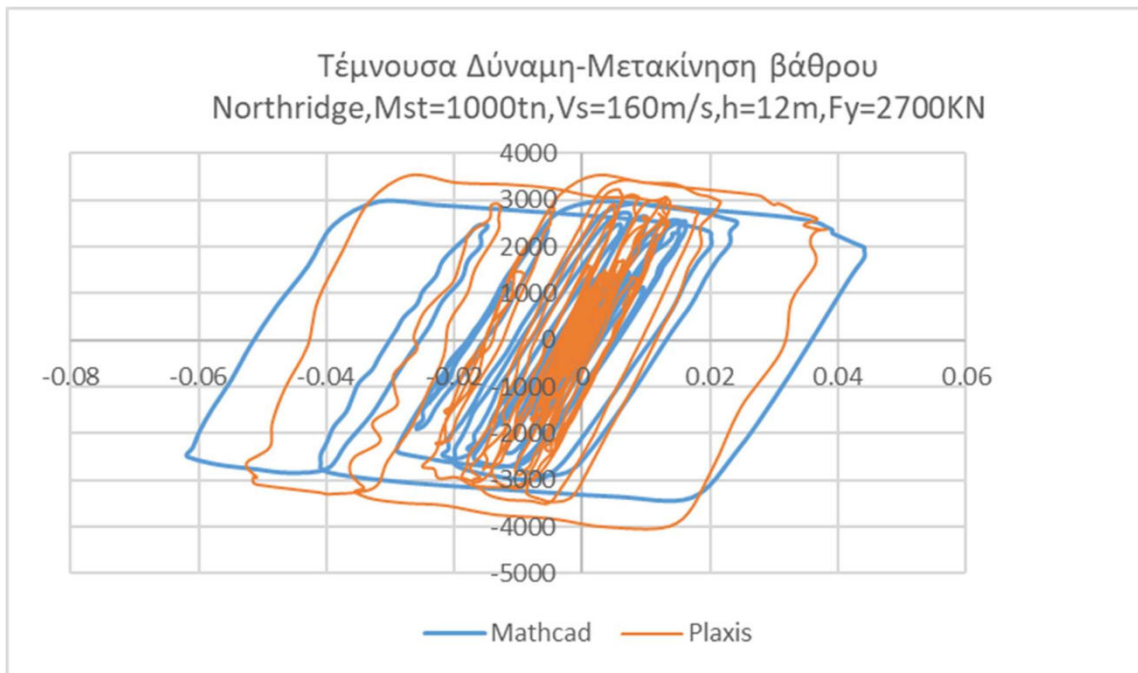
Σχήμα 4.48 Βρόγχος απόλυτης επιτάχυνσης-μετακίνησης βάρου για τον Sakarya-Ανελαστικός Ταλαντωτής- $\hat{h} = 1.2, \hat{\sigma} = 0.086, \hat{m} = 0.42$



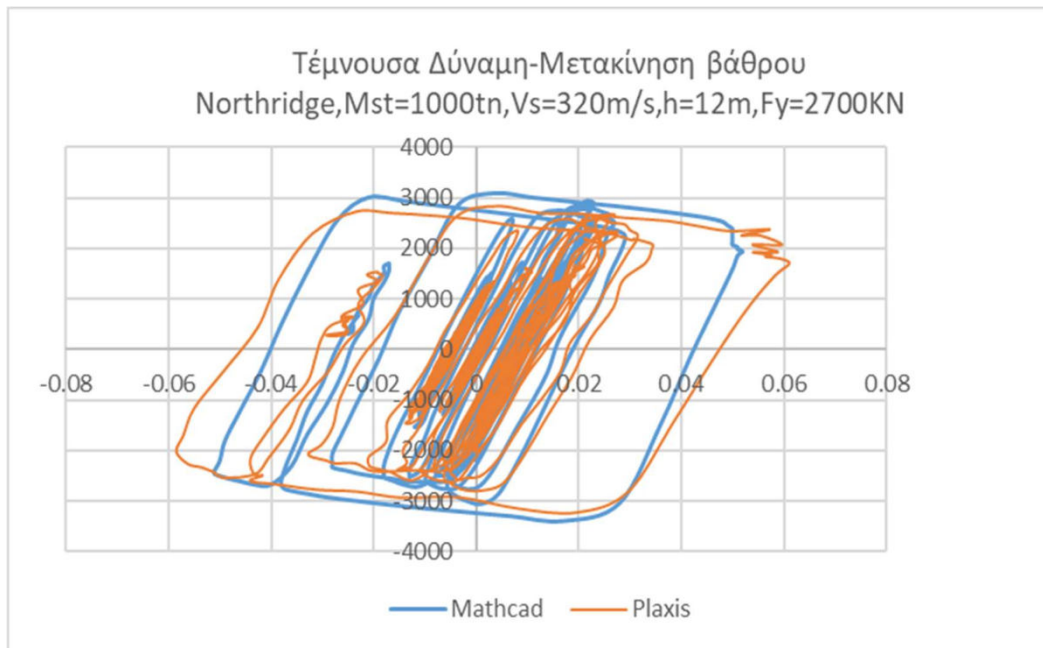
Σχήμα 4.49 Βρόγχος απόλυτης επιτάχυνσης-μετακίνησης βάρου για τον Sakarya-Ανελαστικός Ταλαντωτής- $\hat{h} = 1.2, \hat{\sigma} = 0.15, \hat{m} = 0.54$



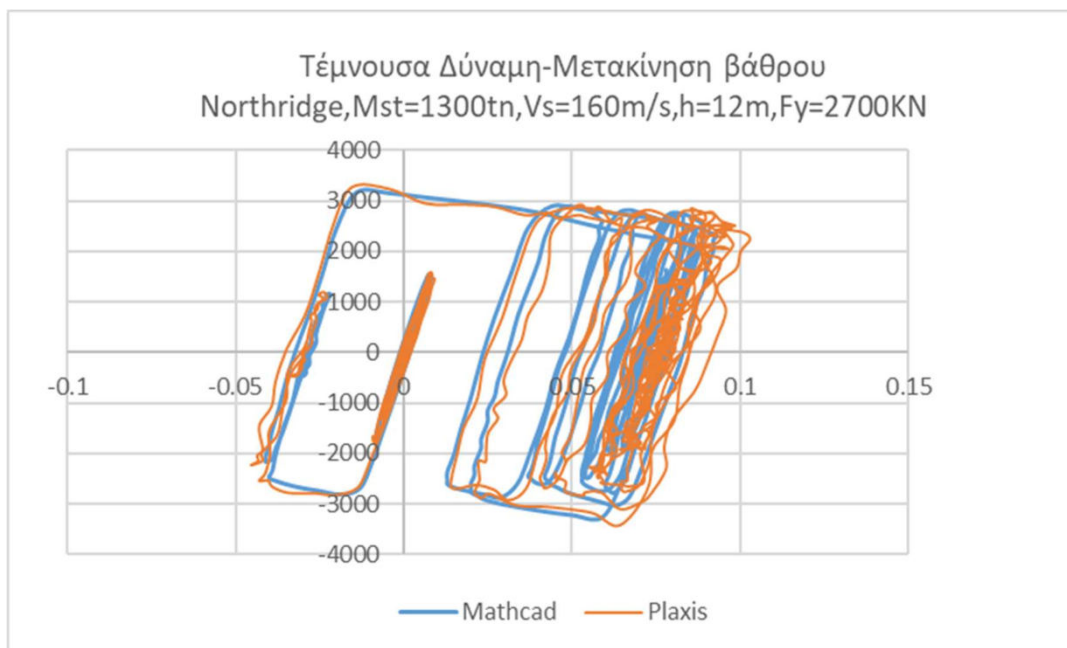
Σχήμα 4.50 Βρόγχος απόλυτης επιτάχυνσης-μετακίνησης βάρου για τον Sakarya-Ανελαστικός Ταλαντωτής- $\hat{h} = 1.2$, $\hat{\sigma} = 0.075$, $\hat{m} = 0.54$



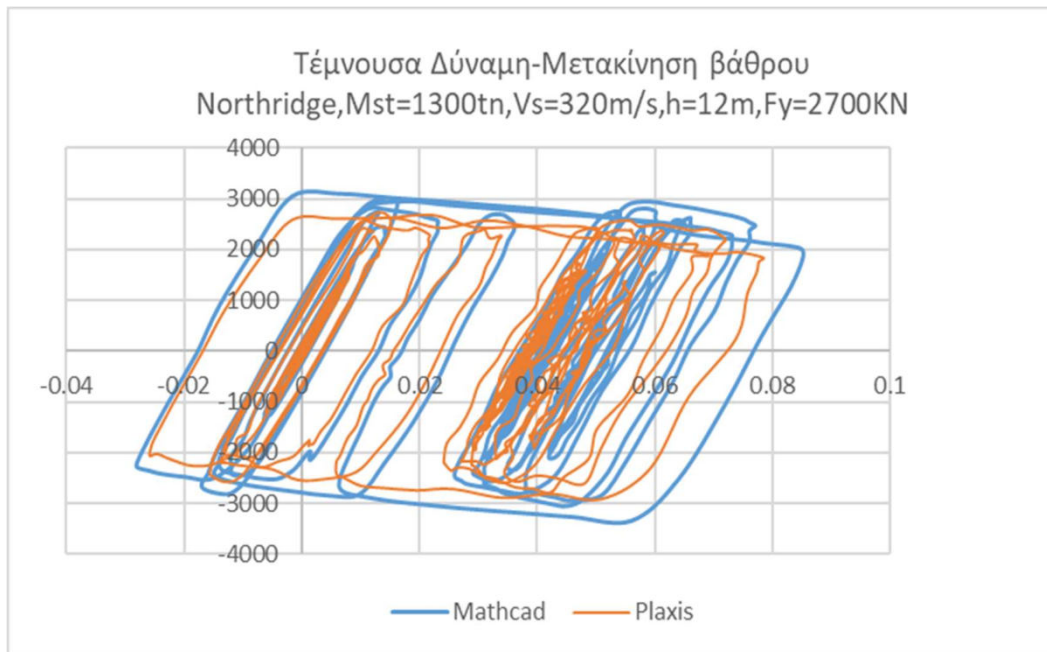
Σχήμα 4.51 Βρόγχος απόλυτης επιτάχυνσης-μετακίνησης βάρου για τον Northridge-Ανελαστικός Ταλαντωτής- $\hat{h} = 1.2$, $\hat{\sigma} = 0.17$, $\hat{m} = 0.42$



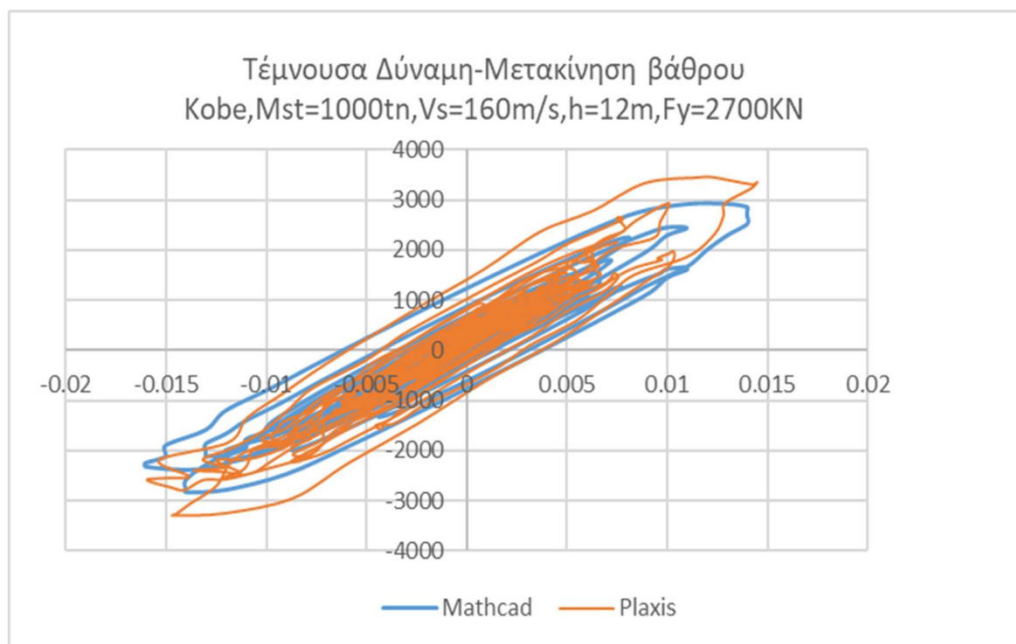
Σχήμα 4.52 Βρόγχος απόλυτης επιτάχυνσης-μετακίνησης βάρου για τον Northridge-Ανελαστικός Ταλαντωτής- $\hat{h} = 1.2, \hat{\sigma} = 0.086, \hat{m} = 0.42$



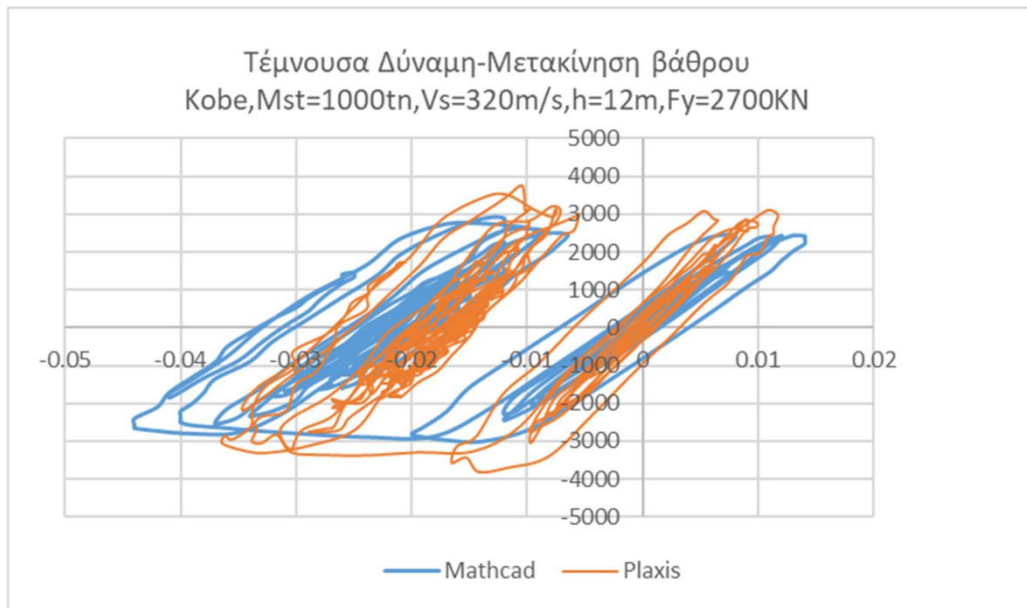
Σχήμα 4.53 Βρόγχος απόλυτης επιτάχυνσης-μετακίνησης βάρου για τον Northridge-Ανελαστικός Ταλαντωτής- $\hat{h} = 1.2, \hat{\sigma} = 0.15, \hat{m} = 0.54$



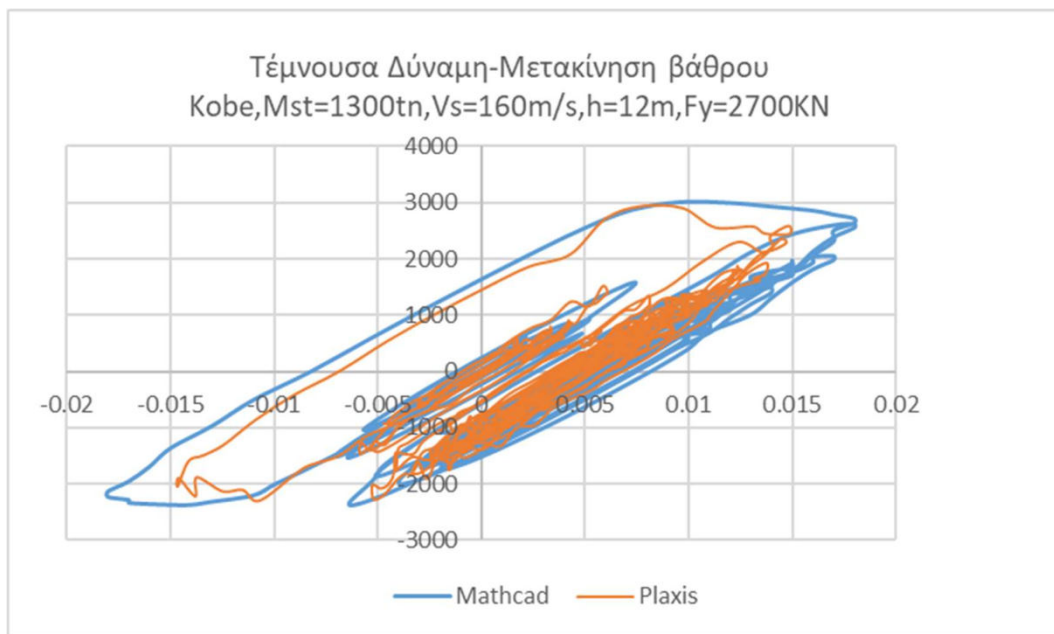
Σχήμα 4.54 Βρόγχος απόλυτης επιτάχυνσης-μετακίνησης βάρου για τον Northridge-Ανελαστικός Ταλαντωτής- $\hat{h} = 1.2, \hat{\sigma} = 0.075, \hat{m} = 0.54$



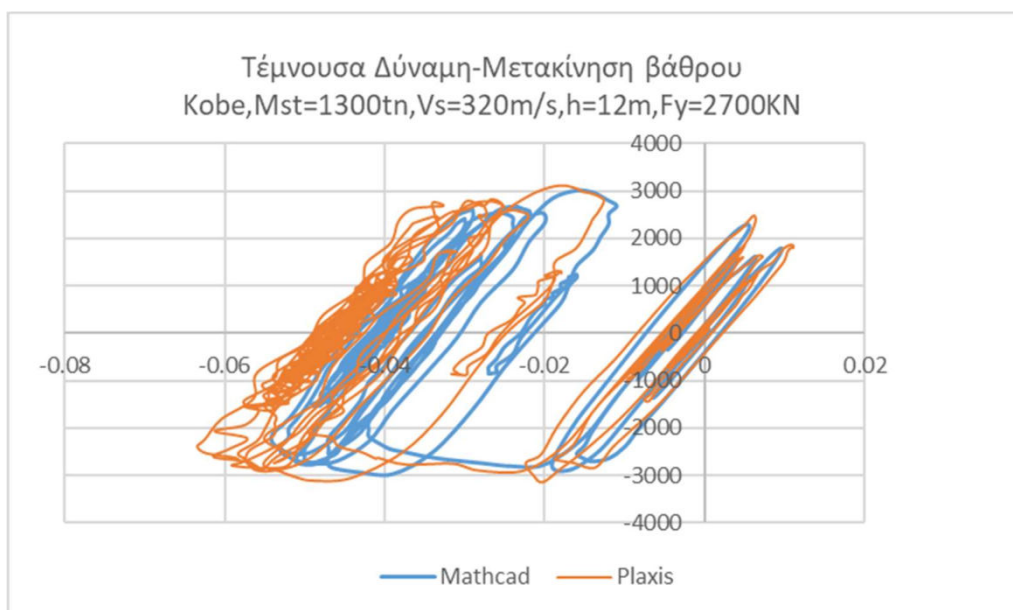
Σχήμα 4.55 Βρόγχος απόλυτης επιτάχυνσης-μετακίνησης βάρου για τον Kobe-Ανελαστικός Ταλαντωτής- $\hat{h} = 1.2, \hat{\sigma} = 0.17, \hat{m} = 0.42$



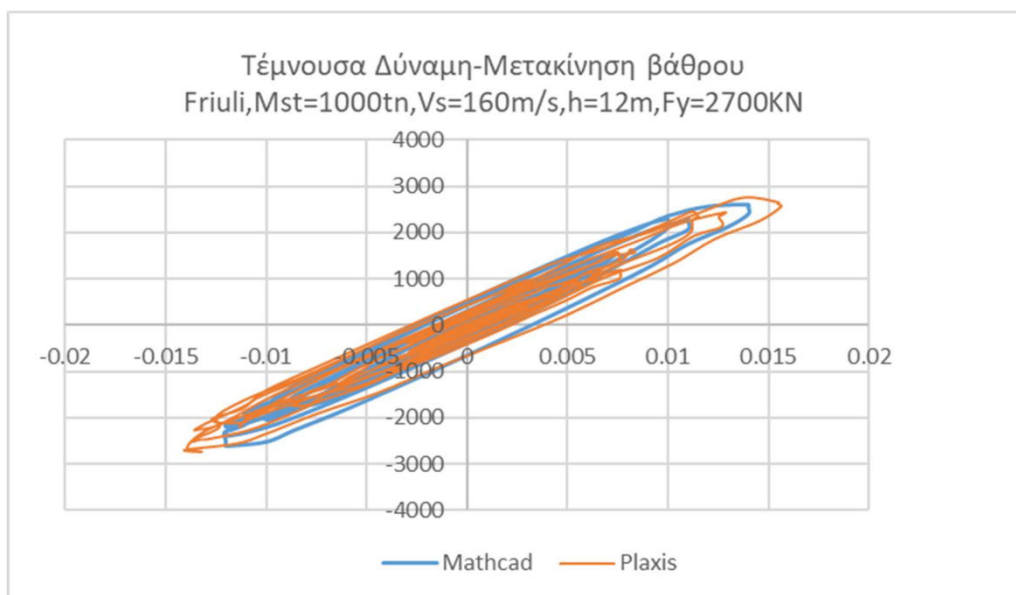
Σχήμα 4.55 Βρόγχος απόλυτης επιτάχυνσης-μετακίνησης βάρου για τον Kobe-Ανελαστικός
Ταλαντωτής- $\hat{h} = 1.2, \hat{\sigma} = 0.086, \hat{m} = 0.42$



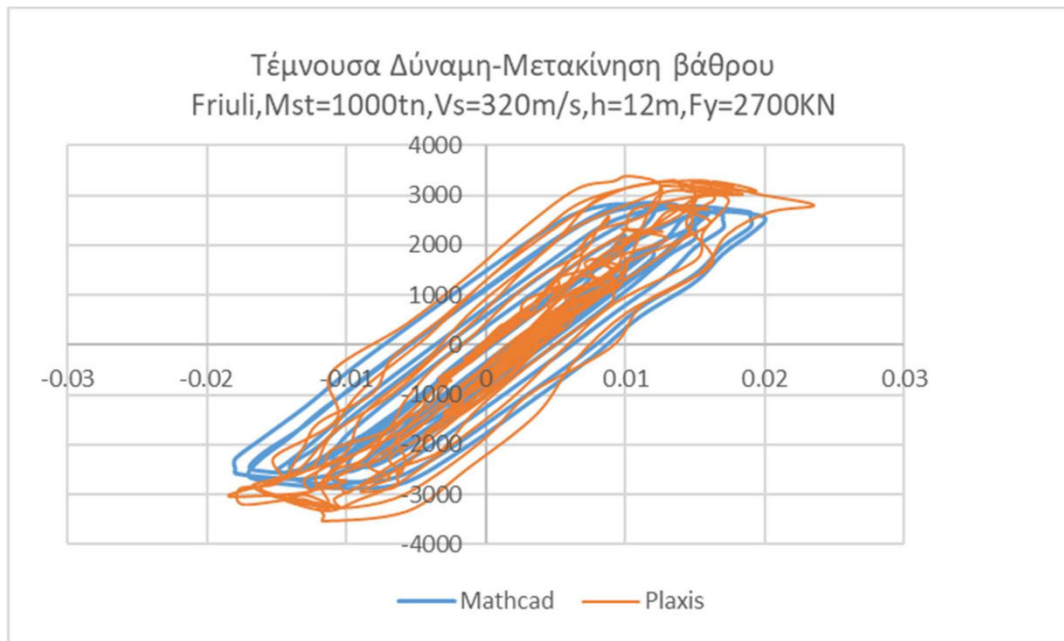
Σχήμα 4.56 Βρόγχος απόλυτης επιτάχυνσης-μετακίνησης βάρου για τον Kobe-Ανελαστικός
Ταλαντωτής- $\hat{h} = 1.2, \hat{\sigma} = 0.15, \hat{m} = 0.54$



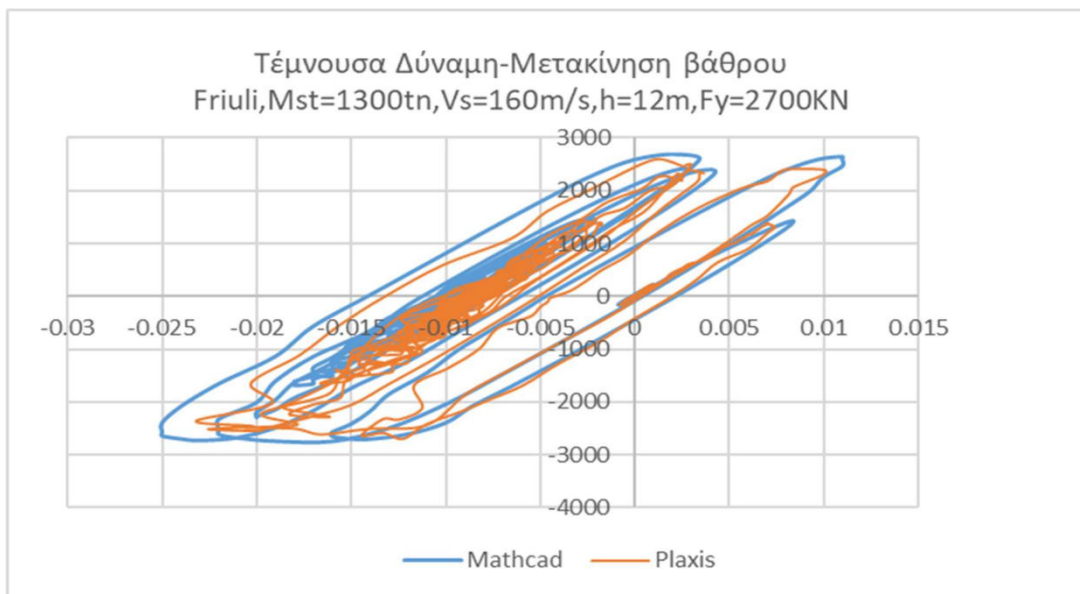
Σχήμα 4.57 Βρόγχος απόλυτης επιτάχυνσης-μετακίνησης βάρου για τον Kobe-Ανελαστικός
Ταλαντωτής- $\hat{h} = 1.2, \hat{\sigma} = 0.075, \hat{m} = 0.54$



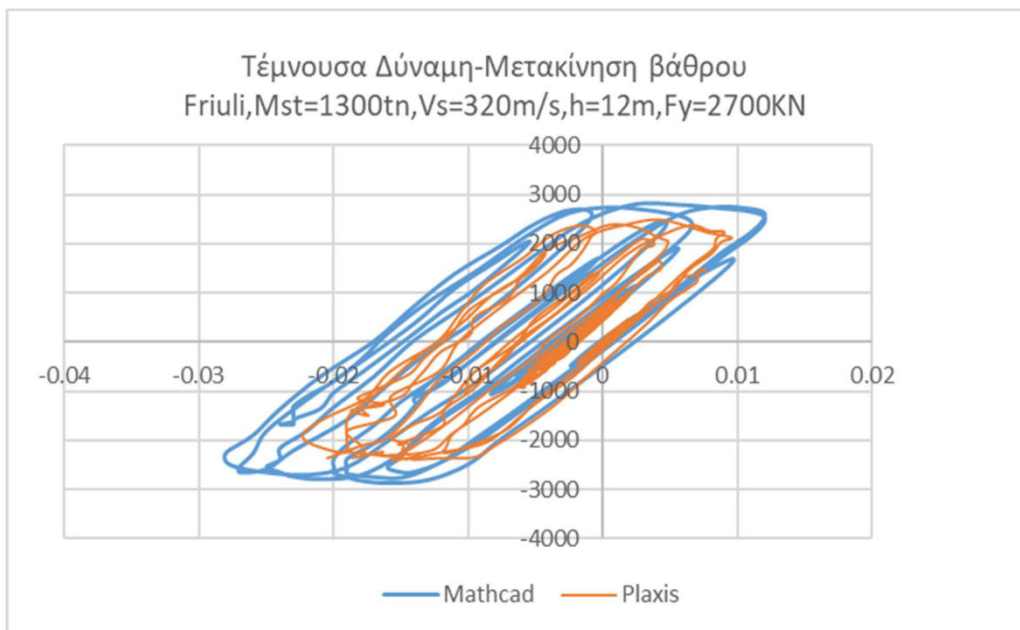
Σχήμα 4.58 Βρόγχος απόλυτης επιτάχυνσης-μετακίνησης βάρου για τον Friuli-Ανελαστικός
Ταλαντωτής- $\hat{h} = 1.2, \hat{\sigma} = 0.17, \hat{m} = 0.42$



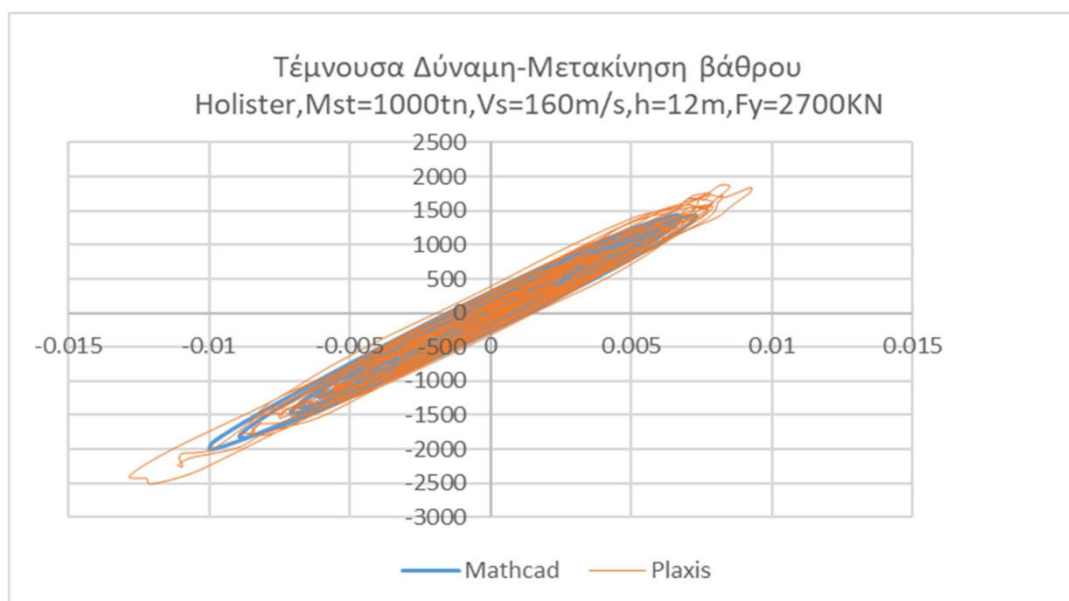
Σχήμα 4.59 Βρόγχος απόλυτης επιτάχυνσης-μετακίνησης βάρου για τον Friuli-Ανελαστικός
Ταλαντωτής- $\hat{h} = 1.2, \hat{\sigma} = 0.086, \hat{m} = 0.42$



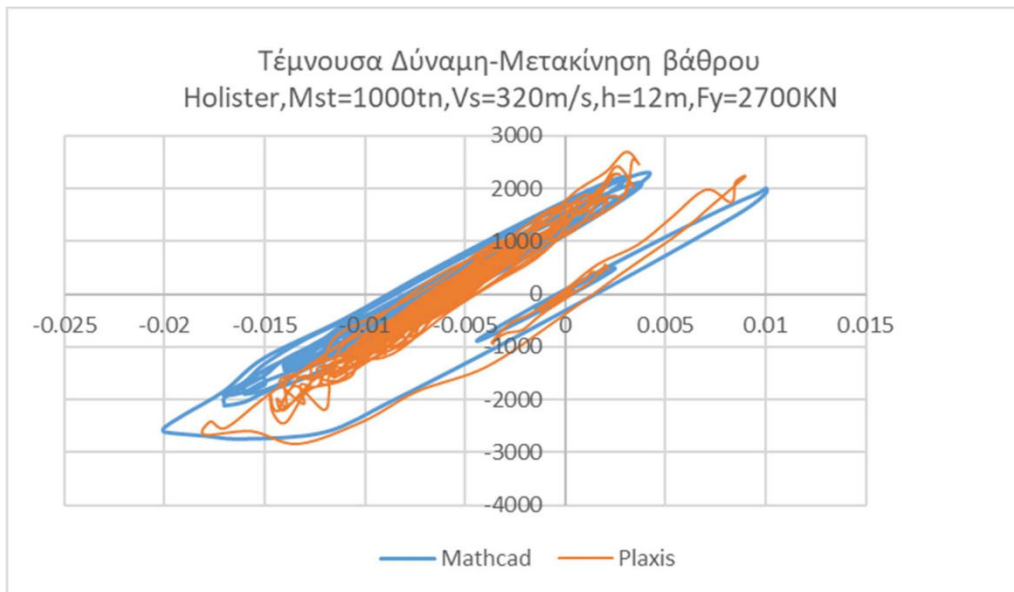
Σχήμα 4.60 Βρόγχος απόλυτης επιτάχυνσης-μετακίνησης βάρου για τον Friuli-Ανελαστικός
Ταλαντωτής- $\hat{h} = 1.2, \hat{\sigma} = 0.15, \hat{m} = 0.54$



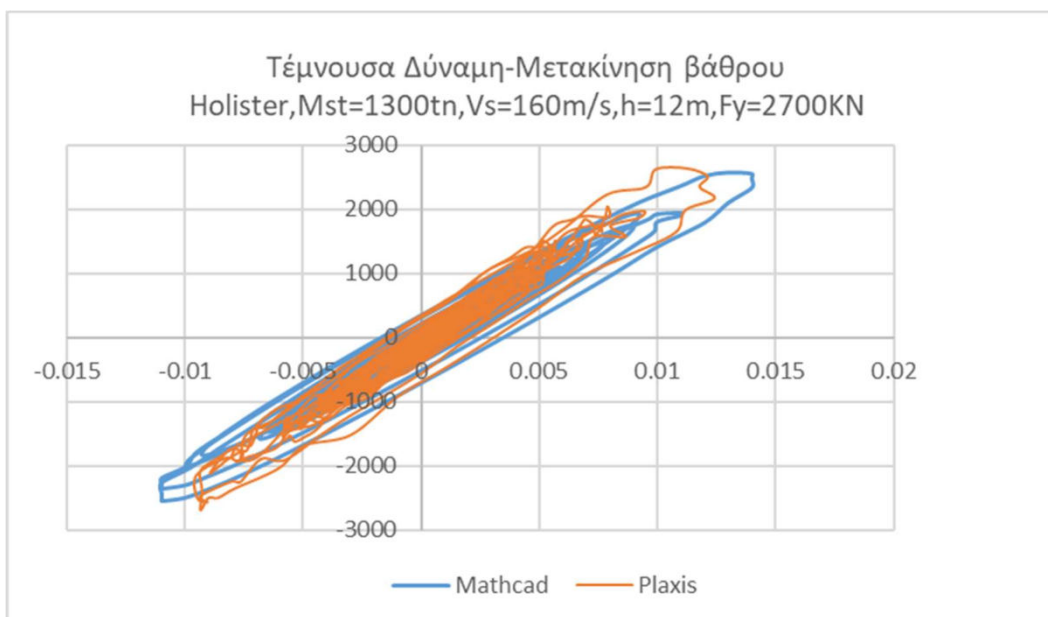
Σχήμα 4.61 Βρόγχος απόλυτης επιτάχυνσης-μετακίνησης βάρου για τον Friuli-Ανελαστικός Ταλαντωτής- $\hat{h} = 1.2$, $\hat{\sigma} = 0.075$, $\hat{m} = 0.54$



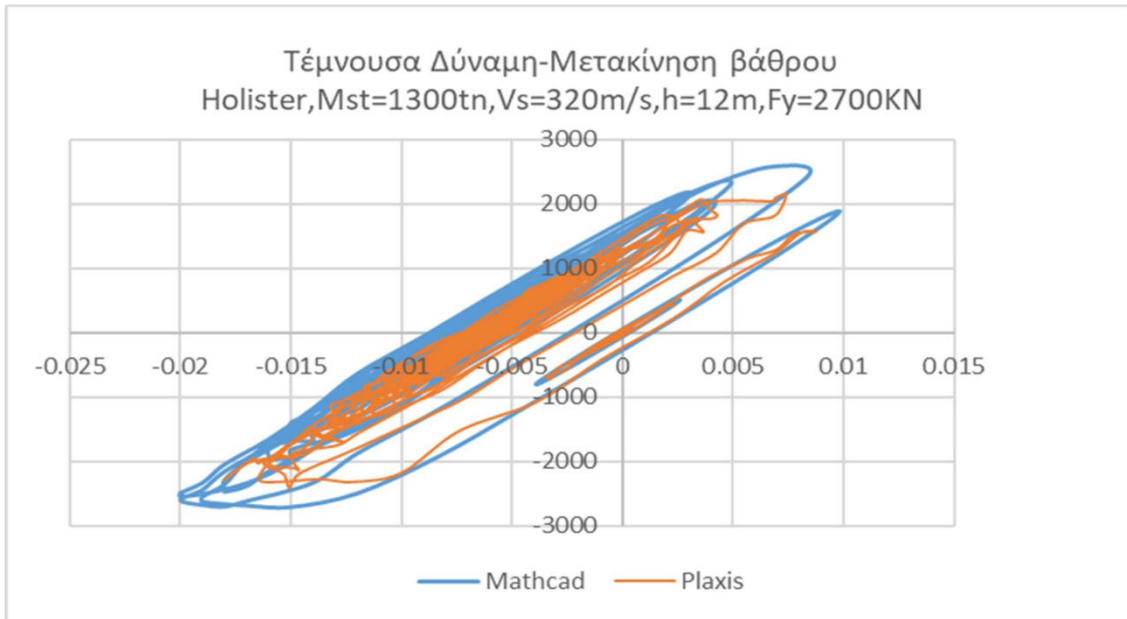
Σχήμα 4.62 Βρόγχος απόλυτης επιτάχυνσης-μετακίνησης βάρου για τον Holister-Ανελαστικός Ταλαντωτής- $\hat{h} = 1.2$, $\hat{\sigma} = 0.17$, $\hat{m} = 0.42$



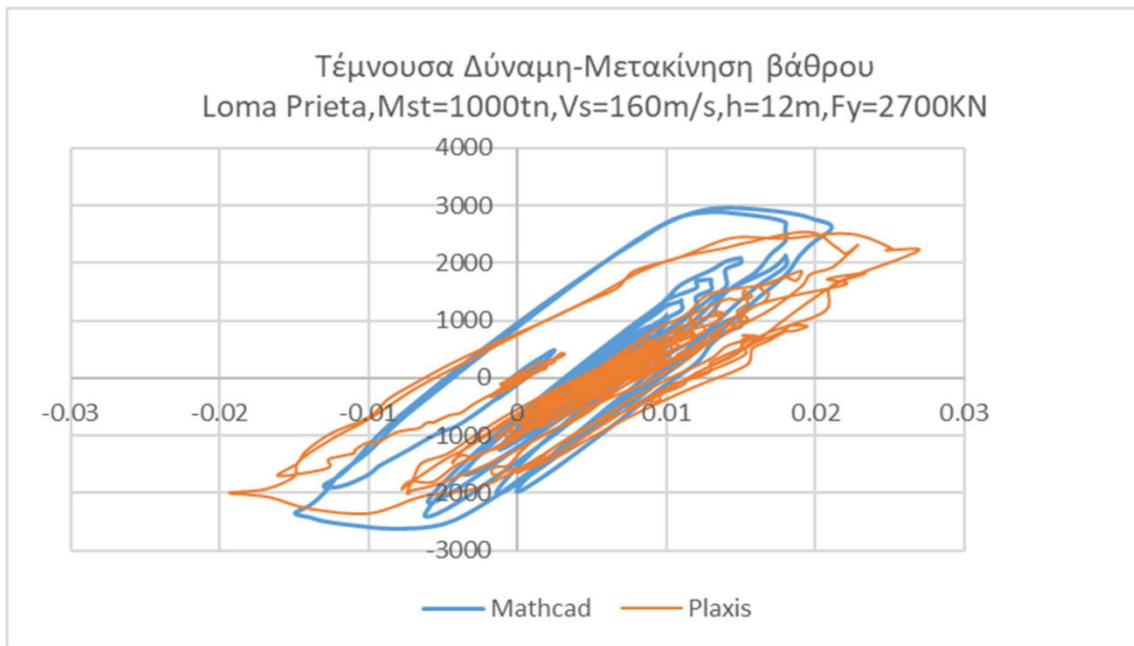
Σχήμα 4.63 Βρόγχος απόλυτης επιτάχυνσης-μετακίνησης βάρου για τον Holister-Ανελαστικός Ταλαντωτής- $\hat{h} = 1.2, \hat{\sigma} = 0.086, \hat{m} = 0.42$



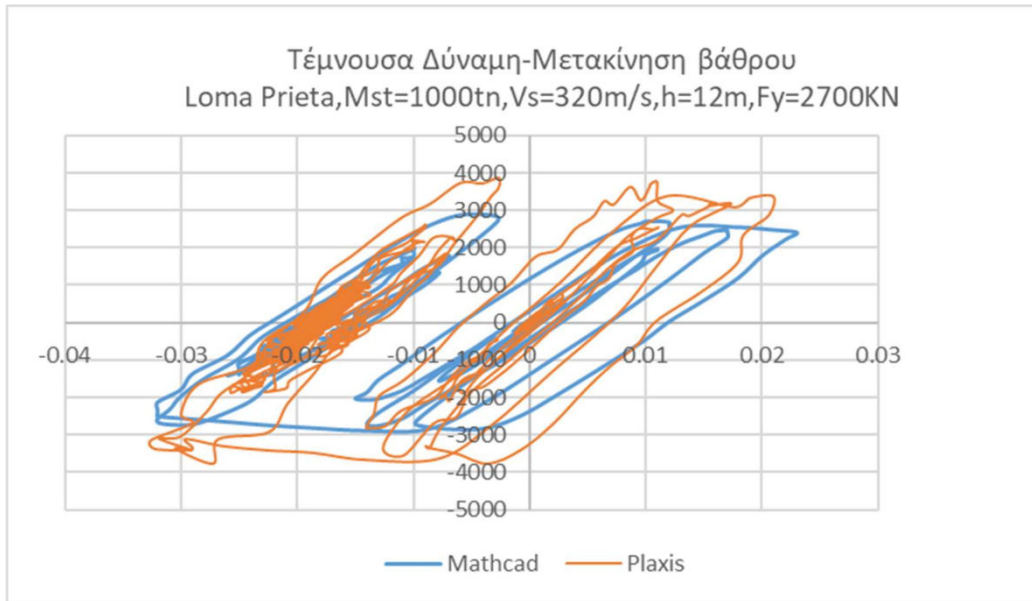
Σχήμα 4.64 Βρόγχος απόλυτης επιτάχυνσης-μετακίνησης βάρου για τον Holister-Ανελαστικός Ταλαντωτής- $\hat{h} = 1.2, \hat{\sigma} = 0.15, \hat{m} = 0.54$



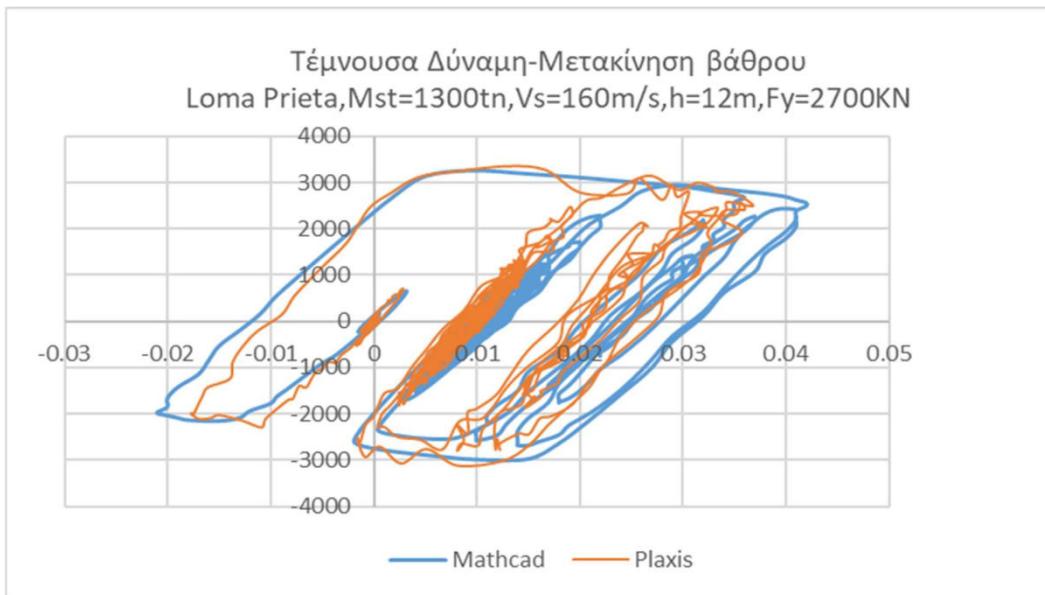
Σχήμα 4.65 Βρόγχος απόλυτης επιτάχυνσης-μετακίνησης βάρου για τον Holister-Ανελαστικός Ταλαντωτής- $\hat{h} = 1.2$, $\hat{\sigma} = 0.075$, $\hat{m} = 0.54$



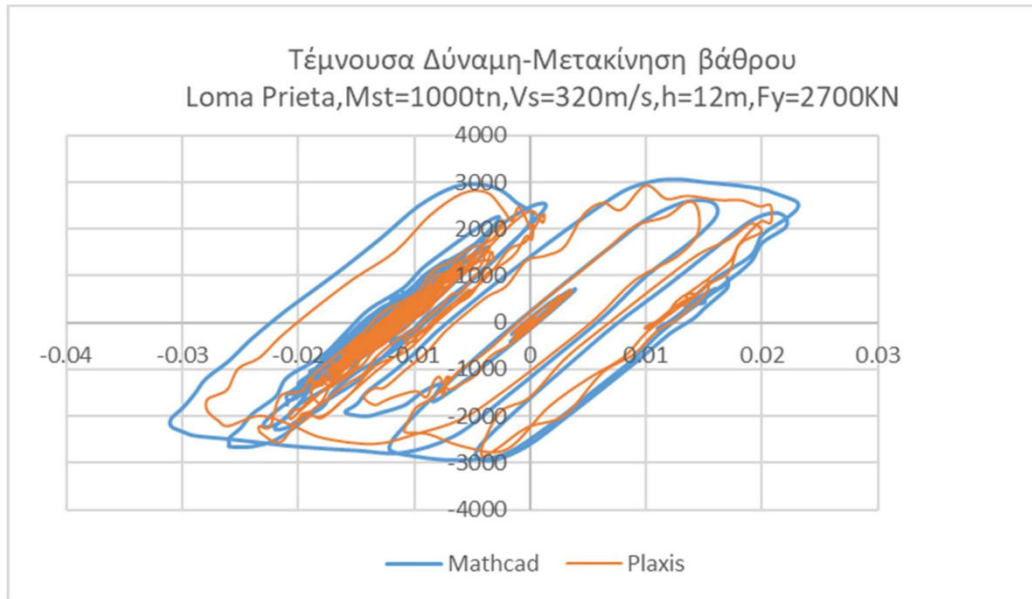
Σχήμα 4.66 Βρόγχος απόλυτης επιτάχυνσης-μετακίνησης βάρου για τον Loma Prieta-Ανελαστικός Ταλαντωτής- $\hat{h} = 1.2$, $\hat{\sigma} = 0.17$, $\hat{m} = 0.42$



Σχήμα 4.67 Βρόγχος απόλυτης επιτάχυνσης-μετακίνησης βάρου για τον Loma Prieta-Ανελαστικός Ταλαντωτής- $\hat{h} = 1.2, \hat{\sigma} = 0.086, \hat{m} = 0.42$



Σχήμα 4.68 Βρόγχος απόλυτης επιτάχυνσης-μετακίνησης βάρου για τον Loma prieta-Ανελαστικός Ταλαντωτής- $\hat{h} = 1.2, \hat{\sigma} = 0.15, \hat{m} = 0.54$



Σχήμα 4.69 Βρόγχος απόλυτης επιτάχυνσης-μετακίνησης βάρου για τον Loma prieta-Ανελαστικός
Ταλαντωτής- $\hat{h} = 1.2$, $\hat{\sigma} = 0.075$, $\hat{m} = 0.54$

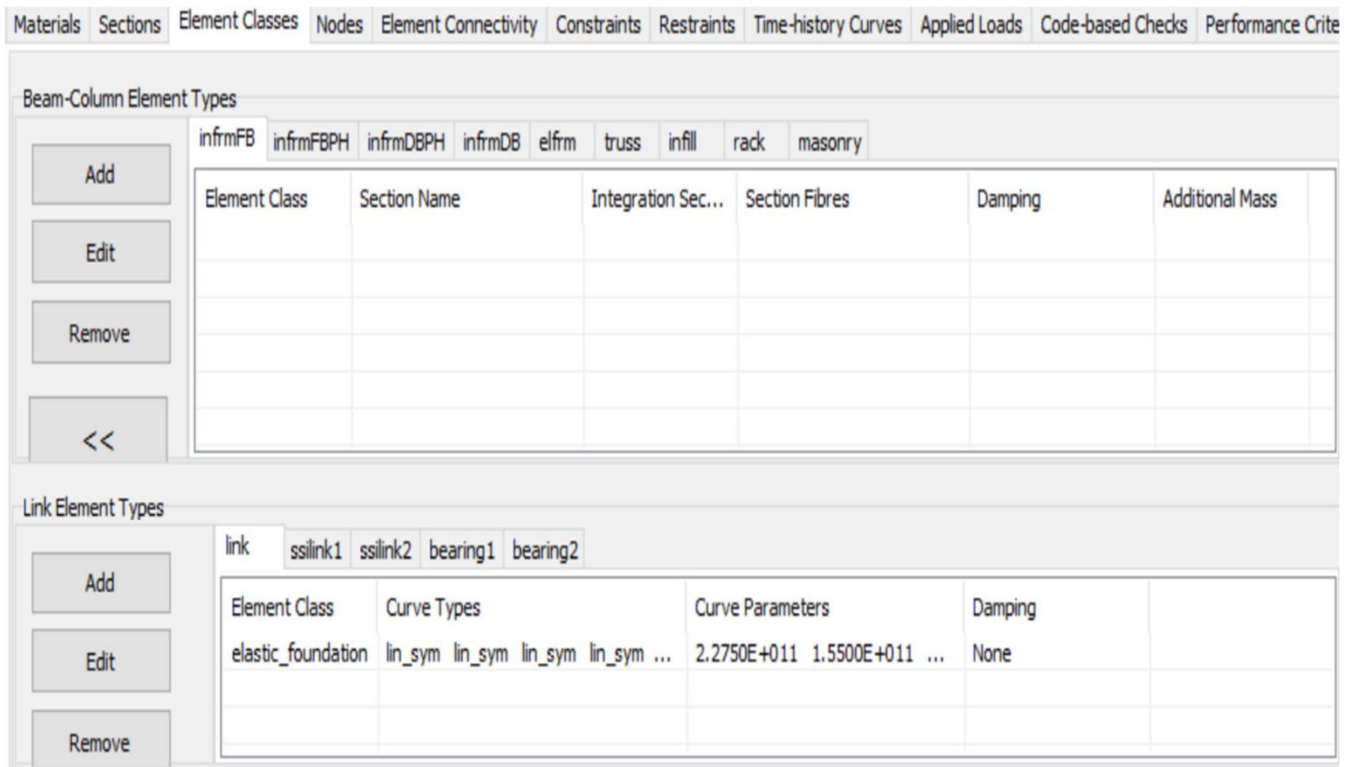
4.3 Επιβεβαίωση των μακροστοιχείων για την συμπεριφορά του ελαστικού και ανελαστικού ταλαντωτή επί ελαστικού εδάφους με το Seismostruct.

Για την προσομοίωση της εδαφικής στρώσης στο Seismostruct θα εισάγουμε γραμμικώς ελαστικά ελατήρια και αποσβεστήρες με τιμές που φαίνονται στον παρακάτω πίνακα για κάθε σεισμό.

Πίνακας 4.3

			b=5m	Vs=160m/s	Gs=51300KPa	ρs=2tn/m3	fs=2Hz	fc=3.1Hz
ΣΕΙΣΜΟΙ	kh	kr	ch	cr	KH	KR	CH	CR
Sakarya	0.84	0.93	0.28	0	1.302*10 ⁶	3.214*10 ⁷	8.969*10 ³	0
Northridge	0.85	0.93	0.2	0	1.317*10 ⁶	3.214*10 ⁷	6.406*10 ³	0
Kobe	0.86	0.92	0.34	0	1.317*10 ⁶	3.214*10 ⁷	1.089*10 ⁴	0
Friuli	0.91	0.90	0.78	0	1.41*10 ⁶	3.111*10 ⁷	2.498*10 ⁴	0
Holister	0.82	0.94	0.08	0	1.271*10 ⁶	3.249*10 ⁷	2.562*10 ³	0
Loma Prieta	0.82	0.94	0.11	0	1.271*10 ⁶	3.249*10 ⁷	3.523*10 ³	0
Trinidad	0.8	0.87	0.905	0.17	1.24*10 ⁶	3.017*10 ⁷	2.915*10 ⁴	7.016*10 ⁴

Για την εισαγωγή των ελατηρίων επιλέγουμε απο την καρτέλα Element Classes→Link Element types→Add Link



Έπειτα επιλέγουμε το μοντέλο linear_symmetric και κατά τις διευθύνσεις των τοπικών αξόνων 3,2 εισάγονται οι τιμές KH,KR αντίστοιχα.

Help Element Class:

Element Type:

Curve Types

F1

F2

F3

M1

M2

M3

Automatically Mesh Element

Curve Parameters

F1 Parameter(s)

F2 Parameter(s)

F3 Parameter(s)

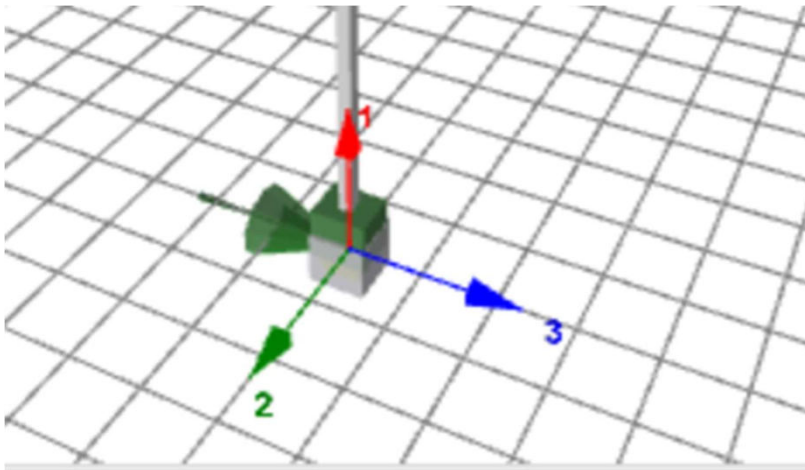
M1 Parameter(s)

M2 Parameter(s)

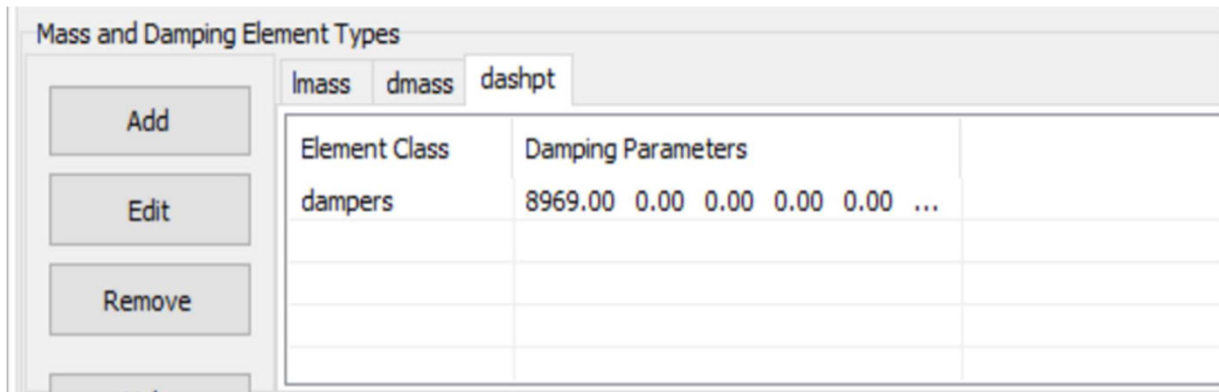
M3 Parameter(s)

Ok

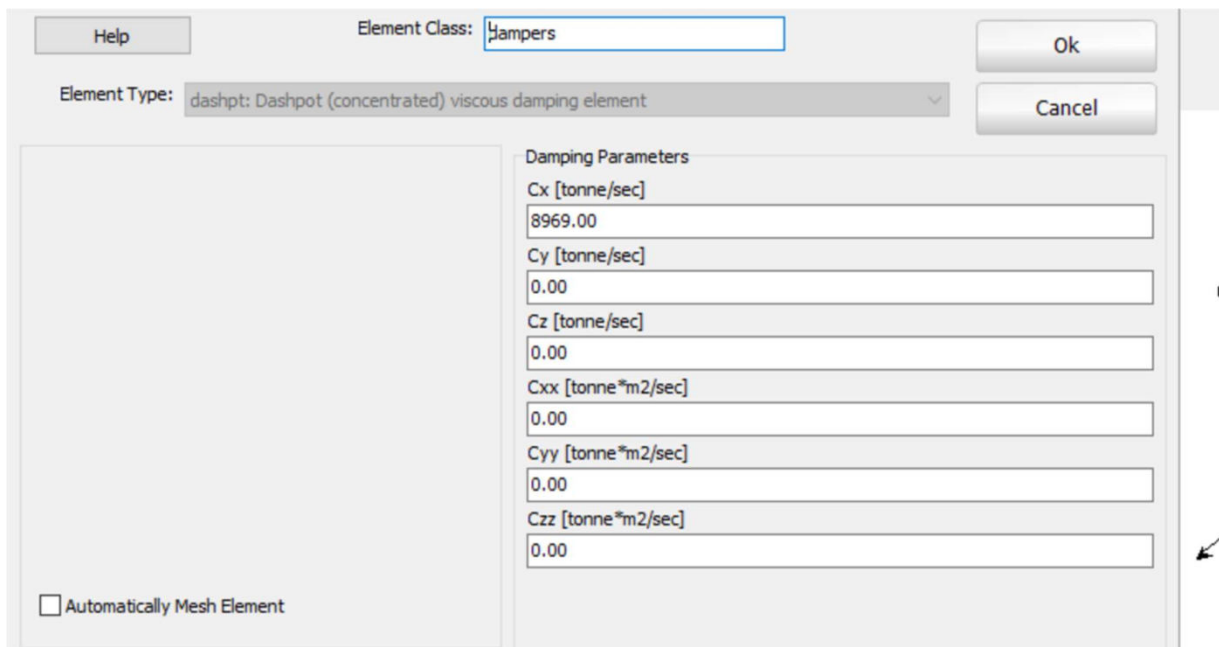
Cancel



Για τους αποσβεστήρες επιλέγουμε από την καρτέλα Element Classes→Mass and damping Element types→dashpot



Οι απόσβεσεις λόγω ακτινοβολίας CH,CR εισάγονται κατά τις διευθύνσεις x,y ως Cx και Cy αντίστοιχα.



Επιπλέον για λόγους μοντελοποίησης του προγράμματος πρέπει να επιλέξουμε απο την καρτέλα nodes έναν επιπλέον κόμβο n1* , ο οποίος συμπίπτει με τον κόμβο n1 στην βάση του μοντέλου,για εισαχθούν τα ελατήρια και οι αποσβεστήρες στις άκρες των κόμβων που συμπίπτουν.Επιπλέον εισάγεται και ένας non structural κόμβος που ελέγχει την διεύθυνση των τοπικών αξόνων του μοντέλου.

Node Name	X	Y	Z	Type
n1	0.00000	0.00000	0.00000	structural
n2	0.00000	0.00000	12.00000	structural
n1*	0.00000	0.00000	0.00000	structural
n2_ns	1.00000	0.00000	12.00000	non-structural

Έπειτα απο την καρτέλα Element Connectivity γίνεται η σύνδεση των ελατηρίων με τους κόμβους του μοντέλου.

Τόσο τα ελατήρια όσο και οι αποσβεστήρες ενώνονται στους n1*-n1, με προσανατολισμό τους n2-n2_ns αντίστοιχα.

Element End Nodes

Node 1: ...

Node 2: ...

Element Orientation

Define by Rotation Angle

Rotation Angle

Define by Additional Nodes

Orientation Node 1: ...

Orientation Node 2: ...

Activation Time/L.F.

Deactivation Time/L.F.

Display Margins

X-expand

Y-expand

Z-expand

Τέλος δεσμεύεται πλήρως ο κόμβος n1* στον οποίο γίνεται και η εισαγωγή του επιταχυνσιογραφήματος.

Node Name	Restrains
n1	
n2	
n1*	x+y+z+rx+ry+rz
n2_ns	non-structural

Nodal Loads					
	Category	Node Name	Direction	Type	Value
Add	Dynamic Time-hi...	n1*	x	acceleration	1.00
Edit					
Remove					
Incrementation					
Help					

Το γράφημα του σεισμού που εισάγεται είναι το free-field-motion (FFM) όπως και στην περίπτωση του μακροστοιχείου. Για την επίλυση του δυναμικού προβλήματος χρησιμοποιείται η μέθοδος Newmark με $\alpha=0.25$, $\beta=0.5$.

4.3.1 Ελαστικός ταλαντωτής

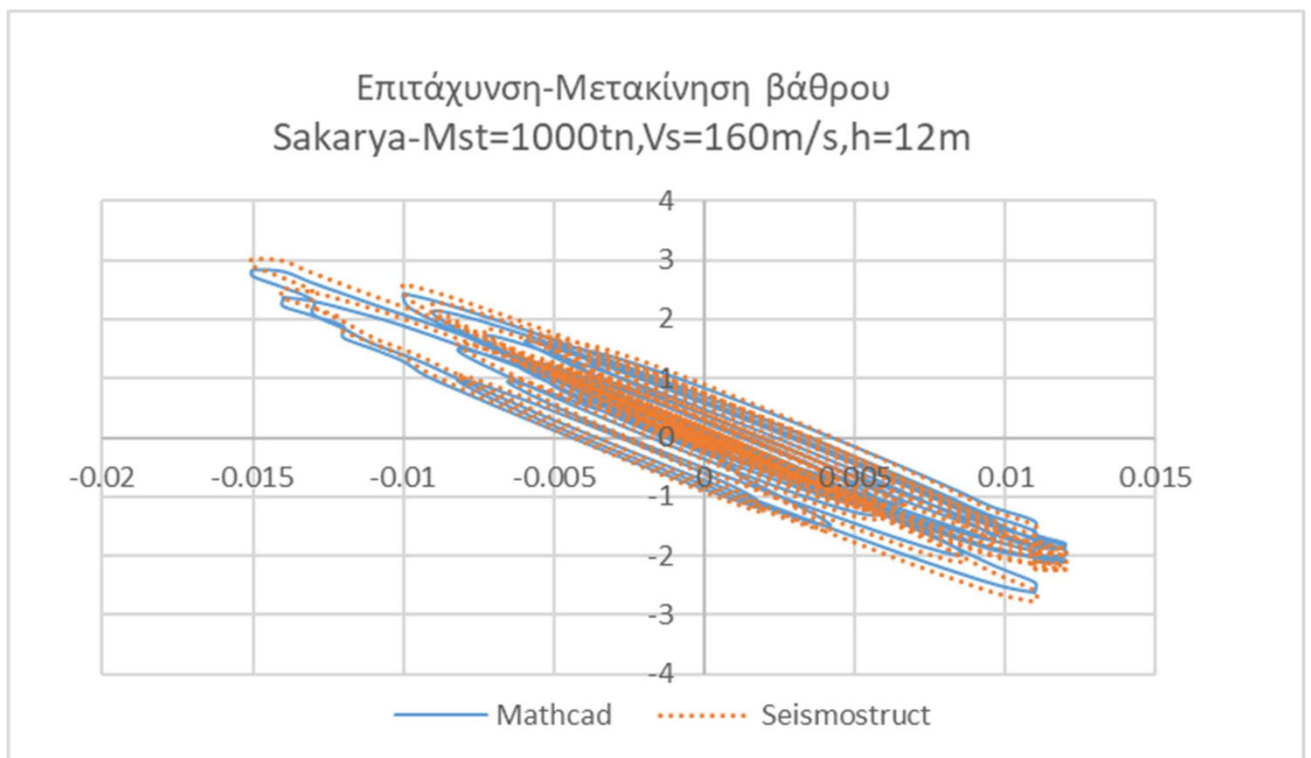
Για την επαλήθευση του μοντέλου με το μακροστοιχείο θα χρησιμοποιηθεί ο ταλαντωτής:

• Κυκλικό υποστύλωμα διαμέτρου $d=3\text{m}$, ύψους $h=12\text{m}$, με ροπή αδράνειας $I = \frac{\pi}{64} d^4 = 3.977\text{m}^4$, $E = 30 * 10^6 \text{kPa}$, ηδυσκαμψία $K = \frac{3EI}{h^3} = 2.071 * 10^5 \text{KN/m}$

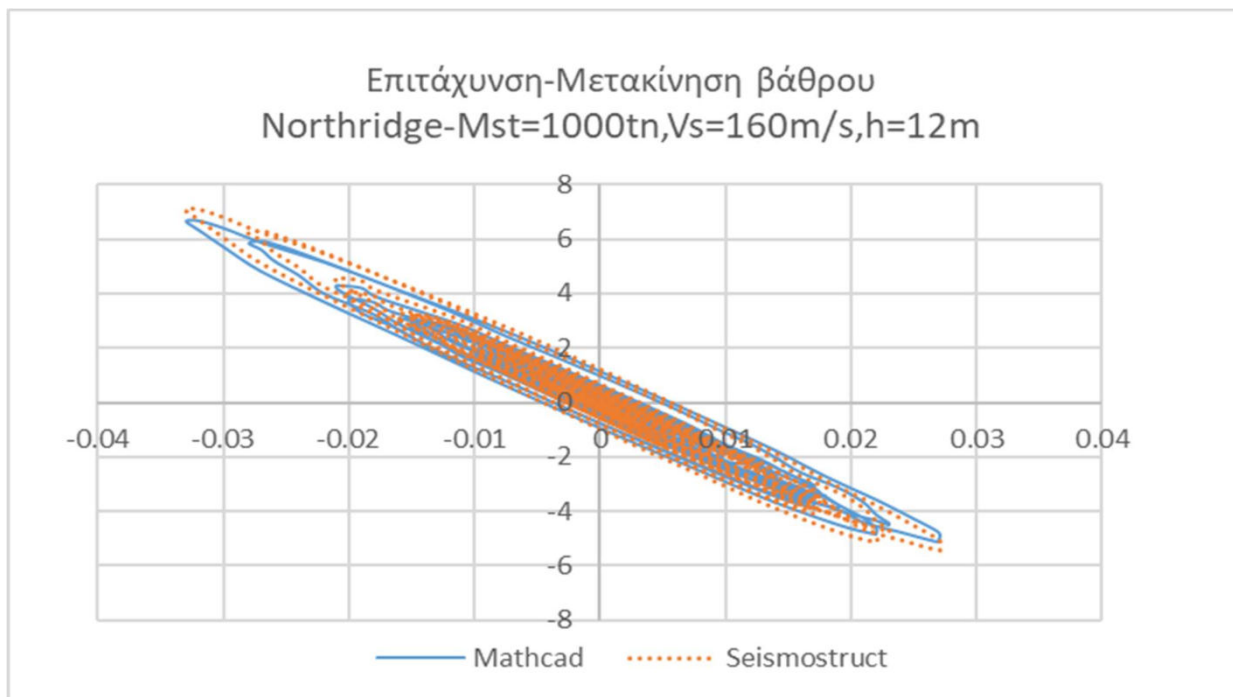
• Μάζα συγκεντρωμένη στην κορυφή του υποστυλώματος $Mst=1000\text{tn}$

$$• T_{st} = 2\pi \sqrt{\frac{Mst}{K}} = 0.437$$

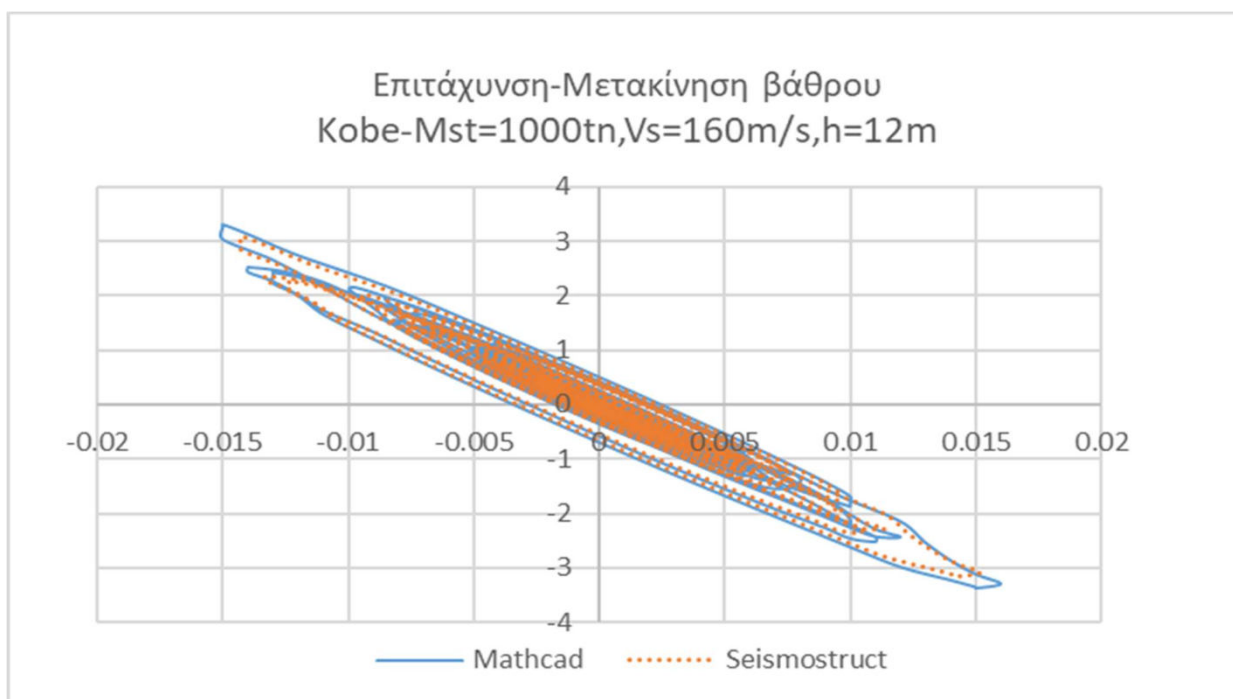
Ενώ για τα ελατηρία και τους αποσβεστήρες θα πάρουμε τις τιμές του Πίνακα 4.3.



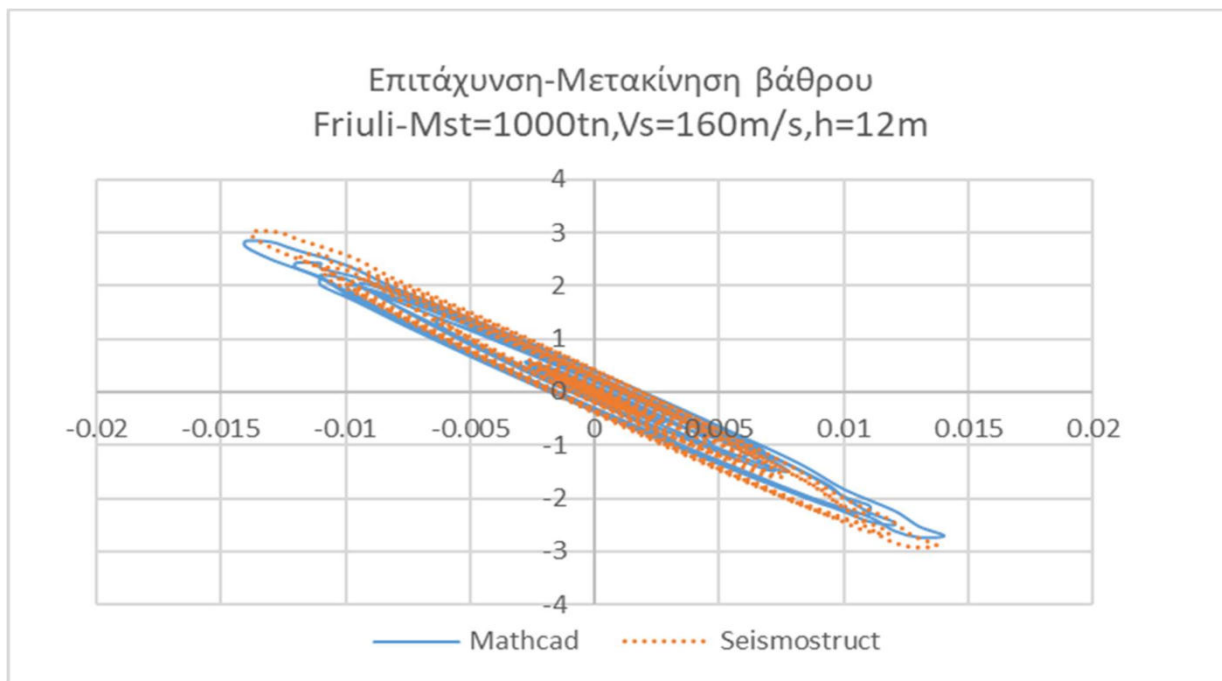
Σχήμα 4.70 Βρόγχος επιτάχυνσης-μετακίνησης βάθρου για την Sakarya-Seismostruct



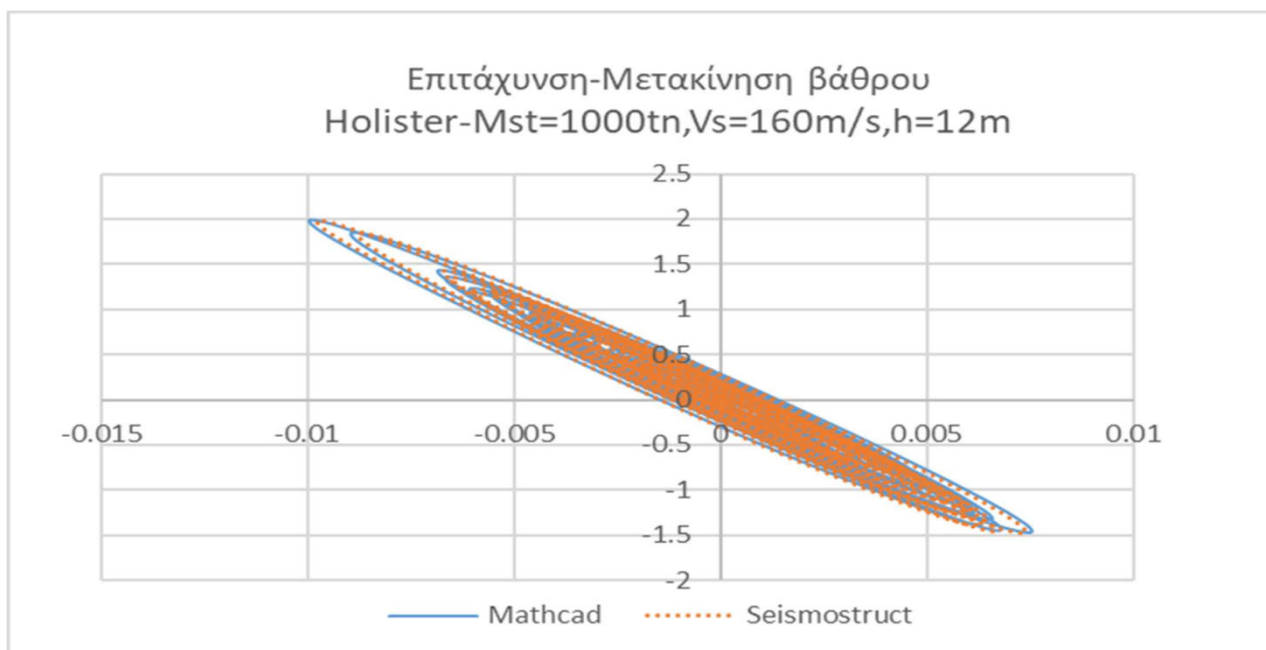
Σχήμα 4.71 Βρόγχος επιτάχυνσης-μετακίνησης βάρου για τον Northridge-Seismostruct



Σχήμα 4.72 Βρόγχος επιτάχυνσης-μετακίνησης βάρου για τον Kobe-Seismostruct

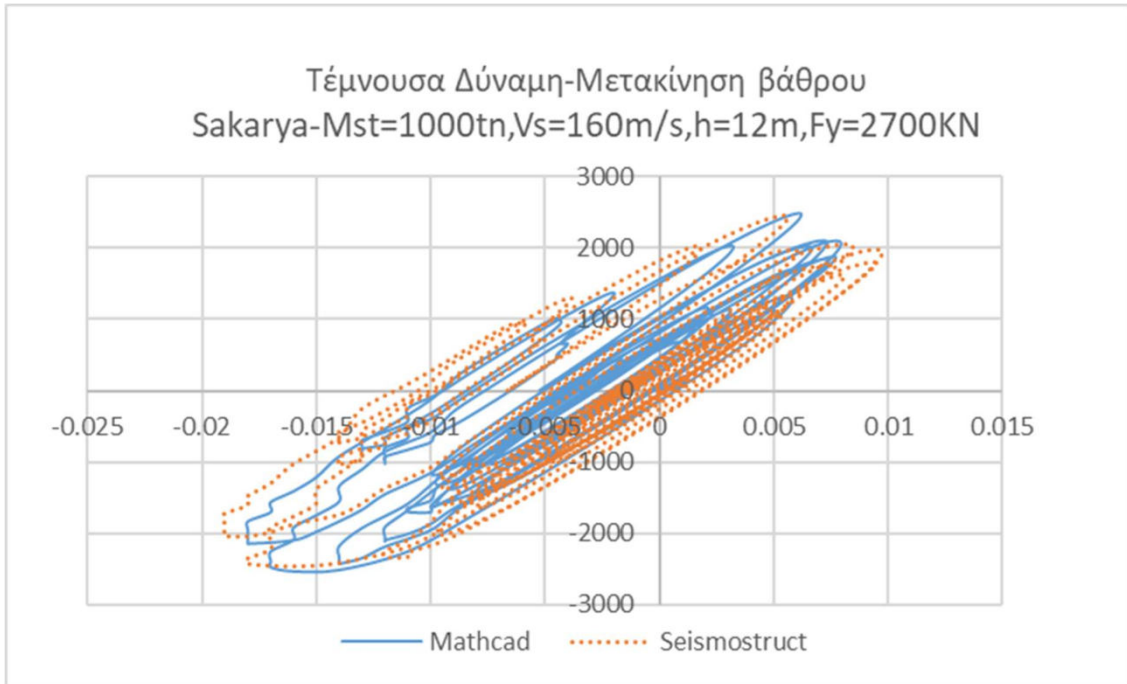


Σχήμα 4.73 Βρόγχος επιτάχυνσης-μετακίνησης βάρου για τον Friuli-Seismostruct

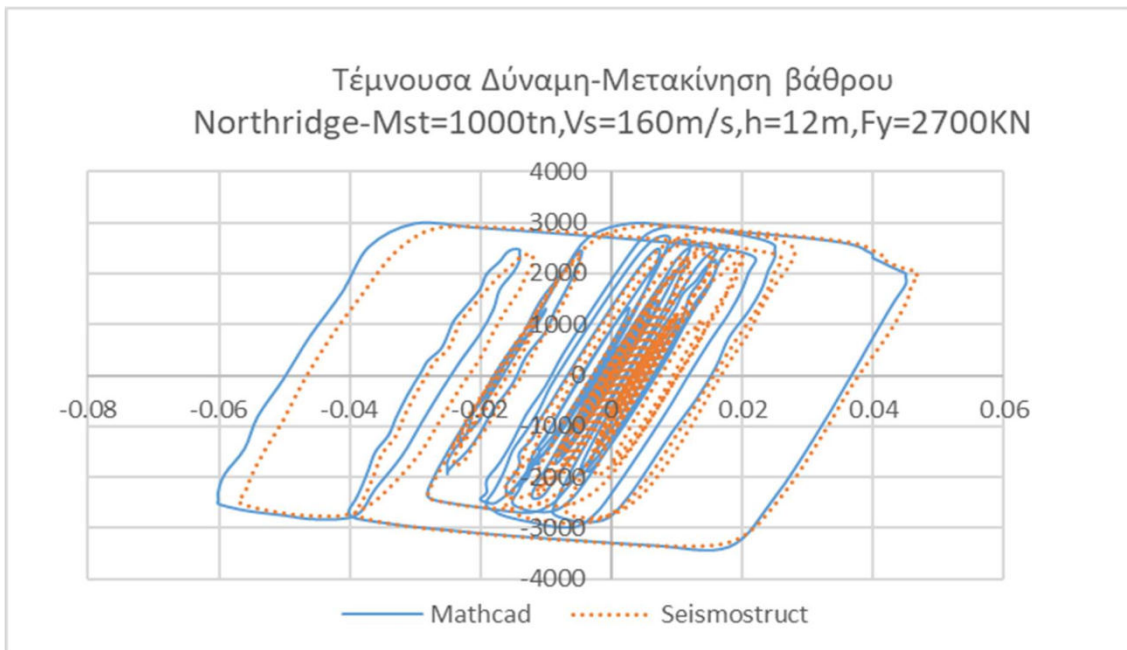


Σχήμα 4.74 Βρόγχος επιτάχυνσης-μετακίνησης βάρου για τον Holister-Seismostruct

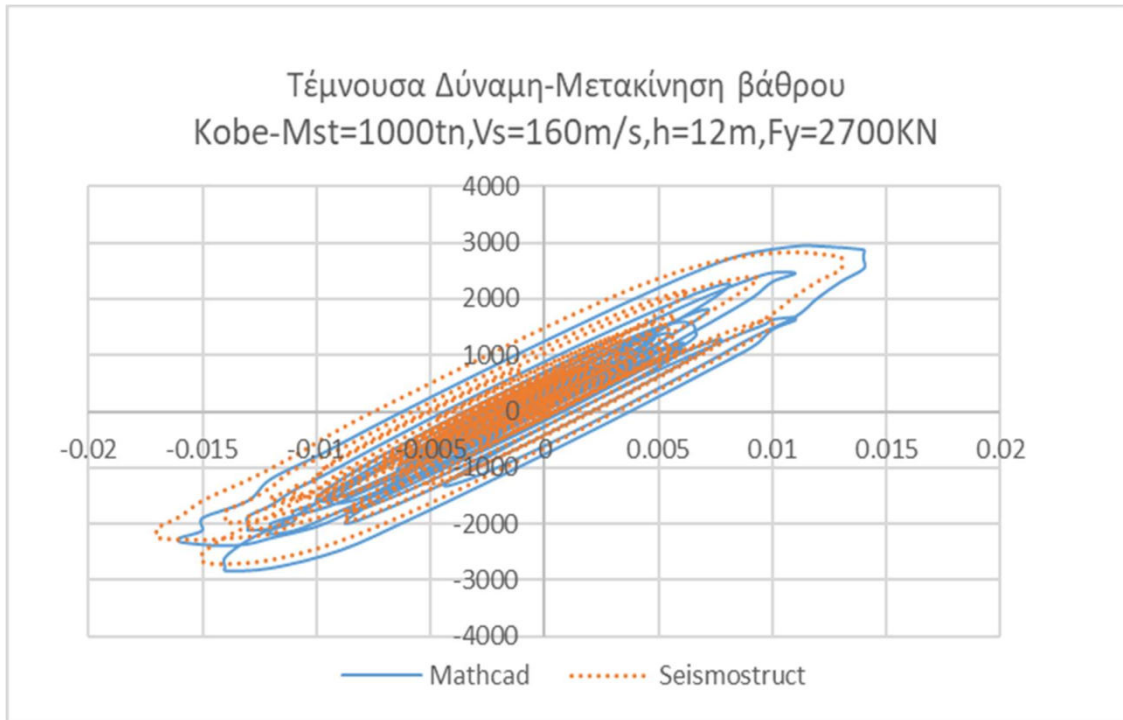
4.3.2 Ανελαστικός ταλαντωτής



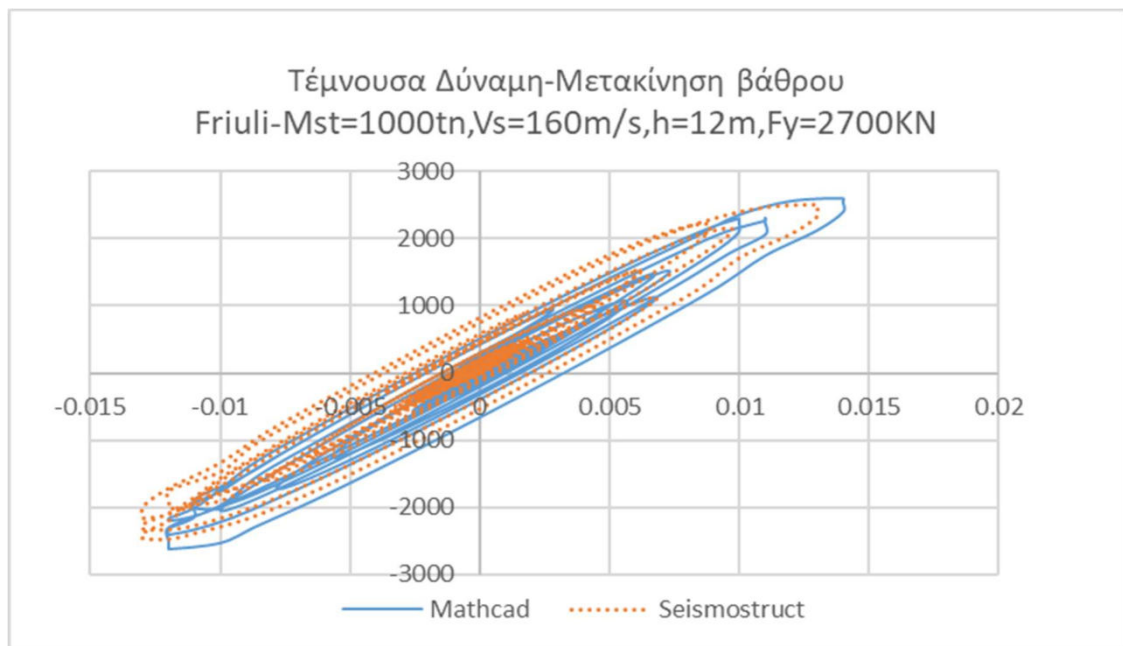
Σχήμα 4.75 Βρόγχος Δύναμης-μετακίνησης βάρου για τον Sakarya



Σχήμα 4.76 Βρόγχος Δύναμης-μετακίνησης βάρου για τον Northridge



Σχήμα 4.77 Βρόγχος Δύναμης-μετακίνησης βάρου για τον Kobe



Σχήμα 4.78 Βρόγχος Δύναμης-μετακίνησης βάρου για τον Friuli

4.4 Κατασκευή μακροστοιχείου για τον υπολογισμό του ελαστικού φάσματος απόκρισης με συνυπολογισμό της εδαφικής ενδοσιμότητας.

Τόσο το Plaxis όσο και το Seismostruct δεν δίνουν την δυνατότητα υπολογισμού των ελαστικών φασμάτων απόκρισης του ταλαντωτή για δεδομένη σεισμική διέγερση. Επομένως θα πρέπει να γίνει τροποποίηση του αλγορίθμου που αναπτύχθηκε στο κεφάλαιο 4.1.3.

Ο αλγόριθμος θα δίνει την δυνατότητα εξαγωγής των φασμάτων σε μορφή:

- Μέγιστης μετακίνησης του βάθρου συναρτήσει της πακτωμένης ιδιοπεριόδου του ταλαντωτή(max(ustr)-Tst).
- Απόλυτη επιτάχυνση στην κορυφή του ταλαντωτή συναρτήσει της πακτωμένης ιδιοπεριόδου (max(a)-Tst)
- Φάσματα σε μορφή ADRS (Απόλυτη επιτάχυνση-Μέγιστη μετακίνηση του βάθρου).(SA-max(ustr)). Στην περίπτωση αυτή οι ακτινικές γραμμές που διέρχονται από την αρχή των αξόνων και έχουν κλίση SA/max(ustr) αντιστοιχούν σε μια σταθερή πακτωμένη ιδιοπερίοδο του ταλαντωτή.

Για την δημιουργία του αλγορίθμου ακολουθείται η εξής διαδικασία:

- Σαρώνονται διάφορες πακτωμένοι ιδιοπεριόδοι του συστήματος με τιμές από 0.16s έως 2.5s.
- Υπολογίζεται η κυκλική συχνότητα $\omega = \frac{2\pi}{Tst}$
- Διατηρώντας σταθερή την μάζα του ταλαντωτή ,αλλάζουμε την δυσκαμψία του ταλαντωτή και συνεπώς το ύψος του.

$$Kst = \frac{4 \pi^2 Mst}{Tst^2} \text{ και } h = \sqrt[3]{\frac{3EI}{Kst}}$$

- Λόγω της αλλαγής της συχνότητας θα αλλάξει και ο συντελεστής απόσβεσης της μάζας:

$$\alpha_0 = 2 \xi \omega$$

- Για κάθε ιδιοπερίοδο πραγματοποιείται ελαστική ανάλυση μέσω του μακροστοιχείου και υπολογίζεται η μέγιστη επιτάχυνση στην κορυφή του ταλαντωτή καθώς και η μέγιστη μετακίνηση του βάθρου.

Επιπλέον για κάθε σεισμική διέγερση είναι απαραίτητο να χρησιμοποιηθούν οι συντελεστές δυναμικής δυσκαμψίας και απόσβεσης ακτινοβολίας.Ο κώδικας στο mathcad φαίνεται παρακάτω.

```

utot := for j = 0..Mm
  Tst_j ← 0.1 +  $\frac{2.5 - 0.1}{Mm} \cdot (Mm - j)$ 
   $\omega_j \leftarrow 2 \cdot \frac{\pi}{Tst_j}$ 
   $Kst_j \leftarrow \frac{4 \cdot \pi^2 \cdot Mst}{(Tst_j)^2}$ 
   $h_j \leftarrow \left( \frac{3 \cdot E \cdot I}{Kst_j} \right)^{\frac{1}{3}}$ 
  a0_j ← 2 · ξst · ω_j
  ub_1 ← 0
  ωb_1 ← 0
  u_1 ← 0
  ωb_0 ← 0
  ωb_0 ← 0
  u_0 ← 0

```

$$Kd \leftarrow \frac{1}{dt^2} \begin{pmatrix} \frac{Mst}{100} & 0 & 0 \\ 0 & \frac{Mst}{100} & 0 \\ 0 & 0 & Mst \end{pmatrix} + \frac{1}{2 \cdot dt} \begin{pmatrix} a0_j \cdot \frac{Mst}{100} + CH & 0 & 0 \\ 0 & a0_j \cdot \frac{Mst}{100} + CR & 0 \\ 0 & 0 & a0_j \cdot Mst \end{pmatrix}$$

for i = 1..Nt

$$Pd \leftarrow \begin{pmatrix} KH & 0 & 0 \\ 0 & KR & 0 \\ 0 & 0 & 0 \end{pmatrix} \begin{pmatrix} uk_i \\ 0 \\ 0 \end{pmatrix} + \begin{pmatrix} CH & 0 & 0 \\ 0 & CR & 0 \\ 0 & 0 & 0 \end{pmatrix} \begin{pmatrix} vk_i \\ 0 \\ 0 \end{pmatrix} - \frac{1}{dt^2} \begin{pmatrix} \frac{Mst}{100} & 0 & 0 \\ 0 & \frac{Mst}{100} & 0 \\ 0 & 0 & Mst \end{pmatrix} \begin{pmatrix} ub_{i-1} \\ \omega b_{i-1} \\ u_{i-1} \end{pmatrix} - \frac{1}{2 \cdot dt} \begin{pmatrix} a0_j \cdot \frac{Mst}{100} + CH & 0 & 0 \\ 0 & a0_j \cdot \frac{Mst}{100} + CR & 0 \\ 0 & 0 & a0_j \cdot Mst \end{pmatrix} \begin{pmatrix} ub_{i-1} \\ \omega b_{i-1} \\ u_{i-1} \end{pmatrix} - \begin{bmatrix} Kst_j + KH & Kst_j \cdot h_j & -Kst_j \\ Kst_j \cdot h_j & KR + Kst_j \cdot (h_j)^2 & -Kst_j \cdot h_j \\ -Kst_j & -Kst_j \cdot h_j & Kst_j \end{bmatrix} \begin{pmatrix} ub_i \\ \omega b_i \\ u_i \end{pmatrix} - \frac{2}{dt^2} \begin{pmatrix} \frac{Mst}{100} & 0 & 0 \\ 0 & \frac{Mst}{100} & 0 \\ 0 & 0 & Mst \end{pmatrix} \begin{pmatrix} ub_i \\ \omega b_i \\ u_i \end{pmatrix}$$

$$utot \leftarrow Kd^{-1} \cdot Pd$$

$$ub_{i+1} \leftarrow utot_0$$

$$\omega b_{i+1} \leftarrow utot_1$$

$$u_{i+1} \leftarrow utot_2$$

$$ustr_{i+1} \leftarrow u_{i+1} - ub_{i+1} - \omega b_{i+1} \cdot h_j$$

$$a_{i,j} \leftarrow \frac{u_{i+1} - 2 \cdot u_i + u_{i-1}}{dt^2}$$

$$amax_{0,j} \leftarrow 0$$

$$amax_{i,j} \leftarrow \max(amax_{i-1,j}, |a_{i,j}|)$$

$$ustrmax_j \leftarrow \max(\max(ustr), |\min(ustr)|)$$

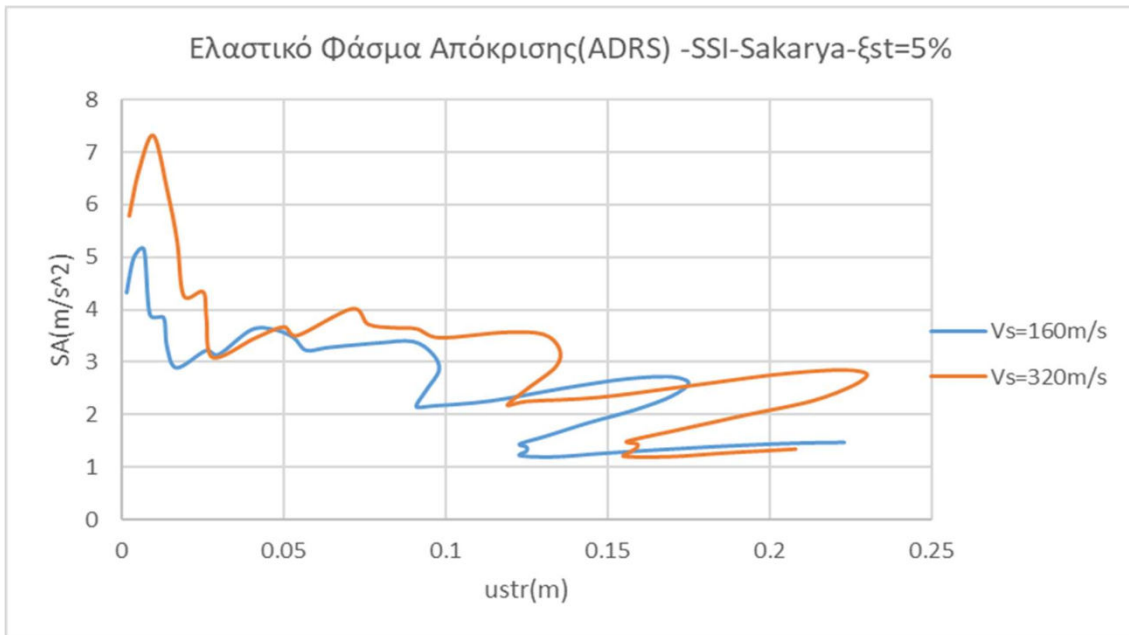
(ustrmax
amax)

4.4.1 Ελαστικά φάσματα απόκρισης για διάφορες σεισμικές διεγέρσεις λαμβάνοντας υπόψη το γραμμικώς ελαστικό έδαφος.

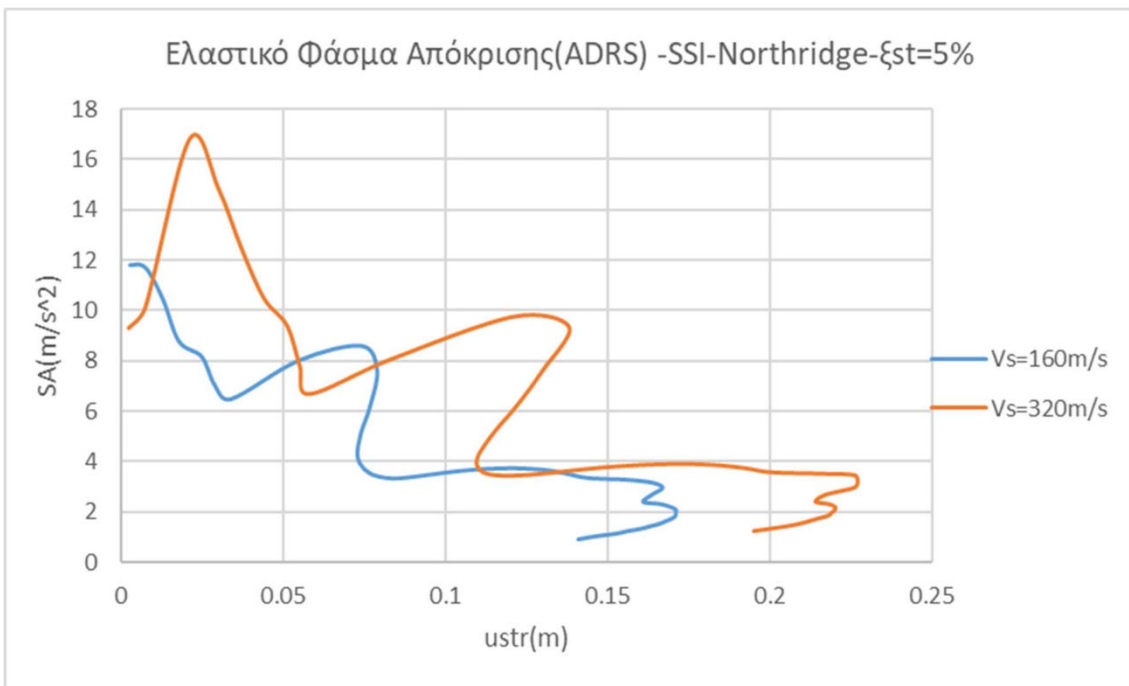
Για την παρουσίαση των ελαστικών φασμάτων θα χρησιμοποιηθούν δύο εδαφικές στρώσεις με $V_s=160\text{m/s}$ και $V_s=320\text{m/s}$.

	b=5m	$V_s=160\text{m/s}$	$G_s=51300\text{KPa}$	$\rho_s=2\text{tn/m}^3$	$f_s=2\text{Hz}$	$f_c=3.1\text{Hz}$	
ΣΕΙΣΜΟΙ	f(Hz)	$T_{\text{mean}}(\text{s})$	$\alpha_0(\omega b/V_s)$	kh	kr	ch	cr
Sakarya	1.85	0.54	0.364	0.84	0.927	0.28	0
Northridge	1.75	0.57	0.344	0.85	0.931	0.2	0
Kobe	1.92	0.52	0.378	0.86	0.924	0.34	0
Friuli	2.50	0.4	0.491	0.91	0.902	0.78	0
Holister	1.59	0.63	0.312	0.82	0.938	0.08	0
Loma Prieta	1.64	0.61	0.322	0.82	0.936	0.11	0
Trinidad	3.23	0.31	0.633	0.8	0.873	0.905	0.17

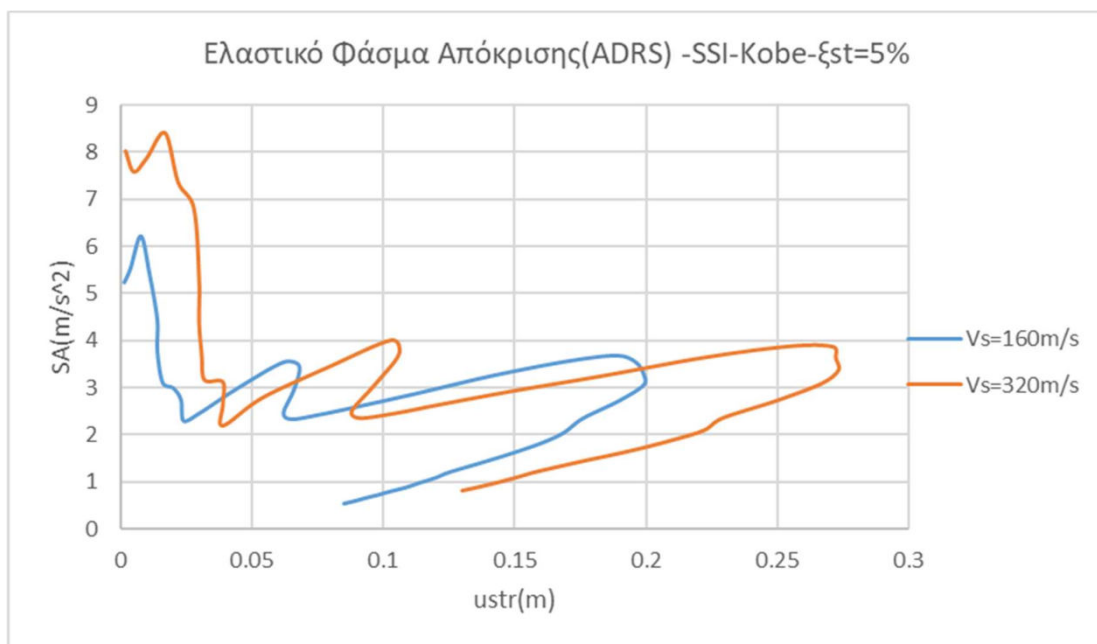
	b=5m	$V_s=320\text{m/s}$	$G_s=204800\text{KPa}$	$\rho_s=2\text{tn/m}^3$	$f_s=4\text{Hz}$	$f_c=6.2\text{Hz}$	
ΣΕΙΣΜΟΙ	f(Hz)	$T_{\text{mean}}(\text{s})$	$\alpha_0(\omega b/V_s)$	kh	kr	ch	cr
Sakarya	1.85	0.54	0.182	0.92	0.964	0	0
Northridge	1.75	0.57	0.172	0.92	0.966	0	0
Kobe	1.92	0.52	0.189	0.92	0.962	0	0
Friuli	2.50	0.4	0.245	0.8	0.951	0	0
Holister	1.59	0.63	0.156	0.94	0.969	0	0
Loma Prieta	1.64	0.61	0.161	0.92	0.968	0	0
Trinidad	3.23	0.31	0.317	0.85	0.937	0.1	0



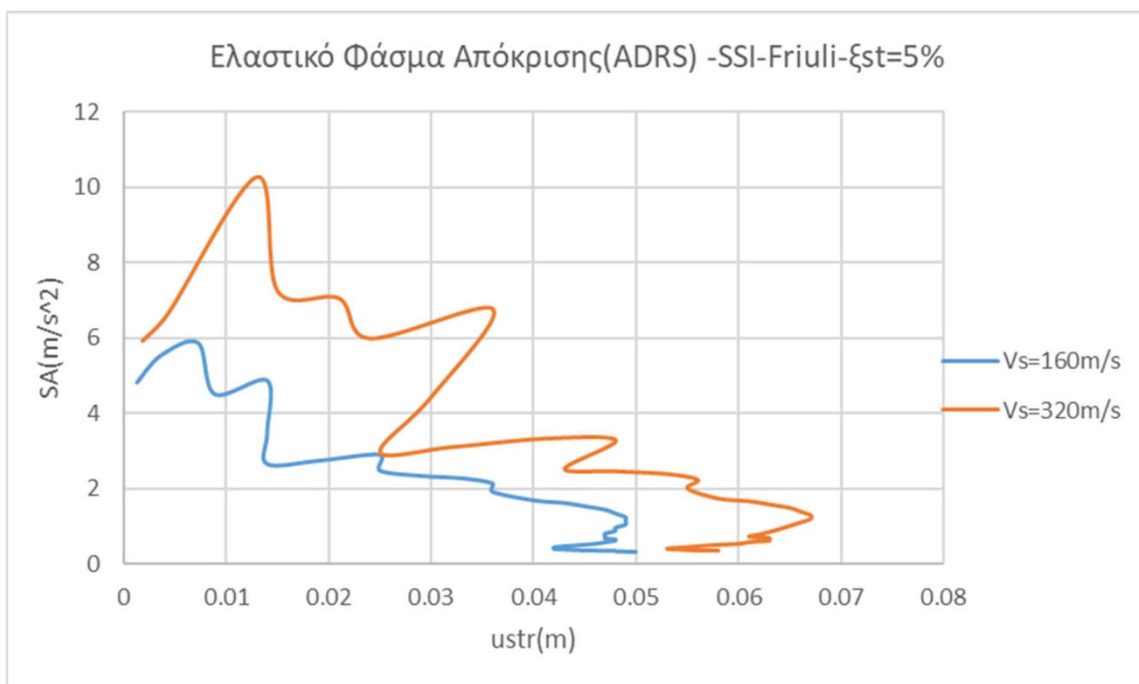
Σχήμα 4.79 Ελαστικό φάσμα απόκρισης για τον σεισμό Sakarya- $V_s=160\text{m/s}, 320\text{m/s}$



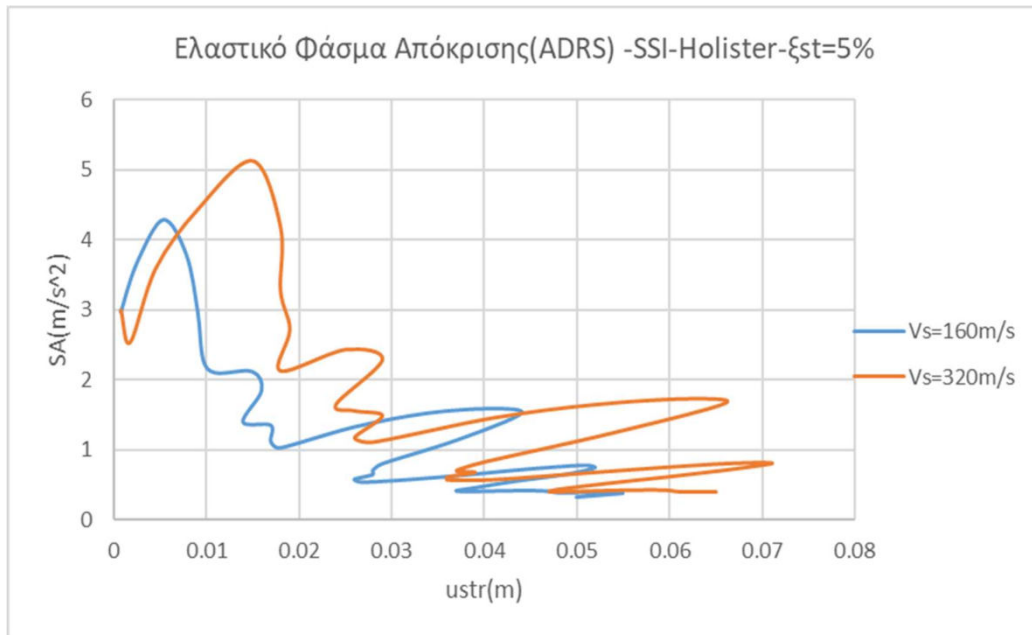
Σχήμα 4.80 Ελαστικό φάσμα απόκρισης για τον σεισμό Northridge- $V_s=160\text{m/s}, 320\text{m/s}$



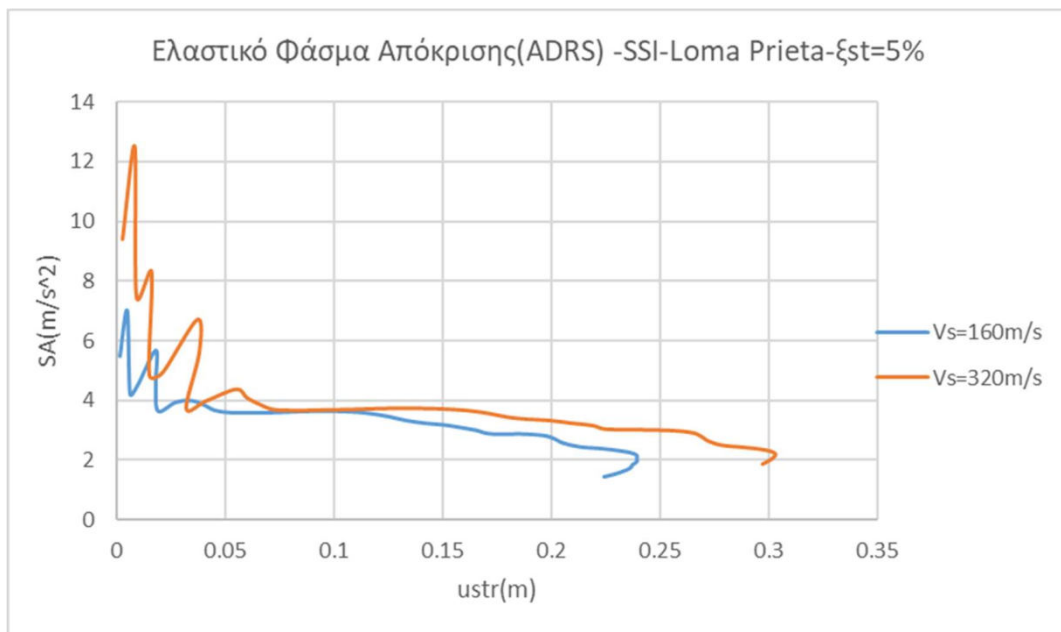
Σχήμα 4.81 Ελαστικό φάσμα απόκρισης για τον σεισμό Kobe-Vs=160m/s,320m/s



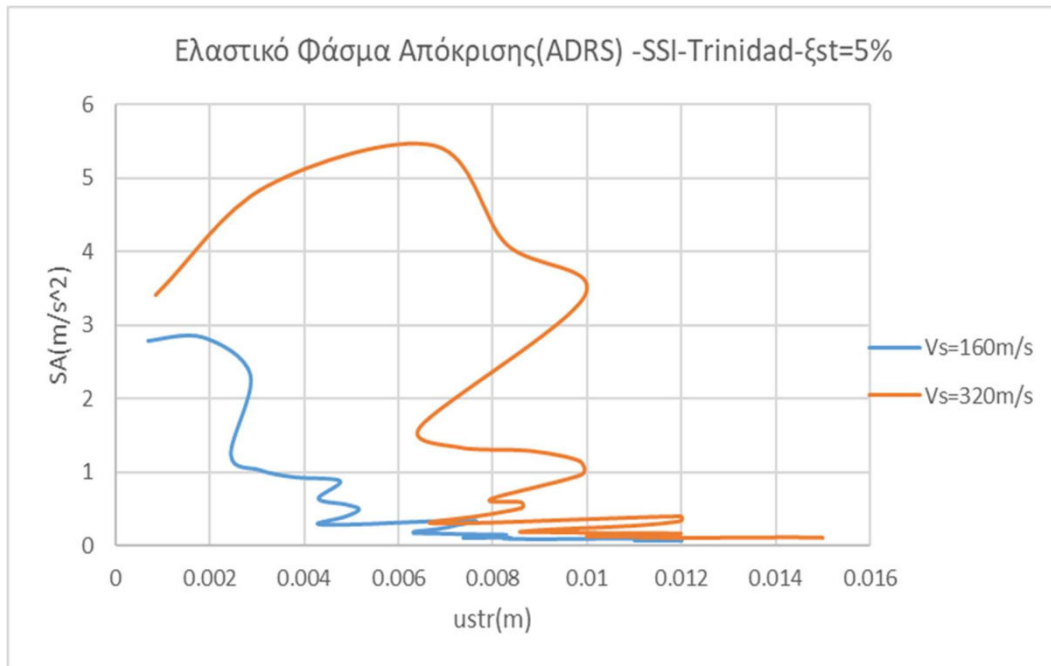
Σχήμα 4.82 Ελαστικό φάσμα απόκρισης για τον σεισμό Friuli-Vs=160m/s,320m/s



Σχήμα 4.83 Ελαστικό φάσμα απόκρισης για τον σεισμό Holister- $V_s=160\text{m/s}, 320\text{m/s}$



Σχήμα 4.84 Ελαστικό φάσμα απόκρισης για τον σεισμό Loma Prieta- $V_s=160\text{m/s}, 320\text{m/s}$



Σχήμα 4.85 Ελαστικό φάσμα απόκρισης για τον σεισμό Trinidad- $V_s=160\text{m/s}, 320\text{m/s}$

4.5 Κατασκευή μακροστοιχείου για την εύρεση της πλαστιμότητας του συστήματος συναρτήσει της πακτωμένης ιδιοπεριόδου για δεδομένο συντελεστή συμπεριφοράς.

Στόχος είναι η τροποποίηση του αλγορίθμου που αναπτύχθηκε στο κεφάλαιο 4.1.5 ώστε να πάρουμε ένα γράφημα φασματικών πλαστιμοτήτων για δεδομένο συντελεστή συμπεριφοράς. Ο συντελεστής συμπεριφοράς του συστήματος δίνεται από την σχέση:

$$q_{ssi} = \frac{Mst SA_{el}}{Fy} \quad \text{ενώ ο πακτωμένος συντελεστής συμπεριφοράς} \quad q_{fix} = \frac{Mst SA_{fix}}{Fy}$$

Όπου SA: η φασματική επιτάχυνση με συνυπολογισμό του εδάφους.

Για την δημιουργία του αλγορίθμου :

- Θα σκαναριστούν διάφοροι πακτωμένοι ιδιοπερίοδοι Tst.
- Υπολογίζεται η δυσκαμψία του υποστηλώματος διατηρώντας σταθερή την μάζα του ταλαντωτή Mst.

$$Kst = \omega^2 Mst$$

• υπολογίζεται ο συντελεστής απόσβεσης $a0 = 2 \omega \xi st$

• υπολογίζεται το ύψος του ταλαντωτή $h = \left(\frac{3E}{Kst}\right)^{1/3}$

• υπολογίζεται η κυκλική συχνότητα του συστήματος SSI για δεδομένη ταχύτητα διατμητικών κυμάτων Vs

$$\omega_{ssi} = \frac{2\pi}{T_{sc} \sqrt{1 + \frac{Kst}{KH} + \frac{Kst}{KR} h}}$$

• Πραγματοποιείται ανελαστική ανάλυση και υπολογίζεται η μέγιστη μετακίνηση του βάθρου $ustr$.

• Υπολογίζεται η μέγιστη πλαστιμότητα του συστήματος ή πλαστιμότητα του βάθρου αντίστοιχα από τις σχέσεις

$$\mu_s = \frac{\max(u)}{\frac{Mst SA}{q}} \omega_{ssi}^2 \cdot Mst \quad \text{και} \quad \mu_c = \frac{\max(ustr)}{\frac{Mst SA}{q}} \omega^2 \cdot Mst$$

```

utot := for j ∈ 0..40
  wpj ←  $\frac{2 \cdot \pi}{Tsc_j}$ 
  Kstj ←  $(wpj)^2 \cdot Mst$ 
  a0j ←  $2 \cdot wpj \cdot \xi st$ 
  hj ←  $\left(3 \cdot E \cdot \frac{I}{Kstj}\right)^{\frac{1}{3}}$ 
  wssij ←  $\frac{2 \cdot \pi}{Tsc_j \cdot \sqrt{1 + \frac{Kstj}{KH} + \frac{Kstj}{KR} \cdot (hj)^2}}$ 
  ub1 ← 0
  ab1 ← 0
  u1 ← 0
  ub0 ← 0
  ab0 ← 0
  u0 ← 0
  ustr0 ← 0

  ustr1 ← 0
  fs0 ←  $\begin{pmatrix} 0 \\ 0 \\ 0 \end{pmatrix}$ 
  Q00 ← 0
  M00 ← 0
  Qt0 ← 0
  Q01 ← 0
  M01 ← 0
  Qt1 ← 0
  Qh00 ← 0

  Kd ←  $\frac{1}{dt^2} \begin{pmatrix} \frac{Mst}{100} & 0 & 0 \\ 0 & \frac{Mst}{100} & 0 \\ 0 & 0 & Mst \end{pmatrix} + \frac{1}{2 \cdot dt} \begin{pmatrix} a0j \cdot \frac{Mst}{100} + CH & 0 & 0 \\ 0 & a0j \cdot \frac{Mst}{100} + CR & 0 \\ 0 & 0 & a0j \cdot Mst \end{pmatrix}$ 

```

for $i \in 1..Nt$

$$Du_i \leftarrow ustr_i - ustr_{i-1}$$

$$a_i \leftarrow \left[1 - \frac{1}{2} \left[\left(\frac{Qh0_{i-1}}{Mst \cdot SA_j} \right) \right]^n \cdot (1 + \text{sign}(Qh0_{i-1} \cdot Du_i)) \right]$$

$$D\bar{f}_i \leftarrow (1) \cdot \begin{bmatrix} Kst_j \cdot a_i + KH & a_i \cdot Kst_j \cdot h_j & -a_i \cdot Kst_j \\ a_i \cdot Kst_j \cdot h_j & KR + a_i \cdot Kst_j \cdot (h_j)^2 & -a_i \cdot Kst_j \cdot h_j \\ -a_i \cdot Kst_j & -a_i \cdot Kst_j \cdot h_j & a_i \cdot Kst_j \end{bmatrix} \cdot \begin{pmatrix} ub_i - ub_{i-1} \\ \theta b_i - \theta b_{i-1} \\ u_i - u_{i-1} \end{pmatrix}$$

$$\bar{f}_i \leftarrow \bar{f}_{i-1} + D\bar{f}_i$$

$$Pd \leftarrow \begin{pmatrix} KH & 0 & 0 \\ 0 & KR & 0 \\ 0 & 0 & 0 \end{pmatrix} \cdot \begin{pmatrix} uk_i \\ 0 \\ 0 \end{pmatrix} + \begin{pmatrix} CH & 0 & 0 \\ 0 & CR & 0 \\ 0 & 0 & 0 \end{pmatrix} \cdot \begin{pmatrix} vk_i \\ 0 \\ 0 \end{pmatrix} - \frac{1}{dt^2} \cdot \begin{pmatrix} \frac{Mst}{100} & 0 & 0 \\ 0 & \frac{Mst}{100} & 0 \\ 0 & 0 & Mst \end{pmatrix} - \frac{1}{2 \cdot dt} \cdot \begin{pmatrix} a0_j \cdot \frac{Mst}{100} + CH & 0 & 0 \\ 0 & a0_j \cdot \frac{Mst}{100} + CR & 0 \\ 0 & 0 & a0_j \cdot Mst \end{pmatrix} \cdot \begin{pmatrix} ub_{i-1} \\ \theta b_{i-1} \\ u_{i-1} \end{pmatrix} - \bar{f}_i + \frac{2}{dt^2} \cdot \begin{pmatrix} \frac{Mst}{100} & 0 & 0 \\ 0 & \frac{Mst}{100} & 0 \\ 0 & 0 & Mst \end{pmatrix} \cdot \begin{pmatrix} ub_i \\ \theta b_i \\ u_i \end{pmatrix}$$

$$utot \leftarrow Kd^{-1} \cdot Pd$$

$$ub_{i+1} \leftarrow utot_0$$

$$\theta b_{i+1} \leftarrow utot_1$$

$$u_{i+1} \leftarrow utot_2$$

$$ustr_{i+1} \leftarrow u_{i+1} - \theta b_{i+1} \cdot h_j - ub_{i+1}$$

$$ustr_{i+1} \leftarrow u_{i+1} - \theta b_{i+1} \cdot h_j - ub_{i+1}$$

$$\begin{pmatrix} Q0_i \\ M0_i \\ Qt_i \end{pmatrix} \leftarrow \begin{pmatrix} Q0_{i-1} \\ M0_{i-1} \\ Qt_{i-1} \end{pmatrix} - (1) \cdot \begin{bmatrix} Kst_j \cdot a_i & a_i \cdot Kst_j \cdot h_j & -a_i \cdot Kst_j \\ a_i \cdot Kst_j \cdot h_j & a_i \cdot Kst_j \cdot (h_j)^2 & -a_i \cdot Kst_j \cdot h_j \\ -a_i \cdot Kst_j & -a_i \cdot Kst_j \cdot h_j & a_i \cdot Kst_j \end{bmatrix} \cdot \begin{pmatrix} ub_i - ub_{i-1} \\ \theta b_i - \theta b_{i-1} \\ u_i - u_{i-1} \end{pmatrix}$$

$$Qh0_i \leftarrow Q0_i$$

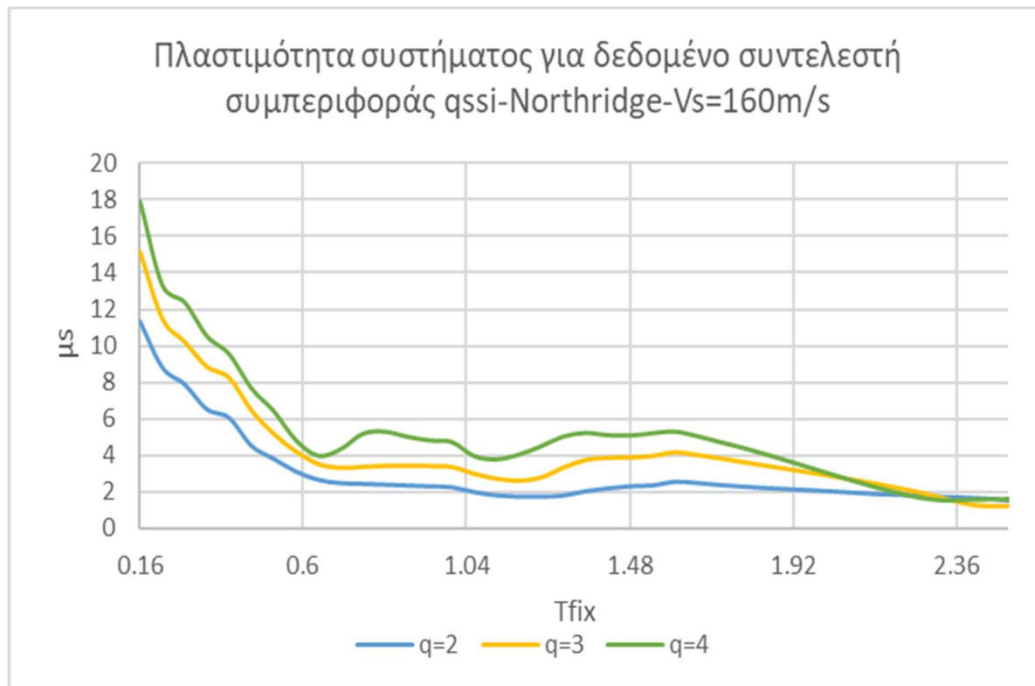
$$umax_j \leftarrow \frac{\max(\max(ustr), \max(-ustr)) \cdot (wp_j)^2 \cdot Mst}{\left(\frac{Mst \cdot SA_j}{q} \right)}$$

4.5.1 Γραφήματα πλαστιμοτήτων συστήματος για σταθερό συντελεστή συμπεριφοράς.

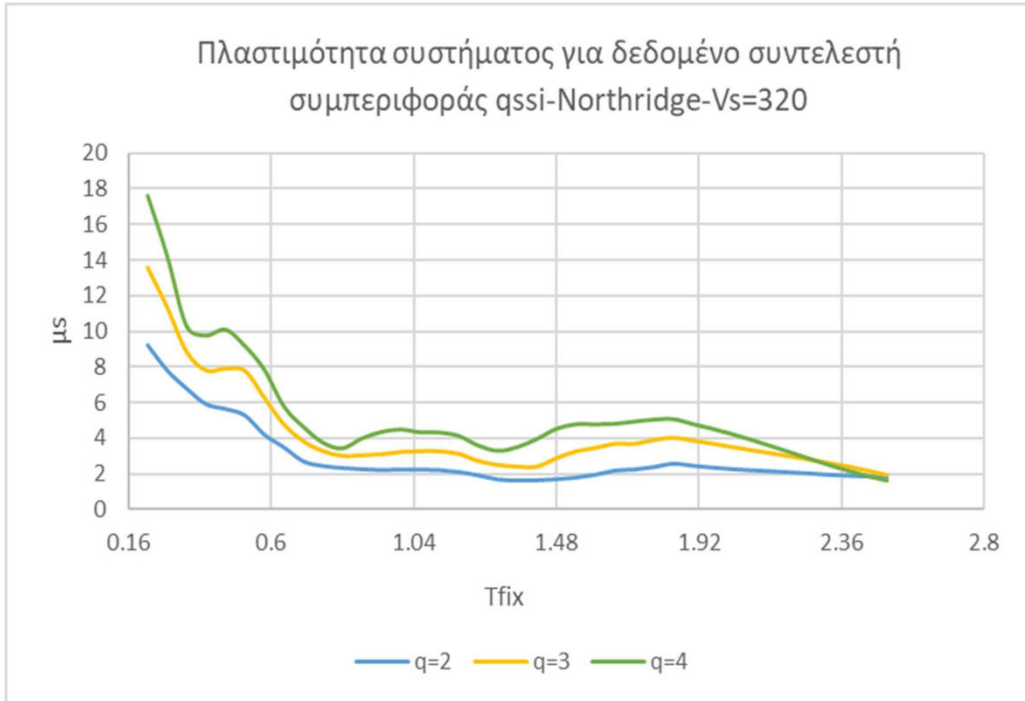
Η πλαστιμότητα του συστήματος δίνεται από την σχέση:

$$\mu_s = \frac{\text{Μετακίνηση κορυφής}}{\text{Μετακίνηση διαρροής συστήματος}} = \frac{u_{top}}{u_{y_{ssi}}}$$

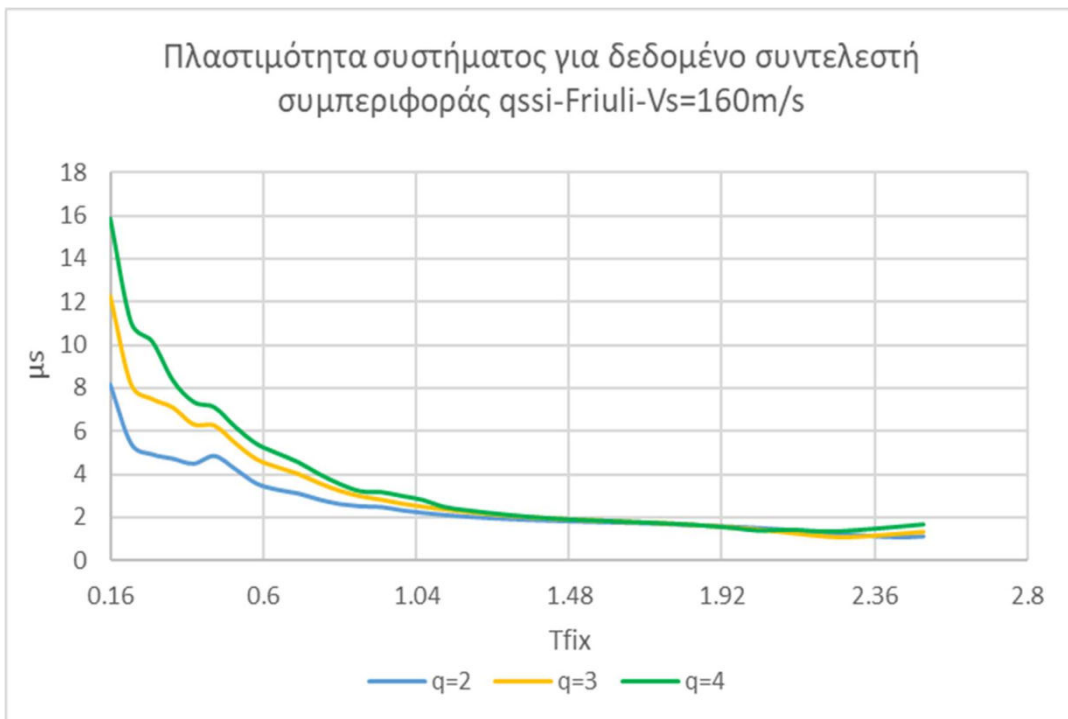
Με εφαρμογή του παραπάνω μακροστοιχείου υπολογίζουμε την πλαστιμότητα που αναπτύσσεται για δεδομένο συντελεστή συμπεριφοράς όπως αυτός προκύπτει από τις ελαστικές φασματικές επιταχύνσεις με συνυπολογισμό του γραμμικώς ελαστικού εδάφους.



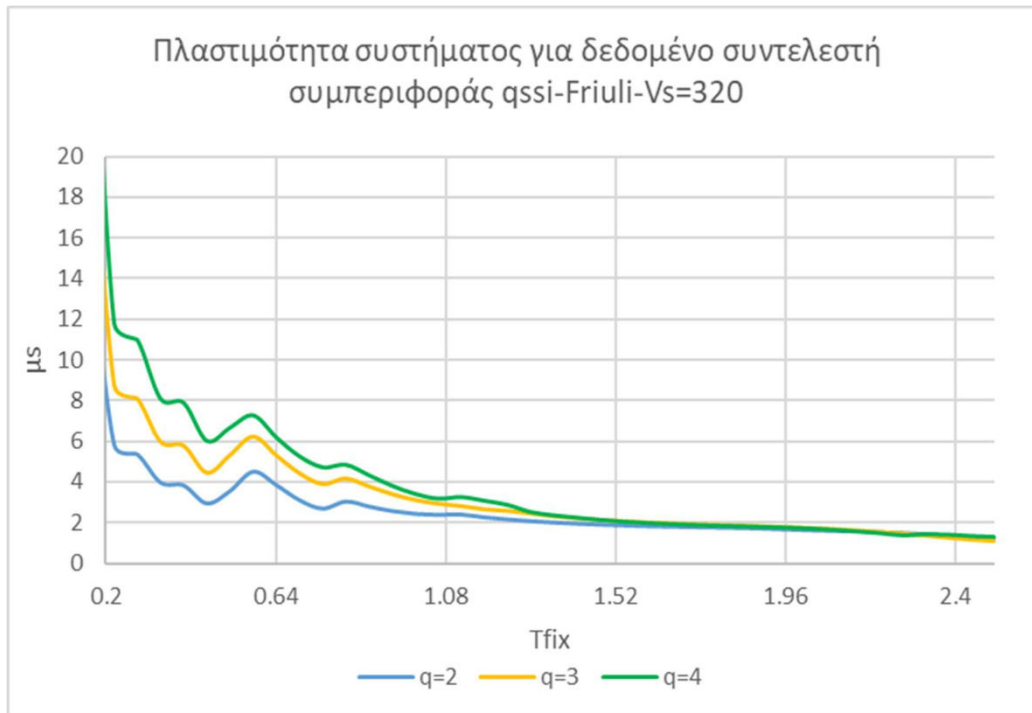
Σχήμα 4.86 Πλαστιμότητα συστήματος για $q=2,3,4-V_s=160\text{m/s-Northridge}$



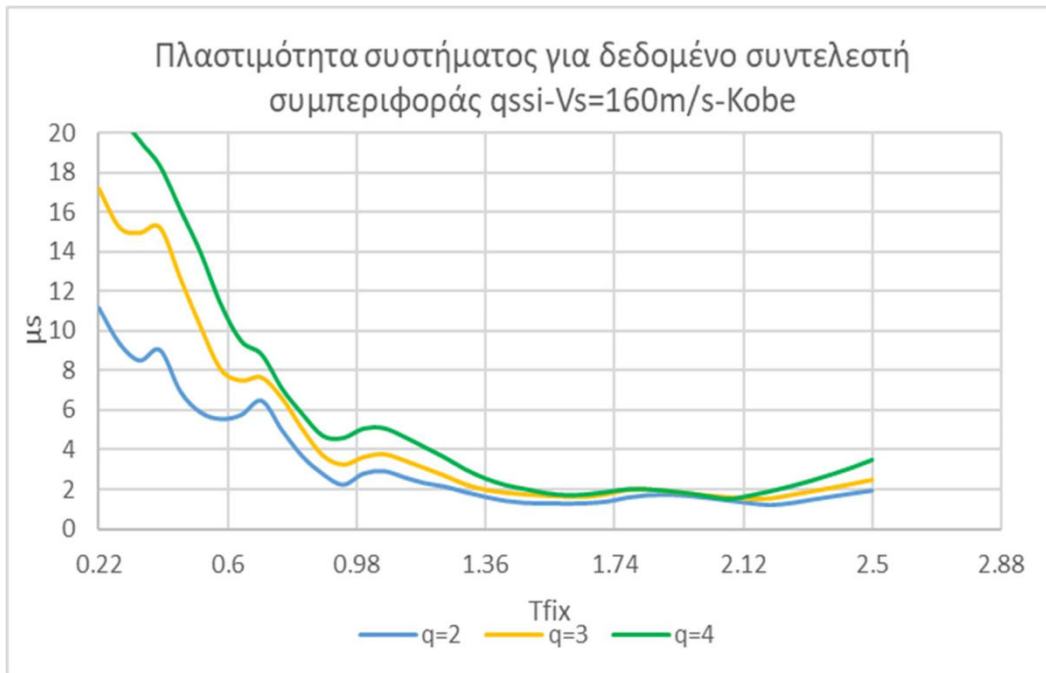
Σχήμα 4.87 Πλαστιμότητα συστήματος για $q=2,3,4$ - $V_s=320$ m/s-Northridge



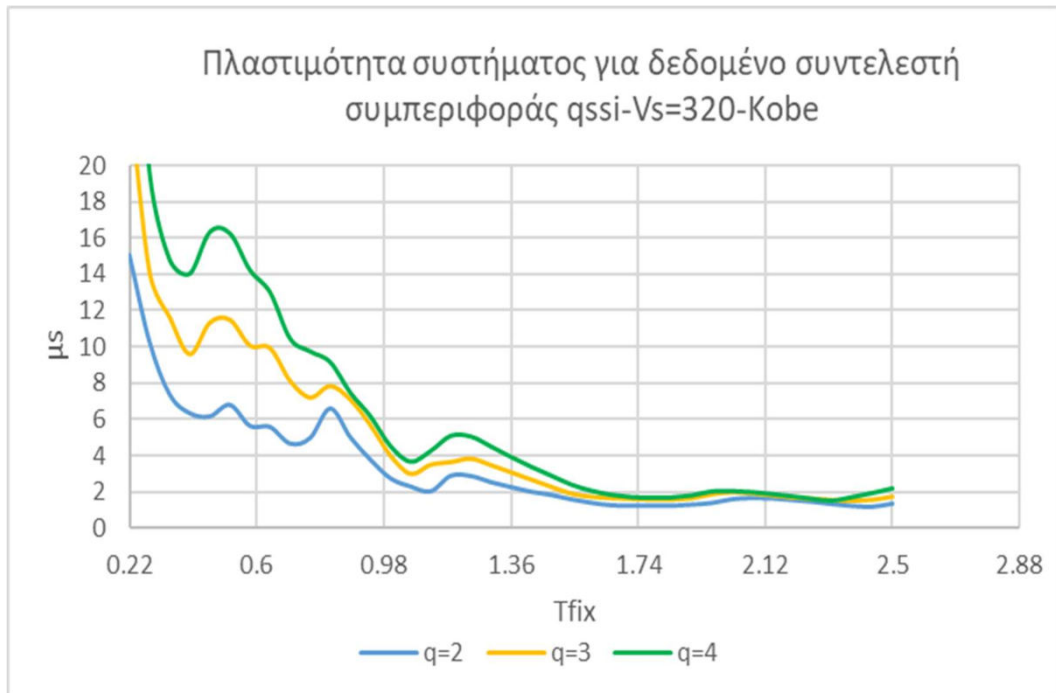
Σχήμα 4.88 Πλαστιμότητα συστήματος για $q=2,3,4$ - $V_s=160$ m/s-Friuli



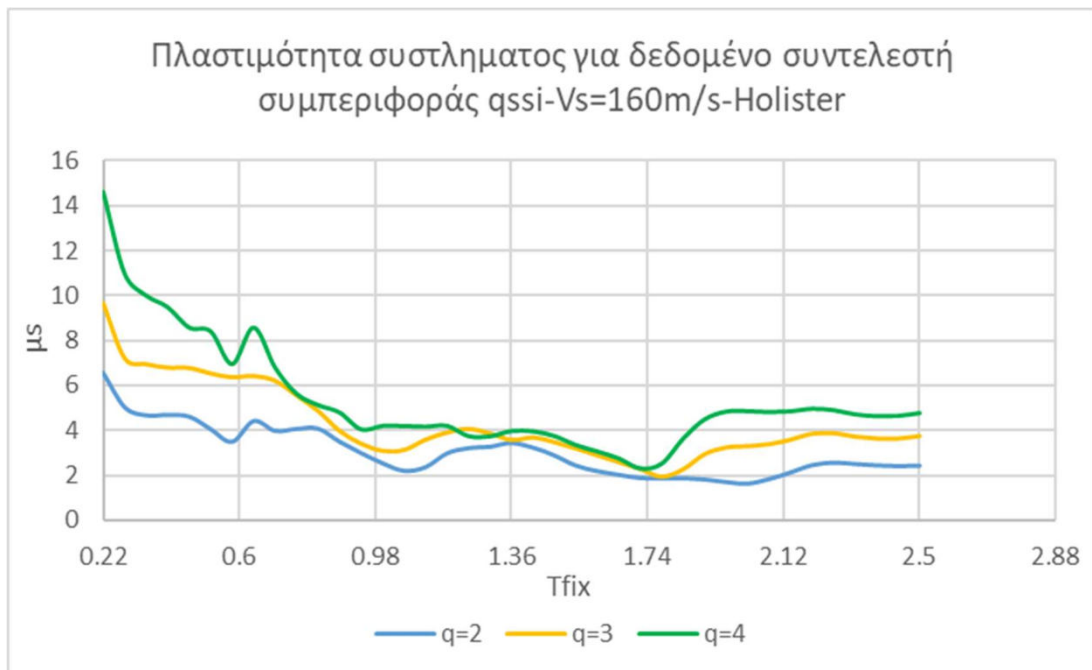
Σχήμα 4.89 Πλαστιμότητα συστήματος για $q=2,3,4$ - $V_s=320$ m/s-Friuli



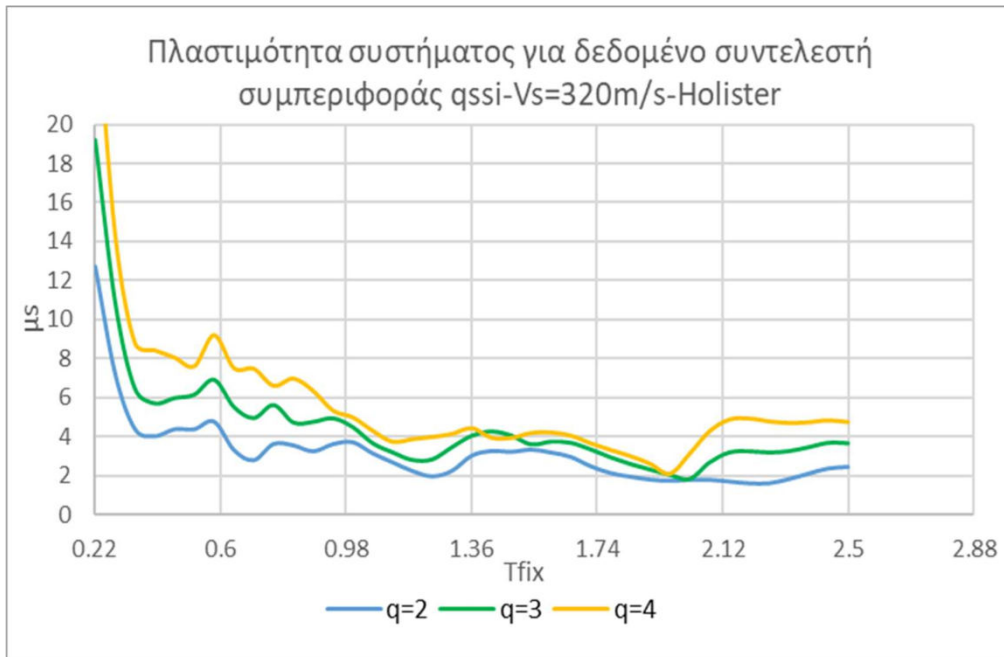
Σχήμα 4.90 Πλαστιμότητα συστήματος για $q=2,3,4$ - $V_s=160$ m/s-Kobe



Σχήμα 4.91 Πλαστιμότητα συστήματος για $q=2,3,4-V_s=320$ m/s-Kobe



Σχήμα 4.92 Πλαστιμότητα συστήματος για $q=2,3,4-V_s=160$ m/s-Holister



Σχήμα 4.93 Πλαστιμότητα συστήματος για $q=2,3,4$ - $V_s=320\text{m/s}$ -Holister



Σχήμα 4.94 Πλαστιμότητα συστήματος για $q=2$ - $V_s=160\text{m/s}$ -Sakarya.

Παρατηρήσεις

- Η πλαστιμότητα του συστήματος αποτελεί ένα δείκτη ελέγχου των μέγιστων μετακινήσεων που αναπτύσσονται στην κορυφή του ταλαντωτή, οι οποίες τώρα είναι σημαντικά μεγαλύτερες από το πακτωμένο σύστημα. Για παράδειγμα στον σεισμό της Sakarya παρατηρούμε πλαστιμότητες $\mu=20-30$ για ιδιοπεριόδους $0.5-0.6$ s το οποίο ισοδυναμεί με μετατόπιση κορυφής της τάξης του 1m. Η επιλογή επιφανειακής θεμελίωσης εδώ είναι ενδεχόμενα λανθασμένη επιλογή.

- Στις περισσότερες σεισμικές διεγέρσεις υπάρχει μια ομαλοποίηση των πλαστιμοτήτων για $T > 0.6$ s. Οι πλαστιμότητες πλησιάζουν την αρχή των ίσων ενεργειών $\mu_{ssi} = q_{ssi}$.

- Η μετακίνηση διαρροής του συστήματος δίνεται από την σχέση

$$u_{yssi} = \frac{F_y}{K_{ssi}}$$

Όπου F_y η δύναμη διαρροής του συστήματος η οποία συμπίπτει με αυτή του πακτωμένου συστήματος. (αφού αποτελεί χαρακτηριστικό της διατομής)

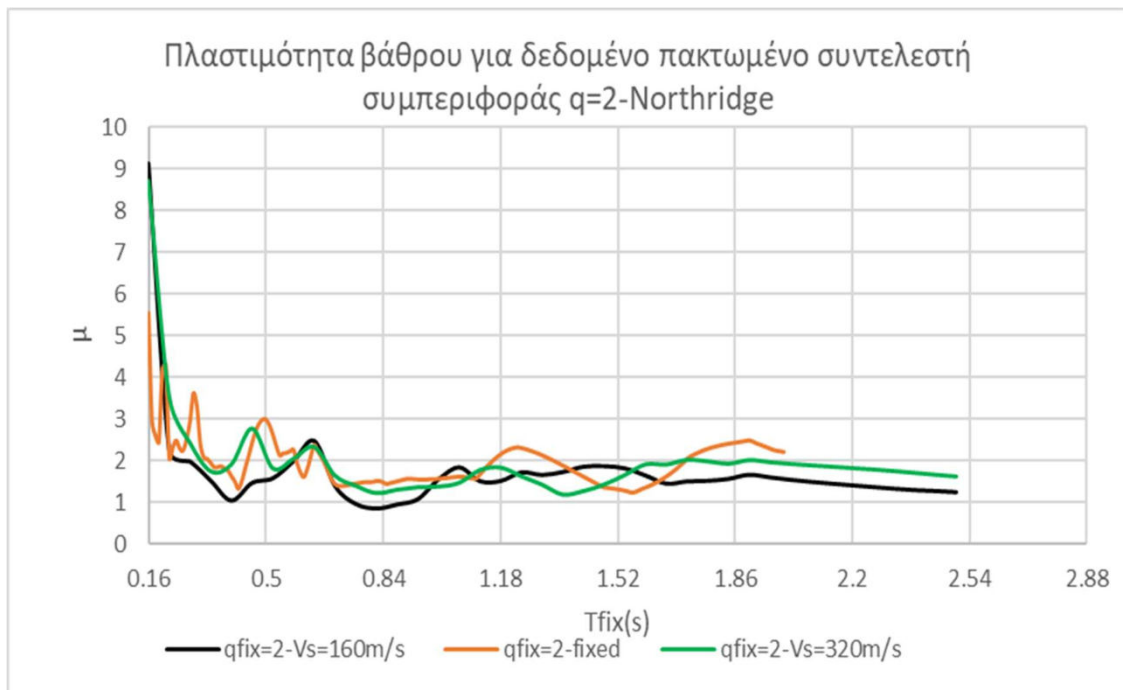
- Ο συντελεστής συμπεριφοράς με θεώρηση του ενδόσιμου εδάφους είναι μειωμένος σε σχέση με το πακτωμένο σύστημα λόγω μείωσης των απόλυτων επιταχύνσεων.

- Με την αύξηση της ενδοσιμότητας του εδάφους έχουμε μεγαλύτερες μετακινήσεις καταστρώματος και συνεπώς μεγαλύτερες πλαστιμότητες

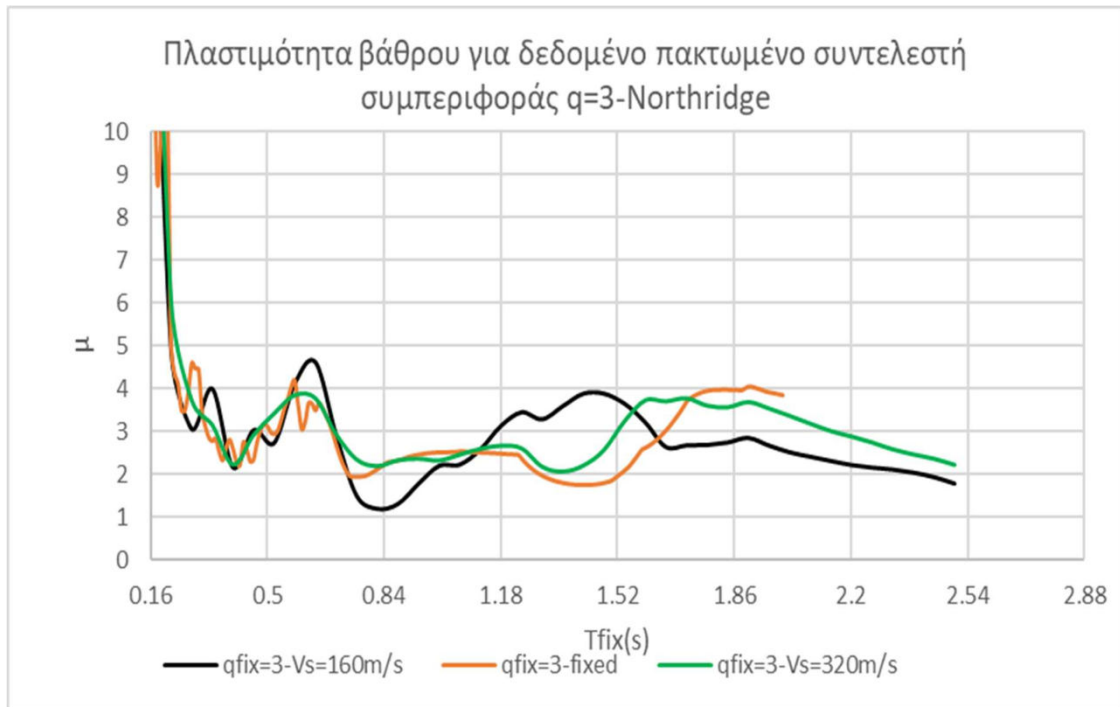
- Με αύξηση του συντελεστή συμπεριφοράς έχουμε και σημαντική αύξηση των πλαστιμοτήτων ιδιαίτερα για δύσκαμπτες κατασκευές όπου τα φαινόμενα της αλληλεπίδρασης είναι πιο έντονα

4.5.2 Γραφήματα πλαστιμοτήτων βάθρου για σταθερό συντελεστή συμπεριφοράς.

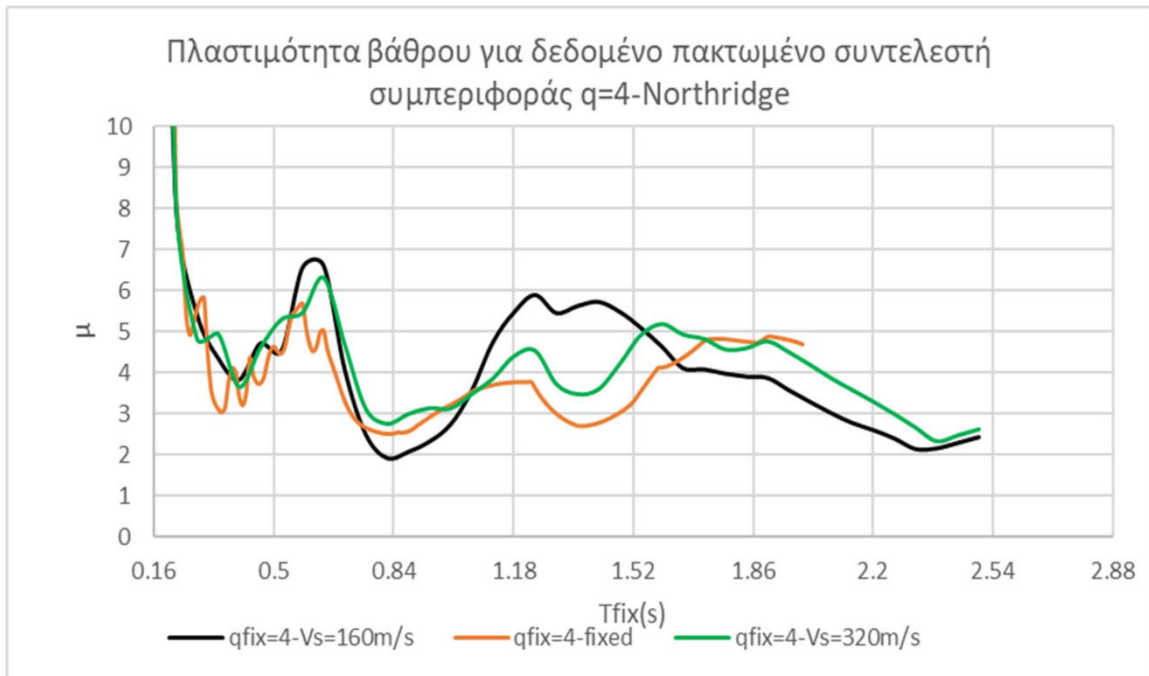
Ενδιαφέρουν παρουσιάζουν οι νέες πλαστιμότητες για δεδομένο πακτωμένο συντελεστή συμπεριφοράς συγκρινόμενες με τις πλαστιμότητες του πακτωμένου ταλαντωτή για να διερευνηθεί κατά πόσο το έδαφος έχει ευεργετική ή επιβλαβή επιρροή στην κολώνα της κατασκευής.



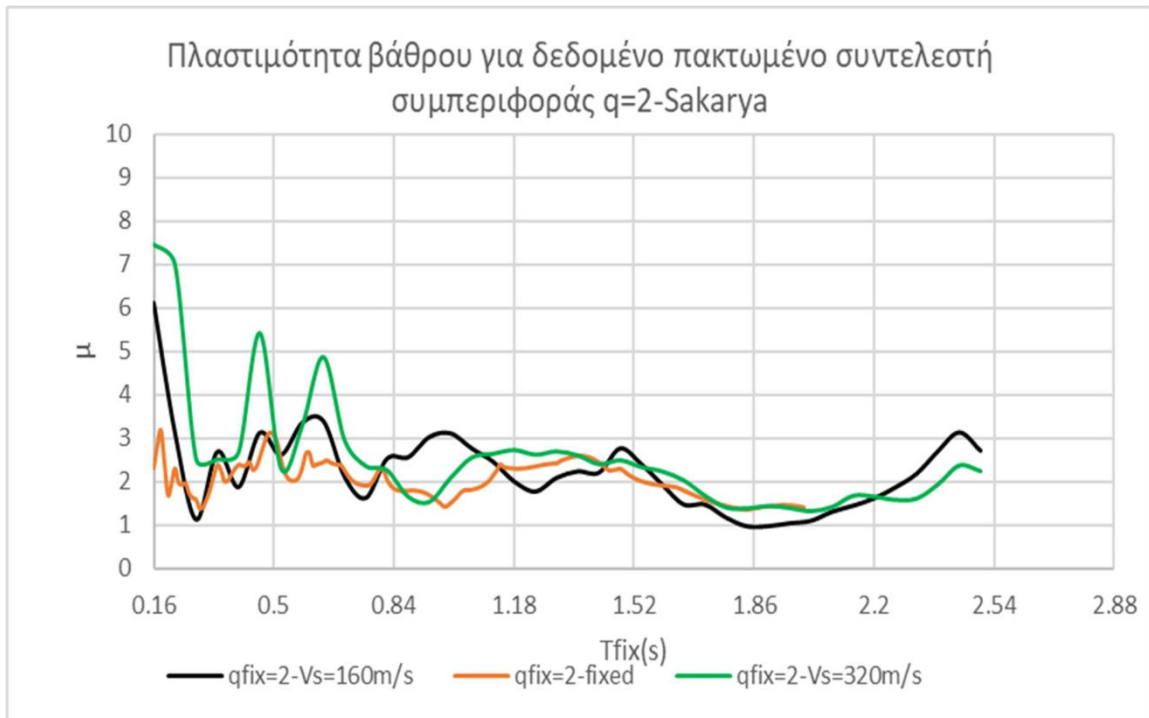
Σχήμα 4.95 Πλάστιμότητα βάθρου με συνυπολογισμό του εδάφους για $q=2$ -Northridge



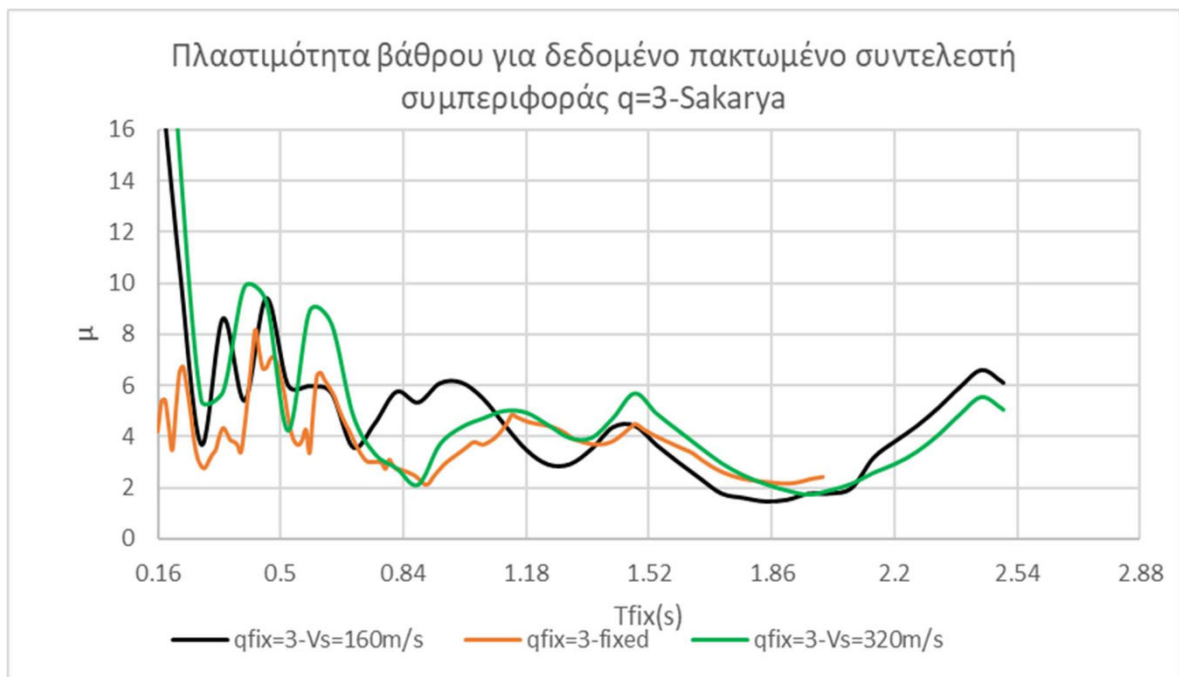
Σχήμα 4.96 Πλαστιμότητα βάρου με συνυπολογισμό του εδάφους για $q=3$ -Northridge



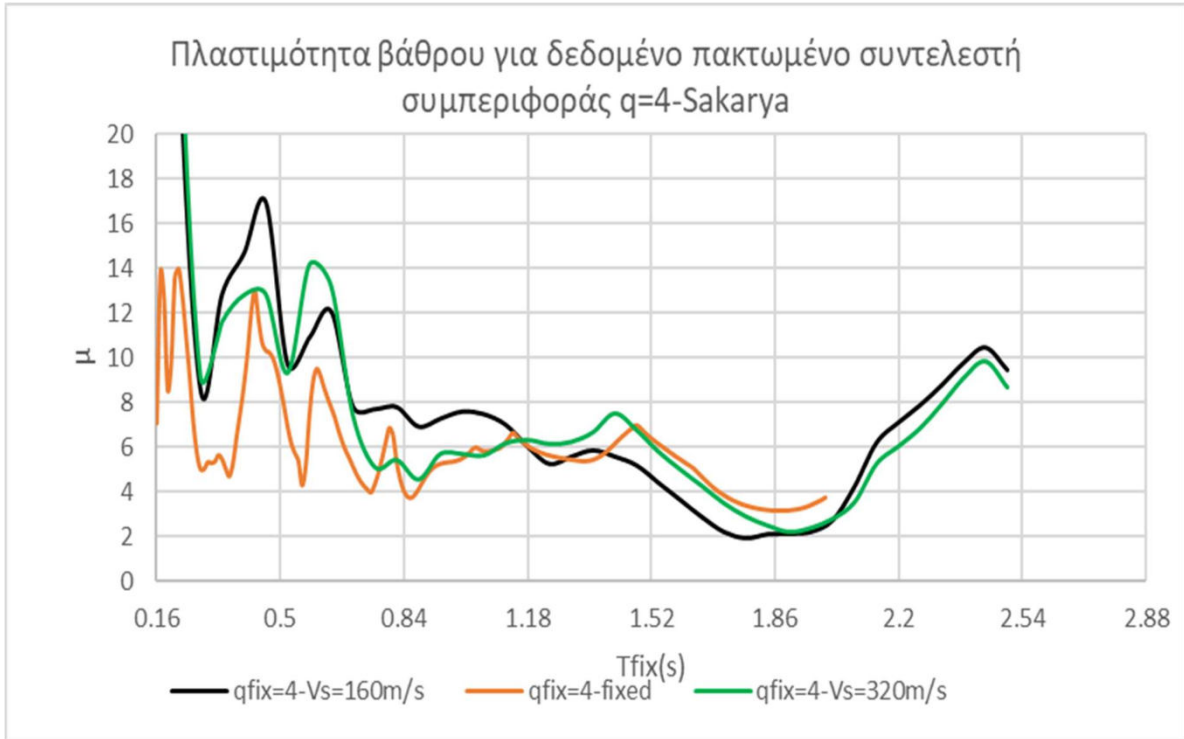
Σχήμα 4.97 Πλαστιμότητα βάρου με συνυπολογισμό του εδάφους για $q=4$ -Northridge



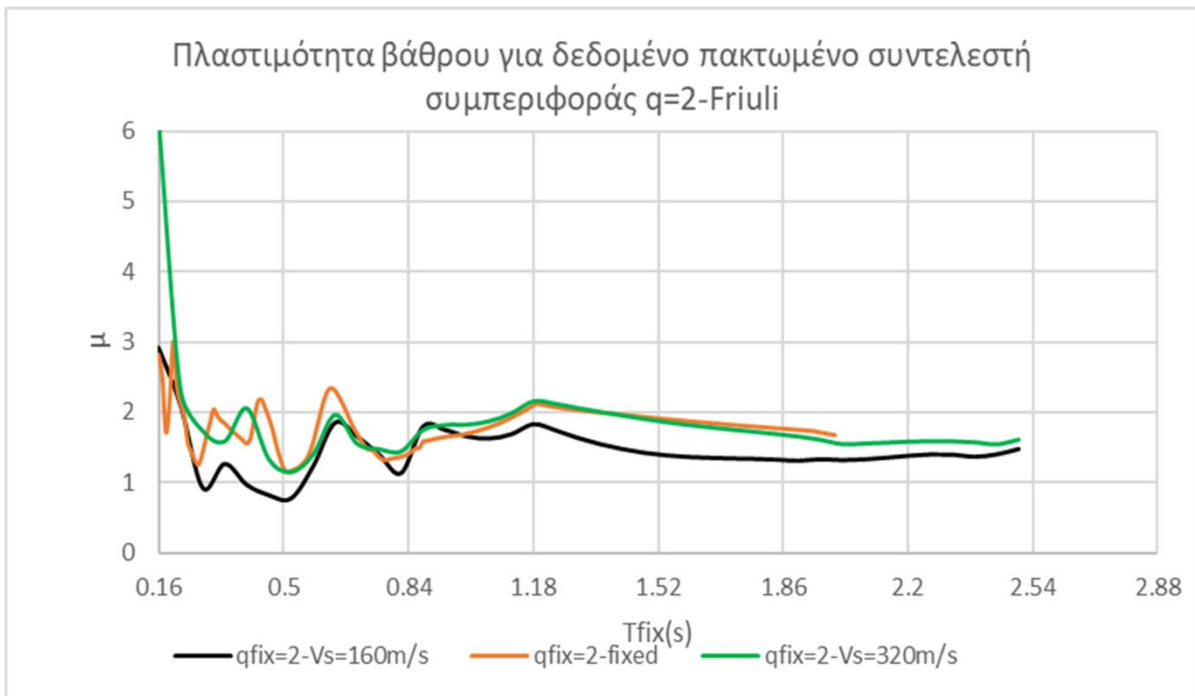
Σχήμα 4.98 Πλαστιμότητα βάθρου με συνυπολογισμό του εδάφους για $q=2$ -Sakarya



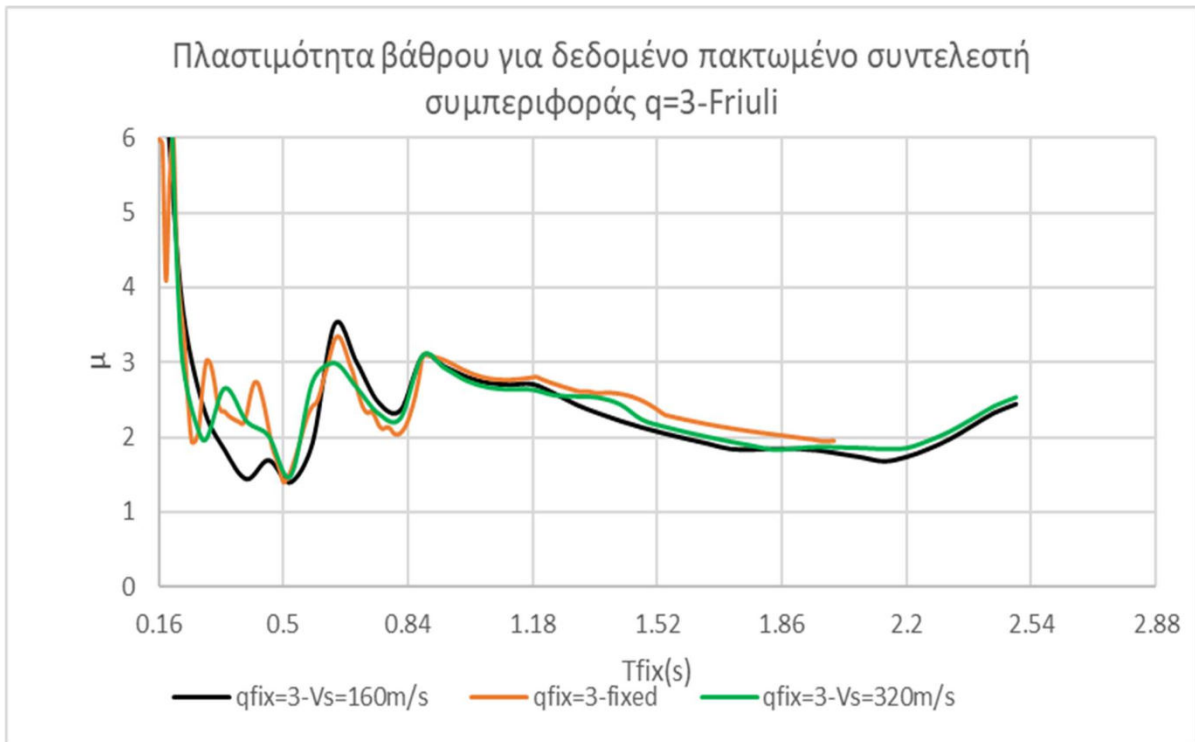
Σχήμα 4.99 Πλαστιμότητα βάθρου με συνυπολογισμό του εδάφους για $q=3$ -Sakarya



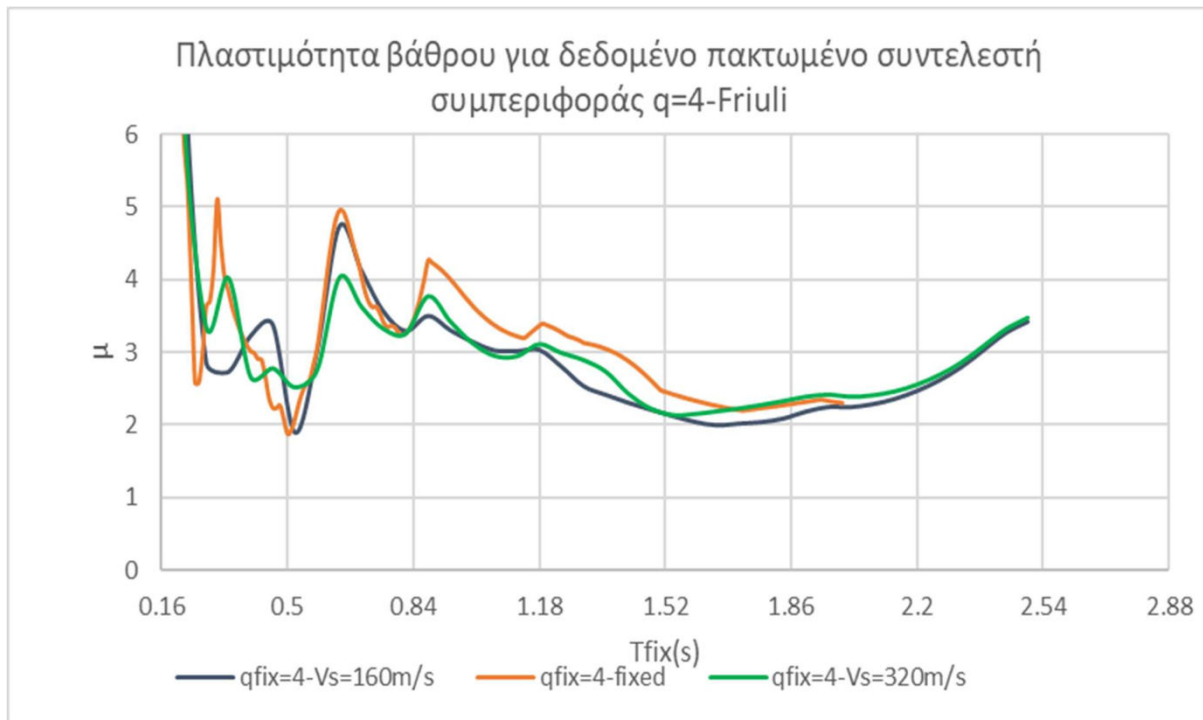
Σχήμα 4.100 Πλαστιμότητα βάρου με συνυπολογισμό του εδάφους για $q=4$ -Sakarya



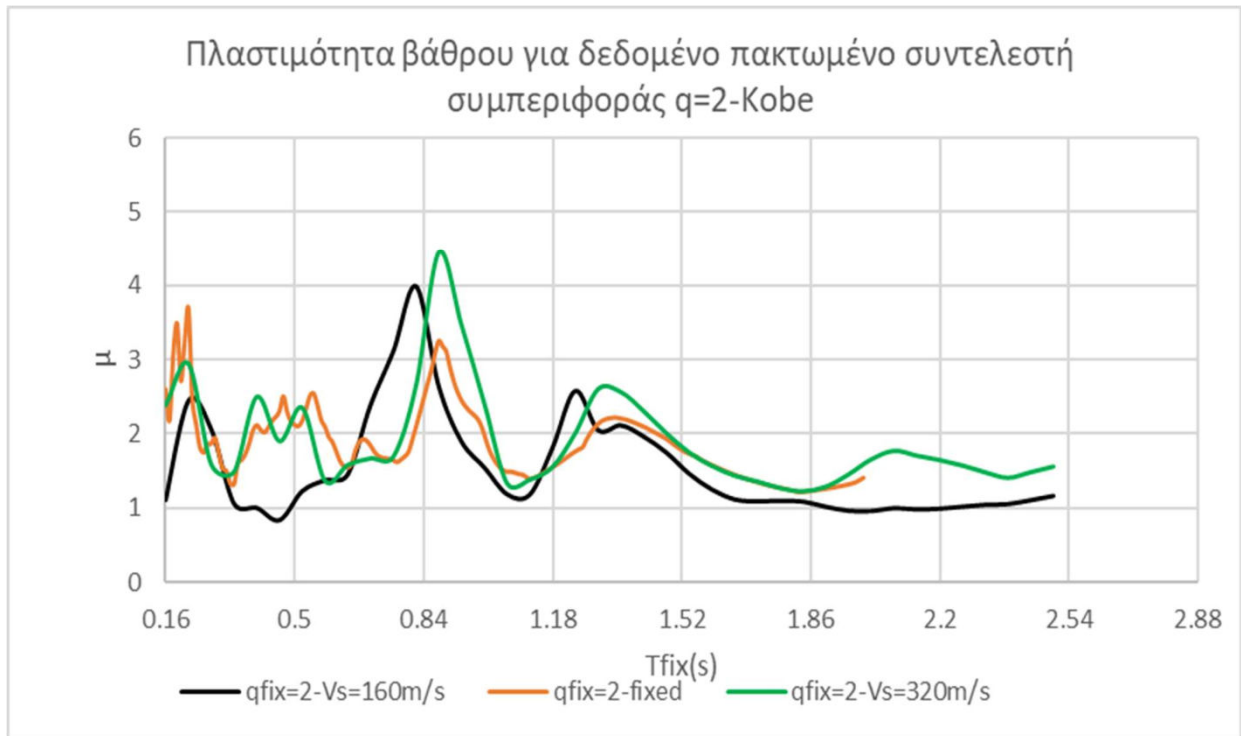
Σχήμα 4.101 Πλαστιμότητα βάρου με συνυπολογισμό του εδάφους για $q=2$ -Friuli



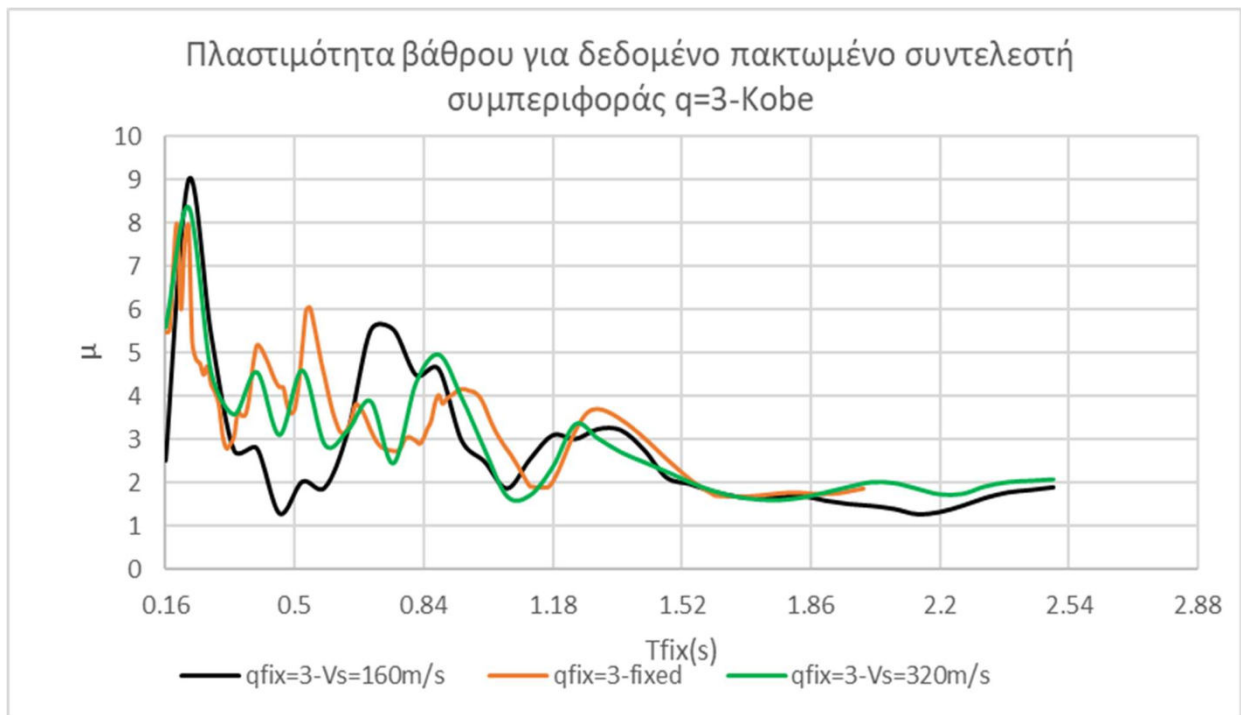
Σχήμα 4.102 Πλαστιμότητα βάθρου με συνυπολογισμό του εδάφους για $q=3$ -Friuli



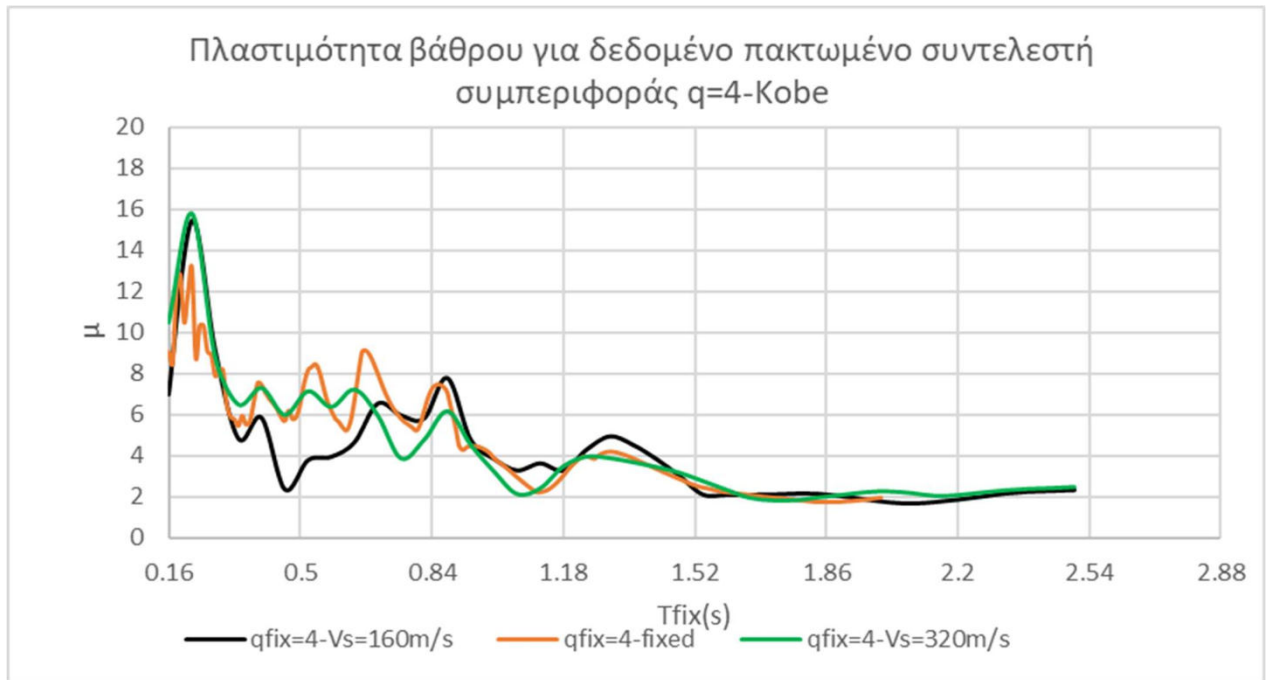
Σχήμα 4.103 Πλαστιμότητα βάθρου με συνυπολογισμό του εδάφους για $q=4$ -Friuli



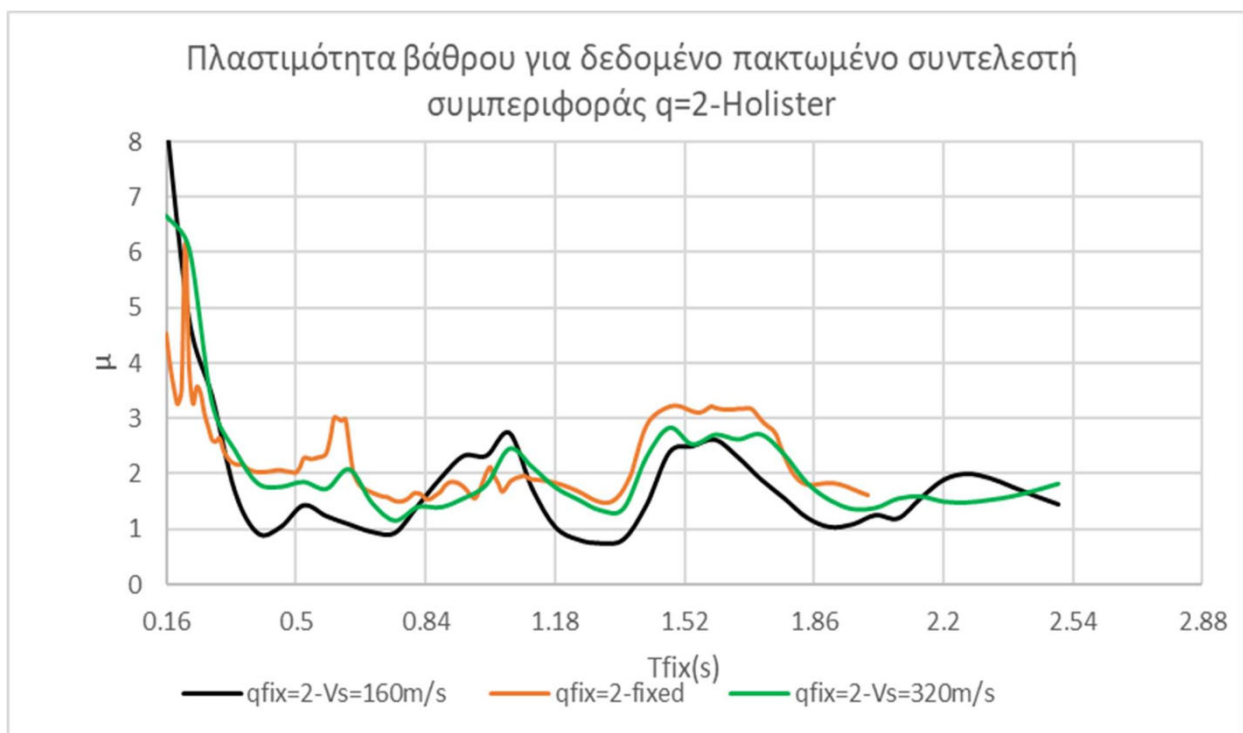
Σχήμα 4.104 Πλαστιμότητα βάρου με συνυπολογισμό του εδάφους για $q=2$ -Kobe



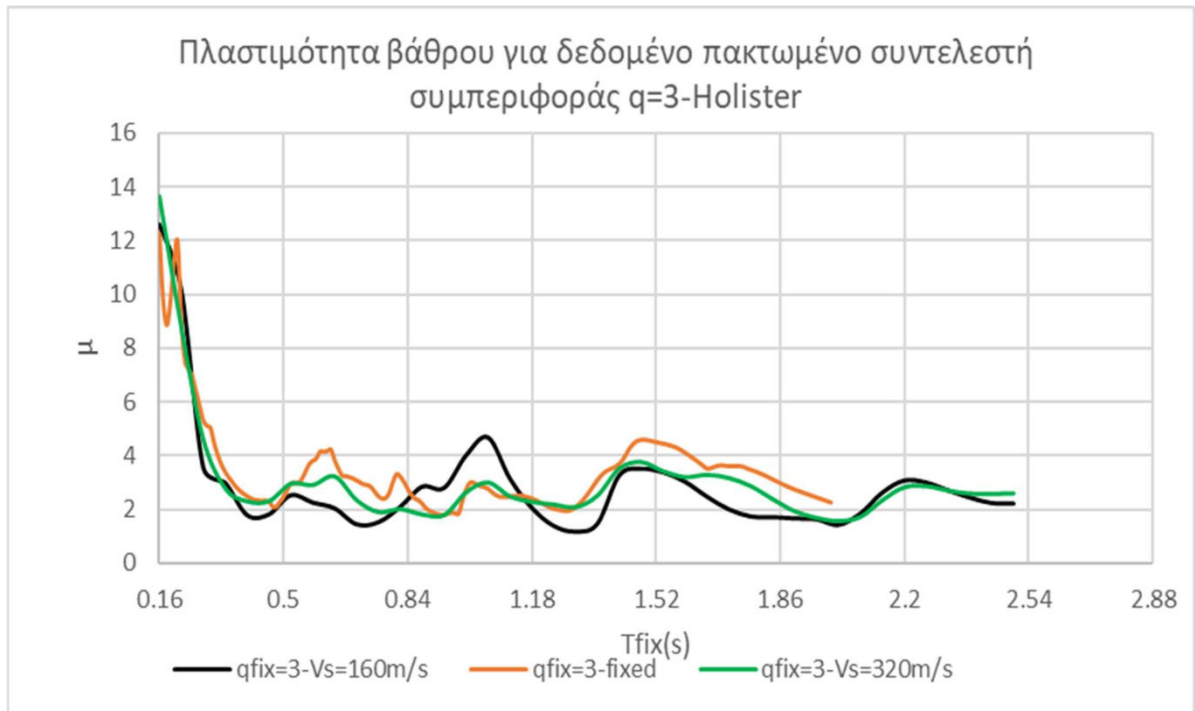
Σχήμα 4.105 Πλαστιμότητα βάρου με συνυπολογισμό του εδάφους για $q=3$ -Kobe



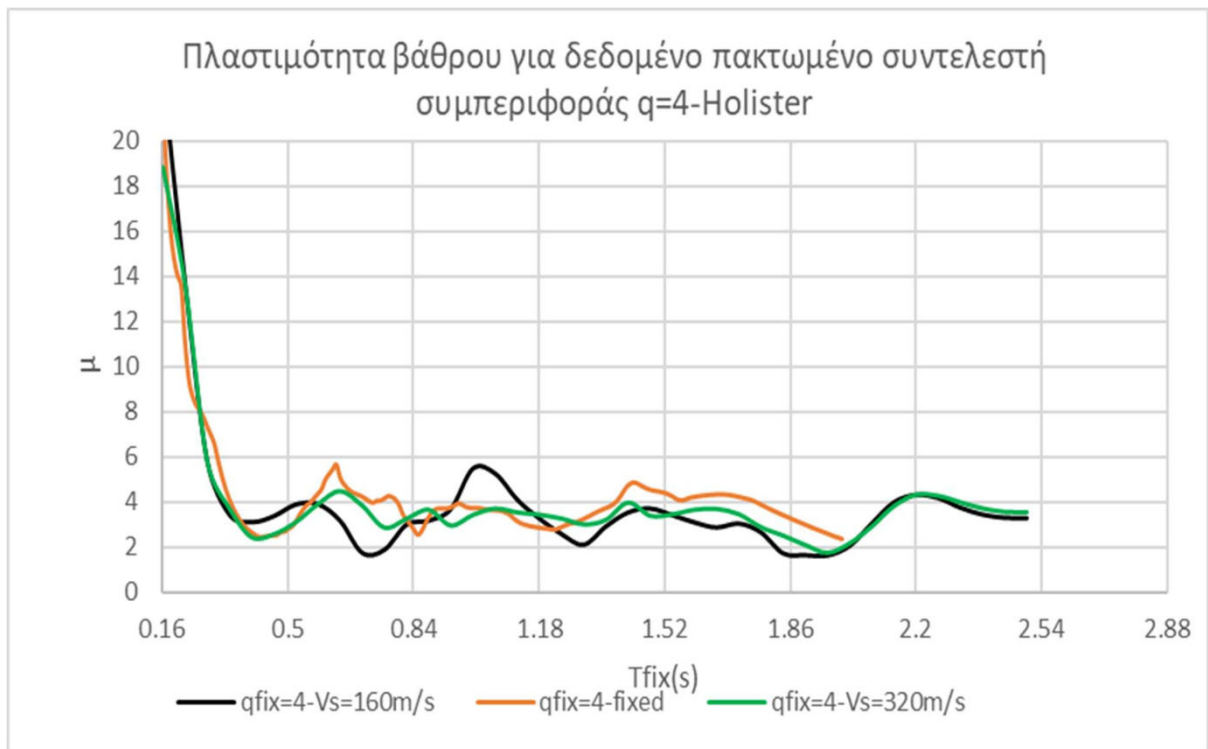
Σχήμα 4.106 Πλαστιμότητα βάθρου με συνυπολογισμό του εδάφους για $q=4$ -Kobe



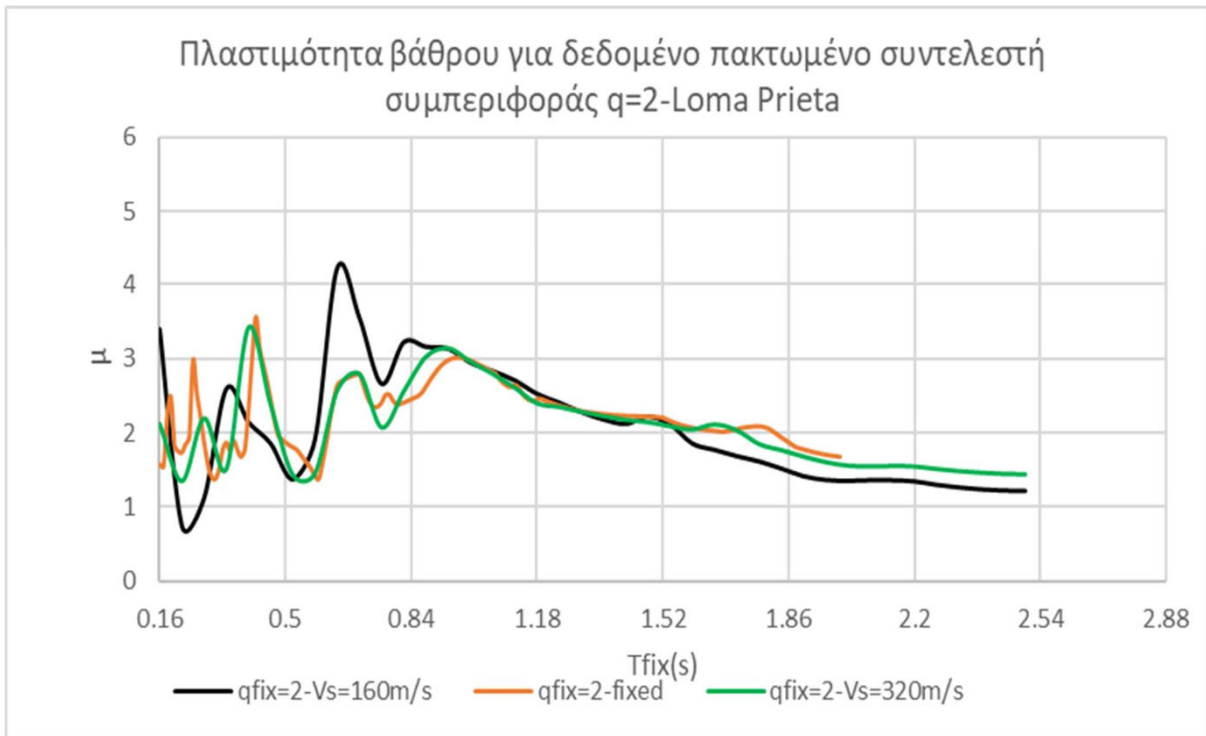
Σχήμα 4.107 Πλαστιμότητα βάθρου με συνυπολογισμό του εδάφους για $q=2$ -Holister



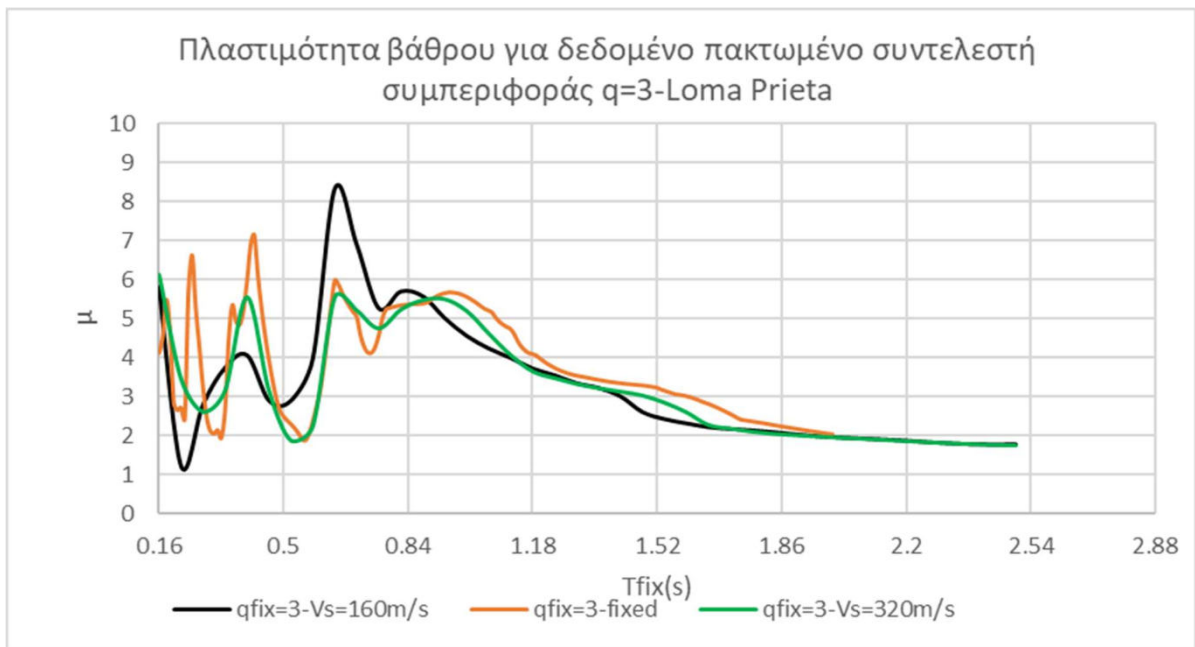
Σχήμα 4.108 Πλαστιμότητα βάθρου με συνυπολογισμό του εδάφους για $q=3$ -Holister



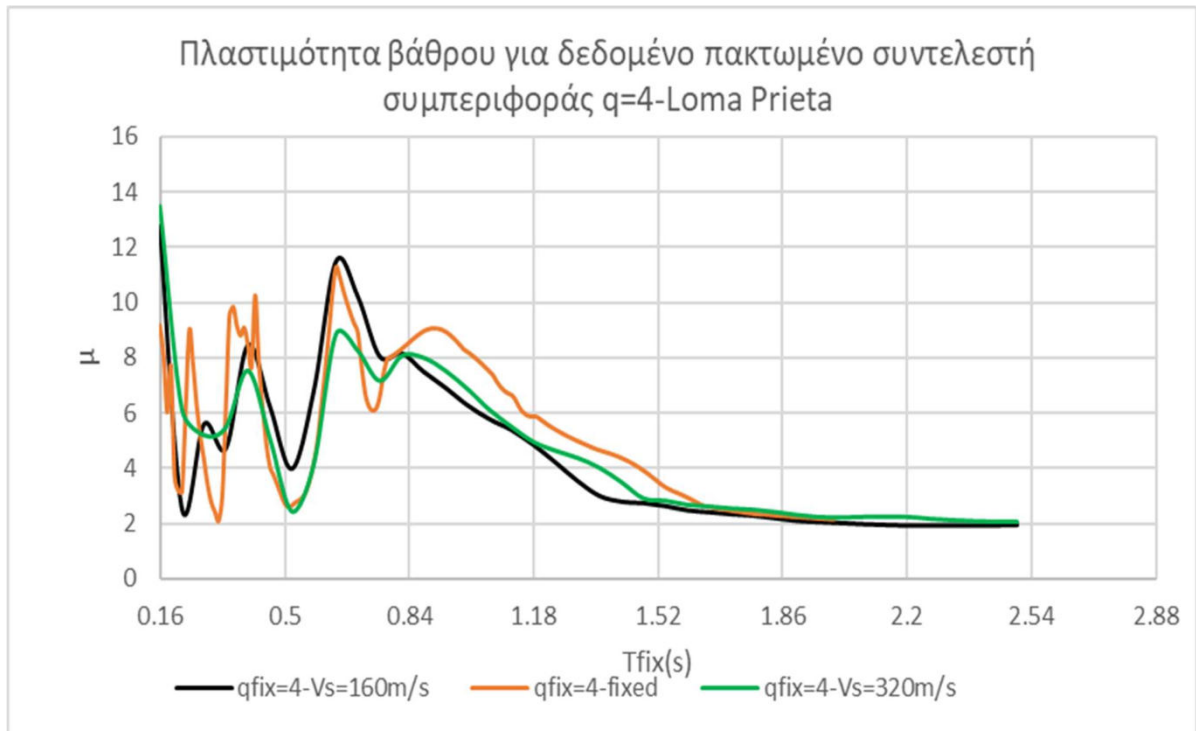
Σχήμα 4.109 Πλαστιμότητα βάθρου με συνυπολογισμό του εδάφους για $q=4$ -Holister



Σχήμα 4.110 Πλαστιμότητα βάθρου με συνυπολογισμό του εδάφους για $q=2$ -Loma Prieta



Σχήμα 4.111 Πλαστιμότητα βάθρου με συνυπολογισμό του εδάφους για $q=3$ -Loma Prieta



Σχήμα 4.112 Πλαστιμότητα βάθρου με συνυπολογισμό του εδάφους για $q=4$ -Loma Prieta

Παρατηρήσεις

- Στις περισσότερες διεγέρσεις και στα δύο εδαφικά προφίλ που εξετάζονται $V_s=160-320\text{m/s}$ η αλληλεπίδραση εδάφους-κατασκευής έχει θετική επιρροή για κατασκευές με ιδιοπεριόδους 0.4-0.7 επιφέροντας μείωση πλαστιμοτήτων έως και 50% ακόμα και για μεγάλους συντελεστές συμπεριφοράς.

- Η επιρροή του εδάφους δεν είναι πάντα ευεργετική για το βάθρο. Για πολύ εύκαμπτες κατασκευές $T>0.8\text{s}$ ή πολύ δύσκαμπτες $T<0.3\text{s}$ η επιρροή του εδάφους είναι συνήθως αρνητική ενώ παρατηρείται αύξηση των πλαστιμοτήτων της τάξης του 40%.

Ενώ και για συνήθεις ιδιοπεριόδους κατασκευών έχουμε αρνητική επιρροή του εδάφους.

Σεισμός	V_s	T	q	μ
Northridge	160	0.62	3	4.8
	βράχος	0.62	3	3.7

Σεισμός	Vs	T	q	μ
Northridge	160	0.46	4	4.8
	320	0.46	4	4.9
	βράχος	0.46	4	3.9

Σεισμός	Vs	T	q	μ
sakarya	160	0.48	2	3.1
	320	0.48	2	5.3
	βράχος	0.48	2	2.8

	Vs	T	q	μ
sakarya	160	0.62	2	3.4
	320	0.62	2	4.9
	βράχος	0.62	2	2.5

	Vs	T	q	μ
sakarya	160	0.48	3	9.2
	320	0.48	3	9.2
	βράχος	0.48	3	7

	Vs	T	q	μ
sakarya	160	0.6	3	9.2
	320	0.6	3	5.8
	βράχος	0.48	3	6

	Vs	T	q	μ
Loma Prieta	160	0.62	2	4.2
	320	0.62	2	2.8
	βράχος	0.62	2	2.8

	Vs	T	q	μ
Loma Prieta	160	0.55	3	3
	320	0.55	3	2
	βράχος	0.55	3	2

4.6 Ανάπτυξη μακροστοιχείου για την κατασκευή των ανελαστικών φασμάτων απόκρισης σταθερής πλαστιμότητας με συνυπολογισμό του ελαστικού εδάφους.

Η κατασκευή των ανελαστικών φασμάτων απαιτεί τον υπολογισμό της επιτάχυνσης διαρροής για να εκτελεστεί η χρονοϊστορία απόκρισης του ελαστικού εδάφους. Βήματα του αλγορίθμου:

- Σαρώνονται διάφορες ιδιοπερίοδοι T_{st}
- Για κάθε ιδιοπερίοδο T_{st} εισάγεται η ελαστική φασματική επιτάχυνση S_A με συνυπολογισμό της εδαφικής ενδοσιμότητας
- Για δεδομένη μάζα ταλαντωτή M_{st} υπολογίζεται:

$$K_{st} = \omega^2 M_{st} \quad , \quad h = \left(\frac{3EI}{K_{st}} \right)^{1/3}$$

- Ο συντελεστή απόσβεσης μάζας δίνεται από την σχέση:

$$a_0 = 2 \xi_{st} \omega$$

- Η επιτάχυνση διαρροής σε κάθε βήμα δίνεται από την σχέση:

$$a_y = S_A - D_a \quad , \quad \text{όπου } D_a = 0.1$$

- Πραγματοποιείται ανελαστική ανάλυση, με το μακροστοιχείο που αναπτύχθηκε στο κεφάλαιο 4.1.5, με δύναμη διαρροής

$$Qh = M_{st} a_y$$

Και υπολογίζεται η μέγιστη μετακίνηση του βάρους dm

- Υπολογίζεται η πλαστιμότητα για την παραπάνω επιτάχυνση διαρροής:

$$\mu = \frac{dm}{a_y} \left(\frac{4\pi^2}{T_{st}^2} \right)$$

- Αν $\mu < \mu_t$ τότε η παραπάνω διαδικασία επαναλαμβάνεται ώς ότου $\mu = \mu_t$.

Ο αλγόριθμος στο Mathcad φαίνεται παρακάτω.

utot := for k ∈ 0..40

$$wp_k \leftarrow \frac{2 \cdot \pi}{Tsc_k}$$

$$ay_{0,k} \leftarrow SA_k - Da$$

$$Kst_k \leftarrow (wp_k)^2 \cdot Mst$$

$$h_k \leftarrow \left(3 \cdot E \cdot \frac{I}{Kst_k} \right)^{\frac{1}{3}}$$

$$a0_k \leftarrow 2 \cdot \xi st \cdot wp_k$$

$$\mu_{0,k} \leftarrow 0$$

$$j \leftarrow 0$$

while 0 < μt

$$ub_1 \leftarrow 0$$

$$eb_1 \leftarrow 0$$

$$u_1 \leftarrow 0$$

$$ub_0 \leftarrow 0$$

$$eb_0 \leftarrow 0$$

$$u_0 \leftarrow 0$$

$$ustr_0 \leftarrow 0$$

$$ustr_1 \leftarrow 0$$

$$s_0 \leftarrow \begin{pmatrix} 0 \\ 0 \\ 0 \end{pmatrix}$$

$$Q0_0 \leftarrow 0$$

$$M0_0 \leftarrow 0$$

$$Qt_0 \leftarrow 0$$

$$Q0_1 \leftarrow 0$$

$$M0_1 \leftarrow 0$$

$$Qt_1 \leftarrow 0$$

$$Qh0_0 \leftarrow 0$$

$$K_d \leftarrow \frac{1}{dt^2} \cdot \begin{pmatrix} \frac{Mst}{100} & 0 & 0 \\ 0 & \frac{Mst}{100} & 0 \\ 0 & 0 & Mst \end{pmatrix} + \frac{1}{2 \cdot dt} \cdot \begin{pmatrix} a0_k \cdot \frac{Mst}{100} + CH & 0 & 0 \\ 0 & a0_k \cdot \frac{Mst}{100} + CR & 0 \\ 0 & 0 & a0_k \cdot Mst \end{pmatrix}$$

for $i \in 1..Nt$

$$Du_i \leftarrow ustr_i - ustr_{i-1}$$

$$a_i \leftarrow \left[1 - \frac{1}{2} \cdot \left(\left| \frac{Qh0_{i-1}}{Mst \cdot ay_{j,k}} \right| \right)^n \cdot (1 + \text{sign}(Qh0_{i-1} \cdot Du_i)) \right]$$

$$D\hat{f}_i \leftarrow \begin{bmatrix} Kst_k \cdot a_i + KH & a_i \cdot Kst_k \cdot h_k & -a_i \cdot Kst_k \\ a_i \cdot Kst_k \cdot h_k & KR + a_i \cdot Kst_k \cdot (h_k)^2 & -a_i \cdot Kst_k \cdot h_k \\ -a_i \cdot Kst_k & -a_i \cdot Kst_k \cdot h_k & a_i \cdot Kst_k \end{bmatrix} \cdot \begin{pmatrix} ub_i - ub_{i-1} \\ \theta b_i - \theta b_{i-1} \\ u_i - u_{i-1} \end{pmatrix}$$

$$\hat{f}_i \leftarrow \hat{f}_{i-1} + D\hat{f}_i$$

$$Pd \leftarrow \begin{pmatrix} KH & 0 & 0 \\ 0 & KR & 0 \\ 0 & 0 & 0 \end{pmatrix} \cdot \begin{pmatrix} uk_i \\ 0 \\ 0 \end{pmatrix} + \begin{pmatrix} CH & 0 & 0 \\ 0 & CR & 0 \\ 0 & 0 & 0 \end{pmatrix} \cdot \begin{pmatrix} vk_i \\ 0 \\ 0 \end{pmatrix} - \frac{1}{dt^2} \cdot \begin{pmatrix} \frac{Mst}{100} & 0 & 0 \\ 0 & \frac{Mst}{100} & 0 \\ 0 & 0 & Mst \end{pmatrix} - \frac{1}{2 \cdot dt} \cdot \begin{pmatrix} a0_k \cdot \frac{Mst}{100} + CH & 0 & 0 \\ 0 & a0_k \cdot \frac{Mst}{100} + CR & 0 \\ 0 & 0 & a0_k \cdot Mst \end{pmatrix} \cdot \begin{pmatrix} ub_{i-1} \\ \theta b_{i-1} \\ u_{i-1} \end{pmatrix} - \hat{f}_i + \frac{2}{dt^2} \cdot \begin{pmatrix} \frac{Mst}{100} & 0 & 0 \\ 0 & \frac{Mst}{100} & 0 \\ 0 & 0 & Mst \end{pmatrix} \cdot \begin{pmatrix} ub_i \\ \theta b_i \\ u_i \end{pmatrix}$$

$$utot \leftarrow K_d^{-1} \cdot Pd$$

$$ub_{i+1} \leftarrow utot_0$$

$$\theta b_{i+1} \leftarrow utot_1$$

$$u_{i+1} \leftarrow utot_2$$

$$ustr_{i+1} \leftarrow u_{i+1} - 1 \cdot \theta b_{i+1} \cdot h_k - ub_{i+1}$$

$$\begin{pmatrix} Q0_i \\ M0_i \\ Qt_i \end{pmatrix} \leftarrow \begin{pmatrix} Q0_{i-1} \\ M0_{i-1} \\ Qt_{i-1} \end{pmatrix} - (1) \cdot \begin{bmatrix} Kst_k \cdot a_i & a_i \cdot Kst_k \cdot h_k & -a_i \cdot Kst_k \\ a_i \cdot Kst_k \cdot h_k & a_i \cdot Kst_k \cdot (h_k)^2 & -a_i \cdot Kst_k \cdot h_k \\ -a_i \cdot Kst_k & -a_i \cdot Kst_k \cdot h_k & a_i \cdot Kst_k \end{bmatrix} \cdot \begin{pmatrix} ub - ub_{i-1} \\ \theta b - \theta b_{i-1} \\ u - u_{i-1} \end{pmatrix}$$

$$Qh0_i \leftarrow Q0_i$$

$$dm_{j,k} \leftarrow \max(\max(ustr), |\min(ustr)|)$$

$$\mu_{j,k} \leftarrow \frac{dm_{j,k}}{ay_{j,k}} \cdot \frac{(\pi)^2 \cdot 4}{(Tsc_k)^2}$$

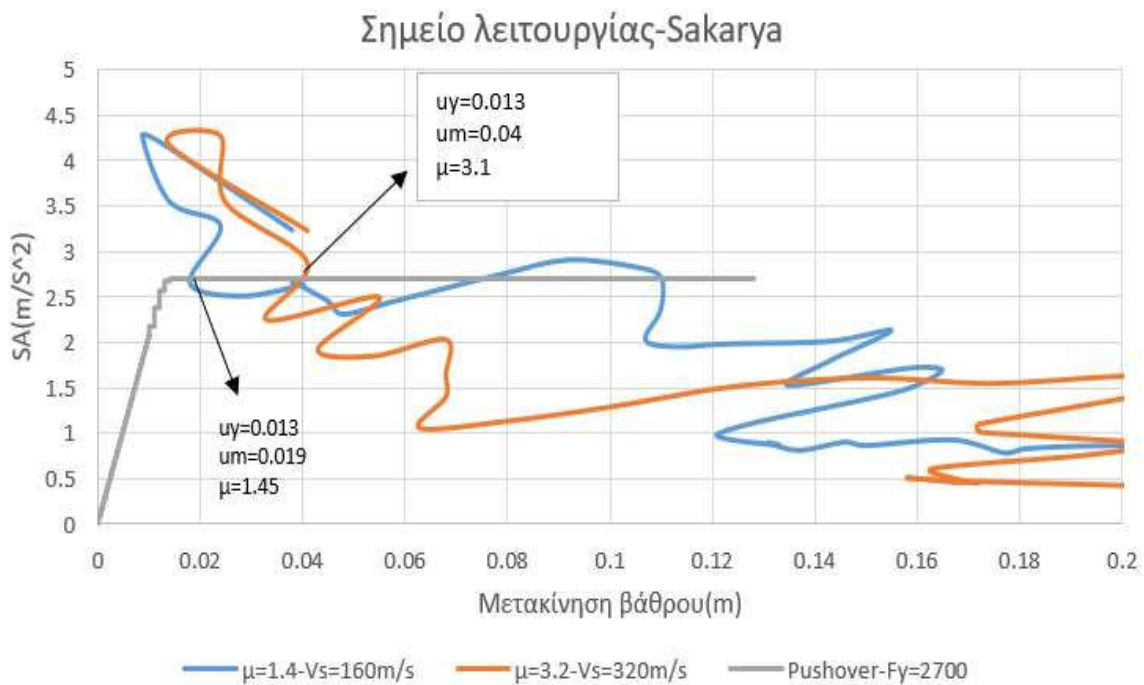
```

if  $\mu_{j,k} < \mu_t$ 
   $a_{j+1,k} \leftarrow a_{j,k} - Da$ 
   $j \leftarrow j + 1$ 
otherwise
   $SApl_k \leftarrow a_{j,k}$ 
   $SDpl_k \leftarrow \delta m_{j,k}$ 
  break
(SDpl)
(SApl)

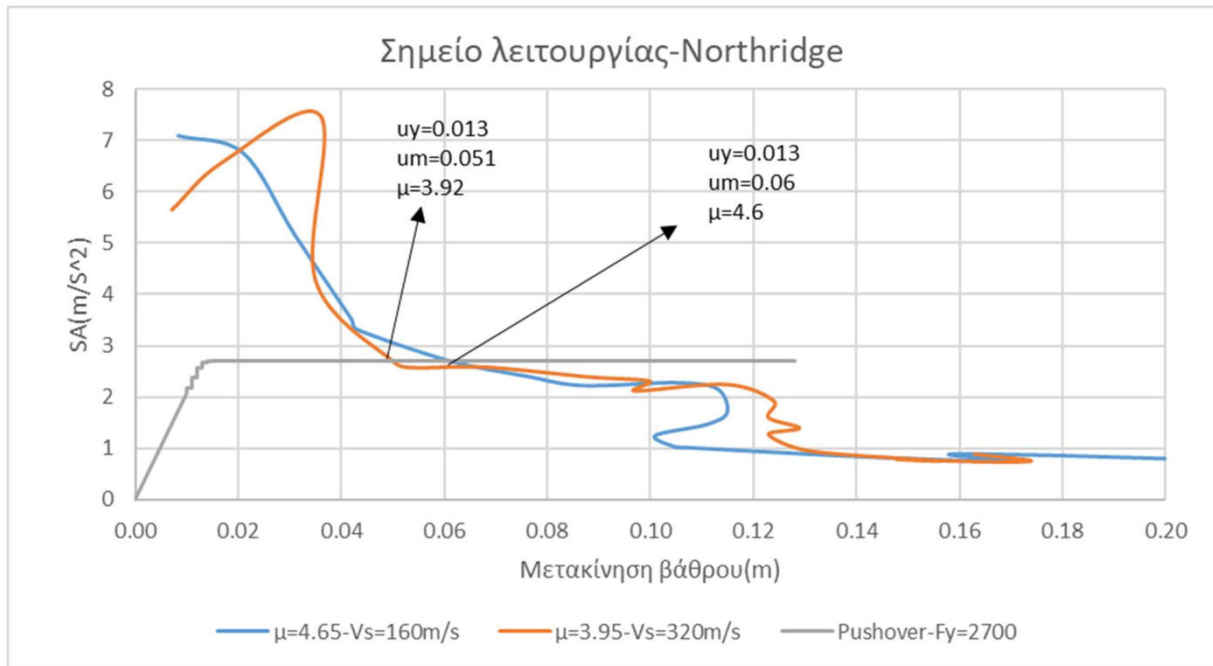
```

4.6.1 Επαλήθευση του μακροστοιχείου μέσω της σεισμικής απαίτησης του βάθρου.

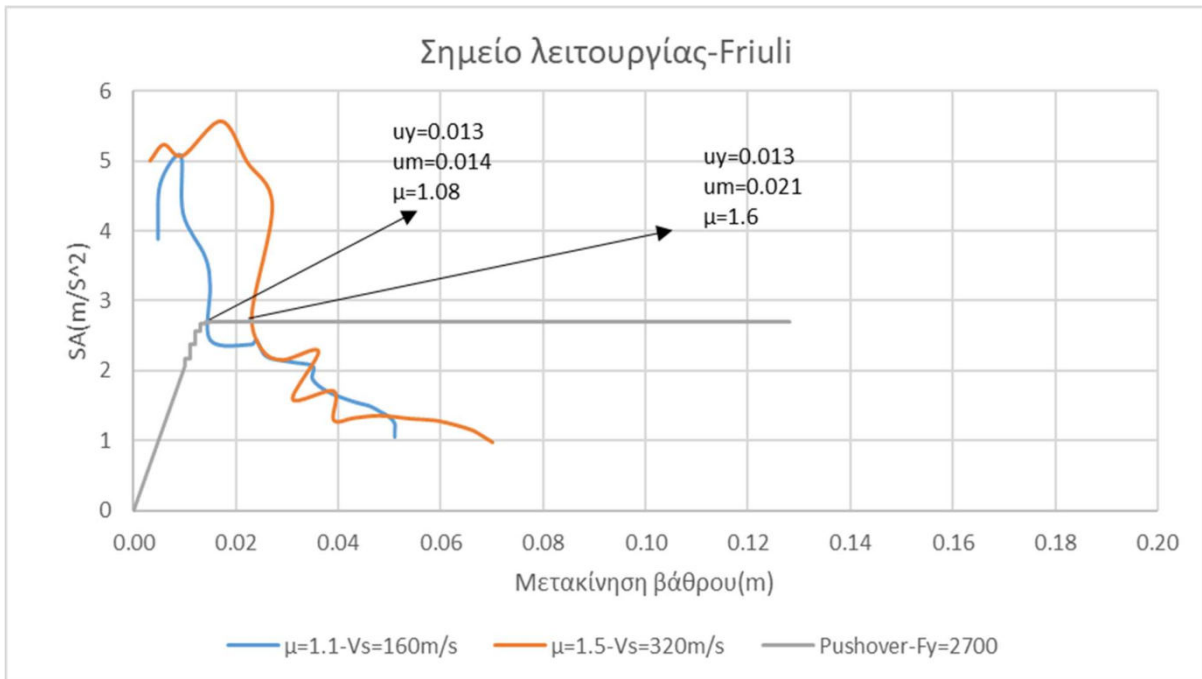
Η ικανότητα μιας κατασκευής να παραλαμβάνει σεισμικά φορτία πρέπει να είναι ίδια με την αντίστοιχη απαίτηση σύμφωνα με το φάσμα σχεδιασμού και στο σύστημα με συνυπολογισμό του γραμμικώς ελαστικά εδάφους. Δηλαδή το σημείο λειτουργίας προκύπτει ως το σημείο τομής της καμπύλης ικανότητας του βάθρου σε μορφή (ADRS) και του ανελαστικού φάσματος για την πλαστιμότητα που αντιστοιχεί στο βάθρο.



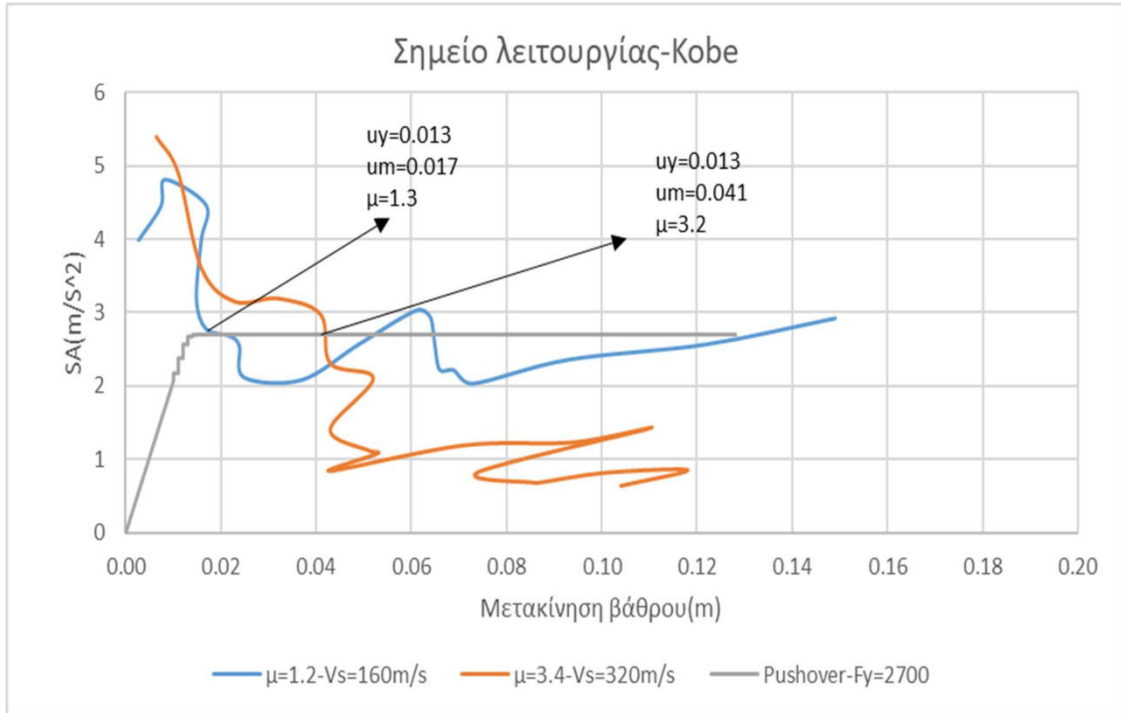
Σχήμα 4.113 Σημεία λειτουργίας του βάθρου για τον σεισμό της Sakarya με δύναμη διαρροής: $F_y=2700\text{KN}$ $V_s=160\text{m/s}$ και $V_s=320\text{m/s}$



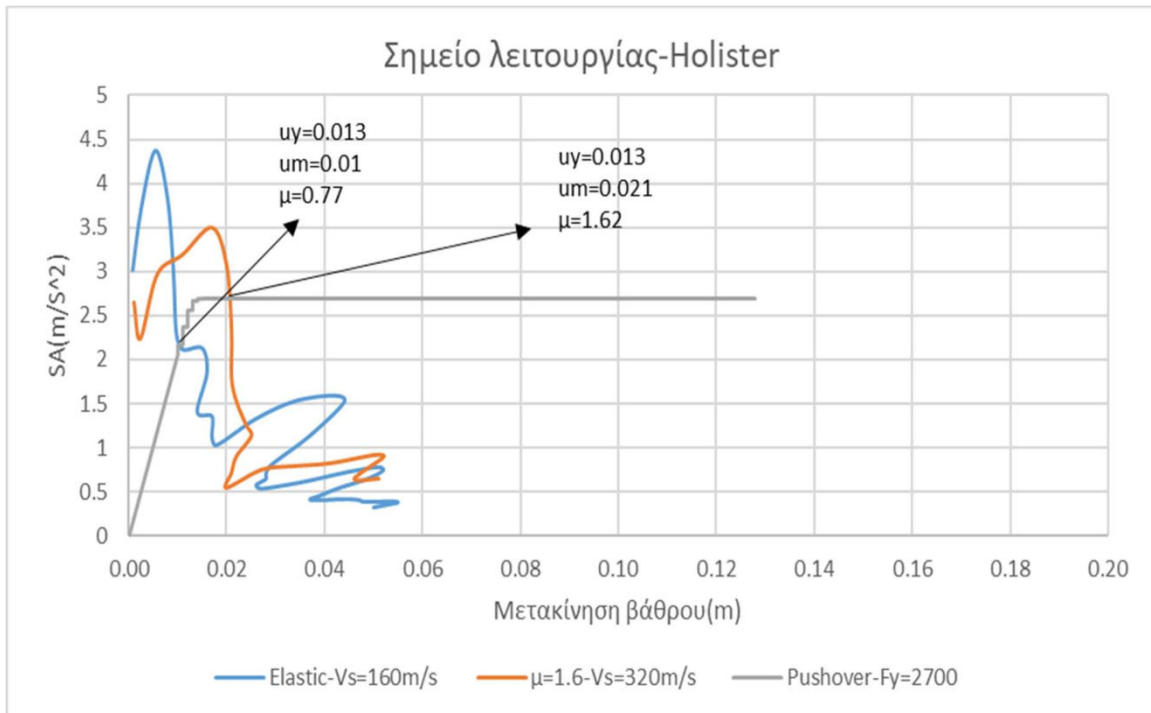
Σχήμα 4.114 Σημεία λειτουργίας βάρου για τον σεισμό Northridge με δύναμη διαρροής: $F_y=2700KN$ για $V_s=160m/s$ και $V_s=320m/s$



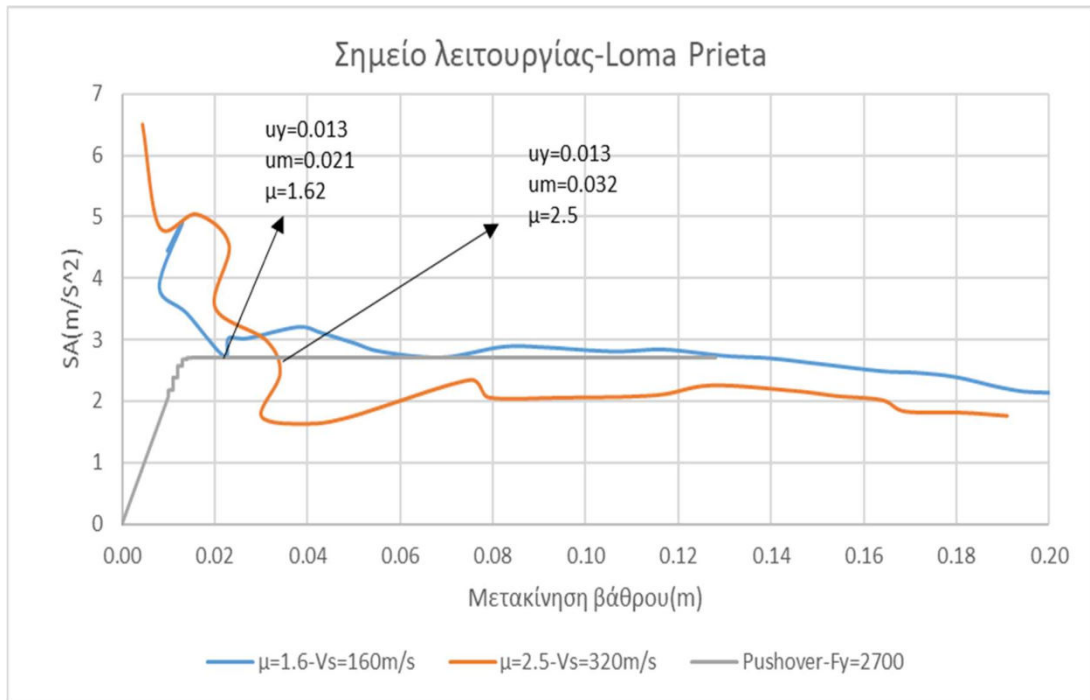
Σχήμα 4.115 Σημεία λειτουργίας βάρου για τον σεισμό Friuli με δύναμη διαρροής: $F_y=2700KN$ $V_s=160m/s$ και $V_s=320m/s$



Σχήμα 4.116 Σημεία λειτουργίας βάρου για τον σεισμό Kobe με δύναμη διαρροής: $F_y=2700\text{KN}$ για $V_s=160\text{m/s}$ και $V_s=320\text{m/s}$.



Σχήμα 4.117 Σημεία λειτουργίας βάρου για τον σεισμό Holister με δύναμη διαρροής: $F_y=2700\text{KN}$ για $V_s=160\text{m/s}$ και $V_s=320\text{m/s}$



Σχήμα 4.118 Σημεία λειτουργίας βάρου για τον σεισμό Loma Prieta με δύναμη διαρροής: $F_y=2700\text{KN}$
 $V_s=160\text{m/s}$ και $V_s=320\text{m/s}$.

ΚΕΦΑΛΑΙΟ 5

5.Συμπεράσματα-Συγκρίσεις.

- Η ενεργός ιδιοπερίοδος του συστήματος εξαρτάται τόσο από την ταχύτητα των διατμητικών κυμάτων V_s , τον λόγο poisson ν , το πλάτος του θεμελίου b , το πάχος της εδαφικής στρώσης H , την πακτωμένη δυσκαμψία K_{st} , το ύψος της κατασκευής h αλλά και από την μέση κυκλική συχνότητα ω της διέγερσης μέσω της οποίας βρίσκονται οι δυναμικοί συντελεστές δυσκαμψίας. Η συνεισφορά των συντελεστών αυτών στην τροποποίηση της ιδιοπεριόδου είναι γενικά μικρή 2-5%.

- Για τον ταλαντωτή της γέφυρας Kobe με $M_{st}=1000tn$, $h=12m$, $d=3m$ έχουμε $T_{st}=0.437s$. Για έδαφος με $V_s=160m/s$ έχουμε $T_{ssi}=0.63s$ ενώ για $V_s=320m/s$ παίρνουμε $T_{ssi}=0.493s$. Δηλαδή αύξηση 45% και 13% αντίστοιχα. Ενώ για $V_s=100m/s$ έχουμε μια αύξηση 96%.

- Από την συντελεστή της εδαφικής ενίσχυσης (Σχήμα 4.13) βλέπουμε ότι το συχνοτικό περιεχόμενο της διέγερσης δεν φαίνεται να επηρεάζει τις θεμελιώδεις συχνότητες του εδάφους. Για ένα έδαφος με $V_s=160m/s$ έχουμε $f_s=2Hz$ οπότε για έναν ταλαντωτή με $T_{st}=0.5s$ αναμένουμε διπλό συντονισμό εδάφους-κατασκευής.

- Η επιρροή της κινηματικής αλληλεπίδρασης στην περίπτωση του επιφανειακού θεμελίου (10x10) είναι γενικά μικρή FFM-FIM. (Σχήμα 4.14)

- Ο σωστός υπολογισμός των δυναμικών συντελεστών δυσκαμψίας και αποσβέσεως είναι κομβικής σημασίας για την εύρεση της σωστής δυναμικής απόκρισης του ταλαντωτή. Για $V_s > 320m/s$ παρατηρούμε μηδενική οριζόντια και περιστροφική απόσβεση ακτινοβολίας για όλες τις σεισμικές διεγέρσεις. Ενώ για $V_s=160m/s$ οι τιμές των συντελεστών δίνονται από τον πίνακα 4.1 χρησιμοποιώντας σχέσεις από την βιβλιογραφία οι οποίες επιβεβαιώνονται από τις αναλύσεις του Plaxis. (Πίνακας 4.2)

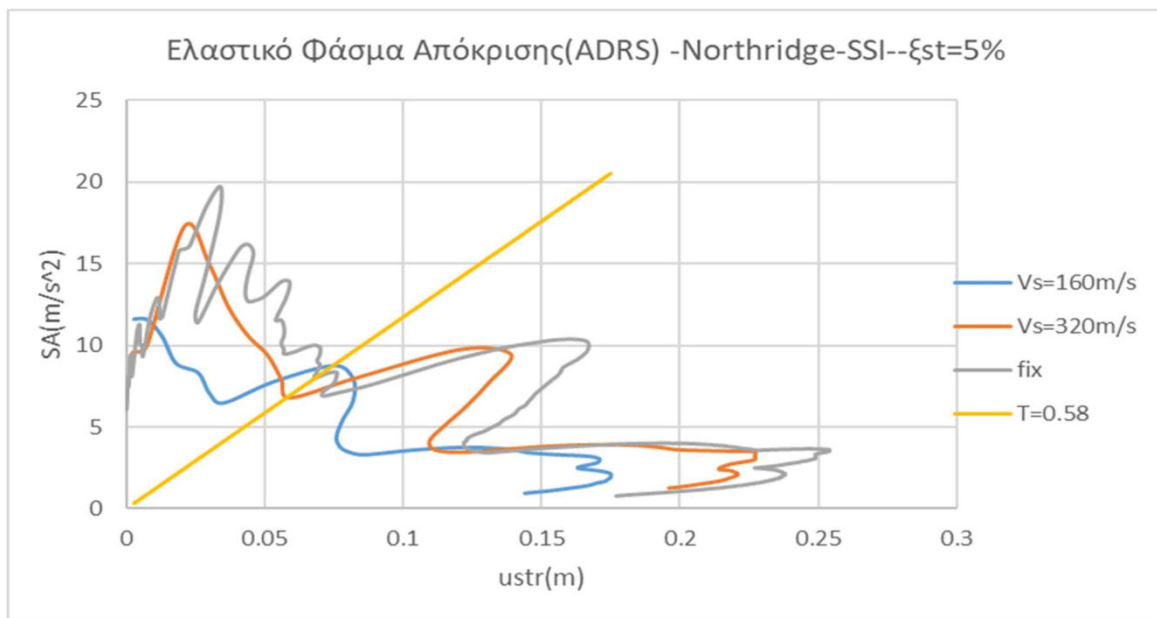
- Οι παράμετροι επιρροής του προβλήματος είναι η σχετική λυγηρότητα, η σχετική δυσκαμψία εδάφους-κατασκευής και ο λόγος μαζών κατασκευής εδάφους θεμελίωσης. Επομένως δύο ελαστικοί ταλαντωτές με $T_{st}=0.437s$ θεμελιωμένοι στο ίδιο έδαφος $V_s=160m/s$ δεν έχουν κατα ανάγκη την ίδια απόκριση όπως φαίνεται και παρακάτω.

Sakarya	Ταλαντωτής	Έδαφος	Μάζα	Ύψος	T_{st}	T_{ssi}	$a(m/s^2)$	$ustr(m)$
	1	$V_s=160$	1000	12	0.437	0.63	2.85	0.015
	2	$V_s=160$	14000	5	0.437	1.017s	2.4	0.012

- Για την ελαστική συμπεριφορά του ταλαντωτή $M_{st}=1000tn$, $h=12m$ και $V_s=160m/s$ έχουμε μείωση των μετακινήσεων του βάθρου έως και 55% σε σχέση με το πακτωμένο σύστημα

Διεγερση	Mst(tn)	Vs(m/s)	ustr	ustr(fixed)	Μείωση(%)
Sakarya	1000	160	0.015	0.02	-25.0
Northridge			0.031	0.056	-44.6
Kobe			0.0154	0.034	-54.7
Friuli			0.0134	0.029	-53.8
Holister			0.01	0.023	-56.5
Loma prieta			0.016	0.022	-27.3
Trinidad			0.004	0.0095	-57.9

Παρόλα αυτά μια αύξηση του Vs δεν σημαίνει απαραίτητα μείωση των μετακινήσεων και των επιταχύνσεων που αναπτύσσονται. Όπως φαίνεται και στα ελαστικά φάσματα Σχήμα 4.41-4.42. Για έναν ελαστικό ταλαντωτή με $T_{st}=0.58s$ και για τον σεισμό Northridge έχουμε



Ταλαντωτής	Mst	h	Vs	ustr(m)	a(m/s ²)
Tst=0.58s	1000	14.5	160	0.073	8.56
Northridge			320	0.057	6.657
			βράχος	0.068	8

Ταλαντωτής	Mst	h	Vs	ustr(m)	a(m/s ²)
Tst=0.8s	1000	18	160	0.058	3.57
Kobe			320	0.037	2.3
			βράχος	0.047	2.9

• Οι καμπύλες αντίστασης για την συμπεριφορά του ανελαστικού ταλαντωτή επι ελαστικού εδάφους είναι αναγκαίο να υπολογιστούν για την εύρεση του σημείου λειτουργίας του ταλαντωτή. Εξαρτώνται από την δύναμη διαρροής F_y της διατομής, τα χαρακτηριστικά του ταλαντωτή και την ενδοσιμότητα του εδάφους. Η κλίση του ελαστικού κλάδου δίνει την ελαστική δυσκαμψία του συστήματος K_{eff} . Η δύναμη διαρροής είναι ίδια τόσο στο πακτωμένο όσο και στο ενδόσιμο έδαφος, η μετακίνηση διαρροής αυξάνεται και η καμπύλη αντίστασης μετατοπίζεται δεξιότερα.

• Τα αποτελέσματα που προέκυψαν από την δυναμική ανάλυση δύο ανελαστικών ταλαντωτών ύψους 12m, και μάζας 1000tn, 1200tn, $F_y=2700\text{KN}$ αντίστοιχα εδραζόμενοι επί ελαστικού εδαφούς $V_s=160,320\text{m/s}$ δίνονται παρακάτω.

Διέγερση	h(m)	Mst(tn)	Vs(m/s)	Tst(s)	Tssi(s)	ustr(m)	F(KN)	Σύγκριση μετακινήσεων	Σύγκριση Δυνάμεων
Sakarya	12	1000	160	0.437	0.63	0.0181	2580	-9.50	-11.95
		1000	320	0.437	0.493	0.044	3000	120.00	2.39
		1300	160	0.5	0.72	0.0497	3050	18.33	-1.61
		1300	320	0.5	0.562	0.053	3020	26.19	-0.03
		1000	βράχος	0.437		0.02	2930		
		1300	βράχος	0.5		0.042	3100		

Διέγερση	h(m)	Mst(tn)	Vs(m/s)	Tst(s)	Tssi(s)	ustr(m)	F(KN)	Σύγκριση μετακινήσεων	Σύγκριση Δυνάμεων
Northridge	12	1000	160	0.437	0.63	0.0621	3380	-8.68	1.68
		1000	320	0.437	0.493	0.0527	3434	-22.50	3.31
		1300	160	0.5	0.72	0.092	3231	15.00	-9.85
		1300	320	0.5	0.562	0.085	3350	-6.25	-0.07
		1000	βράχος	0.437		0.068	3324		
		1300	βράχος	0.5		0.08	3584		

Διέγερση	h(m)	Mst(tn)	Vs(m/s)	Tst(s)	Tssi(s)	ustr(m)	F(KN)	Σύγκριση μετακινήσεων	Σύγκριση Δυνάμεων
Kobe	12	1000	160	0.437	0.63	0.015	3040	-68.75	-0.85
		1000	320	0.437	0.493	0.049	3000	2.08	-2.15
		1300	160	0.5	0.72	0.0178	3000	-63.67	-3.23
		1300	320	0.5	0.562	0.054	3050	10.20	-0.02
		1000	βράχος	0.437		0.048	3066		
		1300	βράχος	0.5		0.049	3100		

Διέγερση	h(m)	Mst(tn)	Vs(m/s)	Tst(s)	Tssi(s)	ustr(m)	F(KN)	Σύγκριση μετακινήσεων	Σύγκριση Δυνάμεων
Friuli	12	1000	160	0.437	0.63	0.014	2581	-56.25	-15.38
		1000	320	0.437	0.493	0.0204	2900	-36.25	-4.92
		1300	160	0.5	0.72	0.0248	2620	18.10	-13.82
		1300	320	0.5	0.562	0.0277	2900	31.90	-0.05
		1000	βράχος	0.437		0.032	3050		
		1300	βράχος	0.5		0.021	3040		

Διέγερση	h(m)	Mst(tn)	Vs(m/s)	Tst(s)	Tssi(s)	ustr(m)	F(KN)	Σύγκριση μετακινήσεων	Σύγκριση Δυνάμεων
Holister	12	1000	160	0.437	0.63	0.00999	2581	-58.38	-13.10
		1000	320	0.437	0.493	0.02136	2900	-11.00	-2.36
		1300	160	0.5	0.72	0.01404	2620	-41.50	-12.67
		1300	320	0.5	0.562	0.02125	2900	-11.46	-0.03
		1000	βράχος	0.437		0.024	2970		
		1300	βράχος	0.5		0.024	3000		

Διέγερση	h(m)	Mst(tn)	Vs(m/s)	Tst(s)	Tssi(s)	ustr(m)	F(KN)	Σύγκριση μετακινήσεων	Σύγκριση Δυνάμεων
Loma Prieta	12	1000	160	0.437	0.63	0.02079	3000	-35.03	0.67
		1000	320	0.437	0.493	0.03366	2950	5.19	-1.01
		1300	160	0.5	0.72	0.04104	3200	14.00	3.90
		1300	320	0.5	0.562	0.0289	3040	-19.72	-0.01
		1000	βράχος	0.437		0.032	2980		
		1300	βράχος	0.5		0.036	3080		

Ενώ με την αύξηση της ενδοσιμότητας του εδάφους έχουμε μείωση των πλαστιμοτήτων της κολώνας τις περισσότερες φορές. Αυτό δεν συμβαίνει πάντα.

Για την Sakarya για τον ταλαντωτή με Mst=1000tn και Vs=320m/s έχουμε μια μετακίνηση βάρους 0.044m ενώ στην περίπτωση της πάκτωσης 0.02m. Επομένως η ενδοσιμότητα του εδάφους δεν είναι πάντα ευεργετική για την κατασκευή.

ΚΕΦΑΛΑΙΟ 6

6. Διερεύνηση της δυναμικής αλληλεπίδρασης μη γραμμικού εδάφους-ελαστικού ταλαντωτή με την γρήση πεπερασμένων στοιχείων και του μακροστοιχείου του Seismostruct.

6.1 Γενικά

Έως τώρα μελετήθηκε η ελαστική συμπεριφορά του εδάφους κατα την οποία το θεμέλιο παρουσιάζει αποκλειστικά ανακτώμενες παραμορφώσεις. Στην πραγματικότητα όμως η συμπεριφορά του εδάφους-θεμελίου τόσο με στατική όσο και με ανακυκλική φόρτιση είναι εντόνως μη γραμμική.

Επομένως είναι αναγκαίο να οριστεί μια συνάρτηση διαρροής που θα ορίζει το όριο ανάμεσα στην ελαστική και ανελαστική συμπεριφορά του συστήματος. Η διαρροή αυτή εξαρτάται από τη φόρτιση με ροπή M , τέμνουσα Q , αξονική N από τις ιδιότητες του εδάφους (αστράγγιστη διατμητική αντοχή S_u) τις ελαστικές σταθερές του εδάφους (Μέτρο διάτμησης G , λόγος poisson ν) από την πλευρά B του θεμελίου. Δηλαδή η επιφάνεια διαρροής περιγράφει την πραγματική κατάσταση στην οποία συνυπάρχουν οι γεωμετρικές (ολίσθηση, ανασήκωμα) και εδαφικές μη γραμμικότητες (υπέρβαση φέρουσας ικανότητας, κινητοποίηση του μηχανισμού αστοχίας).

Η καμπύλη αλληλεπίδρασης ορίζεται ως εξής:

$$Z(M, Q, N) = 2z_N + \frac{z_M}{z_Q} - \left(1 - \frac{z_M}{z_Q}\right) (1 - z_Q)^{0.5} = 1$$

$$z_N = \frac{N_u}{N_{uo}} = \frac{1}{FS} = x$$

$$z_M = \frac{M_u}{M_{uo}}$$

$$z_Q = \frac{Q_u}{Q_{uo}}$$

N_{uo} : η αντοχή σε αμιγώς κατακόρυφη φόρτιση της επιφανειακής θεμελίωσης.

$$N_{uo} = (\pi + 3)S_u B^2 \quad (6.1)$$

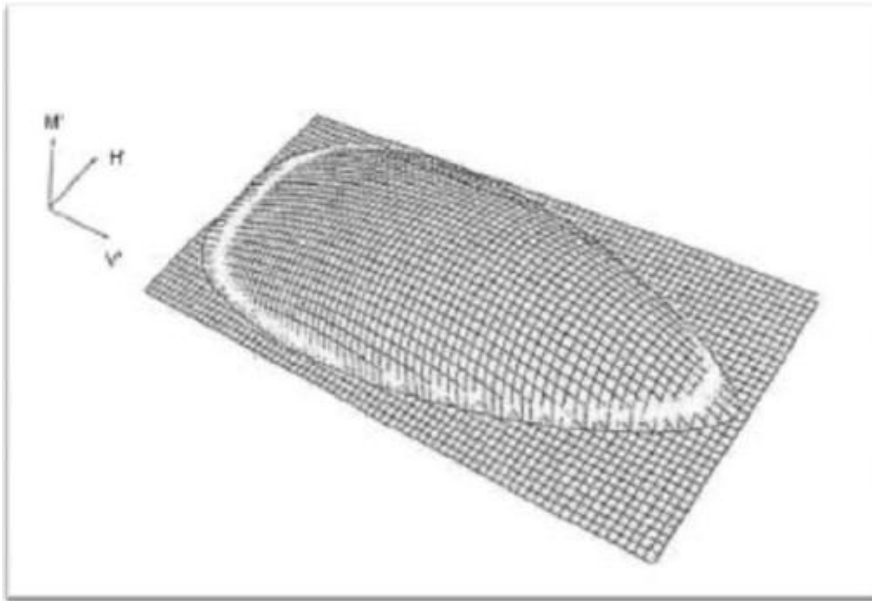
M_{uo} : Η μέγιστη ροπή που μπορεί να ανλάβει η θεμελίωση που εμφανίζεται όταν ασκηθεί στην θεμελίωση αξονική δύναμη ίση με $\frac{N_{uo}}{2}$

$$M_{uo} = \frac{(\pi+3)}{8} S_u B^3 \quad (6.2)$$

Q_{uo} : Η καθαρή αντοχή σε αμιγώς οριζόντια φόρτιση της επιφανειακής θεμελίωσης

$$Q_{uo} = SuB^2 \quad (6.3)$$

- $Z(M, Q, N) < 1$, τότε το σύστημα της θεμελίωσης συμπεριφέρεται ελαστικά και δημιουργούνται αποκλειστικά ελαστικές παραμορφώσεις
- $Z(M, Q, N) = 1$, τότε η θεμελίωση έχει διαρρεύσει και δημιουργούνται πέρα από τις ελαστικές και μόνιμες παραμορφώσεις.



Σχήμα 6.1 Επιφάνεια διαρροής επιφανειακής θεμελίωσης.(Cremer Pecker 2008)

Εξετάζοντας την επιφάνεια διαρροής στο M-N επίπεδο παρατηρούμε ότι χωρίζεται σε περιοχές γραμμικής και μη γραμμικής συμπεριφοράς. Η περιοχή της μη γραμμικής συμπεριφοράς χωρίζεται σε μικρότερα μέρη ανάλογα αν παρατηρείται ανασήκωμα του επιφανειακού θεμελίου ή διαρροή του εδάφους (κίνηση μηχανισμού αστοχίας) ή και τα δύο. Συγκεκριμένα χωρίζεται στα εξής μέρη:

- a) Ελαστική συμπεριφορά του εδάφους και το θεμέλιο σε πλήρη επαφή με αυτό
- b) Ελαστική συμπεριφορά του εδάφους με ανασήκωμα του θεμελίου
- c) Διαρροή του εδάφους με το θεμέλιο σε πλήρη επαφή
- d) Διαρροή του εδάφους με το θεμέλιο σε πλήρη επαφή με αυτό

Η συγκεκριμένη επιφάνεια μπορεί να χωριστεί σε δύο περιοχές αναλογως του συντελεστή $\chi = 1/FS_v$.

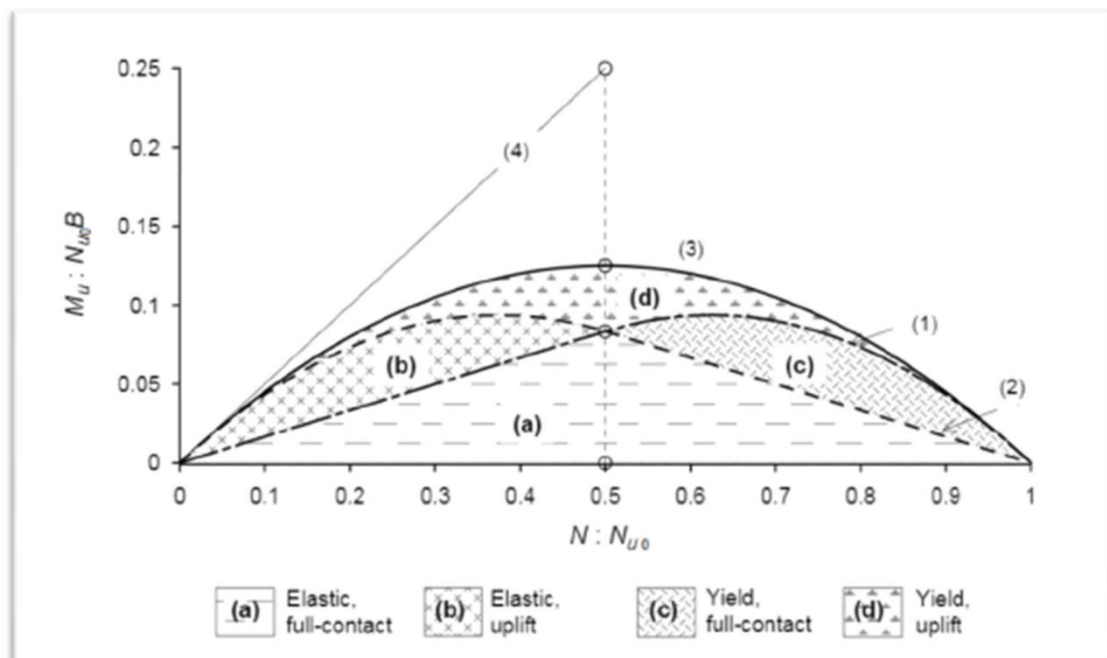
- Στην περιοχή 1 όπου επικρατεί το ανασήκωμα του θεμελίου που αντιστοιχεί σε μια επιφανειακή θεμελίωση που φορτίζεται με μικρό κατακόρυφο φορτίο ($\chi < 0.5$)
- Στην περιοχή 2 όπου επικρατεί η διαρροή του εδάφους και ισχύει $\chi > 0.5$.

Για $\chi = 0.5$ έχουμε μια ιδεωδώς συμμετρική συμπεριφορά. Στο σημείο αυτό η θεμελίωση αναπτύσσει την μέγιστη ροπή η οποία είναι ίση με :

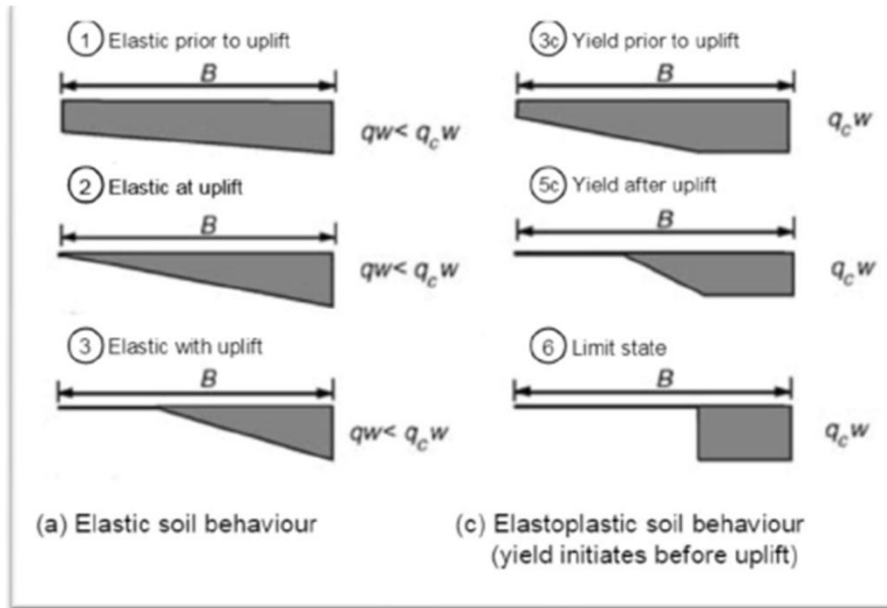
$$\max M_u = 0.125 N_{u0} B$$

Επιπλέον παρατηρείται το μέγιστο εύρος της ελαστικής συμπεριφοράς, πριν την μη γραμμική συμπεριφορά εξαιτίας της διαρροής ή του ανασηκώματος ή συνδυασμός και των δύο η ροπή σε αυτό το σημείο είναι ίση με $\frac{2}{3} \max M$.

Τα παραπάνω συνοψίζονται στα παρακάτω διαγράμματα.



Σχήμα 6.2 Καμπύλη αλληλεπίδρασης στο επίπεδο M-N (Αποστόλου Γκαζετας 2007)



Σχήμα 6.3 Κατανομές των τάσεων κάτω από το θεμέλιο(Bartlet 1979)

- Η κατανομή 1 αντιστοιχεί στην περιοχή a διότι το έδαφος συμπεριφέρεται ελαστικά και το θεμέλιο δεν έχει ανασηκωθεί.
- Η κατανομή του γραφήματος 2 αντιστοιχεί στην καμπύλη που χωρίζει τις περιοχές a ,b
- Η κατανομή του γραφήματος 3 αντιστοιχεί στην περιοχή b διότι το έδαφος συμπεριφέρεται ελαστικά και το θεμέλιο έχει ανασηκωθεί
- Η κατανομή του γραφήματος 3c αντιστοιχεί στην περιοχή c διότι το έδαφος έχει πλαστικοποιηθεί αλλά δεν έχει ανασηκωθεί
- Η κατανομή 5c αντιστοιχεί στην περιοχή d διότι έχει πλαστικοποιηθεί το έδαφος και το θεμέλιο έχει ανασηκωθεί επίσης
- Η κατανομή 6 ισχύει πάνω στην καμπύλη της διαρροής όπου έχουμε αστοχία.

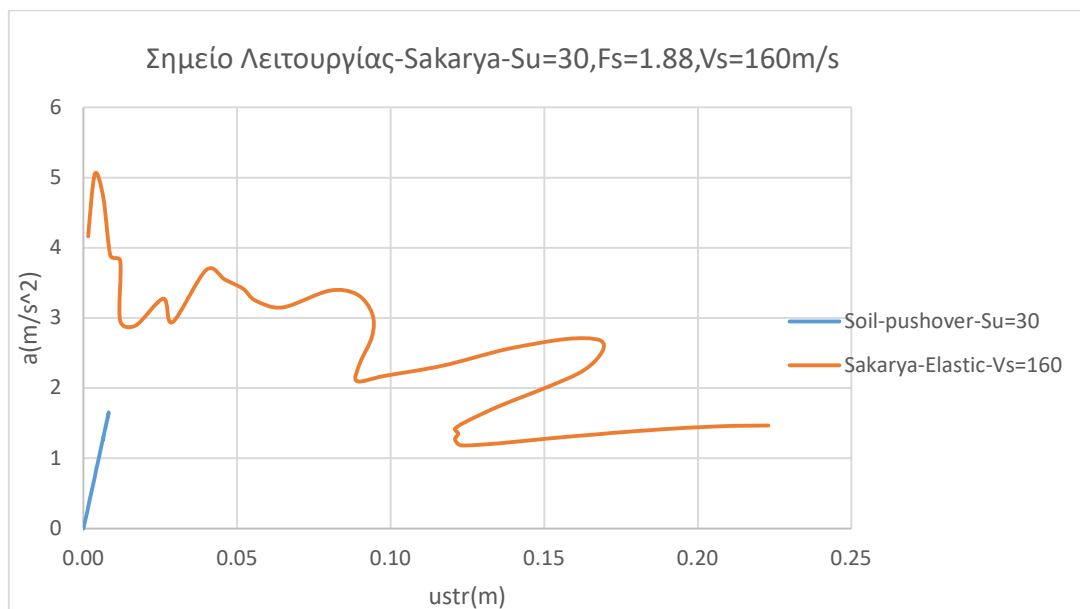
Επομένως είναι αναγκαίο να βρεθεί τόσο το σημείο λειτουργίας του ταλαντωτή αλλά και η ιστορία απόκρισης των μετακινήσεων του βάρου και των αναπτυσσόμενων επιταχύνσεων. Η ιστορία των μετακινήσεων θα γίνει με το plaxis 3d για διάφορες τιμές S_u και ελέγχοντας παράλληλα το μακροστοιχείο του seismostruct.

6.2 Σημείο λειτουργίας ελαστικού ταλαντωτή επί μη γραμμικού εδάφους.

Το σημείο λειτουργίας του ελαστικού ταλαντωτή επί μη γραμμικού εδάφους θα δίνεται από το σημείο τομής της καμπύλης αντίστασης του με το ελαστικό φάσμα σχεδιασμού με συνυπολογισμό του γραμμικώς ελαστικά εδάφους.

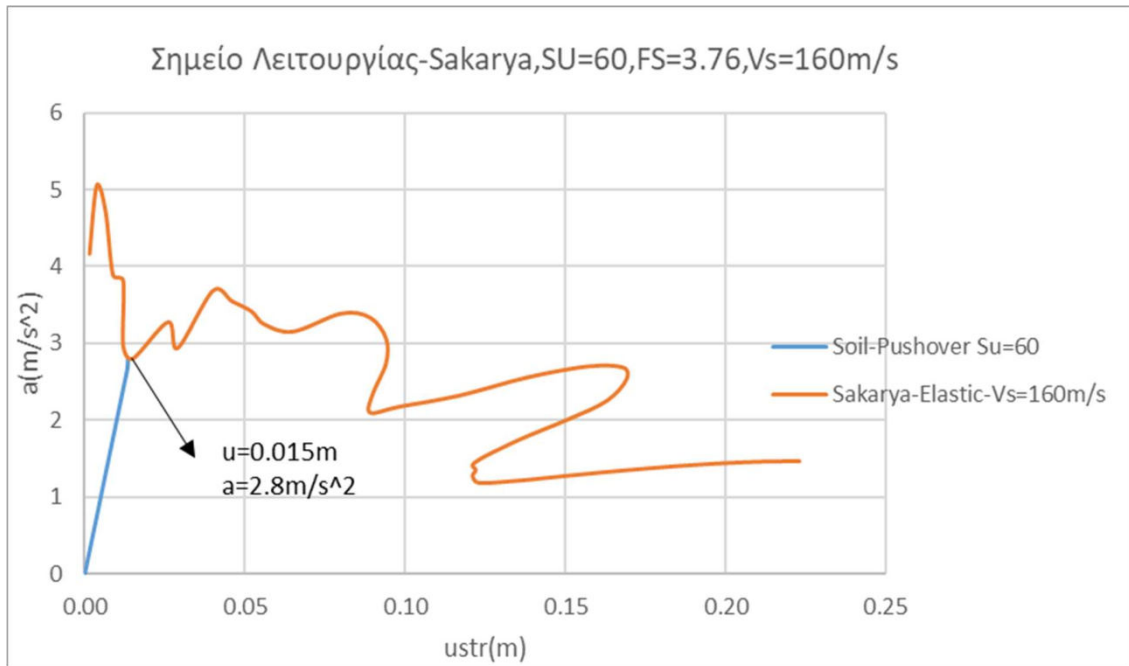
Για τον υπολογισμό της καμπύλης αντίστασης θα χρησιμοποιηθεί το Plaxis 3D. Η μη γραμμικότητα του εδάφους δίνεται μέσω του προσωμοιώματος Mohr-Coulomb, οι συνθήκες είναι αστράγγιστες με αντοχή S_u . Τα υπόλοιπα χαρακτηριστικά του εδάφους παραμένουν ως έχουν $V_s=160\text{m/s}$, $G=51300\text{Kpa}$, $\gamma=19.63\text{KN/m}^3$.

Είναι προτιμότερο η καμπύλη αντίστασης αλλά και το φάσμα να δοθεί σε όρους επιτάχυνσης στην μάζα του ταλαντωτή-μετακίνηση του βάθρου για να πάρουμε την πληροφορία της δομικής μετακίνησης που δίνει και την ζημιά στον ταλαντωτή.



Σχήμα 6.4 Σημείο λειτουργίας για τον σεισμό Sakarya

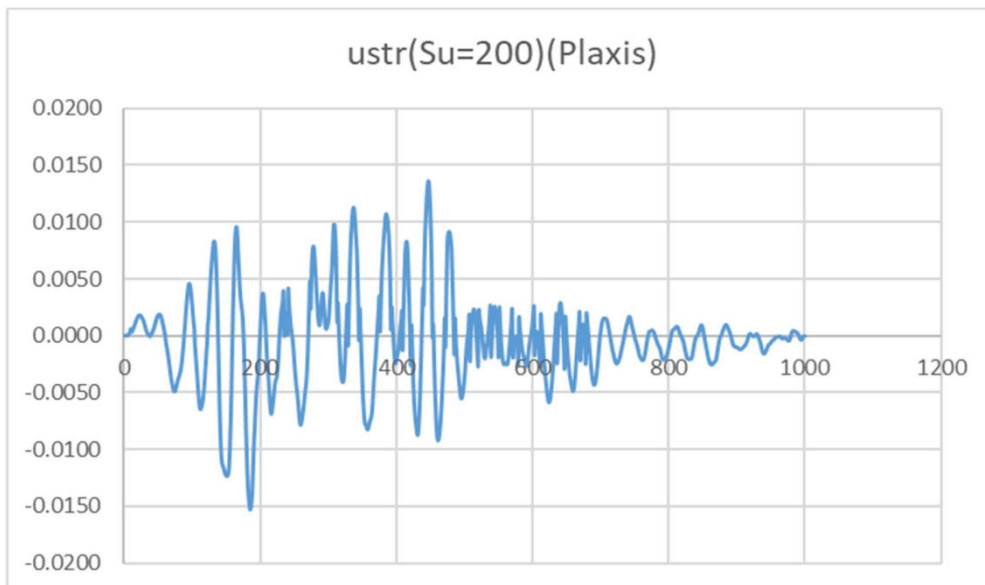
Παρατηρούμε ότι το έδαφος έχει αστοχήσει πολύ πριν το σύστημα αναπτύξει την ελαστική παραμόρφωση του.



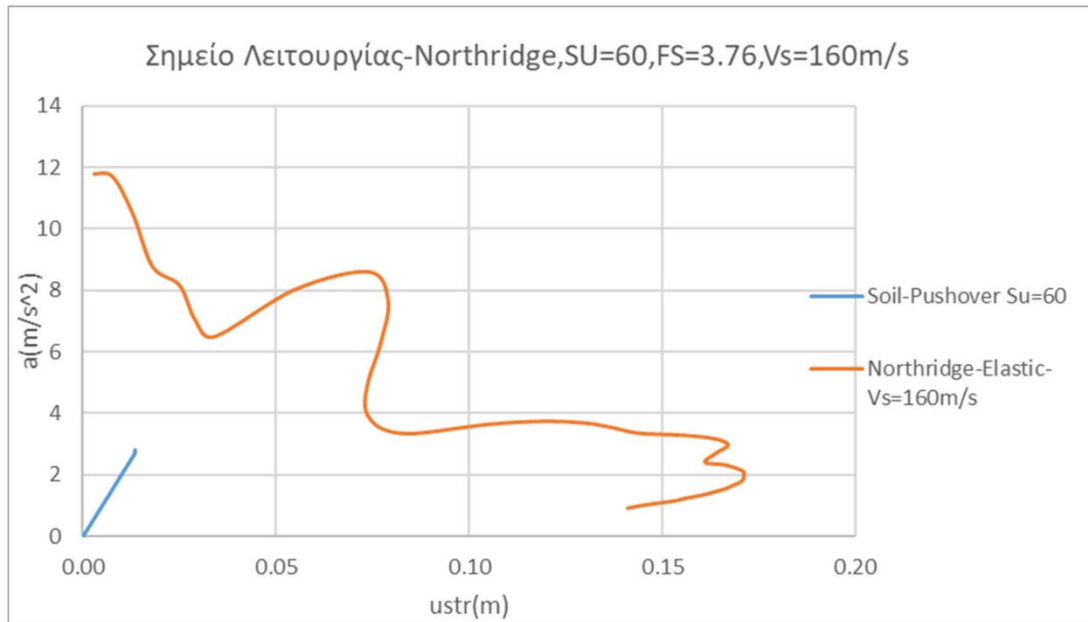
Σχήμα 6.5 Ελαστικό σημείο λειτουργίας για την Sakarya- $S_U=60$

Για $S_u=60Kra$ παρατηρούμε ότι η καμπύλη αντίστασης του βάθρου τέμνει το ελαστικό φάσμα απόκρισης στο σημείο A(0.015,2.8) στο οποίο ο ταλαντωτής αναπτύσει τις μέγιστες τιμές του και συμπεριφέρεται ελαστικά.

Ακόμα και για $S_u=200Kra$ και $F_s=12$ ο ταλαντωτής δεν αναμένεται να αναπτύξει μεγαλύτερη μετακίνηση ακόμα και όταν δεσπόζει το ανασήκωμα όπως φαίνεται παρακάτω.

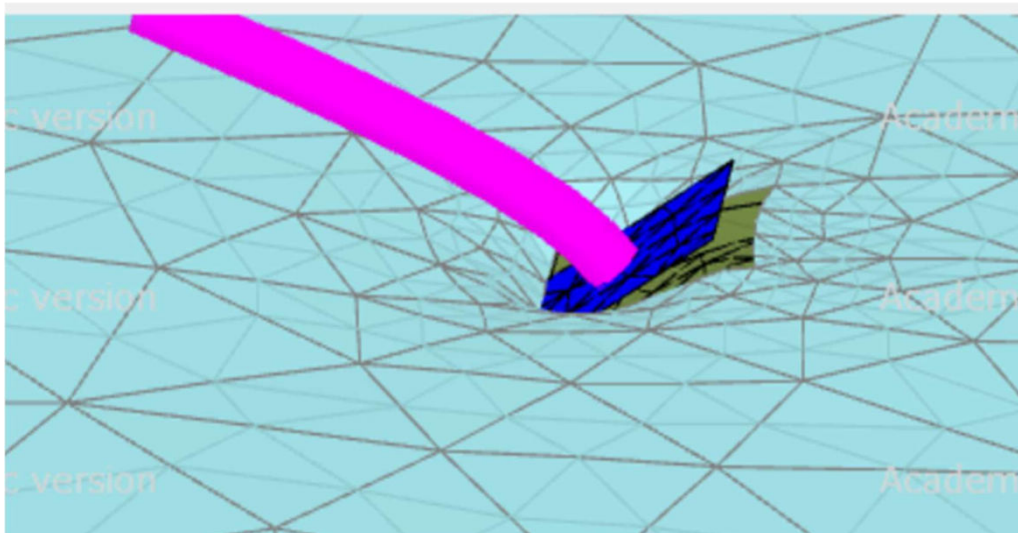


Σχήμα 6.6 Χρονοϊστορία μετακινήσεων βάθρου για $S_U=200Kra$

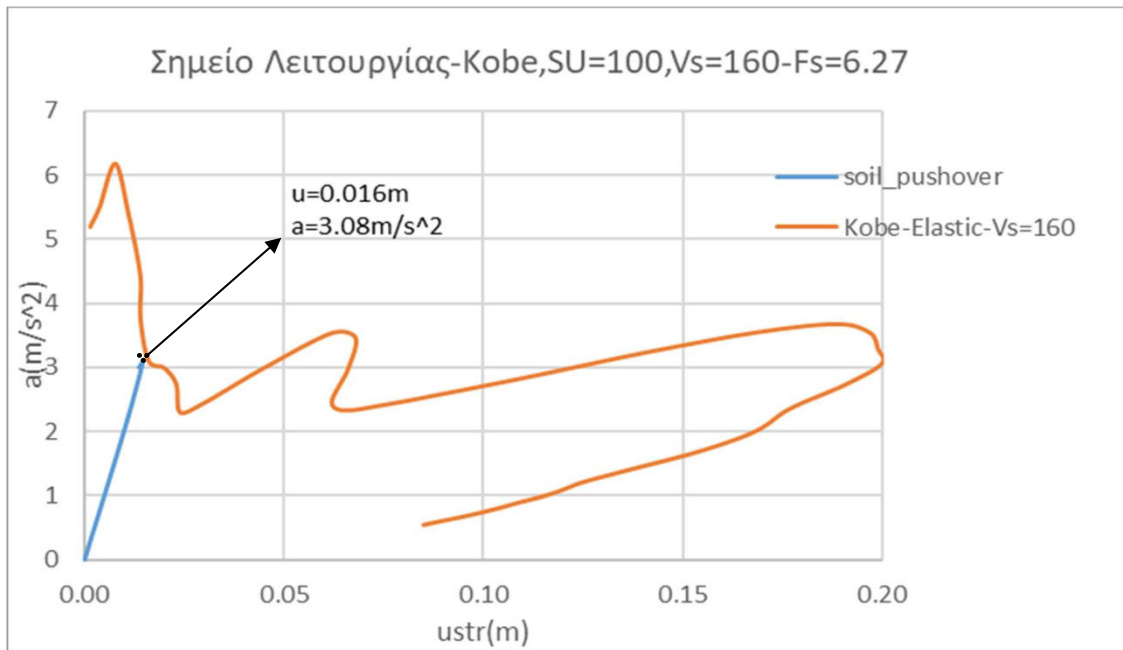


Σχήμα 6.7 Σημείο Λειτουργίας -Northridge SU=60

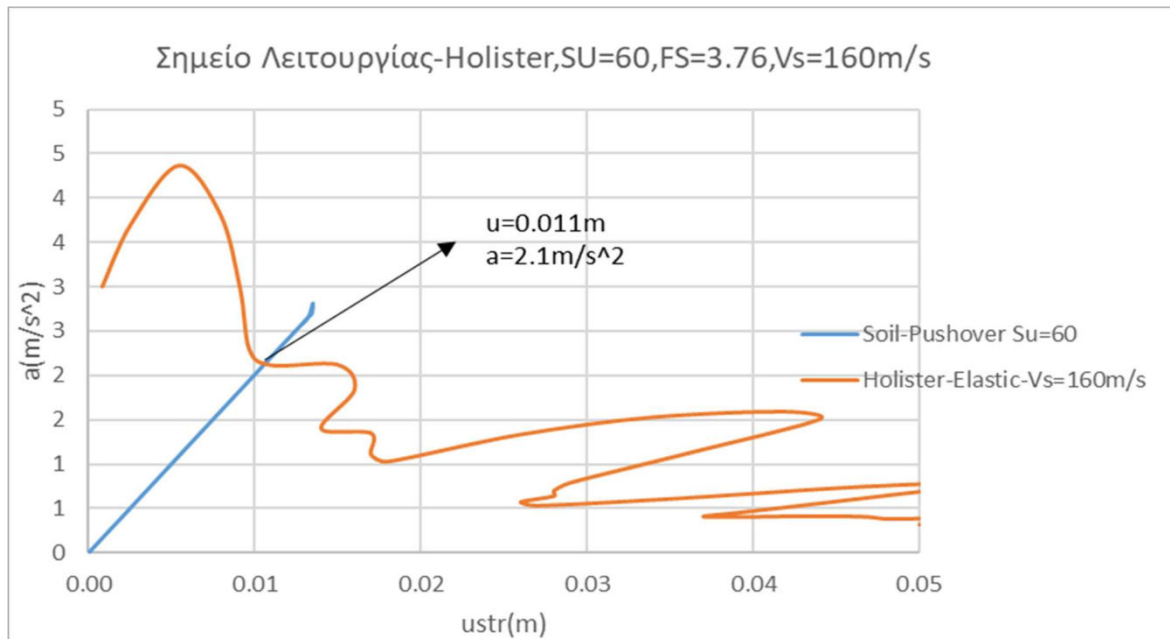
Παρατηρούμε ότι το έδαφος έχει αστοχήσει πολύ πριν το σύστημα αναπτύξει την μέγιστη μετακίνηση του.Ενώ για $S_u=600$ παρατηρούμε ανατροπή του βάθρου.



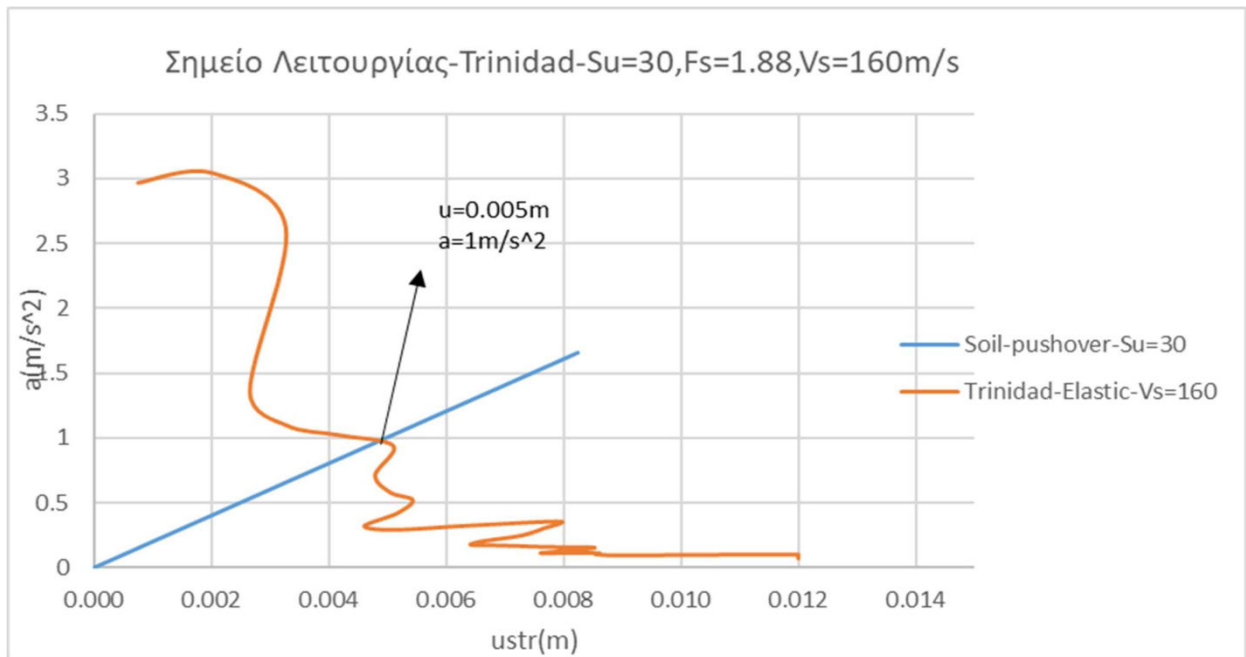
Για τον σεισμό του Kobe παρατηρούμε ότι για $S_u=30,60$ το έδαφος έχει αστοχήσει πολύ πριν το σύστημα ανέπτυξει την μέγιστη μετακίνηση του. Ενώ η ελαστική λειτουργία επιτυγχάνεται για $S_u=100$.



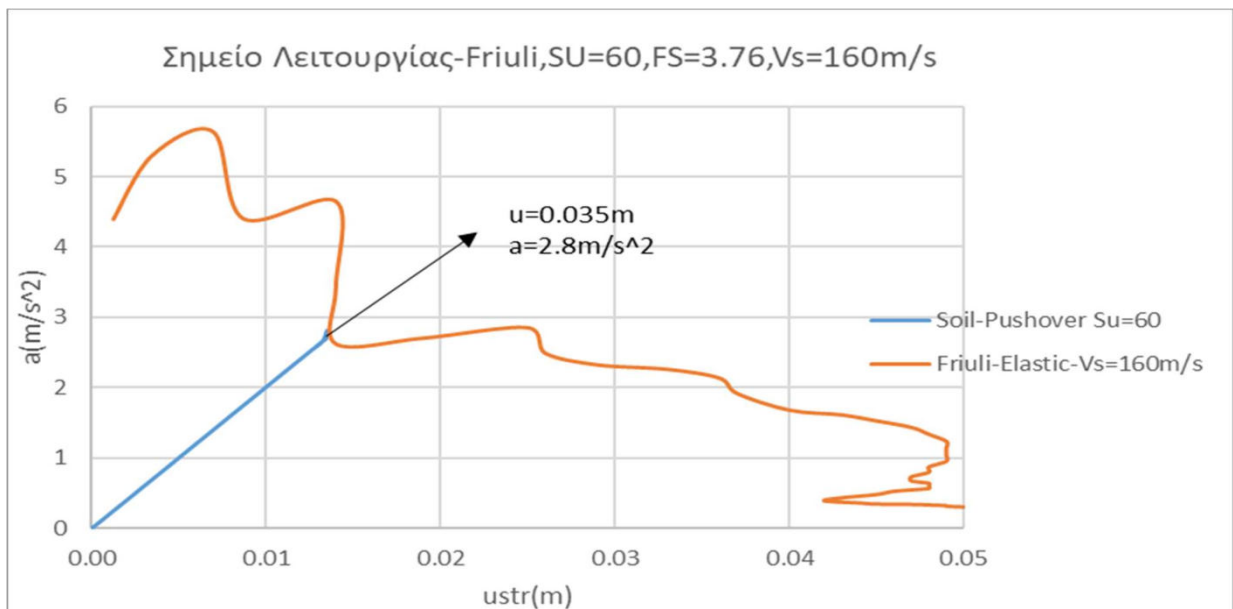
Σχήμα 6.8 Σημείο Λειτουργίας Kobe $S_u=100, u=0.016, a=3.08$



Σχήμα 6.9 Σημείο Λειτουργίας Holister $S_u=60, u=0.011, a=2.1$



Σχήμα 6.10 Σημείο Λειτουργίας Trinidad SU=30, u=0.005, a=1

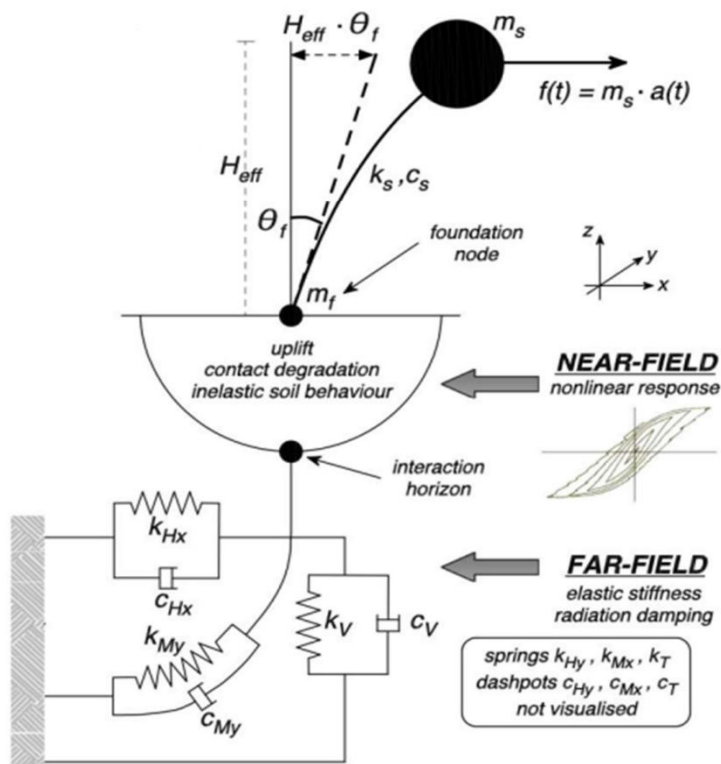


Σχήμα 6.11 Σημείο Λειτουργίας Friuli Su=60, u=0.0135, a=2.8

6.3 Σεισμική αλληλεπίδραση ταλαντωτή επί μη γραμμικού εδάφους

Πέρα από τις περιπτώσεις που το πρόβλημα εκφυλίζεται στο ελαστικό το σημείο λειτουργίας δεν δίνει ιδιαίτερες πληροφορίες για την σεισμική αλληλεπίδραση του ταλαντωτή. Για να βρούμε τις ιστορίες των μετακινήσεων και επιταχύνσεων του βάρου θα πρέπει να εκτελέσουμε αναλύσεις με ΠΣ *plaxis 3d* πάνω στο ήδη επιβεβαιωμένο ταλαντωτή-έδαφος. Οι αναλύσεις αυτές θα εκτελεστούν και με το μακροστοιχείο του *Seismostruct*.

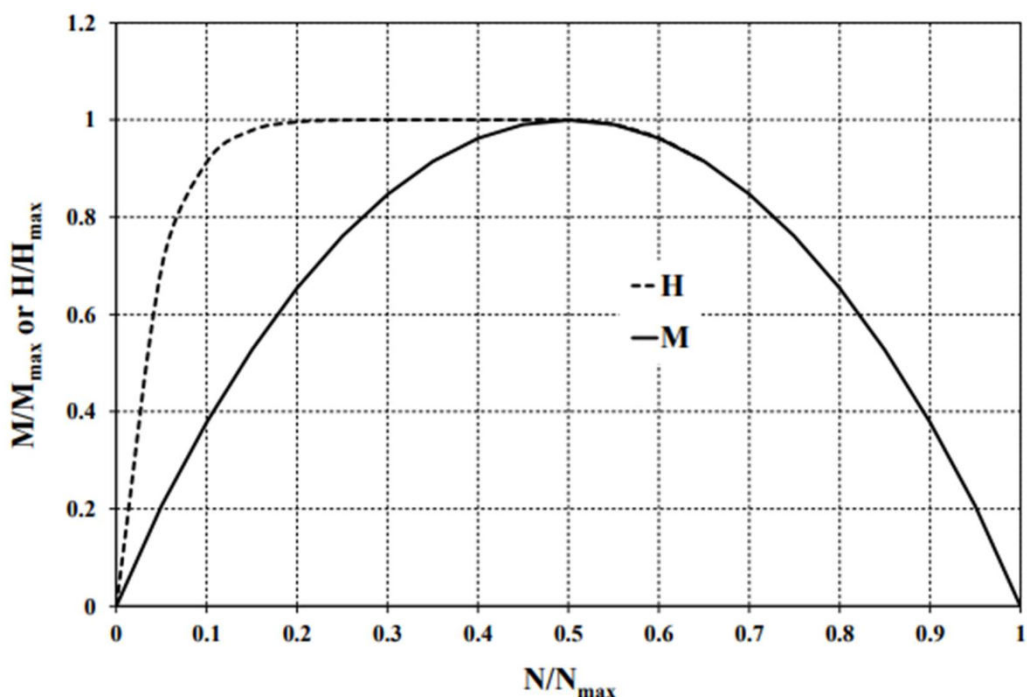
Το στοιχείο που χρησιμοποιείται είναι ένα μη γραμμικό μοντέλο για αλληλεπίδραση εδάφους – επιφανειακού θεμελίου με βάση το έργο των Correia και Paolucci (2019). Η προσέγγιση του μακρο-στοιχείου μειώνει σημαντικά το μέγεθος του προβλήματος, δεδομένου ότι η θεμελίωση και το έδαφος θεωρούνται ένα ενιαίο μακροστοιχείο που χαρακτηρίζεται από έξι βαθμούς ελευθερίας (6 BE), στην περίπτωση 3D, του οποίου η διαμόρφωση βασίζεται στις προκύπτουσες δυνάμεις και μετακινήσεις. Η γεωμετρία θεωρείται ότι αντιστοιχεί σε ένα ορθογώνιο άκαμπτο θεμέλιο, με σύζευξη μεταξύ όλων των BE του μακρο-στοιχείου και η θεώρηση του ως ένα μοναδικό στοιχείο ζεύξης μηδενικού μήκους. Λαμβάνοντας υπόψη μια επίπεδη φόρτιση, για την απλότητα του συμβολισμού και της απεικόνισης, η βάση θα υποβληθεί σε μια ροπή και σε κάθετες και οριζόντιες δυνάμεις (M_y , N και H_x αντίστοιχα), όπως απεικονίζεται στο σχήμα. [Seismostruct Manual]



Σχήμα 6.11 Μη γραμμικό μακροστοιχείο (Correia Paolucci 2019)

Το μοντελοποιημένο μακροστοιχείο θεμελίου αντιπροσωπεύει τη δυναμική συμπεριφορά των αβαθών άκαμπτων θεμελίων, που υπόκεινται σε αδρανειακή φόρτιση τριών διαστάσεων, από τα αρχικά στάδια φόρτισης μέχρι την αστοχία. Το μακροστοιχείο βασίζεται σε τρεις βασικές χαρακτηριστικές αποκρίσεις θεμελίων, δηλαδή: i) Αρχική ελαστική απόκριση, ii) Ανασθήκωμα λικνισμού iii) Αστοχία σε συνθήκες φόρτισης.

Το μοντέλο πλαστικότητας οριακής επιφάνειας χρησιμοποιείται για να αντιπροσωπεύσει μια διαρκή μετάβαση μεταξύ της αρχικής ελαστικής απόκρισης και της πλαστικής ροής στην αστοχία, για μονοτονική, ανακυκλιζόμενη και δυναμική συνθήκη φόρτισης. Το φαινόμενο ανασθήκωσης αντιπροσωπεύεται από ένα μη γραμμικό ελαστικό μοντέλο το οποίο όμως λαμβάνει υπόψη και επηρεάζεται από την πλαστική παραμόρφωση στο υποκείμενο έδαφος. Η οριακή επιφάνεια που υιοθετείται σε αυτό το μακροστοιχείο εξαρτάται από το είδος του εδάφους και τις συνθήκες αποστράγγισης κατά τη διάρκεια του σεισμού. Έτσι θεωρούνται διαφορετικές τρισδιάστατες επιφάνειες αστοχίας για αποστραγγισμένες και μη αποστραγγισμένες συνθήκες. Η τελική επιφάνεια που υιοθετήθηκε για να περιγράψει τη στραγγισμένη συμπεριφορά αντιστοιχεί σε σχήμα «μπάλα ράγκμπι», ενώ για τη μη στραγγισμένη φόρτιση η τελική επιφάνεια αντιστοιχεί σε σχήμα «κοχύλι», το οποίο παρουσιάζεται στο σχήμα 3 ως προς τη διατομή H-N και M-N επίπεδα φόρτισης. Το σχήμα «μπάλας ράγκμπι» αντιστοιχεί στην τελική επιφάνεια που αντιπροσωπεύεται από συνεχή γραμμή και στα δύο επίπεδα φόρτισης.[Seismostruct Manual]



Σχήμα 6.12 Επιφάνεια Διαρροής του μακροστοιχείου Seismostruct(Seismostruct Manual)

Το μοντέλο μακροστοιχείου απαιτεί τον προσδιορισμό των παρακάτω παραμέτρων:

- Δύο γεωμετρικές παραμέτρους διαστάσεις του θεμελίου.
- Δυναμικοί δείκτες στιβαρότητας οι οποίοι προσδιορίστηκαν στα προηγούμενα κεφάλαια.
Απαραίτητο είναι να προστεθεί η κατακόρυφη στιβαρότητα του θεμελίου που δίνεται από την σχέση:

$$KV = \frac{4.54 Gs b}{1 - \nu} \left(1 + 1.3 * 1.13 \frac{b}{H} \right) kv$$

Όπου $kv \approx 1$.

Το ίδιο ισχύει για τους ισοδύναμους συντελεστές απόσβεσης ακτινοβολίας

- Οι μέγιστοι παράμετροι αντοχής του εδάφους που δίνονται από τις σχέσεις 6.1-6.3

Επιπλέον επιλέγονται οι εξής παράμετροι:

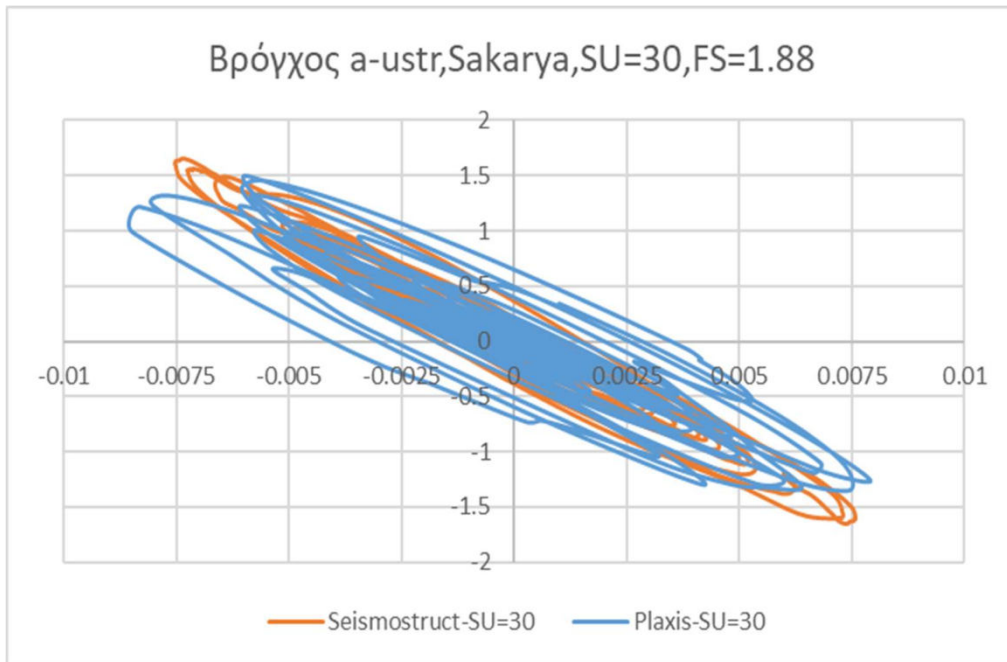
- η παράμετρος ανύψωσης α , εξαρτάται μόνο από την θεωρούμενη κατανομή των τάσεων και των κατακόρυφων καταπονήσεων κάτω από το θεμέλιο. Δεν επηρεάζει ιδιαίτερα τα αποτελέσματα και εδώ λαμβάνεται ίση με 2.

Κατανομή τάσεων κάτω από το θεμέλιο				
α	2	3	4	$+\infty$

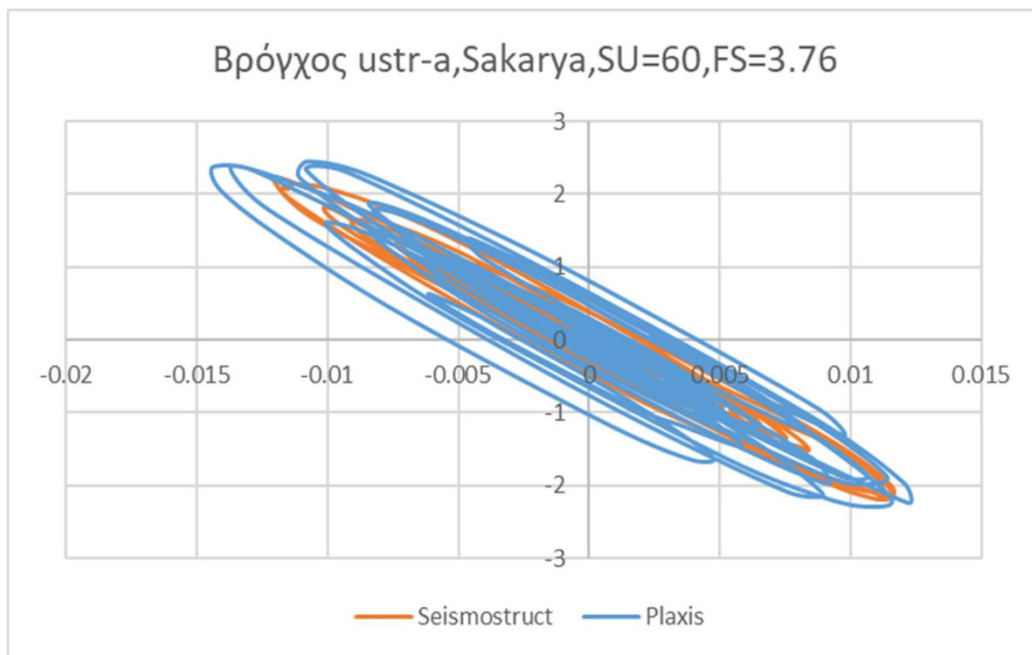
Σχήμα 6.13 Κατανομή τάσεων (Seismostruct Manual)

- ο εκθέτης για το ιστορικό φόρτισης λαμβάνεται ίσος με 1
- η παράμετρος απομείωσης διεπαφής εδάφους/θεμελίου λαμβάνει υπόψη την μείωση της επιφάνειας επαφής λόγω του αθροιστικού ανελαστικού λικνισμού. (λαμβάνεται ίση με 0.1). [Seismostruct manual]

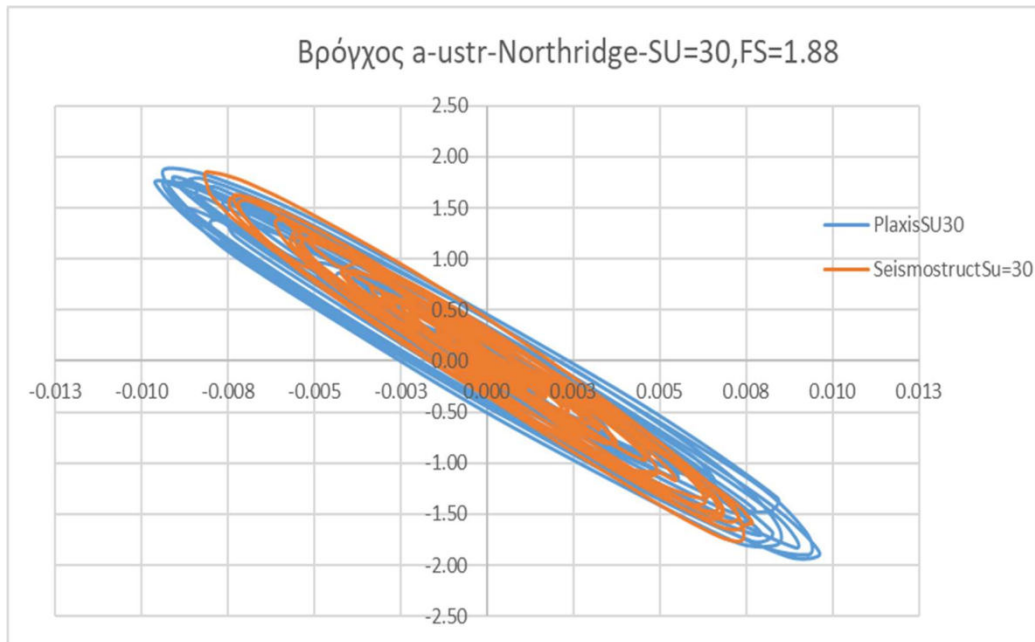
Ακολουθούν οι βρόγχοι επιταχύνσεων-παραμορφώσεων ελαστικού βάρους με το Plaxis και Seismostruct για $S_u=30,60$ και $V_s=160\text{m/s}$.



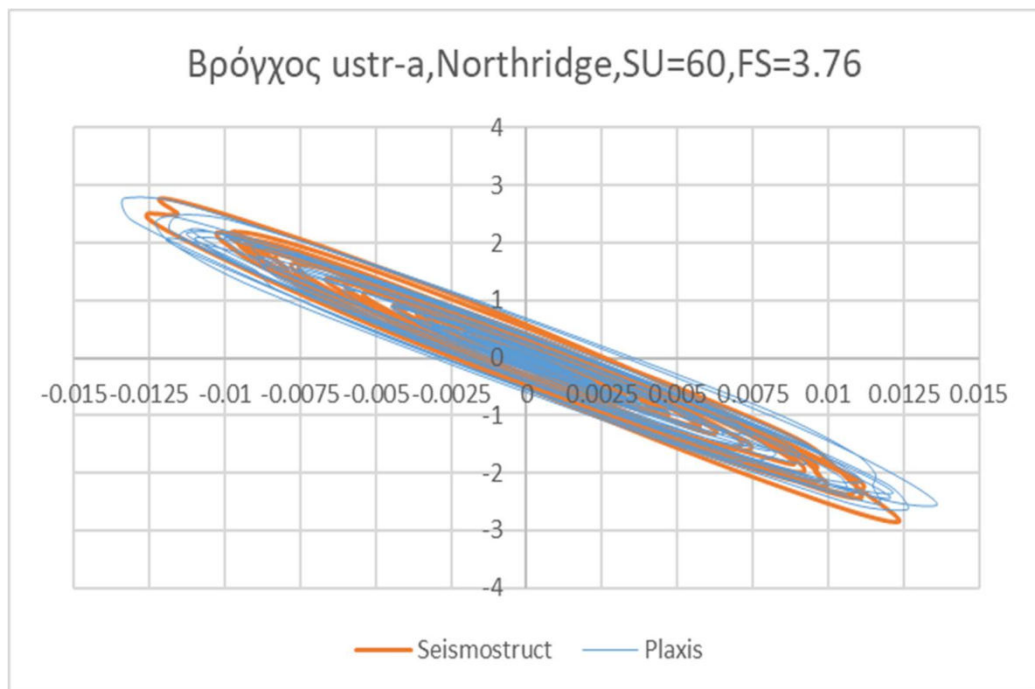
Σχήμα 6.13 Βρόγχοι απόλυτων επιταχύνσεων-μετακινήσεων ελαστικού βάθρου Plaxis-Seismostruct για τον σεισμό Sakarya-SU=30



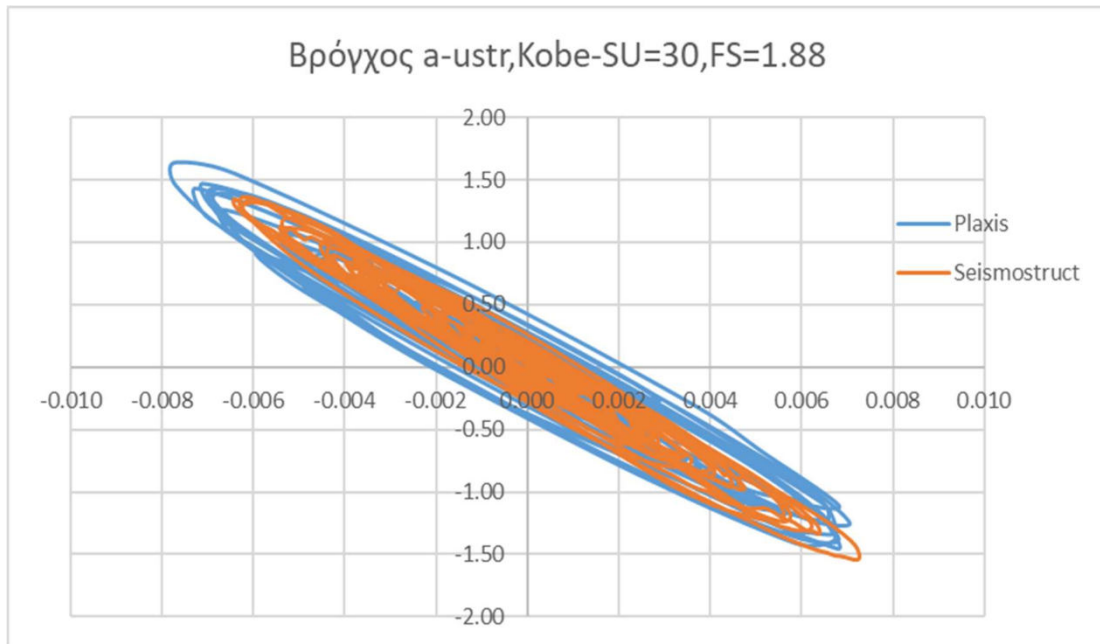
Σχήμα 6.14 Βρόγχοι απόλυτων επιταχύνσεων-μετακινήσεων ελαστικού βάθρου Plaxis-Seismostruct για τον σεισμό Sakarya-SU=60



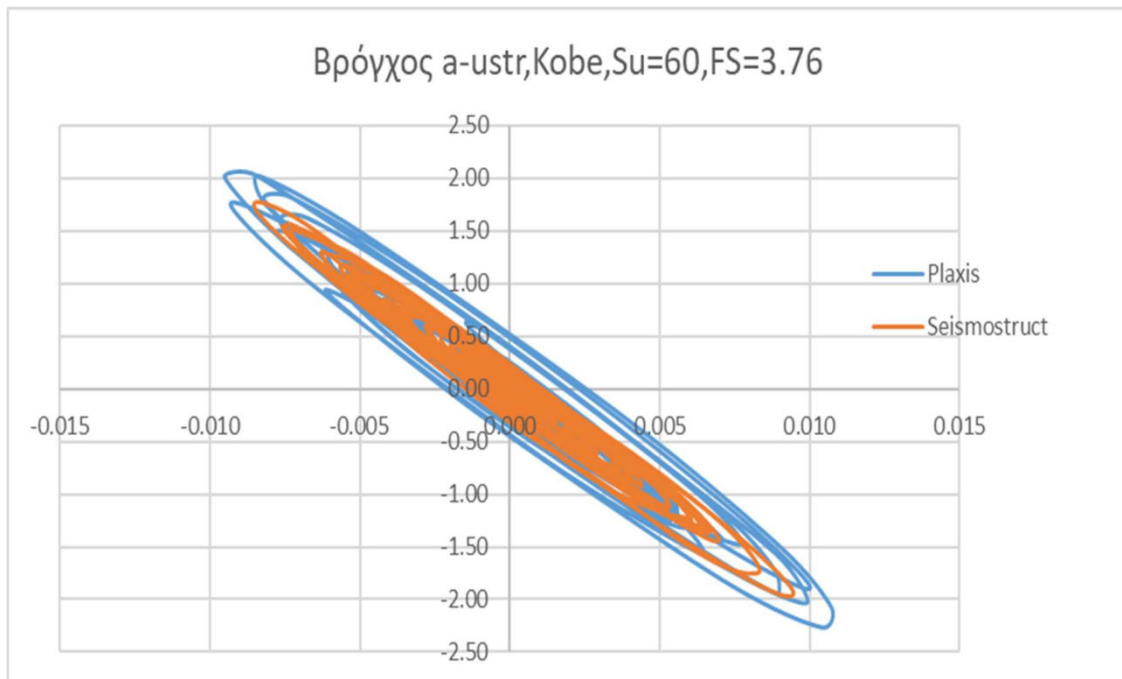
Σχήμα 6.15 Βρόγχοι απόλυτων επιταχύνσεων-μετακινήσεων ελαστικού βάρους Plaxis-Seismostruct για τον σεισμό Northridge-SU=30



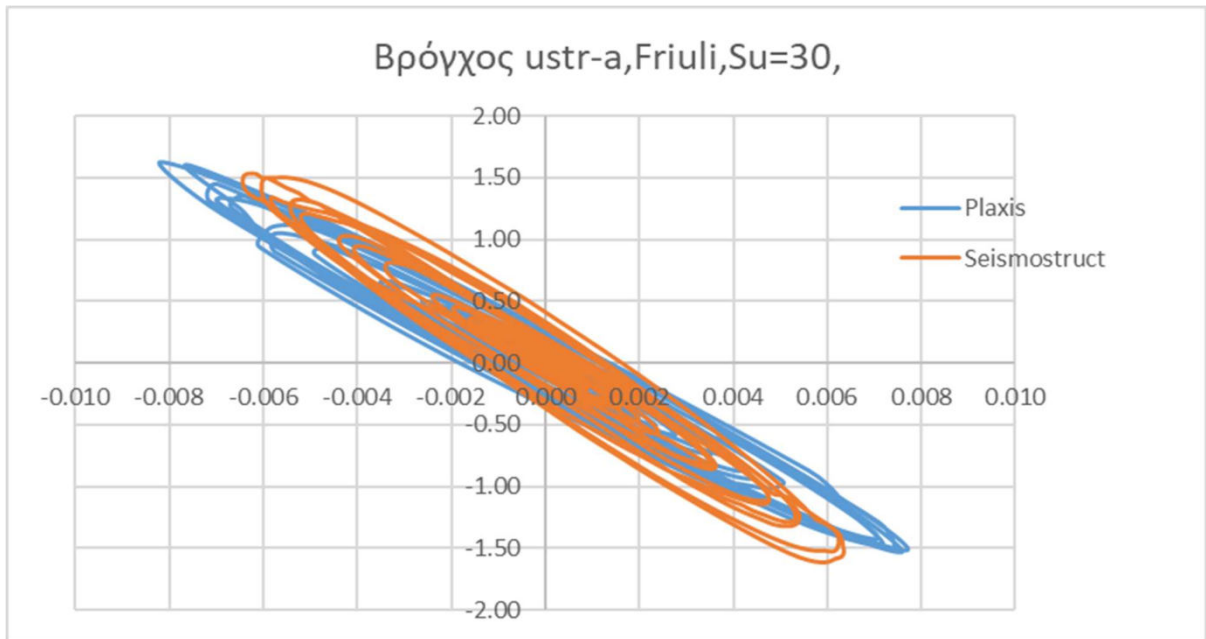
Σχήμα 6.16 Βρόγχοι απόλυτων επιταχύνσεων-μετακινήσεων ελαστικού βάρους Plaxis-Seismostruct για τον σεισμό Northridge-SU=60



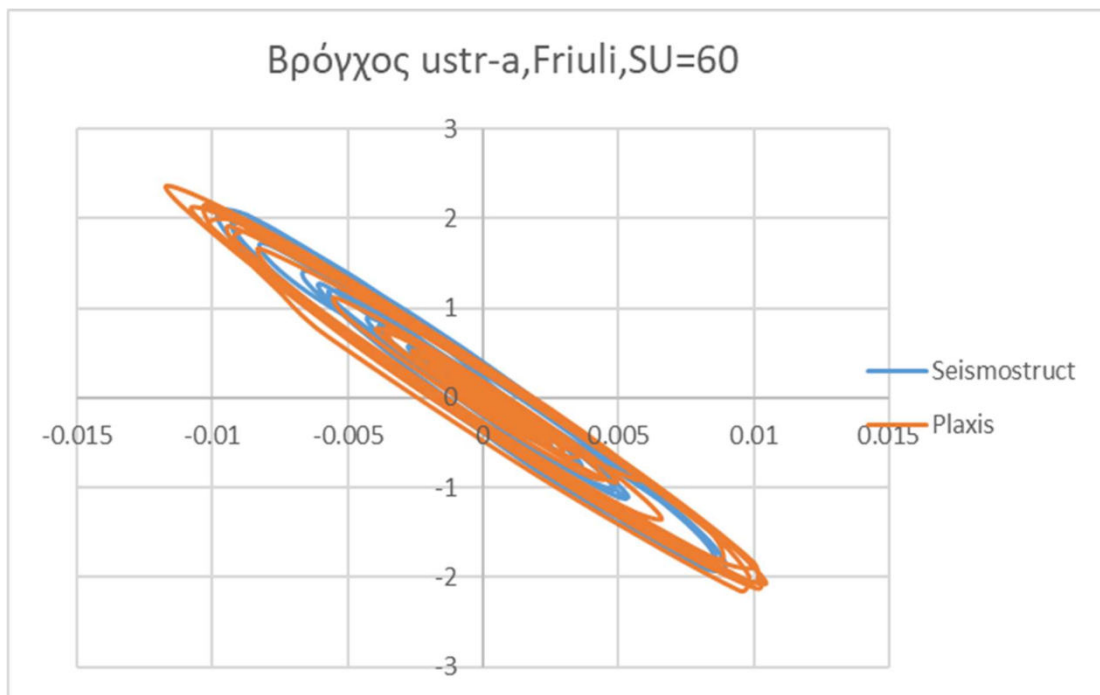
Σχήμα 6.17 Βρόγχοι απόλυτων επιταχύνσεων-μετακινήσεων ελαστικού βάθρου Plaxis-Seismostruct για τον σεισμό Kobe-SU=30



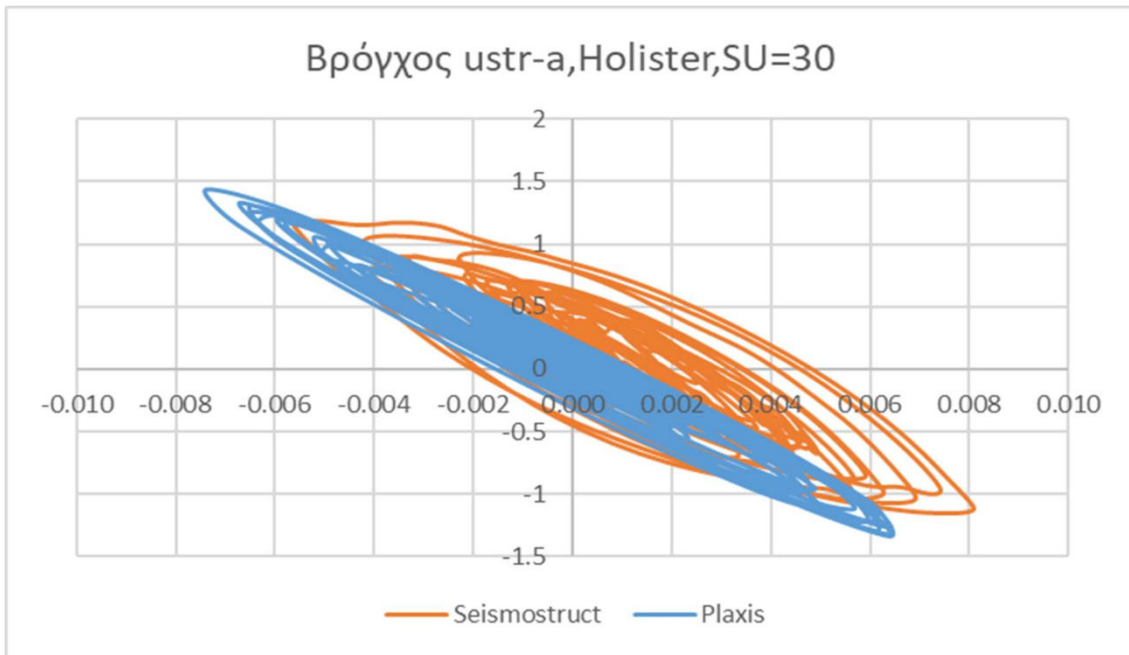
Σχήμα 6.18 Βρόγχοι απόλυτων επιταχύνσεων-μετακινήσεων ελαστικού βάθρου Plaxis-Seismostruct για τον σεισμό Kobe-SU=60



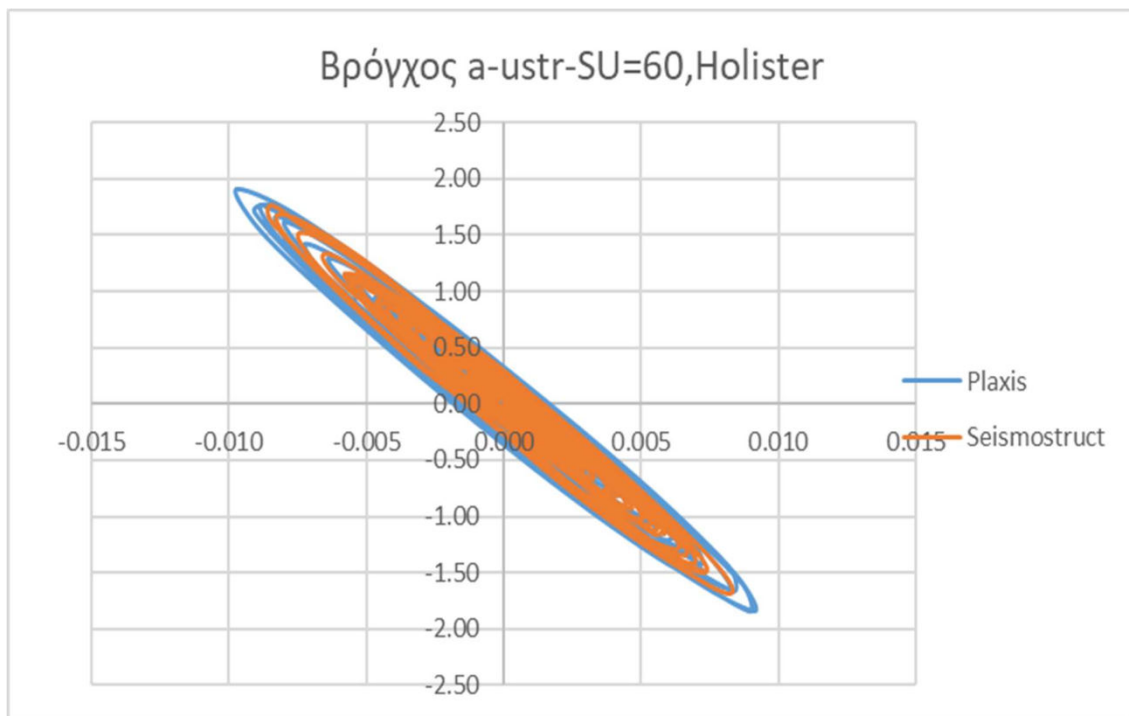
Σχήμα 6.19 Βρόγχοι απόλυτων επιταχύνσεων-μετακινήσεων ελαστικού βάρθρου Plaxis-Seismostruct για τον σεισμό Friuli-SU=30



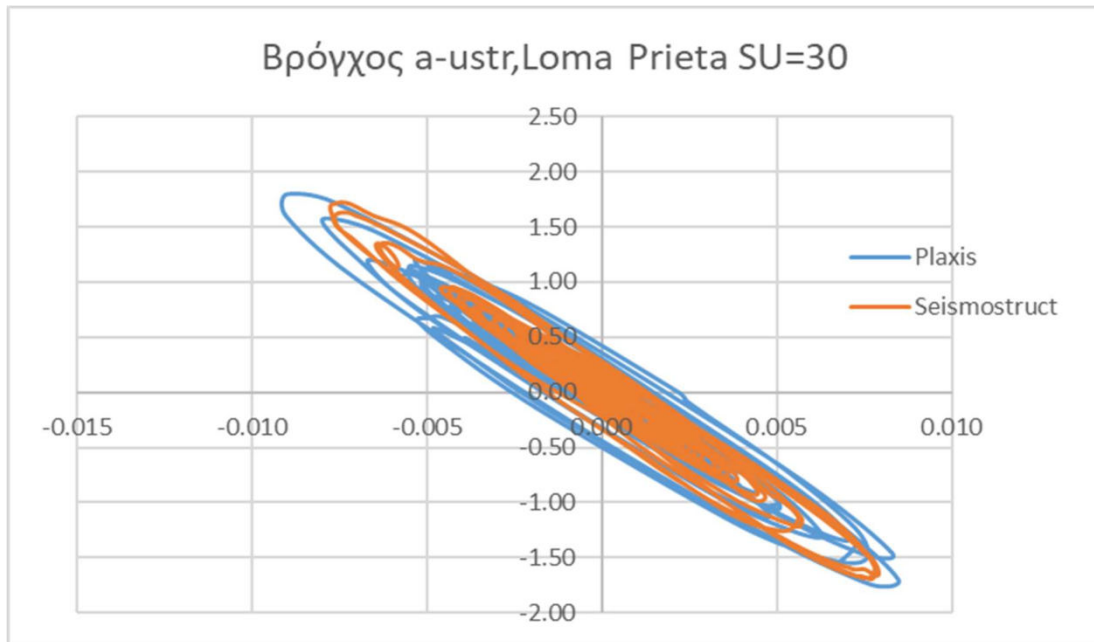
Σχήμα 6.20 Βρόγχοι απόλυτων επιταχύνσεων-μετακινήσεων ελαστικού βάρθρου Plaxis-Seismostruct για τον σεισμό Friuli-SU=60



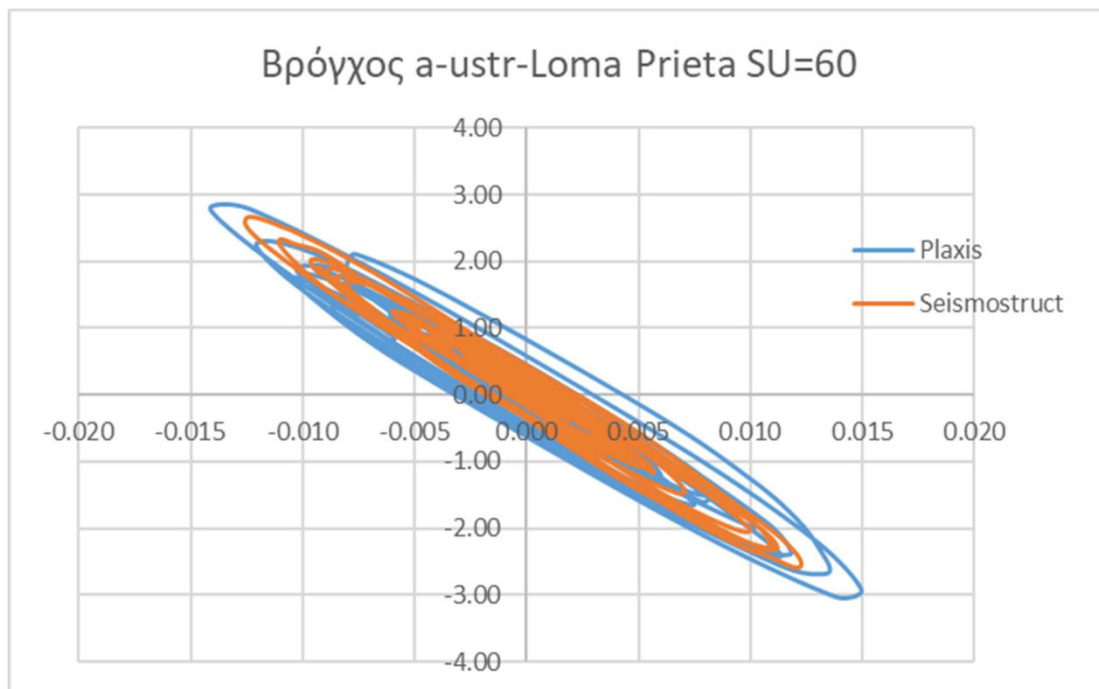
Σχήμα 6.21 Βρόγχοι απόλυτων επιταχύνσεων-μετακινήσεων ελαστικού βάρου Plaxis-Seismostruct για τον σεισμό Holister-SU=30



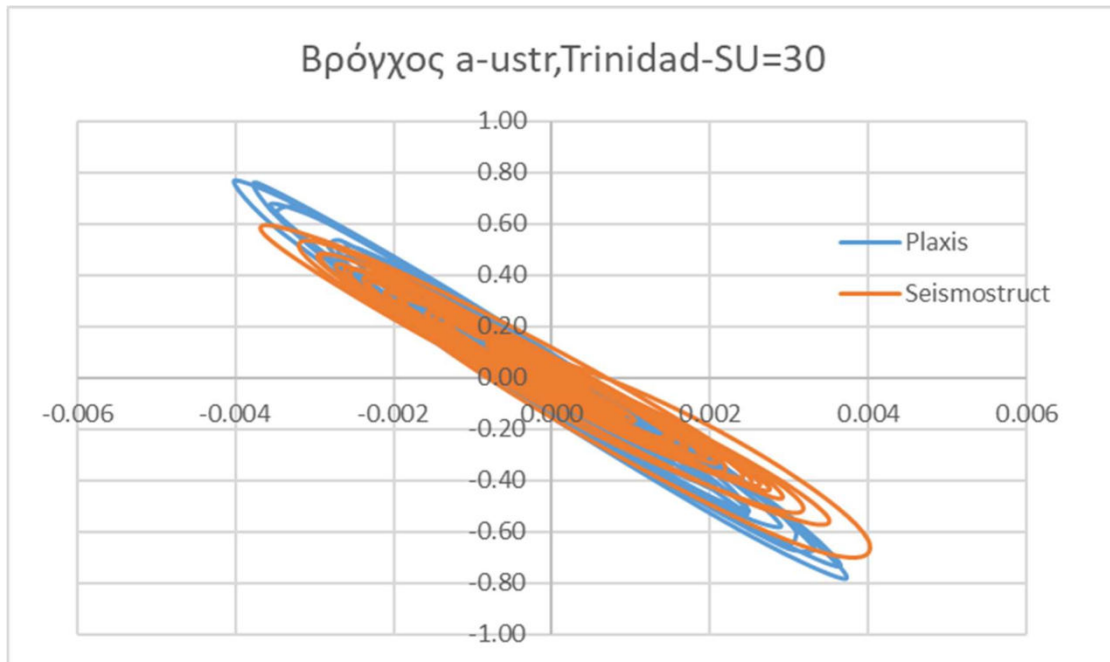
Σχήμα 6.22 Βρόγχοι απόλυτων επιταχύνσεων-μετακινήσεων ελαστικού βάρου Plaxis-Seismostruct για τον σεισμό Holister-SU=60



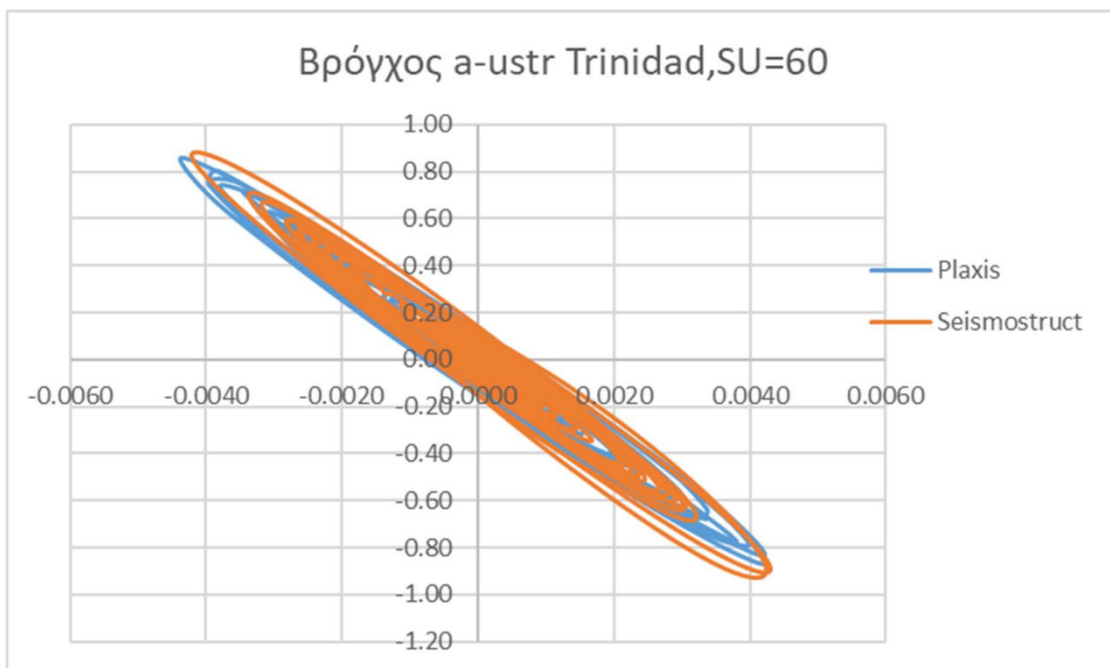
Σχήμα 6.23 Βρόγχοι απόλυτων επιταχύνσεων-μετακινήσεων ελαστικού βάθρου Plaxis-Seismostruct για τον σεισμό Loma Prieta-SU=30



Σχήμα 6.24 Βρόγχοι απόλυτων επιταχύνσεων-μετακινήσεων ελαστικού βάθρου Plaxis-Seismostruct για τον σεισμό Loma Prieta-SU=60



Σχήμα 6.25 Βρόγχοι απόλυτων επιταχύνσεων-μετακινήσεων ελαστικού βάρους Plaxis-Seismostruct για τον σεισμό Trinidad-SU=30



Σχήμα 6.26 Βρόγχοι απόλυτων επιταχύνσεων-μετακινήσεων ελαστικού βάρους Plaxis-Seismostruct για τον σεισμό Trinidad-SU=60

6.4 Σύγκριση ταλαντωτή επί μη γραμμικού εδάφους-πακτωμένου ταλαντωτή.

Διέγερση	h(m)	Mst(tn)	Vs(m/s)	Tst(s)	SU(kpa)	ustr(m)	F(KN)	Σύγκριση μετακινήσεων	Σύγκριση Δυνάμεων
Sakarya	12	1000	160	0.437	30	0.0081	1500	-60%	-64%
Ελαστική Λειτουργία				0.437	60	0.015	2500	-25%	-40%
Ελαστικός Ταλαντωτής		1000	βράχος	0.437		0.02	4200		

Διέγερση	h(m)	Mst(tn)	Vs(m/s)	Tst(s)	SU(kpa)	ustr(m)	F(KN)	Σύγκριση μετακινήσεων	Σύγκριση Δυνάμεων
Northridge	12	1000	160	0.437	30	0.009	1900	-83%	-83%
				0.437	60	0.013	2900	-77%	-74%
		1000	βράχος	0.437		0.056	11000		

Διέγερση	h(m)	Mst(tn)	Vs(m/s)	Tst(s)	SU(kpa)	ustr(m)	F(KN)	Σύγκριση μετακινήσεων	Σύγκριση Δυνάμεων
Kobe	12	1000	160	0.437	30	0.008	1600	-76%	-78%
				0.437	60	0.011	2100	-67%	-70%
		1000	βράχος	0.437		0.034	7000		

Διέγερση	h(m)	Mst(tn)	Vs(m/s)	Tst(s)	SU(kpa)	ustr(m)	F(KN)	Σύγκριση μετακινήσεων	Σύγκριση Δυνάμεων
Friuli	12	1000	160	0.437	30	0.008	1600	-72%	-73%
				0.437	60	0.011	2300	-62%	-61%
		1000	βράχος	0.437		0.029	6000		

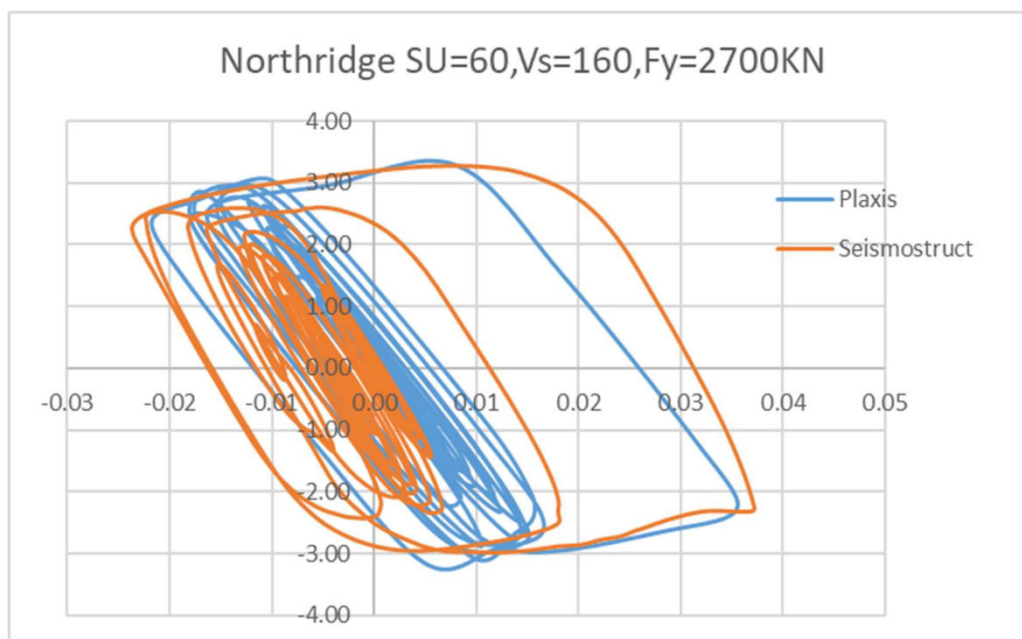
Διέγερση	h(m)	Mst(tn)	Vs(m/s)	Tst(s)	SU(kpa)	ustr(m)	F(KN)	Σύγκριση μετακινήσεων	Σύγκριση Δυνάμεων
Holister	12	1000	160	0.437	30	0.0078	1500	-77%	-79%
				0.437	60	0.010	2000	-71%	-72%
		1000	βράχος	0.437		0.034	7000		

Διέγερση	h(m)	Mst(tn)	Vs(m/s)	Tst(s)	SU(kpa)	ustr(m)	F(KN)	Σύγκριση μετακινήσεων	Σύγκριση Δυνάμεων
Loma Prieta	12	1000	160	0.437	30	0.009	1800	-60%	-61%
				0.437	60	0.015	3000	-32%	-35%
		1000	βράχος	0.437		0.022	4600		

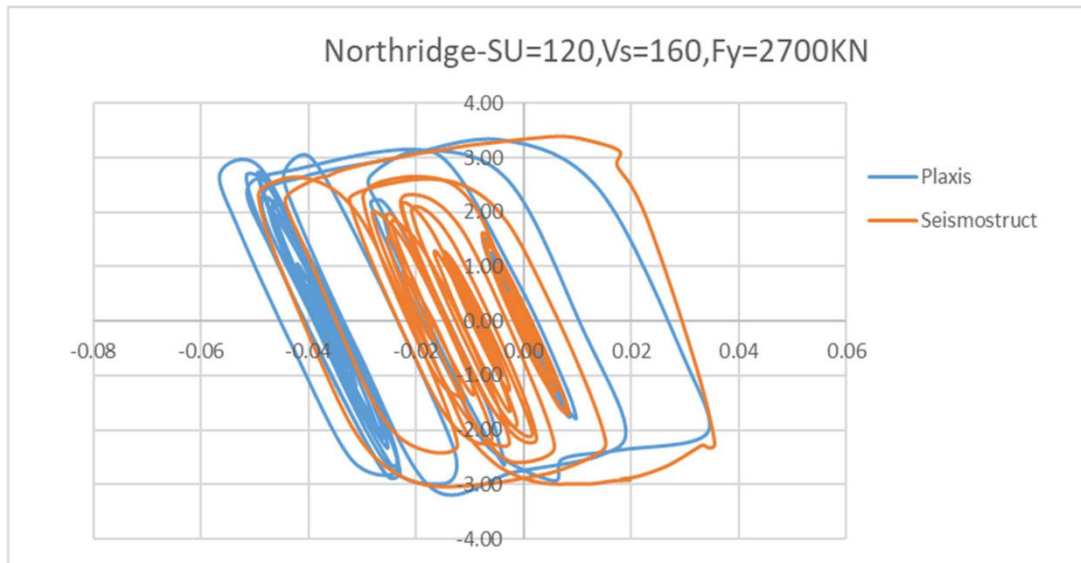
Διέγερση	h(m)	Mst(tn)	Vs(m/s)	Tst(s)	SU(kpa)	ustr(m)	F(KN)	Σύγκριση μετακινήσεων	Σύγκριση Δυνάμεων
Trinidad	12	1000	160	0.437	30	0.004	800	-55%	-60%
				0.437	60	0.004	800	-55%	-60%
		1000	βράχος	0.437		0.009	2000		

• Παρατηρούμε σημαντική μείωση των μετακινήσεων και των αναπτυσόμενων δυνάμεων με μείωση του μέτρου αστράγγιστης διατμητικής αντοχής έως και 80%

• Η μείωση αυτή είναι τόσο ευεργετική για το βάθρο ούτως ώστε ο ανελαστικός ταλαντωτής με δύναμη διαρροής $F_y=2700\text{KN}$ να μην αναπτύσσει καθόλου ανελαστικές παραμορφώσεις για τους περισσότερους επιλεγμένους σεισμούς. Επομένως νοήμα έχει η ανελαστική διερεύνηση για τον σεισμό του Northridge.



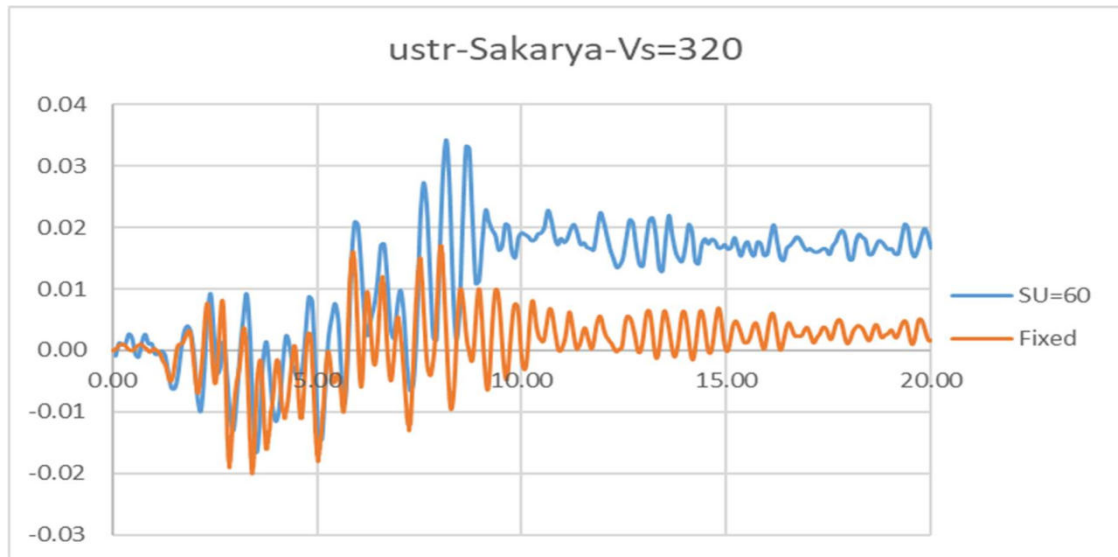
Σχήμα 6.27 Βρόγχοι απόλυτων επιταχύνσεων-μετακινήσεων ανελαστικού βάθρου με δύναμη διαρροής $F_y=2700\text{KN}$ Plaxis-Seismostruct για τον σεισμό Northridge-SU=60



Σχήμα 6.28 Βρόγχοι απόλυτων επιταχύνσεων-μετακινήσεων ανελαστικού βάθρου με δύναμη διαρροής $F_y=2700\text{KN}$ Plaxis-Seismostruct για τον σεισμό Northridge-SU=120

Διέγερση	h(m)	Mst(tn)	Vs(m/s)	Tst(s)	SU(kpa)	ustr(m)	F(KN)	Σύγκριση μετακινήσεων	Σύγκριση Δυνάμεων
Northridge	12	1000	160	0.437	60	0.035	3200	-48%	-3%
$F_y=2700\text{KN}$				0.437	120	0.058	3200	-15%	-3%
		1000	βράχος	0.437		0.068	3300		

Η επίδραση των μη γραμμικοτήτων εδάφους-θεμελίου δεν είναι πάντα θετική όπως φαίνεται παρακάτω για την περίπτωση του σεισμού της Sakarya και για τον ταλαντωτή $M_{st}=1000\text{tn}$, $V_s=320\text{m/s}$, $SU=60$.



Σχήμα 6.29 Χρονοιστορία μετακινήσεων για τον σεισμό της Sakarya-SU=60 σε σύγκριση με αυτές του πακτωμένου συστήματος.

Διέγερση	h(m)	Mst(tn)	Vs(m/s)	Tst(s)	SU(kpa)	ustr(m)	F(KN)	Σύγκριση μετακινήσεων	Σύγκριση Δυνάμεων
Sakarya	12	1000	320	0.437	60	0.035	3100	75%	7%
Fy=2700KN		1000	βράχος	0.437		0.02	2900		

ΒΙΒΛΙΟΓΡΑΦΙΑ

1. Γ. Γκαζέτας, Ε. Γαρίνη, Ι. Αναστασόπουλος, Ν.Γερόλυμος, "Αλληλεπίδραση εδάφους-θεμελίου-κατασκευής"
2. "Εδαφοδυναμική" Γκαζέτας
3. Αιμίλιος Κωμοδρόμος "Υπολογιστική Γεωτεχνική"
4. "Foundation Engineering Handbook 2nd Edition 1991" H.Y.Fang, Van Nostrand Reinhold, Gazetas
5. "Analysis of machine foundation vibrations: state of the art" Gazetas
6. "Three dimensional Finite Element modeling of SSI in soft soil", Hooman Torabi, Mohammad Rayhani
7. "Seismic soil-structure interaction: Beneficial or detrimental" Mylonakis, Gazetas
8. "Επιρροή εδαφικών συνθηκών στην σεισμική δόνηση" Γιάννης Ψυχάρης
9. "Αντισεισμικός σχεδιασμός γεφυρών" Γιάννης Ψυχάρης
10. "Αλληλεπίδραση εδάφους-λατασκειυής απο την θεωρία στην πράξη" Γιώργος Μυλωνάκης
11. "Method N2" Fajfar
12. "Δυναμική των Κατασκευών" Chopra
13. "Soil-Foundation-structure systems beyond conventional seismic failure thresholds
14. "Non linear analysis of structures according to new european design code" D.Mestrovic, D.Cizmar
15. "Plaxis reference manual" Bentley Services
16. "Seismostruct manual and verification report" Seismosoft
17. Gelagoti F., Kourkoulis R., Anastasopoulos I., Gazetas G. (2011a), "Rocking Isolation of Frame Structures Founded on Separate Footings", Earthquake Engineering and Structural Dynamics
18. Gazetas G., Apostolou M. (2004) "Nonlinear soil-structure interaction: foundation uplift and soil yielding".
19. Anastasopoulos I. (2010), "Beyond conventional capacity design : towards a new design philosophy".